

INSTITUTUL POLITEHNIC „TRAIAN-VUIA” TIMISOARA  
FACULTATEA DE MECANICA

---

Ing. Grünfeld . Stefan - Iosif .

# TEZA DE DOCTORAT

TEHNOCINEMATICA MECANISMELOR  
CU CAME PLANE

BIBLIOTECA CENTRALĂ  
UNIVERSITATEA „POLITEHNICA”  
TIMIȘOARA

Conducător științific  
Prof.univ. dr. doc. st. ing. AUREL NANU

- Timișoara 1986 -

515.512  
358 #



## I.- INTRODUCERE

Dezvoltarea accelerată pe multiple planuri a tehnicii în ultimul timp a impus utilizarea mecanismelor ca sisteme destinate mecanizării și automatizării, sisteme de comandă și de lucru. De asemenea, mecanismele își fac loc și printre sistemele logice fiind utilizate în special în mediile improprii sistemelor electrice și electronice.

Mecanismele, compuse din lanțuri cinematice, sînt proiectate pentru a executa anumite mișcări impuse, în condiții tehnologice specifice. De aceea, abaterile de la caracteristicile impuse mișcării prescrise sînt nedorite. Pe de altă parte, mecanismele sînt alcătuite din elemente care se execută prin procedee tehnologice cunoscute, avînd abateri situate de obicei în interiorul unui cîmp de toleranță. Abaterile tehnologice sînt inevitabile, astfel că mecanismele sînt constituite din elemente cu abateri, deci imprecise, iar lanțul cinematic va efectua mișcări mai mult sau mai puțin apropiate celor impuse, evidențiate de obicei prin abaterile poziționale, de deplasări, respectiv viteze și accelerații. Abaterile de viteze și accelerații pot aduce mari prejudicii funcționării mecanismului sub aspectul încălzirii dinamice.

În aceste condiții, se impune ca mecanismele proiectate să fie supuse și unei analize ce vizează precizia acestora, deoarece funcționarea corespunzătoare a lor depinde în mare măsură de precizia execuției elementelor componente. Scopul urmărit este corelarea economică a preciziei tehnologice cu precizia de funcționare impusă, fără a exagera vreunul din aspecte, deoarece ar scumpi în mod inutil cheltuielile de fabricație, sau mecanismul nu ar corespunde condițiilor tehnologice cerute.

Ca o parte distinctă a studiului preciziei mecanismelor, tehnocinematica analizează abaterile funcționale ce provin din execuțiile imprecise ale elementelor și cuplelor cinematice.

Prin obiectivul enunțat în titlu, prezenta teză de doctorat își propune să abordeze sub o formă cât mai completă, multilaterală, problema tehnocinematicii mecanismelor cu care plede. Se precizează că nu au fost abordate aspecte dinamice decât în măsura în care influențele erau determinante.

sau pentru a releva unele fenomene specifice care aveau repercursiuni directe asupra elementelor cinematice sau de uzură. Deși aspectul cinematic este practic inseparabil de fenomenele dinamice proprii oricărui proces mecanic, tehnocinematica respectă ordinea de studiu a mișcărilor mecanice : întâi cinematic, iar apoi dinamic, partea de dinamică nefăcând obiectul prezentei teze de doctorat, din motive de amploare mare a problemei.

Deși în literatura de specialitate există lucrări pe această temă, ele abordează unilateral diferite cazuri particulare de mecanisme cu came. Prezenta teză de doctorat abordează atât aspectele metodice de studiu al tehnocinematicii, cât și interacțiunea cu alte fenomene ce modifică starea de fapt la un moment dat, avînd în obiectiv doar mecanismele cu came plane, urmînd ca rezultatele obținute să fie generalizate în spațiu.

Obiectivul central urmărit la mecanismele cu camele plane este precizia cinematicii strîns legată de erorile de execuție ale elementelor și cuplelor cinematice precum și influențele în timp care modifică precizia determinată la un moment dat.

Importanța mare a cunoașterii problemelor legate de precizia de funcționare a mecanismelor cu came plane a impus orientarea cercetărilor către investigații asupra acestor aspecte încă din faza proiectării, realizînd în final sinteza mecanismului cu came cît și studiul preciziei într-un ciclu cinematic. S-a căutat obținerea unei metode cît mai generale și mai precise adaptată calculului automat, pentru reducerea timpului de calcul, generalizînd metodele aplicate în cazul mecanismelor cu cuple învericire.

De asemenea, s-au căutat metode noi de investigații, simple și eficiente, care să țină cont de particularitățile prezentate de mecanismele cu came plane care să ofere precizia de calcul în domeniul care poate fi urmărit și tehnologic, privind execuția elementelor componente ale lanțului cinematic.

Pentru a oferi cadrul unei viitoare cercetări pentru tolerarea cuplelor superioare de tipul mecanismelor cu came prin prescripții specifice acestora, s-au studiat erorile poziționale ale cuplei superioare, atunci cînd carpurile ce participă la realizarea cuplei sînt afectate de abateri de poziție și formă.

După cum s-a precizat mai sus, precizia de funcționare a mecanismelor cu came se modifică în timp prin uzura ce apare și în cupla superioară, de aceea s-a impus ca o necesitate studiul uzurii cuplelor superioare și evaluarea calității acestora printr-un coeficient, care s-a numit caracteristica uzurii, precum și influențele mai importante care pot modifica comportarea la uzare a mecanismelor cu came plane.

Strâns legat de acest aspect al durabilității mecanismelor cu came plane este alegerea materialului pentru cupla superioară și ca atare a apărut necesitatea studiului perechilor de materiale ce pot realiza o cuplă superioară, care să corespundă condițiilor de funcționare impuse, precum și analiza tratamentelor termice și termochimice recomandate, pentru îmbunătățirea rezistenței la diferite tipuri de uzuri.

Valabilitatea rezultatelor teoretice obținute poate fi susținută prin confirmarea acestora prin rezultatele experimentale și deci a fost necesar ca să fie realizate standuri și montaje care să verifice concluziile teoretice. Deoarece sînt multe posibilități de alegere de materiale și tratamente termice și termochimice, s-au făcut cercetări experimentale pe trei tipuri de materiale recomandate pentru cuple superioare, tratate termochimic prin nitrurare ionică, procedeu modern și relativ ieftin, care conferă o bună rezistență la uzare. În prezenta teză de doctorat sînt evidențiate avantajele cuplelor cinematice nitrurate ionic față de tratamentele termice obișnuite.

Teza de doctorat abordează astfel, în strînsă corelare, problemele legate de tipul mecanismului cu came plană, uzura acestuia, materialele cuplei superioare, avînd ca scop final optimizarea funcționării mecanismului sub aspectul preciziei cinematice.

Autorul exprimă și pe această cale cele mai sincere și călduroase mulțumiri întregii sa grație conducerii științifice Prof.dr.doc.șt.ing.Aurel Nanu, pentru modul competent în care l-a îndrumat la realizarea lucrării, precum și ajutorul acordat pentru desăvîrșirea formării sale ca cercetător.

Autorul mulțumește de asemenea colegilor de la Facultatea de mecanică din Sibiu, colegilor de la catedra de "tehnologia materialelor" din Institutul Politehnic "Traian Vuia" Timișoara, care l-au sprijinit în definitivarea cercetărilor în domeniul abordat.

## II. CONTRIBUȚII CU PRIVIRE LA APLICAREA METODEI ABATERILOR FUNCȚIONALE PENTRU ANALIZA ȘI SINTEZA MECANISMELOR CU GAME PLANE

### II.1. Generalități

Analiza tehnico-cinematică urmărește, după cum s-a precizat în capitoul precedent, determinarea influențelor erorilor constructiv-tehnologice asupra elementelor cinematice asupra elementelor cinematice ale mișcării executorului.

Se definesc erorile independente [77] prin erorile elementare geometrice, constituite din abaterile constructiv tehnologice ale elementelor și cuplelor. Acestea conduc la erorile funcționale sau dependente, care sînt erorile geometrice ale pozițiilor, vitezelor și accelerațiilor din mecanismul real.

După cum s-a arătat, abaterile de poziții (sau deplasări) sînt mici, însă abaterile accelerațiilor sînt în general mult mai mari, ceea ce duce la sollicitare dinamică suplimentară prin intermediul forțelor de inerție.

În continuare, se va presupune că elementele motoare (cama), deși de regulă nu pot ocupa pozițiile prescrise cu exactitate, funcționează identic ca la mecanismul ideal.

Abaterile elementare independente ale elementelor cinematice ale mecanismelor sînt formate din abaterile dimensionale și poziționale, eventual și de formă, iar cuplele cinematice au de asemenea aceste abateri. Aceste abateri pentru elemente și cuple sînt în general tolerate, iar toleranța economică este standardizată.

Alegerea toleranțelor este în funcție de necesitățile tehnologice pentru care mecanismul este construit. Toleranțele mici conduc la o calitate mai bună, dar sînt realizate la un preț de cost mai ridicat. Toleranțele influențează și alte elemente ce privesc funcționarea mecanismelor, cum sînt durabilitatea, uzura, productivitatea muncii, etc. De aceea se caută o armonizare între condițiile economice de fabricare și destinația mecanismelor.

Precizia mecanismelor cu roți dințate este stabilită prin standards. La celelalte mecanisme, influențele pot fi diferite, de aceea se urmărește calculul erorilor de funcționare pentru a putea face o alegere rațională a toleranțelor.

Abaterile dimensionale  $\Delta l$  ale elementelor sînt coliniare cu dimensiunea, cu valori pozitive sau negative și sînt constante de-a lungul duratei funcționării mecanismului. Aceeași proprietate o au și abaterile dimensionale din cuple, dar acestea împreună duc la crearea jocurilor între perechiile de corpuri, care pot avea diferite valori și direcții.

În același timp, suprafețele ce formează cuplurile pot avea abateri de formă, precum și abateri de poziție, cunoscutute și prezentate detaliat în lucrările de toleranță și măsurători [24].

Avînd în vedere aceste abateri se poate stabili numărul maxim de erori ale unui element de clasă I și apoi particularizînd în plan, rezultă în mod firesc poziția corpului, modificată printr-o mișcare plan-paralelă, dată prin trei parametri de poziție, sau ca erori cinematice de deplasare prin două translații și o rotație, problemă aprofundată în capitolul III. al prezentei lucrări.

Desigur, pentru stabilirea corectă a abaterilor ar trebui ca și pentru elementele plane să se ia în considerare structura spațială, completă a mecanismelor, dar diferențele sînt foarte mici, tehnologic vorbind, neglijabile.

## II.2. Mecanism cu camă de rotație tachet oscilant

Efectuînd sinteza unui mecanism cu camă de rotație și tachet oscilant, cunoscînd legea de mișcare a elementului condus,  $\varphi_2 = \varphi_2(t)$  precum și dimensiunile constructive:  $l_2, l_3, h_0, h$ ; ecuațiile profilului teoretic, în coordonate polare vor fi (Fig. II.1.):

$$\theta = \varphi_1 - \arcsin\left(\frac{l_2}{r_0} \sin \varphi_0\right) + \arctg \frac{l_2 \sin(\varphi_0 + \varphi_2)}{l_3 - l_2 \cos(\varphi_0 + \varphi_2)}$$



$$(II.1) \quad R = \sqrt{l_2^2 + l_3^2 - 2l_2l_3 \cos(\gamma_0 + \gamma_2)}$$

$$\gamma_0 = \arccos \frac{l_2^2 + l_3^2 - r_0^2}{2l_2l_3}; \quad \beta = \gamma_1 - \arcsin\left(\frac{l_2}{r_0} \sin \gamma_0\right)$$

Dacă admitem le cămă rotații uniforme,  $\varphi_1 = \omega t$ , rezultă relația  $\varphi_2 = \varphi_2(\frac{\varphi_1}{\omega})$ , adică legea de mișcare a tachetului în funcție de poziția elementului conducător.

În coordonate carteziene, indicate în figura II.1., ecuațiile profilului teoretic sînt (II.2):

$$(II.2) \quad \begin{aligned} x &= \sqrt{l_2^2 + l_3^2 - 2l_2l_3 \cos(\gamma_0 + \gamma_2)} \cdot \cos\left[\gamma_1 - \arcsin\left(\frac{l_2}{r_0} \sin \gamma_0\right) + \operatorname{arctg} \frac{l_2 \sin(\gamma_0 + \gamma_2)}{l_3 - l_2 \cos(\gamma_0 + \gamma_2)}\right] \\ y &= \sqrt{l_2^2 + l_3^2 - 2l_2l_3 \cos(\gamma_0 + \gamma_2)} \cdot \sin\left[\gamma_1 - \arcsin\left(\frac{l_2}{r_0} \sin \gamma_0\right) + \operatorname{arctg} \frac{l_2 \sin(\gamma_0 + \gamma_2)}{l_3 - l_2 \cos(\gamma_0 + \gamma_2)}\right] \end{aligned}$$

În ecuațiile parametrice ale profilului real în coordonate carteziene sînt (II.3):

$$(II.3) \quad \begin{aligned} x_b &= x + \frac{r \frac{dy}{d\gamma_1}}{\sqrt{\left(\frac{dx}{d\gamma_1}\right)^2 + \left(\frac{dy}{d\gamma_1}\right)^2}} \\ y_b &= y + \frac{r \frac{dx}{d\gamma_1}}{\sqrt{\left(\frac{dx}{d\gamma_1}\right)^2 + \left(\frac{dy}{d\gamma_1}\right)^2}} \end{aligned}$$

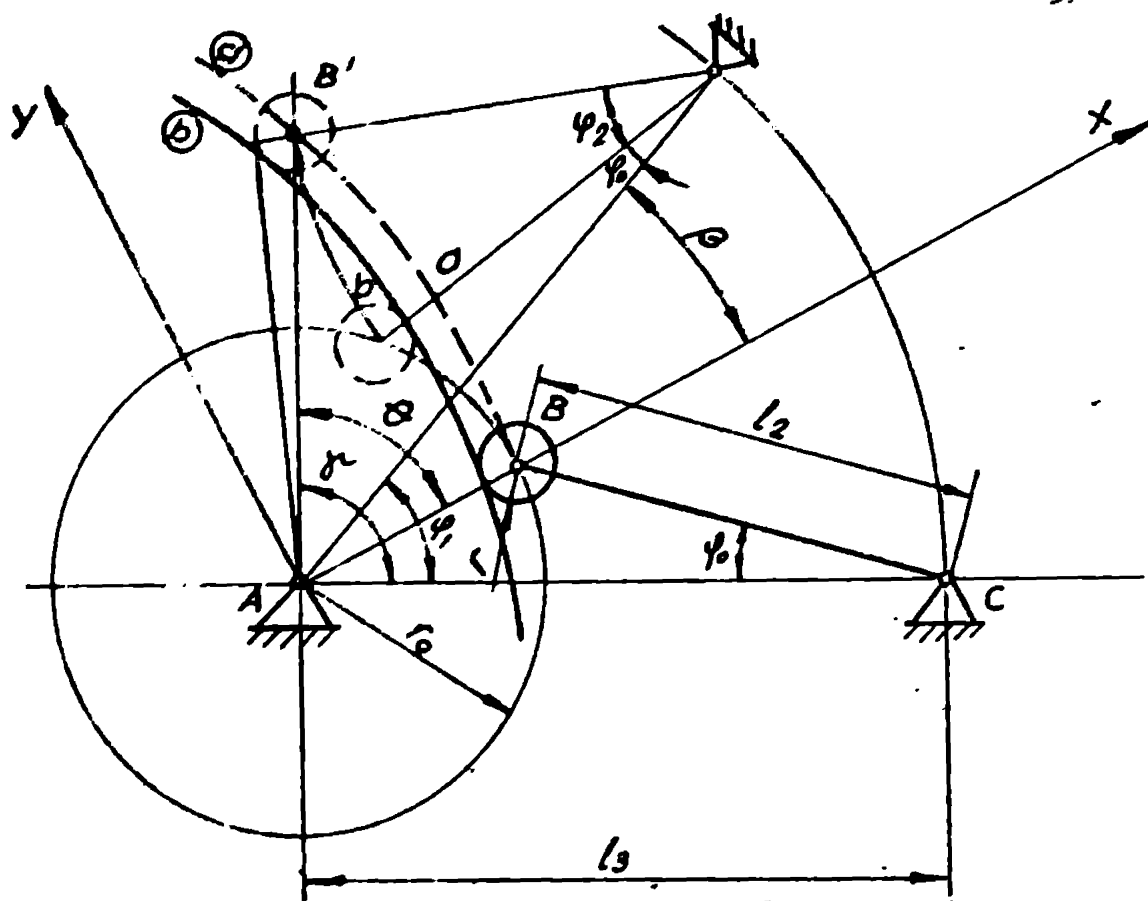


Fig. 11. 1

Efectuând calculele se obține (II.4):

$$\frac{dy}{d\varphi_1} = \frac{l_2}{R} \cdot \frac{dl_2}{d\varphi_1} [l_3 \cos(\gamma_0 + \gamma_2 - \theta) - l_2 \cos \theta] + R \cos \theta$$

$$(II.4) \quad \frac{dx}{d\varphi_1} = \frac{l_2}{R} \cdot \frac{dl_2}{d\varphi_1} [l_3 \sin(\gamma_0 + \gamma_2 - \theta) - l_2 \sin \theta] - R \sin \theta$$

$$\sqrt{\left(\frac{dx}{d\varphi_1}\right)^2 + \left(\frac{dy}{d\varphi_1}\right)^2} = \sqrt{l_2^2 \left(\frac{d\gamma_2}{d\varphi_1} - 1\right)^2 + l_3^2 + 2l_2 l_3 \cos(\gamma_0 + \gamma_2) \left(\frac{d\gamma_2}{d\varphi_1} - 1\right)}$$

Cu rezultatele de mai sus, înlocuite în relația (II.3) se obțin relațiile (II.5), care reprezintă ecuațiile parametrice ale profilului real în coordonate carteziene:

$$\begin{aligned}
 (II.5) \quad x_b &= R \cos \theta + r \frac{\frac{L_2}{R} \frac{d\gamma_2}{d\gamma_1} [L_3 \cos(\gamma_0 + \gamma_2 - \theta) - L_2 \cos \theta] + R \cos \theta}{\sqrt{L_2^2 \left(\frac{d\gamma_2}{d\gamma_1} - 1\right)^2 + L_3^2 + 2L_2 L_3 \cos(\gamma_0 + \gamma_2) \left(\frac{d\gamma_2}{d\gamma_1} - 1\right)}} \\
 y_b &= R \sin \theta - r \frac{\frac{L_2}{R} \frac{d\gamma_2}{d\gamma_1} [L_3 \sin(\gamma_0 + \gamma_2 - \theta) + L_2 \sin \theta] - R \sin \theta}{\sqrt{L_2^2 \left(\frac{d\gamma_2}{d\gamma_1} - 1\right)^2 + L_3^2 + 2L_2 L_3 \cos(\gamma_0 + \gamma_2) \left(\frac{d\gamma_2}{d\gamma_1} - 1\right)}}
 \end{aligned}$$

Ecuațiile (II.5) scrise sub forma unor funcții generale ce depind de elementele constructive sînt (II.6) :

$$\begin{aligned}
 (II.6) \quad X_b &= X_b(l_2, l_3, r, r_0, \gamma_0, \gamma_1) \\
 Y_b &= Y_b(l_2, l_3, r, r_0, \gamma_0, \gamma_1)
 \end{aligned}$$

reprezentînd ecuațiile profilului real al mecanismului nominal. Mecanismul real este cel afectat de abaterile elementare independente pentru fiecare element al său, în general cunoscute sau prescrise. Funcțiile (II.6) pot fi scrise deci și în formă următoare (II.7) :

$$\begin{aligned}
 (II.7) \quad X_b &= X_b(l_2 + \Delta l_2, l_3 + \Delta l_3, r + \Delta r, r_0 + \Delta r_0, \gamma_0 + \Delta \gamma_0, \gamma_1) \\
 Y_b &= Y_b(l_2 + \Delta l_2, l_3 + \Delta l_3, r + \Delta r, r_0 + \Delta r_0, \gamma_0 + \Delta \gamma_0, \gamma_1)
 \end{aligned}$$

Ecuațiile (II.7) reprezintă ecuațiile profilului real pentru mecanismul real, influențat de cele abateri elementare. Dezvoltînd în serie Taylor, se obține (II.8) :

$$\begin{aligned}
 (II.8) \quad X_b &= X_b(l_2, l_3, r, r_0, \gamma_0, \gamma_1) + \frac{1}{1!} \left[ \Delta l_2 \frac{\partial X_b}{\partial l_2} + \Delta l_3 \frac{\partial X_b}{\partial l_3} + \Delta r \frac{\partial X_b}{\partial r} + \right. \\
 &\quad \left. + \Delta r_0 \frac{\partial X_b}{\partial r_0} + \Delta \gamma_0 \frac{\partial X_b}{\partial \gamma_0} \right] + \frac{1}{2!} \left( \Delta l_2^2 \frac{\partial^2 X_b}{\partial l_2^2} + \dots \right)
 \end{aligned}$$

$$Y_b = Y_b(l_2, l_3, r, r_0, \gamma_0, \gamma_1) + \frac{1}{1!} \left( \Delta l_2 \frac{\partial Y_b}{\partial l_2} + \Delta l_3 \frac{\partial Y_b}{\partial l_3} + \Delta r \frac{\partial Y_b}{\partial r} + \Delta r_0 \frac{\partial Y_b}{\partial r_0} + \Delta \gamma_0 \frac{\partial Y_b}{\partial \gamma_0} \right) + \frac{1}{2!} \left( \Delta l_2^2 \frac{\partial^2 Y_b}{\partial l_2^2} + \dots \right)$$

Neglijind termenii de la gradul doi in sus, se pot calcula abaterile de poziții, pe care le vom numi de ordinul întâi (II.9):

$$(II.9) \quad X_b - x_b = \Delta l_2 \frac{\partial X_b}{\partial l_2} + \Delta l_3 \frac{\partial X_b}{\partial l_3} + \Delta r \frac{\partial X_b}{\partial r} + \Delta r_0 \frac{\partial X_b}{\partial r_0} + \Delta \gamma_0 \frac{\partial X_b}{\partial \gamma_0}$$

$$Y_b - y_b = \Delta l_2 \frac{\partial Y_b}{\partial l_2} + \Delta l_3 \frac{\partial Y_b}{\partial l_3} + \Delta r \frac{\partial Y_b}{\partial r} + \Delta r_0 \frac{\partial Y_b}{\partial r_0} + \Delta \gamma_0 \frac{\partial Y_b}{\partial \gamma_0}$$

Aceste abateri poziționale nu reprezintă valori exacte, după cum se observă, ele sînt obținute prin neglijarea jocurilor din cuplole cinematice, influența acestora fiind inclusă în celelalte abateri. De asemenea, s-a presupus, luînd în considerare doar relațiile liniere ale abaterilor, că se poate aplica principiul suprapunerii efectelor, adică adunarea lor algebrică.

O precizie superioară se obține dacă se iau în considerare și termenii de ordinul doi din dezvoltarea (II.8). Abaterile poziționale de ordinul doi sînt date de relația (II.10):

$$(II.10) \quad \Delta x^* = \Delta x + \Delta^2 x \quad ; \quad \Delta y^* = \Delta y + \Delta^2 y$$

unde s-a notat:

$$(II.11) \quad \Delta^2 x = \frac{1}{2} \left( \Delta l_2^2 \frac{\partial^2 x_b}{\partial l_2^2} + \Delta l_3^2 \frac{\partial^2 x_b}{\partial l_3^2} + \Delta r_0^2 \frac{\partial^2 x_b}{\partial r_0^2} + \Delta \gamma_0^2 \frac{\partial^2 x_b}{\partial \gamma_0^2} + \right.$$

$$+ 2\Delta l_2 \Delta l_3 \frac{\partial^2 x_b}{\partial l_2 \partial l_3} + 2\Delta l_2 \Delta r \frac{\partial^2 x_b}{\partial l_2 \partial r} + 2\Delta l_2 \Delta r_0 \frac{\partial^2 x_b}{\partial l_2 \partial r_0} +$$

$$+ 2\Delta l_2 \Delta \gamma_0 \frac{\partial^2 x_b}{\partial l_2 \partial \gamma_0} + 2\Delta l_3 \Delta r \frac{\partial^2 x_b}{\partial l_3 \partial r} + 2\Delta l_3 \Delta r_0 \frac{\partial^2 x_b}{\partial l_3 \partial r_0} +$$

$$+ 2\Delta l_3 \Delta \gamma_0 \frac{\partial^2 x_b}{\partial l_3 \partial \gamma_0} + 2\Delta r \Delta r_0 \frac{\partial^2 x_b}{\partial r \partial r_0} + 2\Delta r \Delta \gamma_0 \frac{\partial^2 x_b}{\partial r \partial \gamma_0} +$$

$$\left. + 2\Delta r_0 \Delta \gamma_0 \frac{\partial^2 x_b}{\partial r_0 \partial \gamma_0} \right)$$

$$\Delta^2 y = \frac{1}{2} \left( \Delta l_2^2 \frac{\partial^2 y_b}{\partial l_2^2} + \Delta l_3^2 \frac{\partial^2 y_b}{\partial l_3^2} + \Delta r^2 \frac{\partial^2 y_b}{\partial r^2} + \Delta r_0^2 \frac{\partial^2 y_b}{\partial r_0^2} + \right.$$

$$\begin{aligned}
& + \Delta \gamma_0^2 \frac{\partial^2 y_6}{\partial \gamma_0^2} + 2\Delta l_2 \Delta l_3 \frac{\partial^2 y_6}{\partial l_2 \partial l_3} + 2\Delta l_2 \Delta r \frac{\partial^2 y_6}{\partial l_2 \partial r} + \\
& + 2\Delta l_2 \Delta r_0 \frac{\partial^2 y_6}{\partial l_2 \partial r_0} + 2\Delta l_2 \Delta \gamma_0 \frac{\partial^2 y_6}{\partial l_2 \partial \gamma_0} + 2\Delta l_3 \Delta r \frac{\partial^2 y_6}{\partial l_3 \partial r} + \\
& + 2\Delta l_3 \Delta r_0 \frac{\partial^2 y_6}{\partial l_3 \partial r_0} + 2\Delta l_3 \Delta \gamma_0 \frac{\partial^2 y_6}{\partial l_3 \partial \gamma_0} + 2\Delta r \Delta r_0 \frac{\partial^2 y_6}{\partial r \partial r_0} + \\
& + 2\Delta r \Delta \gamma_0 \frac{\partial^2 y_6}{\partial r \partial \gamma_0} + 2\Delta r_0 \Delta \gamma_0 \frac{\partial^2 y_6}{\partial r_0 \partial \gamma_0} )
\end{aligned}$$

Precizia calculului poate fi mărită prin efectuarea calculelor prin iterații. Dacă se notează cu  $X_6^{(i)}$  și  $Y_6^{(i)}$  coordonatele punctului de pe profilul real, obținute cu ajutorul relațiilor (II.9), utilizând relațiile (II.12) se calculează deplasarea tachtetului, adică unghiul  $\varphi_2^{(i)}$ , în condițiile mecanismului real, afectat de erorile prevăzute :

$$\varphi_2^{(i)} = \arccos \left( \frac{l_2^2 + l_3^2 - p_6^2 - r^2 - 2p_6 r \frac{\operatorname{tg} \mu}{\sqrt{1 + \operatorname{tg}^2 \mu}}}{2l_2 l_3} \right)$$

$$(II.12) \quad \operatorname{tg} \mu = p_6 \frac{d\theta}{d\varphi_1} \cdot \frac{1}{\frac{dp}{d\varphi_1}} ; \quad p_6 = \sqrt{X_6^{(i)2} + Y_6^{(i)2}} ;$$

$$\theta = \operatorname{arctg} \frac{y_6}{x_6} \approx \operatorname{arctg} \frac{Y_6^{(i)}}{X_6^{(i)}} ; \quad p = \sqrt{x_6^2 + y_6^2}$$

Valoarea  $\varphi_2^{(i)}$  obținută din relația (II.12) se înlocuiește în relațiile (II.9), rezultând valorile  $X_6^{(i+1)}$  și  $Y_6^{(i+1)}$ , cu care apoi se calculează  $\varphi_2^{(i+1)}$  din (II.12). Iterațiile se repetă în acest mod pînă cînd se îndeplinește condiția (II.13) :

$$(II.13) \quad |\varphi_2^{(k)} - \varphi_2^{(k-1)}| \leq \varepsilon$$

unde este o constantă pozitivă oricît de mică impusă de precizia

Se verifică pe numeroase cazuri analizate că metoda este convergentă către valoarea reală a unghiului  $\varphi_2$ .

Metoda iterativă de mai sus poate fi aplicată cu precizie mai bună, asigurând o convergență mai rapidă dacă se iau în considerare și abaterile poziționale de ordinul doi, utilizând și relațiile (II.10) și (II.11), însă precizia calculului nu trebuie să depășească cu mult posibilitățile tehnologice de execuție, deoarece rezultatele ar avea doar o valoare teoretică.

După cum s-a mai arătat, abaterea de deplasare reprezintă diferența abaterilor de poziții la începutul și sfârșitul deplasării. Acestea se calculează cu relațiile (II.9).

Abaterile de viteze și accelerații se obțin derivând în raport cu timpul relațiile (II.9), adică abaterile de poziții. Rezultă (II.14) :

$$\Delta V_x = \frac{d}{dt}(\Delta x) = \left( \Delta l_2 \frac{\partial^2 x_b}{\partial l_2 \partial \varphi_1} + \Delta l_3 \frac{\partial^2 x_b}{\partial l_3 \partial \varphi_1} + \Delta r \frac{\partial^2 x_b}{\partial r \partial \varphi_1} + \Delta r_0 \frac{\partial^2 x_b}{\partial r_0 \partial \varphi_1} + \Delta \varphi_0 \frac{\partial^2 x_b}{\partial \varphi_0 \partial \varphi_1} \right) \omega_1 \quad (II.14)$$

$$\Delta V_y = \frac{d}{dt}(\Delta y) = \left( \Delta l_2 \frac{\partial^2 y_b}{\partial l_2 \partial \varphi_1} + \Delta l_3 \frac{\partial^2 y_b}{\partial l_3 \partial \varphi_1} + \Delta r \frac{\partial^2 y_b}{\partial r \partial \varphi_1} + \Delta r_0 \frac{\partial^2 y_b}{\partial r_0 \partial \varphi_1} + \Delta \varphi_0 \frac{\partial^2 y_b}{\partial \varphi_0 \partial \varphi_1} \right) \omega_1$$

Relațiile (II.14) reprezintă abaterile de viteze, iar relațiile (II.15) cele de accelerații:

$$\Delta a_x = \frac{d}{dt}(\Delta V_x) = \left( \Delta l_2 \frac{\partial^3 x_b}{\partial l_2 \partial \varphi_1^2} + \Delta l_3 \frac{\partial^3 x_b}{\partial l_3 \partial \varphi_1^2} + \Delta r \frac{\partial^3 x_b}{\partial r \partial \varphi_1^2} + \Delta r_0 \frac{\partial^3 x_b}{\partial r_0 \partial \varphi_1^2} + \Delta \varphi_0 \frac{\partial^3 x_b}{\partial \varphi_0 \partial \varphi_1^2} \right) \omega_1^2 + \left( \Delta l_2 \frac{\partial^2 x_b}{\partial l_2 \partial \varphi_1} + \Delta l_3 \frac{\partial^2 x_b}{\partial l_3 \partial \varphi_1} + \Delta r \frac{\partial^2 x_b}{\partial r \partial \varphi_1} + \Delta r_0 \frac{\partial^2 x_b}{\partial r_0 \partial \varphi_1} + \Delta \varphi_0 \frac{\partial^2 x_b}{\partial \varphi_0 \partial \varphi_1} \right) \varepsilon_1 \quad (II.15)$$

$$\Delta a_y = \frac{d}{dt}(\Delta V_y) = \left( \Delta l_2 \frac{\partial^3 y_b}{\partial l_2 \partial \varphi_1^2} + \Delta l_3 \frac{\partial^3 y_b}{\partial l_3 \partial \varphi_1^2} + \Delta r \frac{\partial^3 y_b}{\partial r \partial \varphi_1^2} + \Delta r_0 \frac{\partial^3 y_b}{\partial r_0 \partial \varphi_1^2} + \Delta \varphi_0 \frac{\partial^3 y_b}{\partial \varphi_0 \partial \varphi_1^2} \right) \omega_1^2 + \left( \Delta l_2 \frac{\partial^2 y_b}{\partial l_2 \partial \varphi_1} + \Delta l_3 \frac{\partial^2 y_b}{\partial l_3 \partial \varphi_1} + \Delta r \frac{\partial^2 y_b}{\partial r \partial \varphi_1} + \Delta r_0 \frac{\partial^2 y_b}{\partial r_0 \partial \varphi_1} + \Delta \varphi_0 \frac{\partial^2 y_b}{\partial \varphi_0 \partial \varphi_1} \right) \varepsilon_1$$

cu  $\omega_1 = \frac{d\varphi}{dt}$ , iar  $\varepsilon_1 = \frac{d^2\varphi}{dt^2} = \dot{\omega}_1$ .

Dacă elementul conducător, cazr, execută rotații uniforme,

$\omega_1 = \text{const.}$  și  $\varepsilon_1 = 0$ , rezultă relațiile (II.16) :

$$\begin{aligned} \Delta\sigma_x &= (\Delta l_2 \frac{\partial^3 x_6}{\partial l_2 \partial \gamma_1^2} + \Delta l_3 \frac{\partial^3 x_6}{\partial l_3 \partial \gamma_1^2} + \Delta l_7 \frac{\partial^3 x_6}{\partial r \partial \gamma_1^2} + \Delta l_0 \frac{\partial^3 x_6}{\partial r_0 \partial \gamma_1^2} + \Delta l_9 \frac{\partial^3 x_6}{\partial r_9 \partial \gamma_1^2}) \omega_1^2 \\ (\text{II.16}) \quad \Delta\sigma_y &= (\Delta l_2 \frac{\partial^3 y_6}{\partial l_2 \partial \gamma_1^2} + \Delta l_3 \frac{\partial^3 y_6}{\partial l_3 \partial \gamma_1^2} + \Delta l_7 \frac{\partial^3 y_6}{\partial r \partial \gamma_1^2} + \Delta l_0 \frac{\partial^3 y_6}{\partial r_0 \partial \gamma_1^2} + \Delta l_9 \frac{\partial^3 y_6}{\partial r_9 \partial \gamma_1^2}) \omega_1^2 \end{aligned}$$

Metoda iterativă de calcul a abaterilor de poziții se poate aplica și pentru obținerea mai exactă a abaterilor de viteze și accelerații.

### II.3. Mecanism cu camă de rotație taceți de translație

În cazul unui mecanism cu camă de rotație și taceți de translație excentric, se cunoaște legea de mișcare a taceții  $s_2 = s_2(t)$ , precum și dimensiunile  $l, r, h_0$ , (fig.II.2.), se obțin ecuațiile parametrice ale profilului teoretic, în coordonate polare, relațiile (II.17) :

$$\begin{aligned} R &= \sqrt{(s_0 + s_2)^2 + l^2} \\ (\text{II.17}) \quad \theta &= \gamma_1 + \arctg \frac{s_0 + s_2}{l} - \arctg \frac{s_0}{l} \end{aligned}$$

cu  $s_0 = \sqrt{r_0^2 - l^2}$  ;  $\gamma_1 = \omega_1 t$

În coordonate carteziene ecuațiile profilului real (II.19), se obțin din relațiile (II.2) și (II.3), undă folosim relația (II.18) :

$$\begin{aligned} \frac{dx}{d\gamma_1} &= \frac{1}{R} \left\{ \frac{ds_2}{d\gamma_1} [(s_0 + s_2) \cos \theta - l \sin \theta] - R^2 \sin \theta \right\} \\ (\text{II.18}) \quad \frac{dy}{d\gamma_1} &= \frac{1}{R} \left\{ \frac{ds_2}{d\gamma_1} [(s_0 + s_2) \sin \theta + l \cos \theta] + R^2 \cos \theta \right\} \\ \sqrt{\left(\frac{dx}{d\gamma_1}\right)^2 + \left(\frac{dy}{d\gamma_1}\right)^2} &= \frac{1}{R} \sqrt{R^4 + 2Rl \frac{ds_2}{d\gamma_1} + [(s_0 + s_2)^2 + l^2] \left(\frac{ds_2}{d\gamma_1}\right)^2} \end{aligned}$$

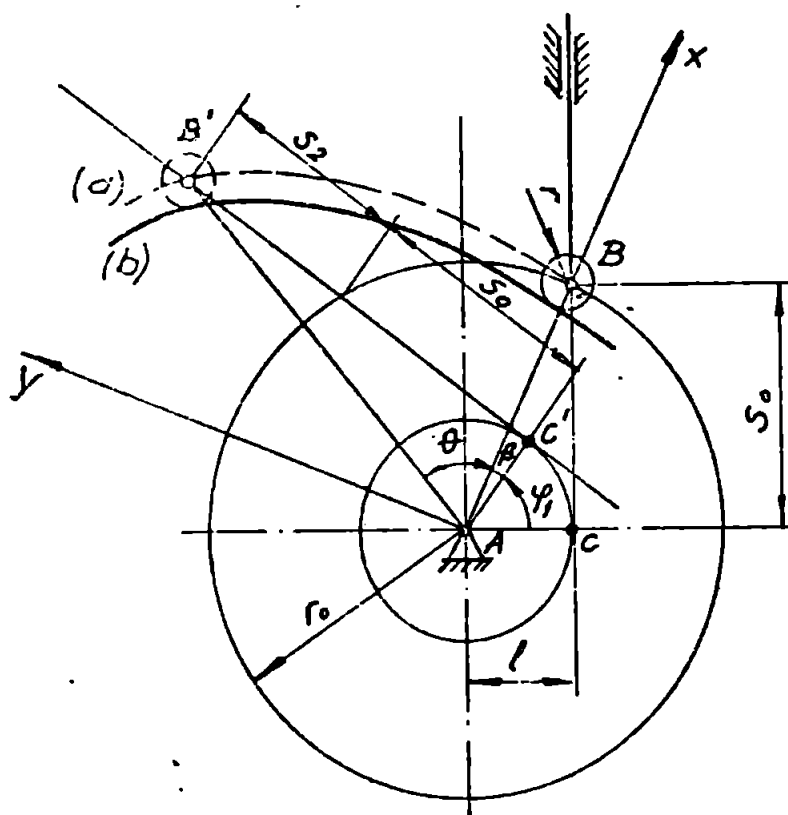


Fig. II. 2

$$\begin{aligned}
 x_b &= R \cos \theta + r \frac{\frac{ds_2}{d\varphi_1} [(s_0 + s_2) \sin \theta + l \cos \theta] + R^2 \cos \theta}{\sqrt{R^4 + 2R^2 l \frac{ds_2}{d\varphi_1} + [(s_0 + s_2)^2 + l^2] \left(\frac{ds_2}{d\varphi_1}\right)^2}} \\
 (II.19) \quad y_b &= R \sin \theta - r \frac{\frac{ds_2}{d\varphi_1} [(s_0 + s_2) \cos \theta - l \sin \theta] - R^2 \sin \theta}{\sqrt{R^4 + 2R^2 l \frac{ds_2}{d\varphi_1} + [(s_0 + s_2)^2 + l^2] \left(\frac{ds_2}{d\varphi_1}\right)^2}}
 \end{aligned}$$

Forma generală a coordonatelor (II.13) se poate scrie asemănător cu relația (II.5) :

$$\begin{aligned}
 (II.20) \quad x_b &= x_b(l, r_0, r, s_0, \varphi_1) \\
 y_b &= y_b(l, r_0, r, s_0, \varphi_1)
 \end{aligned}$$

În cazul mecanismului real putem da expresia corespunzătoare și de coordonatele elementare (II.21) :



$$(II.21) \quad \begin{aligned} X_b &= X_b(l + \Delta l, r_0 + \Delta r_0, r + \Delta r, s_0 + \Delta s_0, y_1) \\ Y_b &= Y_b(l + \Delta l, r_0 + \Delta r_0, r + \Delta r, s_0 + \Delta s_0, y_1) \end{aligned}$$

Dezvoltând în serie Taylor și reținând termenii de gradul întâi se obține (II.22) :

$$(II.22) \quad \begin{aligned} X_b &= x_b + \Delta l \frac{\partial x_b}{\partial l} + \Delta r_0 \frac{\partial x_b}{\partial r_0} + \Delta r \frac{\partial x_b}{\partial r} + \Delta s_0 \frac{\partial x_b}{\partial s_0} \\ Y_b &= y_b + \Delta l \frac{\partial y_b}{\partial l} + \Delta r_0 \frac{\partial y_b}{\partial r_0} + \Delta r \frac{\partial y_b}{\partial r} + \Delta s_0 \frac{\partial y_b}{\partial s_0} \end{aligned}$$

cu abaterile de poziții de ordinul întâi date de (II.9). Cu relațiile (II.1c) se determină abaterile poziționale de ordinul doi, unde  $\Delta^2 x$  și  $\Delta^2 y$  sînt date de relațiile (II.23) :

$$(II.23) \quad \begin{aligned} \Delta^2 x &= \frac{1}{2} \left( \Delta l^2 \frac{\partial^2 x_b}{\partial l^2} + \Delta r_0^2 \frac{\partial^2 x_b}{\partial r_0^2} + \Delta r^2 \frac{\partial^2 x_b}{\partial r^2} + \Delta s_0^2 \frac{\partial^2 x_b}{\partial s_0^2} + \right. \\ &\quad + 2\Delta l \Delta r_0 \frac{\partial^2 x_b}{\partial l \partial r_0} + 2\Delta l \Delta r \frac{\partial^2 x_b}{\partial l \partial r} + 2\Delta l \Delta s_0 \frac{\partial^2 x_b}{\partial l \partial s_0} + \\ &\quad \left. + 2\Delta r_0 \Delta r \frac{\partial^2 x_b}{\partial r_0 \partial r} + 2\Delta r_0 \Delta s_0 \frac{\partial^2 x_b}{\partial r_0 \partial s_0} + 2\Delta r \Delta s_0 \frac{\partial^2 x_b}{\partial r \partial s_0} \right) \\ \Delta^2 y &= \frac{1}{2} \left( \Delta l^2 \frac{\partial^2 y_b}{\partial l^2} + \Delta r_0^2 \frac{\partial^2 y_b}{\partial r_0^2} + \Delta r^2 \frac{\partial^2 y_b}{\partial r^2} + \Delta s_0^2 \frac{\partial^2 y_b}{\partial s_0^2} + \right. \\ &\quad + 2\Delta l \Delta r_0 \frac{\partial^2 y_b}{\partial l \partial r_0} + 2\Delta l \Delta r \frac{\partial^2 y_b}{\partial l \partial r} + 2\Delta l \Delta s_0 \frac{\partial^2 y_b}{\partial l \partial s_0} + \\ &\quad \left. + 2\Delta r_0 \Delta r \frac{\partial^2 y_b}{\partial r_0 \partial r} + 2\Delta r_0 \Delta s_0 \frac{\partial^2 y_b}{\partial r_0 \partial s_0} + 2\Delta r \Delta s_0 \frac{\partial^2 y_b}{\partial r \partial s_0} \right) \end{aligned}$$

În mod similar cu la cazurile prezentate în capitolul precedent, se poate îmbunătăți precizia calculului prin iteratii. Dacă valorile obținute cu relațiile (II.22) pentru o poziție  $s_2^{(k)}$  a casei cu  $X_b^{(k)}$  și  $Y_b^{(k)}$ , se poate scrie relația (II.24) :

$$(II.24) \quad s_2^{(k)} = \sqrt{p_b^{(k)2} - l^2} - s_0 ; \quad p_b^{(k)} = \sqrt{X_b^{(k)2} + Y_b^{(k)2}} ;$$

cu valoarea  $s_2^{(k)}$  înlocuită în relațiile (II.22), se calculează  $X_b^{(k+1)}$  și  $Y_b^{(k+1)}$ , care se înlocuiesc în relația (II.24), obținându-se  $s_2^{(k+1)}$ , etc. Iterațiile se repetă pînă cînd va fi îndeplinită condiția (II.25) :

$$(II.25) \quad |s_2^{(k)} - s_2^{(k-1)}| \leq \epsilon$$

515512  
358

unde  $\varepsilon$  este o constantă pozitivă arbitrară, oricât de mică, impusă de cerința de precizie de calcul dorită.

Iterațiile pot fi efectuate luând în considerare și abaterile poziționale de ordinul doi, mărină astfel precizia de calcul, respectiv se asigură mai repede condiția (II.25):

Abaterile de deplasare, viteză și accelerație se calculează prin procedeele amintite. Astfel, abaterile de viteză se determină cu relațiile (II.26) :

$$(II.26) \quad \begin{aligned} \Delta V_x &= \frac{d}{dt}(\Delta X) = \left( \Delta l \frac{\partial^2 x_b}{\partial t \partial \varphi_i} + \Delta r_0 \frac{\partial^2 x_b}{\partial r_0 \partial \varphi_i} + \Delta r \frac{\partial^2 x_b}{\partial r \partial \varphi_i} + \Delta S_0 \frac{\partial^2 x_b}{\partial S_0 \partial \varphi_i} \right) \omega_1 \\ \Delta V_y &= \frac{d}{dt}(\Delta Y) = \left( \Delta l \frac{\partial^2 y_b}{\partial t \partial \varphi_i} + \Delta r_0 \frac{\partial^2 y_b}{\partial r_0 \partial \varphi_i} + \Delta r \frac{\partial^2 y_b}{\partial r \partial \varphi_i} + \Delta S_0 \frac{\partial^2 y_b}{\partial S_0 \partial \varphi_i} \right) \omega_1 \end{aligned}$$

Într-un mod similar se dau relațiile (II.27) :

$$(II.27) \quad \begin{aligned} \Delta a_x &= \frac{d}{dt}(\Delta V_x) = \left( \Delta l \frac{\partial^3 x_b}{\partial t^2 \partial \varphi_i^2} + \Delta r_0 \frac{\partial^3 x_b}{\partial r_0 \partial \varphi_i^2} + \Delta r \frac{\partial^3 x_b}{\partial r \partial \varphi_i^2} + \Delta S_0 \frac{\partial^3 x_b}{\partial S_0 \partial \varphi_i^2} \right) \omega_1^2 + \\ &+ \left( \Delta l \frac{\partial^2 x_b}{\partial t \partial \varphi_i} + \Delta r_0 \frac{\partial^2 x_b}{\partial r_0 \partial \varphi_i} + \Delta r \frac{\partial^2 x_b}{\partial r \partial \varphi_i} + \Delta S_0 \frac{\partial^2 x_b}{\partial S_0 \partial \varphi_i} \right) \varepsilon_1 \\ \Delta a_y &= \frac{d}{dt}(\Delta V_y) = \left( \Delta l \frac{\partial^3 y_b}{\partial t^2 \partial \varphi_i^2} + \Delta r_0 \frac{\partial^3 y_b}{\partial r_0 \partial \varphi_i^2} + \Delta r \frac{\partial^3 y_b}{\partial r \partial \varphi_i^2} + \Delta S_0 \frac{\partial^3 y_b}{\partial S_0 \partial \varphi_i^2} \right) \omega_1^2 + \\ &+ \left( \Delta l \frac{\partial^2 y_b}{\partial t \partial \varphi_i} + \Delta r_0 \frac{\partial^2 y_b}{\partial r_0 \partial \varphi_i} + \Delta r \frac{\partial^2 y_b}{\partial r \partial \varphi_i} + \Delta S_0 \frac{\partial^2 y_b}{\partial S_0 \partial \varphi_i} \right) \varepsilon_1 \end{aligned}$$

unde  $\omega_1 = \frac{d\varphi_i}{dt}$  ;  $\varepsilon_1 = \frac{d\omega_1}{dt}$

Pentru  $\omega_1 = \text{const.}$  rezultă pentru abaterile de accelerație relațiile (II.28) :

$$(II.28) \quad \begin{aligned} \Delta a_x &= \left( \Delta l \frac{\partial^3 x_b}{\partial t^2 \partial \varphi_i^2} + \Delta r_0 \frac{\partial^3 x_b}{\partial r_0 \partial \varphi_i^2} + \Delta r \frac{\partial^3 x_b}{\partial r \partial \varphi_i^2} + \Delta S_0 \frac{\partial^3 x_b}{\partial S_0 \partial \varphi_i^2} \right) \cdot \omega_1^2 \\ \Delta a_y &= \left( \Delta l \frac{\partial^3 y_b}{\partial t^2 \partial \varphi_i^2} + \Delta r_0 \frac{\partial^3 y_b}{\partial r_0 \partial \varphi_i^2} + \Delta r \frac{\partial^3 y_b}{\partial r \partial \varphi_i^2} + \Delta S_0 \frac{\partial^3 y_b}{\partial S_0 \partial \varphi_i^2} \right) \cdot \omega_1^2 \end{aligned}$$

În cazul unui mecanism cu camă de rotație și cu tachet de translație centric, relațiile (II.17) pînă la (II.28) se simplifică, deoarece, conform figurii II.3, rezultă:  $l=0$ ;  $\theta=\varphi_i$ ;  $r_0=s$ . Pentru profilul real rezultă următoarele ecuații (II.29) :

$$(II.29) \quad \begin{aligned} X_b &= (r_0 + s_2) \cos \varphi_1 + r \frac{(r_0 + s_2) \cos \varphi_1 + \frac{ds_2}{d\varphi_1} \sin \varphi_1}{\sqrt{(r_0 + s_2)^2 + \left(\frac{ds_2}{d\varphi_1}\right)^2}} \\ Y_b &= (r_0 + s_2) \sin \varphi_1 + r \frac{(r_0 + s_2) \sin \varphi_1 - \frac{ds_2}{d\varphi_1} \cos \varphi_1}{\sqrt{(r_0 + s_2)^2 + \left(\frac{ds_2}{d\varphi_1}\right)^2}} \end{aligned}$$

Relațiile (II.22) devin pentru cazul particular tratat (II.30):

$$(II.30) \quad \begin{aligned} X_b &= x_b + \Delta r \frac{\partial x_b}{\partial r} + \Delta r_0 \frac{\partial x_b}{\partial r_0} \\ Y_b &= y_b + \Delta r \frac{\partial y_b}{\partial r} + \Delta r_0 \frac{\partial y_b}{\partial r_0} \end{aligned}$$

seu înlocuind în (II.30) relațiile (II.31) de mai jos, rezultă:

$$(II.31) \quad \begin{aligned} \frac{\partial x_b}{\partial r} &= \frac{(r_0 + s_2) \cos \varphi_1 + \frac{ds_2}{d\varphi_1} \sin \varphi_1}{\sqrt{(r_0 + s_2)^2 + \left(\frac{ds_2}{d\varphi_1}\right)^2}} \\ \frac{\partial y_b}{\partial r} &= \frac{(r_0 + s_2) \sin \varphi_1 - \frac{ds_2}{d\varphi_1} \cos \varphi_1}{\sqrt{(r_0 + s_2)^2 + \left(\frac{ds_2}{d\varphi_1}\right)^2}} \\ \frac{\partial x_b}{\partial r_0} &= \cos \varphi_1 + r \frac{\left(\frac{ds_2}{d\varphi_1}\right)^2 \cos \varphi_1 - (r_0 + s_2) \frac{ds_2}{d\varphi_1} \sin \varphi_1}{\sqrt{(r_0 + s_2)^2 + \left(\frac{ds_2}{d\varphi_1}\right)^2}} \\ \frac{\partial y_b}{\partial r_0} &= \sin \varphi_1 + r \frac{\left(\frac{ds_2}{d\varphi_1}\right)^2 \sin \varphi_1 + (r_0 + s_2) \frac{ds_2}{d\varphi_1} \cos \varphi_1}{\sqrt{(r_0 + s_2)^2 + \left(\frac{ds_2}{d\varphi_1}\right)^2}} \end{aligned}$$

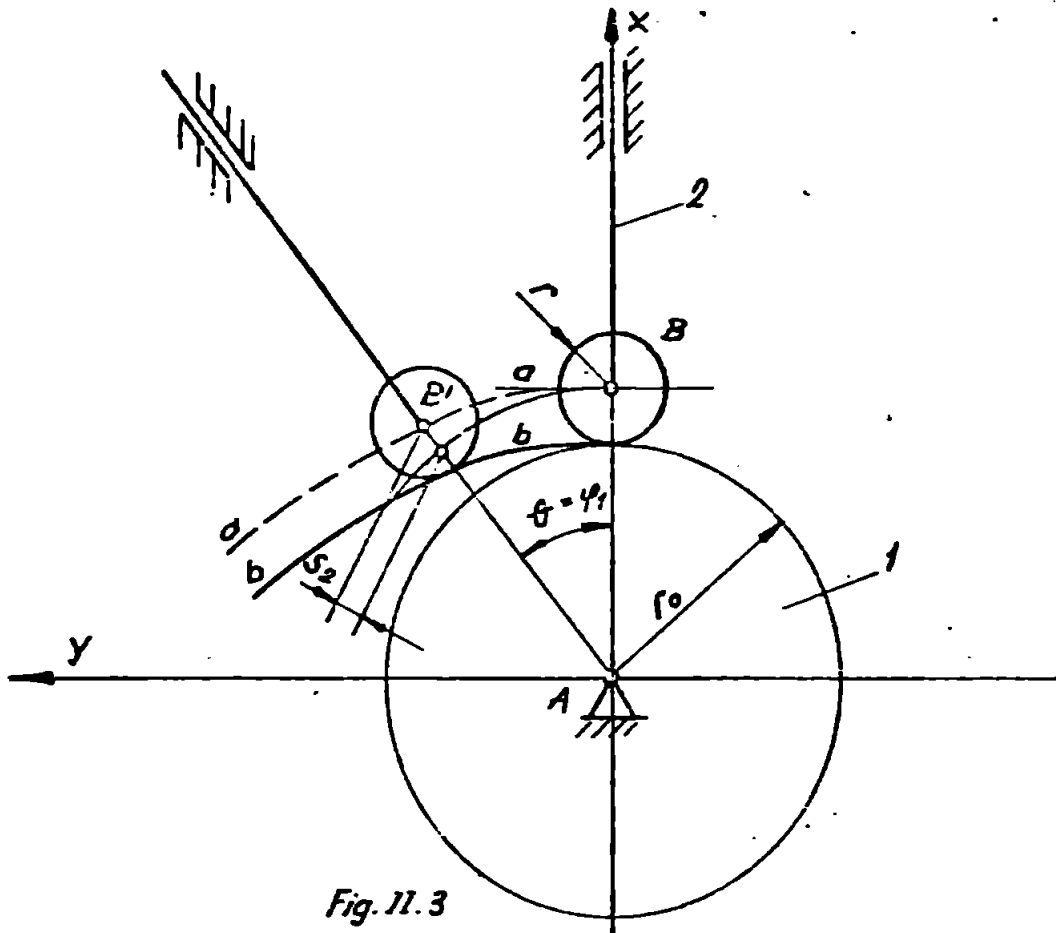


Fig. 11.3

$$(II.32) \quad X_b = (r_0 + s_2 + \Delta r_0) \cos \varphi_1 + \frac{[(r_0 + s_2)(r + \Delta r) + \Delta r_0 r \left(\frac{ds_2}{d\varphi_1}\right)^2] \cos \varphi_1 + \frac{ds_2}{d\varphi_1} [\Delta r r - \Delta r_0 r (r_0 + s_2)] \sin \varphi_1}{\sqrt{(r_0 + s_2)^2 + \left(\frac{ds_2}{d\varphi_1}\right)^2}}$$

$$Y_b = (r_0 + s_2 + \Delta r_0) \sin \varphi_1 + \frac{\frac{ds_2}{d\varphi_1} [\Delta r_0 r (r_0 + s_2) - \Delta r r - r] \cos \varphi_1 + [(r_0 + s_2)(r + \Delta r) + \Delta r_0 r \left(\frac{ds_2}{d\varphi_1}\right)^2] \sin \varphi_1}{\sqrt{(r_0 + s_2)^2 + \left(\frac{ds_2}{d\varphi_1}\right)^2}}$$

Relațiile (II.32) reprezintă coordonatele punctului real de contact dintre camă și roată. Pentru determinarea poziției reale a tchetului se fac iterațiile în succesiunea de mai înainte. Notând cu  $X_b^{(i)}$  și  $Y_b^{(i)}$  valorile calculate cu relațiile (II.32), apoi din (II.33) se calculează:

$$(II.33) \quad S_2^{(i)} = \sqrt{X_b^{(i)2} + Y_b^{(i)2}} - h_0$$

cu  $s_2^{(1)}$  din (II.33), înlocuit în relația (II.32) se determină  $X_b^{(2)}$  și  $Y_b^{(2)}$ , etc., pînă este satisfăcută condiția (II.25).

Abaterile de poziții de ordinul întâi  $\Delta x$  și  $\Delta y$ , date de relațiile (II.9) pot fi calculate sau nu, după cum ele sînt sau nu cerute, sau se determină abaterile de poziție tot de ordinul întâi ale techetului, cu relația (II.34):

$$(II.34) \quad \Delta S_2 = S_2 - S_2^{(K)}$$

care dă o imagine cantitativă a erorii de poziție a elementului executor, unde  $s_2$  este valoarea teoretică din legea de profilare dată de proiectant.

Pentru  $\Delta x$  și  $\Delta y$ , valorile se pot calcula cu ajutorul relațiilor (II.35):

$$(II.35) \quad \begin{aligned} \Delta x &= \Delta r_0 \cos \varphi_1 + \\ &+ \frac{[\Delta r(r_0 + s_2) + \Delta r_0 r \left(\frac{ds_2}{d\varphi_1}\right)^2] \cos \varphi_1 + \frac{ds_2}{d\varphi_1} [\Delta r - \Delta r_0 r(r_0 + s_2)] \sin \varphi_1}{\sqrt{(r_0 + s_2)^2 + \left(\frac{ds_2}{d\varphi_1}\right)^2}} \\ \Delta y &= \Delta r_0 \sin \varphi_1 + \\ &+ \frac{[\Delta r(r_0 + s_2) + \Delta r_0 r \left(\frac{ds_2}{d\varphi_1}\right)^2] \sin \varphi_1 + \frac{ds_2}{d\varphi_1} [\Delta r_0 r(r_0 + s_2) - \Delta r] \cos \varphi_1}{\sqrt{(r_0 + s_2)^2 + \left(\frac{ds_2}{d\varphi_1}\right)^2}} \end{aligned}$$

Abaterile de viteze și accelerații, pe profilul real, la nivelul rolei, se pot calcula cu relațiile (II.36):

$$\Delta V_x = \frac{d}{dt}(\Delta x) = \left( \Delta r_0 \frac{\partial^2 x_b}{\partial r_0 \partial \varphi_1} + \Delta r \frac{\partial^2 x_b}{\partial r \partial \varphi_1} \right) \cdot \omega_1$$

$$\begin{aligned}
 \Delta V_y &= \frac{d}{dt}(\Delta y) = \left( \Delta r_0 \frac{\partial^2 y_0}{\partial r_0 \partial y_1} + \Delta r \frac{\partial^2 y_0}{\partial r \partial y_1} \right) \cdot \omega_1 \\
 \Delta \alpha_x &= \frac{d}{dt}(\Delta v_x) = \left( \Delta r_0 \frac{\partial^3 x_0}{\partial r_0 \partial y_1^2} + \Delta r \frac{\partial^3 x_0}{\partial r \partial y_1^2} \right) \omega_1^2 + \left( \Delta r_0 \frac{\partial^2 x_0}{\partial r_0 \partial y_1} + \Delta r \frac{\partial^2 x_0}{\partial r \partial y_1} \right) \cdot \varepsilon_1 \\
 \Delta \alpha_y &= \frac{d}{dt}(\Delta v_y) = \left( \Delta r_0 \frac{\partial^3 y_0}{\partial r_0 \partial y_1^2} + \Delta r \frac{\partial^3 y_0}{\partial r \partial y_1^2} \right) \omega_1^2 + \left( \Delta r_0 \frac{\partial^2 y_0}{\partial r_0 \partial y_1} + \Delta r \frac{\partial^2 y_0}{\partial r \partial y_1} \right) \cdot \varepsilon_1
 \end{aligned}
 \tag{II.36}$$

#### II.4. Mecanism cu camă de rotație tchet cu talpă plană

Pentru mecanismele cu camă de rotație și tchet cu talpă plană, cunoscând legea de mișcare a executorului,

$$s_2 = s_2(t)$$

conform figurii II.4, rezultă ecuațiile profilului real în coordonate polare ecuațiile (II.37):

$$\begin{aligned}
 \theta &= \gamma_1 + \beta = \gamma_1 \operatorname{arctg} \frac{\frac{ds_2}{dt}}{r_0 + s_2} \\
 R &= \sqrt{(r_0 + s_2)^2 + \left( \frac{ds_2}{dt} \right)^2}
 \end{aligned}
 \tag{II.37}$$

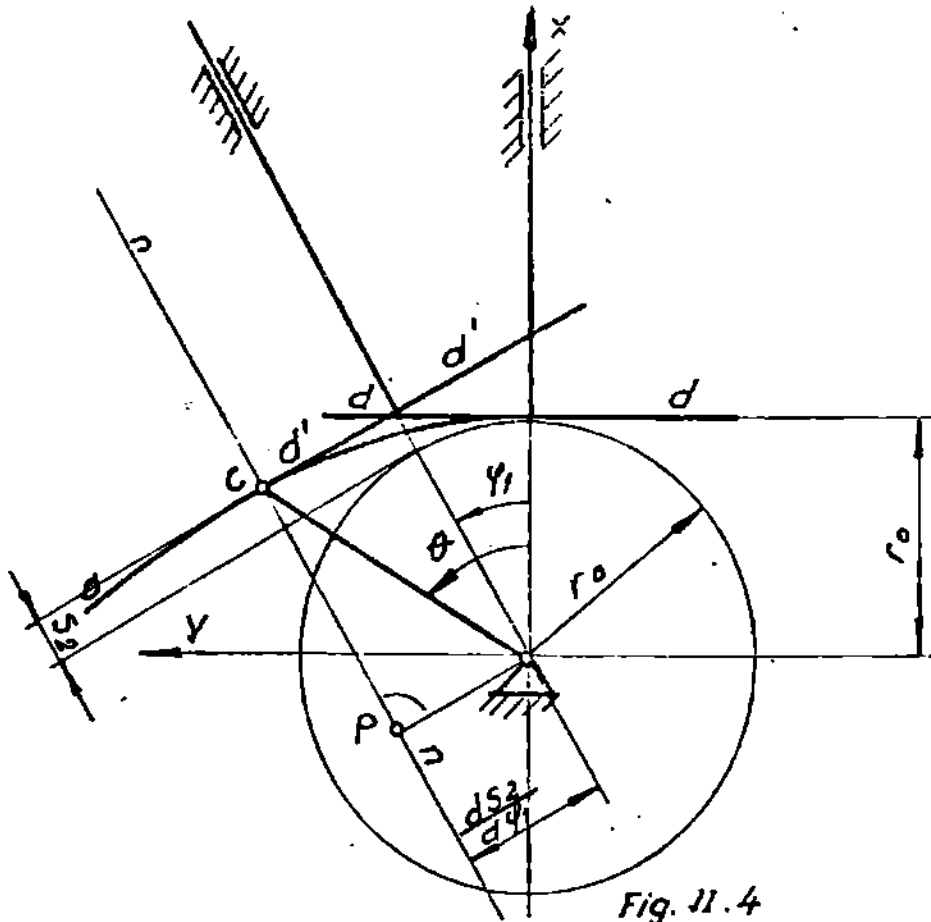


Fig. 11.4

Cu relațiile (2) se obțin ecuațiile în coordonate carteziene (II.38) :

$$(II.38) \quad \begin{aligned} X &= \sqrt{(r_0 + s_2)^2 + \left(\frac{ds_2}{d\varphi_1}\right)^2} \cdot \cos\left(\varphi_1 + \arctg \frac{\frac{ds_2}{d\varphi_1}}{r_0 + s_2}\right) \\ Y &= \sqrt{(r_0 + s_2)^2 + \left(\frac{ds_2}{d\varphi_1}\right)^2} \cdot \sin\left(\varphi_1 + \arctg \frac{\frac{ds_2}{d\varphi_1}}{r_0 + s_2}\right) \end{aligned}$$

Se obțin :  $x = x(r_0, \varphi_1)$  și  $y = y(r_0, \varphi_1)$ , unde se observă că ecuația profilului unei șuruburi depinde de cei doi puțini parametri, de unde se poate trage concluzia că tachetul cu talpă plană asigură o precizie mai bună în condiții identice de execuție, decât tipurile analizate pînă în prezent.

Considerînd abaterile elementare, se obține (II.

$$39) \quad (II.39) \quad X = X(r_0 + \Delta r_0, \varphi_1); \quad Y = Y(r_0 + \Delta r_0, \varphi_1);$$

adică, înlocuind în (II.38), rezultă (II.40) :

$$X = \sqrt{(r_0 + \Delta r_0 + s_2)^2 + \left(\frac{ds_2}{d\varphi_1}\right)^2} \cdot \cos\left(\varphi_1 + \arctg \frac{\frac{ds_2}{d\varphi_1}}{r_0 + \Delta r_0 + s_2}\right)$$

$$(II.40) \quad Y = \sqrt{(r_0 + \Delta r_0 + s_2)^2 + \left(\frac{ds_2}{d\varphi_1}\right)^2} \cdot \sin\left(\varphi_1 + \arctg \frac{\frac{ds_2}{d\varphi_1}}{r_0 + \Delta r_0 + s_2}\right)$$

Abaterile de poziții se obțin direct prin diferență (II.41) :

$$(II.41) \quad \begin{aligned} \Delta X &= X - x \\ \Delta Y &= Y - y \end{aligned}$$

iar abaterile de viteze și accelerații se obțin prin derivarea relațiilor (II.41) în raport cu timpul. Eroarea pozițională a tachetului  $\Delta s_2$  se calculează prin diferența deplasării teoretice  $s_2$  pentru  $\varphi$  ales, obținut din  $s_2 = s_2(t)$ , cu  $t = \frac{\varphi}{\omega_1}$  și  $s_2^*$ , deplasarea reală a tachetului calculată cu relația (II.42) :

$$(II.42) \quad s_2^* = \sqrt{X^2 + Y^2} \cdot \cos\left(\arctg \frac{Y}{X} - \varphi_1\right) - r_0$$

iar relația (II.43) calculează eroarea de deplasare:

$$(II.43) \quad \Delta s_2 = s_2 - s_2^*$$

Abaterile de viteze și accelerații se vor determina prin derivarea în raport cu timpul a relațiilor (II.41), asemănător cu mecanismele cu came tratate anterior.

## II.5. Mecanism cu camă de rotație tachet oscilant cu talpă plană

Dacă tachetul cu talpă plană este oscilant, iar cama este tot de rotație, conform figurii II.5. se deduc ecuațiile profilului camei în coordonate polare (II.46) și (II.47), utilizând relațiile (II.44) și (II.45) :

$$(II.44) \quad AB = \frac{d\varphi_2}{d\varphi_1} \cdot BC$$

$$(II.45) \quad BC = \frac{l_3}{1 - \frac{d\varphi_2}{d\varphi_1}} \cos(\varphi_0 + \varphi_2) = (AM + l_3) \cos(\varphi_0 + \varphi_2)$$

$$AM = \frac{AB}{\cos(\varphi_0 + \varphi_2)}$$

$$R = \sqrt{BC^2 + l_3^2 - 2BC \cdot l_3 \cos(\varphi_0 + \varphi_2)}$$



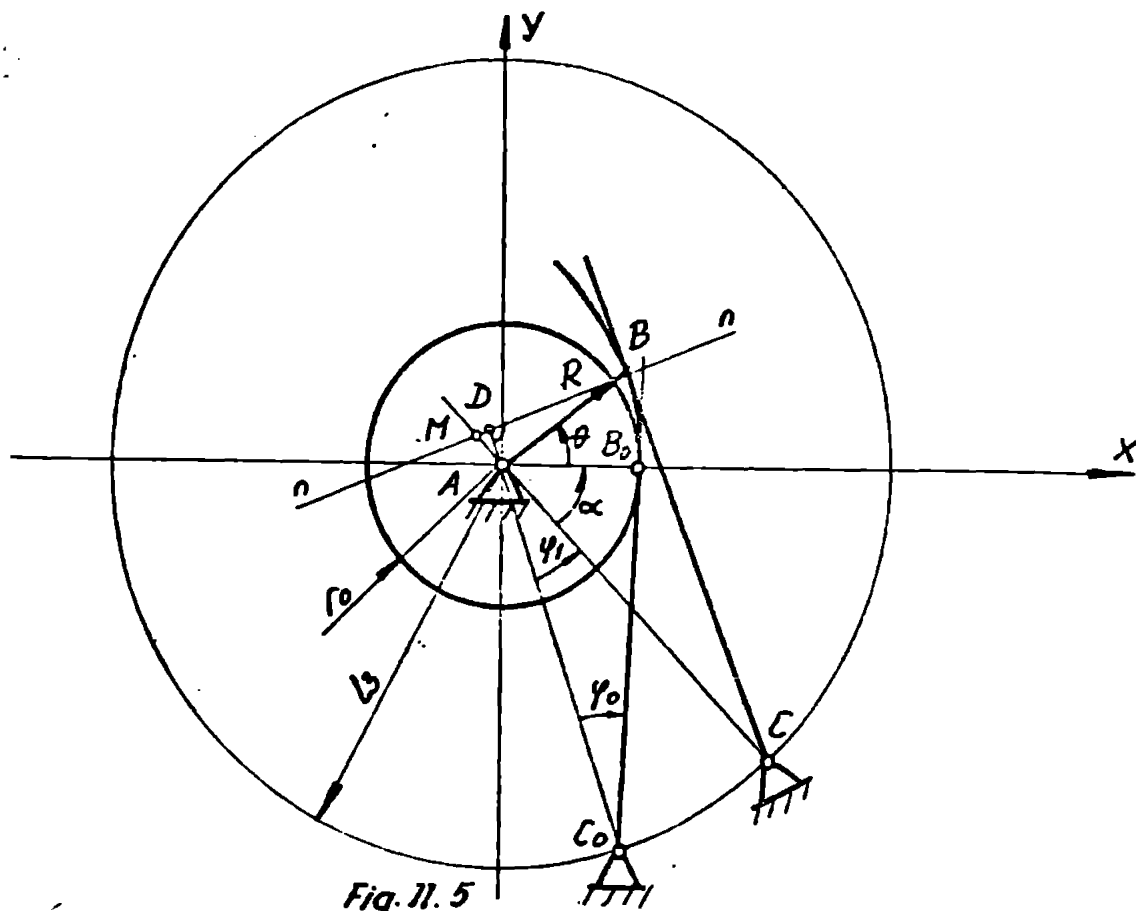


Fig. II. 5

$$(II.46) \quad R = \frac{L_3}{1 - \frac{dy_2}{dy_1}} \sqrt{\left(\frac{dy_2}{dy_1}\right)^2 \cos^2(\gamma_0 + \gamma_2) + \left(1 - \frac{dy_2}{dy_1}\right)^2 \sin^2(\gamma_0 + \gamma_2)}$$

Din rapoartele:

$$\frac{BC}{\sin(\theta + \alpha)} = \frac{AC}{\sin(\theta + \alpha + \gamma_0 + \gamma_2)}$$

rezultă după înlocuire:

$$(II.47) \quad \theta = \gamma_0 + \gamma_1 + \operatorname{arctg} \frac{\sin 2(\gamma_0 + \gamma_2)}{2\left[1 - \frac{dy_2}{dy_1} - \cos^2(\gamma_0 + \gamma_2)\right]}$$

cu notațiile:  $\gamma_0 = \operatorname{arcsin} r_0/L_3$ ;  $\gamma_2 = \gamma_2(t)$ ;  $\gamma_1 = \omega_1 t$

În cazul constructiv, din figura II.6, cu notațiile din figură rezultă relațiile (II.48) și (II.49):

$$(II.48) \quad \gamma_1 = \gamma_1' - \gamma_2' - \gamma_0 + \operatorname{arcsin} \left[ \sin(\gamma_0' + \gamma_2') - \frac{r}{L_3} \right]$$

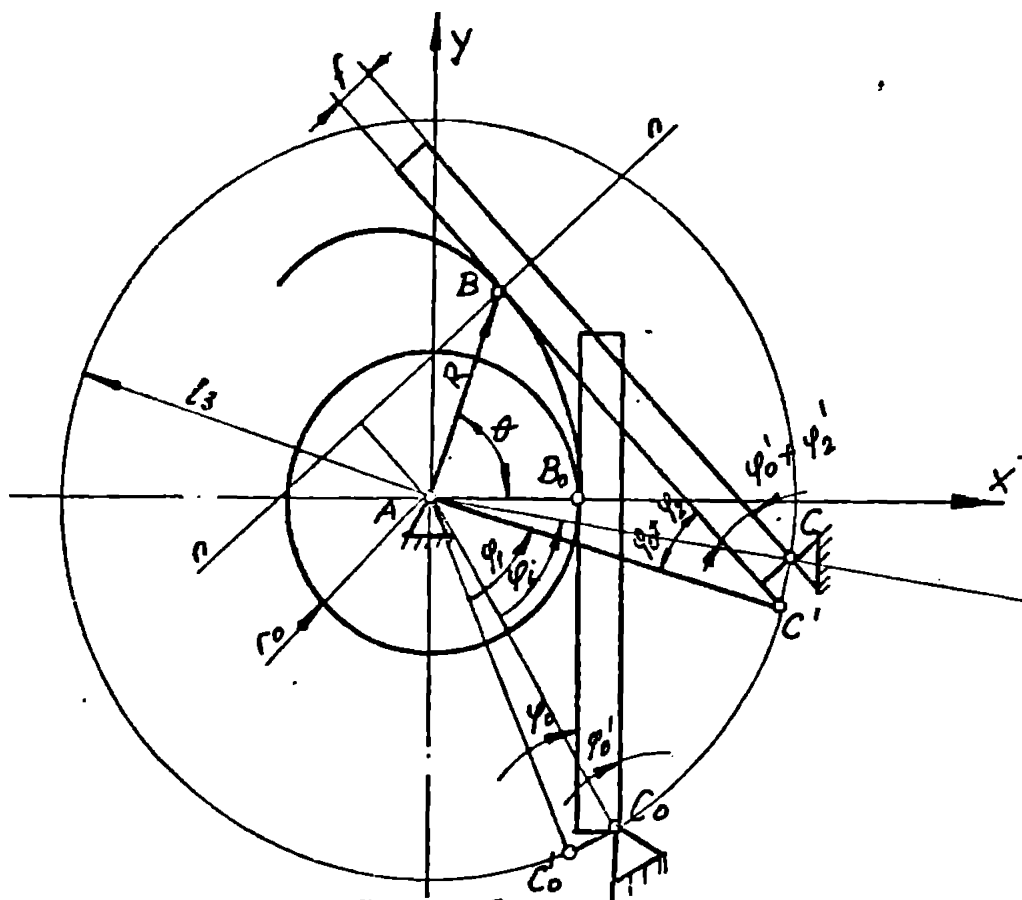


Fig. II. 6

$$(II.49) \quad \varphi_2' = \arcsin \left[ \sin(\varphi_0' + \varphi_2') - \frac{r}{l_3} \right]$$

Iar pentru ecuațiile în coordonate polare ale profilului real al camii se vor folosi tot relațiile (II.46) și (II.47) ținând cont de semnificațiile relațiilor (II.48) și (II.49), unde se pot determina următoarele mărimi :

$$\varphi_0 = \arcsin \frac{r_0}{l_3}; \quad \varphi_0' = \arcsin \frac{r_0 + f}{l_3}$$

Se precizează că pentru proiectarea camii se cunoaște  $\varphi_2' = \varphi_2'(t)$ , precum și  $\varphi_1 = \omega_1 t$ , cu  $\omega_1$  de obicei constant.

În coordonate carteziene, ecuațiile profilului camii sînt exprimate cu relațiile (II.2), iar ținînd cont de abaterile elementare independente, rezultă relațiile (II.50) :

$$(II.50) \quad \begin{aligned} X &= X(l_3 + \Delta l_3, \varphi_0 + \Delta \varphi_0, r_0 + \Delta r_0, f + \Delta f, \varphi_1) \\ Y &= Y(l_3 + \Delta l_3, \varphi_0 + \Delta \varphi_0, r_0 + \Delta r_0, f + \Delta f, \varphi_1) \end{aligned}$$

Procedînd ca în cazul mecanismelor cu came studiate anterior, se obțin abaterile elementare de poziții  $\Delta x$  și  $\Delta y$ , precum și poziția reală a punctului de contact, notat prin coor-

donatele  $X^{(1)}$  și  $Y^{(1)}$ , obținute cu relațiile (II.51) :

$$(II.51) \quad \begin{aligned} X^{(1)} &= X(\gamma_1) + \frac{\partial X}{\partial L_3} \Delta L_3 + \frac{\partial X}{\partial \gamma_0} \Delta \gamma_0 + \frac{\partial X}{\partial r_0} \Delta r_0 + \frac{\partial X}{\partial f} \Delta f \\ Y^{(1)} &= Y(\gamma_1) + \frac{\partial Y}{\partial L_3} \Delta L_3 + \frac{\partial Y}{\partial \gamma_0} \Delta \gamma_0 + \frac{\partial Y}{\partial r_0} \Delta r_0 + \frac{\partial Y}{\partial f} \Delta f \end{aligned}$$

Metoda iterativă de determinare a abaterii de poziție  $\Delta \varphi_2$  se poate folosi cu relațiile (II.52) și (II.53) :

$$(II.52) \quad \begin{aligned} \rho^{(1)} &= \sqrt{X^{(1)2} + Y^{(1)2}} \\ \theta^{(1)} &= \arctg \frac{Y^{(1)}}{X^{(1)}} \end{aligned}$$

$$(II.53) \quad \varphi_2^{(1)} = \sqrt{\frac{\rho^{(1)2} \cdot \cos(\theta^{(1)} - \gamma_0 - \gamma_1)}{\rho^{(1)2} + L_3^2 - 2\rho^{(1)}L_3 \sin(\gamma_0 + \gamma_1 - \theta^{(1)})}} - \gamma_0$$

Cu valoarea  $\varphi_2^{(1)}$  din (II.53), înlocuită în (II.51) se obțin  $X^{(2)}$  și  $Y^{(2)}$ . Apoi se calculează din nou  $\varphi_2^{(2)}$ , ș.a.m.d., pînă este verificată condiția:

$$(II.54) \quad |\varphi_2^{(k)} - \varphi_2^{(k-1)}| \leq \varepsilon$$

Pentru o precizie mai bună și eventual o convergență mai rapidă a iterațiilor se pot considera și termenii de ordinul doi din dezvoltarea (II.51) :

Abaterile de viteze și accelerații se vor determina ca în cazurile precedente, prin derivarea în raport cu timpul a relațiilor ce dau abaterile de deplasare.

## II.6. Mecanism cu casă de translație tchet oscilant

Mecanismele cu casa de translație și tchet oscilant diferă de cele prezentate pînă acum prin faptul că mișcarea casei, elementul de comandă, este translația. Astfel, parametrul de poziție care descrie mișcarea mecanismului va fi un parametru liniar.

Considerăm mecanismul cu camă de translație și techet oscilant din figura II.7. Pentru sinteza mecanismului presupunem cunoscută legea de mișcare  $\psi_2 = \psi_2(t)$  a techetului. În sistemul de referință ales, cu dimensiunile din schiță cunoscute de asemenea, profilul teoretic al camei se obține (II.54) în coordonate carteziene :

$$(II.54) \quad \begin{aligned} x &= l_2 [\sin(\gamma_0 + \gamma_2) - \sin \gamma_0] \\ y &= l_3 - r_0 - l_2 \cos(\gamma_0 + \gamma_2) \end{aligned}$$

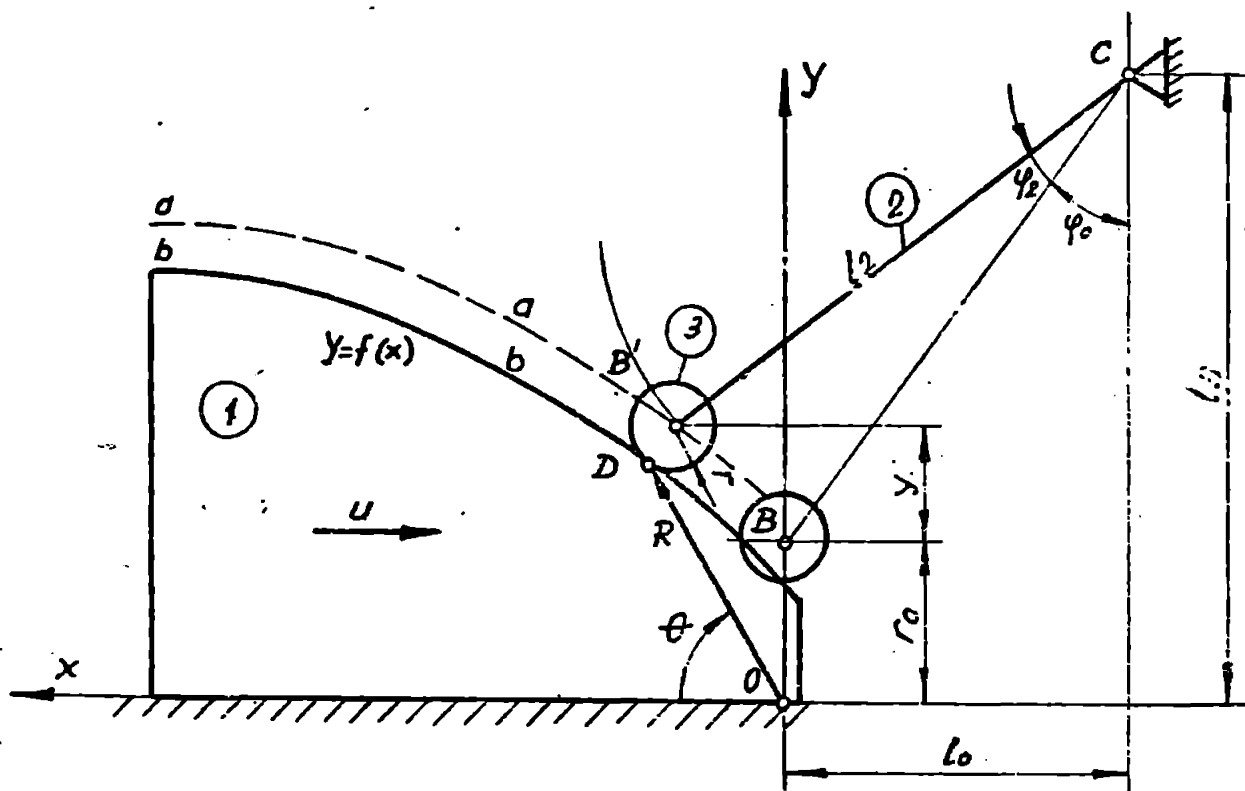


Fig. II.7

Coordonatele carteziene ale profilului real se obțin cu relațiile (II.55) :

$$(II.55) \quad \begin{aligned} x_b &= (r_0 + l_2) \sin(\gamma_0 + \gamma_2) - l_2 \sin \gamma_0 \\ y_b &= l_3 - r_0 - (l_2 - r_0) \cos(\gamma_0 + \gamma_2) \end{aligned}$$

Din figura II.7 rezultă următoarele relații (II.56) :

$$(II.56) \quad \gamma_0 = \arccos \frac{l_3 - r_0}{l_2} = \arcsin \frac{l_0}{l_2}$$

iar pentru profilul real s-au determinat condițiile din (II.57) :

$$\sqrt{\left(\frac{dy}{dt}\right)^2 + \left(\frac{dx}{dt}\right)^2} = l_2 \dot{\gamma}$$

$$(II.57) \quad \begin{aligned} \frac{dy}{dt} = \dot{y} &= l_2 \dot{\gamma}_2 \sin(\gamma_0 + \gamma_2) \\ \frac{dx}{dt} = \dot{x} &= l_2 \dot{\gamma}_2 \cos(\gamma_0 + \gamma_2) \end{aligned}$$

Ecuațiile (II.55) exprimă profilul real al mecanismului ideal. În realitate, mărimile dimensionale ce intervin în expresii sînt afectate de abateri, astfel că sub formă generală se pot scrie relațiile (II.58) :

$$(II.58) \quad \begin{aligned} X_b &= X_b(l_2 + \Delta l_2, l_3 + \Delta l_3, r_0 + \Delta r_0, r + \Delta r, \gamma_0 + \Delta \gamma_0, t) \\ Y_b &= Y_b(l_2 + \Delta l_2, l_3 + \Delta l_3, r_0 + \Delta r_0, r + \Delta r, \gamma_0 + \Delta \gamma_0, t) \end{aligned}$$

Dezvoltînd în serie Taylor și reținînd doar termenii de ordinul întâi, rezultă (II.59) :

$$(II.59) \quad \begin{aligned} X_b^{(1)} &= X_b + \Delta l_2 \frac{\partial X_b}{\partial l_2} + \Delta l_3 \frac{\partial X_b}{\partial l_3} + \Delta r_0 \frac{\partial X_b}{\partial r_0} + \Delta r \frac{\partial X_b}{\partial r} + \Delta \gamma_0 \frac{\partial X_b}{\partial \gamma_0} \\ Y_b^{(1)} &= Y_b + \Delta l_2 \frac{\partial Y_b}{\partial l_2} + \Delta l_3 \frac{\partial Y_b}{\partial l_3} + \Delta r_0 \frac{\partial Y_b}{\partial r_0} + \Delta r \frac{\partial Y_b}{\partial r} + \Delta \gamma_0 \frac{\partial Y_b}{\partial \gamma_0} \end{aligned}$$

Diferențele  $X_b^{(1)} - x$ , și  $Y_b^{(1)} - y$ , exprimă abaterile pozitionale de ordinul întâi. Pentru o precizie mai bună a calculului se pot reține și termenii de ordinul doi din dezvoltare, obținînd abaterile pozitionale de ordinul doi. Prin metoda iterativă expusă în cazul mecanismelor precedente este aplicabilă și în acest caz, calculînd cu valorile  $X_b^{(1)}$  și  $Y_b^{(1)}$  din (II.59) pe  $\beta_b^{(1)}$  și  $\mu$ , cu relațiile (II.60) :

$$(II.60) \quad \begin{aligned} \beta_b^{(1)} &= \sqrt{X_b^{(1)2} + Y_b^{(1)2}} ; & \tan \theta &= \frac{Y_b^{(1)}}{X_b^{(1)}} \\ \tan \mu &= \frac{\frac{dy}{dx} - \tan \theta}{1 + \frac{dy}{dx} \tan \theta} ; & \frac{dy}{dx} &= \frac{dy}{dt} \cdot \frac{1}{\frac{dx}{dt}} = \frac{\dot{y}}{\dot{x}} \end{aligned}$$

apoi cu relațiile (II.61) se obține  $\psi_2^{(1)}$  :

$$(II.61) \quad \gamma_2^{(1)} = \arccos \frac{l_2^2 + l_3^2 + l_3^2 - \beta_b^{(1)2} - r^2 - 2\beta_b^{(1)} r \sin \mu}{2l_2 \sqrt{l_3^2 + l_3^2}}$$

Din  $\varphi_2^{(1)} = \varphi_2(t)$  rezultă parametrul  $t$  corespunzător cu care se rescriu celelalte în relația (II.59), etc., pînă este verificată condiția (II.53).

Abaterile de viteze și accelerații se obțin prin derivarea în raport cu timpul a abaterii de poziție.

### II.7. Mecanism cu camă de translație tchet de translație

Dacă mecanismul cu camă de translație are tchet tot de translație ou rolă (fig.II.8), presupunînd cunoscută legea de mișcare a tchetului  $s_2 = s_2(t)$ , ecuațiile profilului teoretic a-a el camii în coordonate carteziene sînt (II.62) :

$$(II.62) \quad \begin{aligned} X &= X(t) = t \\ Y &= Y(t) = s_0 + s_2(t) \end{aligned}$$

Profilul real b-b se obține cu relațiile (II.63) :

$$(II.63) \quad \begin{aligned} X_b &= t + r \frac{\dot{s}_2}{\sqrt{1 + \dot{s}_2^2}} \\ Y_b &= s_0 + s_2 + \frac{r}{\sqrt{1 + \dot{s}_2^2}} \end{aligned}$$

Ecuațiile profilului real afectat de erorile tehnologice sînt (II.64) :

$$(II.64) \quad \begin{aligned} X_b &= X_b(r + \Delta r, t) \\ Y_b &= Y_b(r + \Delta r, s_0 + \Delta s_0, t) \end{aligned}$$

Iar din dezvoltarea în serie Taylor a relațiilor de mai sus, reținînd doar termenii de ordinul întâi rezultă (II.65) :

$$(II.65) \quad \begin{aligned} X_b^{(1)} &= X_b(t) + \frac{\partial X_b}{\partial r} \Delta r \\ Y_b^{(1)} &= Y_b(t) + \frac{\partial Y_b}{\partial r} \Delta r + \frac{\partial Y_b}{\partial s_0} \Delta s_0 \end{aligned}$$



rilor cinematice de deplasare, viteze, și accelerații s-a elaborat un program de calcul, care conține un program principal și cinci subrutine. Notațiile utilizate în program sînt prezentate în tabelul II.2. S-a notat cu variabile întregă  $I = \{1, 2, 3, \dots, 8\}$  tipul mecanismului conform tabelului II.1.

Tab. II. 1

Nr. crt.	Tipul mecanismului	$I$	Simbol
1	Mecanism cu camă de rotație, tchet oscilant cu role	1	C.R.T.O.R.
2	Mecanism cu camă de rotație, tchet de translație excentric cu rolă.	2	C.R.T.T.E.
3	Mecanism cu camă de rotație, tchet de translație excentric cu rolă	3	C.R.T.T.C.
4	Mecanism cu camă de rotație, tchet de translație cu talpă plană.	4	C.R.T.T.T.P.
5	Mecanism cu camă de rotație, tchet oscilant cu talpă plană var. $\bar{I}$	5	C.R.T.O.T.P.A.
6	Mecanism cu camă de rotație, tchet oscilant cu talpă plană var. $\bar{II}$	6	C.R.T.O.T.P.B.
7	Mecanism cu camă de translație, tchet oscilant cu rolă.	7	C.T.T.O.R.
8	Mecanism cu camă de translație, tchet de translație cu rolă.	8	C.T.T.T.R.

Pentru calculul derivatelor întâi s-au utilizat creșterile finite (II.67) :

$$(II.67) \quad f'(x_0) = \frac{\Delta_0}{h} ; \quad \text{cu } \Delta_0 = f(x_0+h) - f(x_0)$$

iar pentru calculul derivatelor de ordinul doi s-au folosit formula lui Marhev (II.68) :

$$(II.68) \quad f'(x_0) = \frac{1}{h} \left( \Delta_0 - \frac{1}{2} \Delta_0^2 + \frac{1}{3} \Delta_0^3 \right)$$



Tab. II. 2

LUCRARE								PROGRAM
I=1	I=2	I=3	I=4	I=5	I=6	I=7	I=8	
$\varphi_0$	$s_0$	$s_0$	$s_0$	$\varphi_0$	$\varphi_0$	$\varphi_0$	$s_0$	F10
$l_2$	$l$	0	0	0	0	$l_2$	0	XL2
$l_3$	0	0	0	$l_3$	$l_3$	$l_3$	0	XL3
$\theta$	$\theta$	$\theta$	$\theta$	$\theta$	$\theta$	0	0	TETA
R	R	R	R	R	R	0	0	0
$h_0$	$h_0$	$h_0$	$h_0$	$h_0$	$h_0$	$h_0$	$h_0$	R0
$\varphi_1$	$\varphi_1$	$\varphi_1$	$\varphi_1$	$\varphi_1$	$\varphi_1$	u.t	u.t	F11
X	X	X	0	0	0	X	X	X
Y	Y	Y	0	0	0	Y	Y	Y
$h$	$h$	$h$	0	0	f	$h$	$h$	R
$x_b$	$x_b$	$x_b$	$x_b$	$x_b$	$x_b$	$x_b$	$x_b$	XB
$y_b$	$y_b$	$y_b$	$y_b$	$y_b$	$y_b$	$y_b$	$y_b$	YB
$\Delta l_2$	$\Delta l_2$	0	0	0	0	$\Delta l_2$	0	$\Delta 2$
$\Delta l_3$	0	0	0	$\Delta l_3$	$\Delta l_3$	$\Delta l_3$	0	$\Delta 3$
$\Delta h$	$\Delta h$	$\Delta h$	0	0	$\Delta f$	$\Delta h$	$\Delta h$	DR
$\Delta h_0$	$\Delta h_0$	$\Delta h_0$	$\Delta h_0$	$\Delta h_0$	$\Delta h_0$	$\Delta h_0$	$\Delta h_0$	D0
$\Delta \varphi_0$	$\Delta \varphi_0$	$\Delta \varphi_0$	$\Delta \varphi_0$	$\Delta \varphi_0$	$\Delta \varphi_0$	$\Delta \varphi_0$	$\Delta \varphi_0$	DF
$X_b$	$X_b$	$X_b$	X	X	X	$X_b$	$X_b$	XN
$Y_b$	$Y_b$	$Y_b$	Y	Y	Y	$Y_b$	$Y_b$	YN
$\varphi_2$	$s_2$	$s_2$	$s_2$	$\varphi_2$	$\varphi_2$	$\varphi_2$	$s_2$	F12
W	W	W	W	W	W	U	U	MEGA
0	0	0	0	0	$\varphi_2$	0	0	A
0	0	0	0	0	$\varphi_1$	0	0	B
0	0	0	0	0	$\varphi_0$	0	0	C
$\Delta V_x$	$\Delta V_x$	$\Delta V_x$	$\Delta V_x$	$\Delta V_x$	$\Delta V_x$	$\Delta V_x$	$\Delta V_x$	W1
$\Delta V_y$	$\Delta V_y$	$\Delta V_y$	$\Delta V_y$	$\Delta V_y$	$\Delta V_y$	$\Delta V_y$	$\Delta V_y$	Z1
$\Delta \sigma_x$	$\Delta \sigma_x$	$\Delta \sigma_x$	$\Delta \sigma_x$	$\Delta \sigma_x$	$\Delta \sigma_x$	$\Delta \sigma_x$	$\Delta \sigma_x$	W2
$\Delta \sigma_y$	$\Delta \sigma_y$	$\Delta \sigma_y$	$\Delta \sigma_y$	$\Delta \sigma_y$	$\Delta \sigma_y$	$\Delta \sigma_y$	$\Delta \sigma_y$	Z2

$$f''(x_0) = \frac{1}{h^2} (\Delta_0^2 - \Delta_0^3)$$

Mărimile de intrare sînt următoarele: FI2(FI1, ΩMEGAL); RO; FI1; ΩMEGAL; XI2; XI3; H, iar cele de ieşire sînt: D; TETA; X; Y; XF; YF; XN; YN; DX; DY; W 1; Z1; W 2; Z2.

Programul de calcul utilizează următoarele subrutine:

- SUBROUTINE VALDE - calculează funcţiile FIO, TETA, D, reprezentînd poziţia de start a techetului, precum şi ecuaţiile în coordonate polare ale profilului teoretic. Face uz de datele de intrare: I, FI1, RO, DO, XI2, XI3, FI2, ΩMEGAL, R, H.
- SUBROUTINE DEXY - calculează pe X; Y; şi XF; YF, reprezentînd profilul teoretic în coordonate carteziene. Foloseşte datele de intrare I, FI1, RO, DO, XI2, XI3, FI2, ΩMEGAL, R, H.
- SUBROUTINE XBYR - calculează coordonatele punctelor profilului real al camii ca înrîurătoare a poziţiilor succesive ale rolei, al cărui centru se mişcă pe profilul teoretic. Ca date de intrare foloseşte I, FI1, RO, DO, XI2, XI3, FI2, ΩMEGAL, R, H, FIO.
- SUBROUTINE DXYN - calculează profilul real al camii în condiţiile execuţiilor imprecise ale tuturor elementelor componente, precum şi axurile poziţionale ale rolei. Valorile de intrare sînt: I, D2, D3, DR, DF, FI1, RO, DO, XI2, XI3, FI2, ΩMEGAL, R, H, FIO.
- SUBROUTINE ZW 12 - calculează abaterile de viteză şi acceleraţii E 1, W 2, Z1, Z2, utilizînd ca valori de intrare DX, DY, I, D2, D3, DR, DO, DF, FI1, RO, DO, XI2, XI3, FI2, ΩMEGAL, R, H, FIO.

În următoarea organigramă menţionăm principalele etape de calcul de funcţie de tipul necondensului simulat prin variabila întregă  $I = \{1, 2, \dots, 8\}$ .

S-au mai utilizat următoarele notaţii (II.69) :

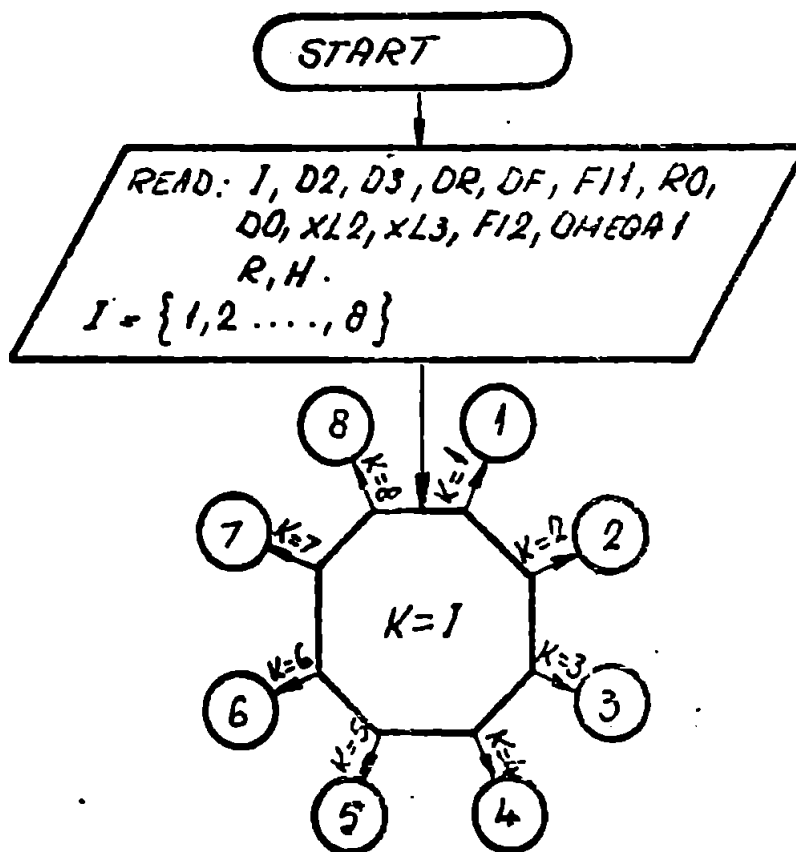
$$(II.69) \quad \begin{aligned} a_1 &= \frac{\partial xB}{\partial xL2} ; a_2 = \frac{\partial xB}{\partial xL3} ; a_3 = \frac{\partial xB}{\partial R} ; a_4 = \frac{\partial xB}{\partial RO} ; a_5 = \frac{\partial xB}{\partial FIO} \\ b_1 &= \frac{\partial yB}{\partial xL2} ; b_2 = \frac{\partial yB}{\partial xL3} ; b_3 = \frac{\partial yB}{\partial R} ; b_4 = \frac{\partial yB}{\partial RO} ; b_5 = \frac{\partial yB}{\partial FIO} \end{aligned}$$

Pentru cazul I = 6 se mai introduce notațiile (II.70) :

$$A = \arcsin \left( \sin(C + F12) - \frac{R}{XL3} \right)$$

$$(II.70) \quad B = F11 - F12 - F10 + \arcsin \left( \sin(C + F12) - \frac{R}{XL3} \right)$$

$$C = \arcsin \frac{RO + R}{XL3}$$





C.R.T.O.R.

$$F10 = \arccos \frac{(xL2)^2 + (xL3)^2 - (R0)^2}{2 \times xL2 \times xL3}$$

$$D = \left( (xL2)^2 + (xL3)^2 - 2 \times xL2 \times xL3 \times \cos(F10 + F12) \right)^{0,5}$$

$$TETA = F11 - \arcsin \left( \frac{xL2}{R0} \sin F10 \right) + \\ + \arctg \frac{xL2 \sin(F10 + F12)}{xL3 - xL2 \cos(F10 + F12)}$$

$$x = D \cos \theta \quad ; \quad y = D \sin \theta$$

$$xB = x + \frac{R \frac{dy}{dF11}}{\left( \left( \frac{dx}{dF11} \right)^2 + \left( \frac{dy}{dF11} \right)^2 \right)^{0,5}}$$

$$yB = y - \frac{R \frac{dx}{dF11}}{\left( \left( \frac{dx}{dF11} \right)^2 + \left( \frac{dy}{dF11} \right)^2 \right)^{0,5}}$$

$$\Delta x = D2a1 + D3a2 + DRa3 + D0a4 + DFa5$$

$$\Delta y = D2b1 + D3b2 + DRb3 + D0b4 + Dfb5$$

$$xN = xB + \Delta x \quad ; \quad yN = yB + \Delta y$$

$$W1 = \frac{d(\Delta x)}{dt} \quad ; \quad Z1 = \frac{d(\Delta y)}{dt}$$

$$W2 = \frac{d^2(\Delta x)}{dt^2} \quad ; \quad Z2 = \frac{d^2(\Delta y)}{dt^2}$$

STOP

2

C.R.T.T.E.

$$F10 = ((R0)^2 - (XL2)^2)^{0,5}$$

$$D = ((F10 + F12)^2 + (XL2)^2)^{0,5}$$

$$TETA = F11 + \arctg \frac{F10 + F12}{XL2} - \arctg \frac{F10}{XL2}$$

$$X = D \cos TETA \quad ; \quad Y = D \sin TETA.$$

$$XB = X + R \frac{dY}{dF11} : \left( \left( \frac{dX}{dF11} \right)^2 + \left( \frac{dY}{dF11} \right)^2 \right)^{0,5}$$

$$YB = Y - R \frac{dX}{dF11} : \left( \left( \frac{dX}{dF11} \right)^2 + \left( \frac{dY}{dF11} \right)^2 \right)^{0,5}$$

$$DX = D2a1 + D3a2 + DRa3 + D0a4 + DFa5$$

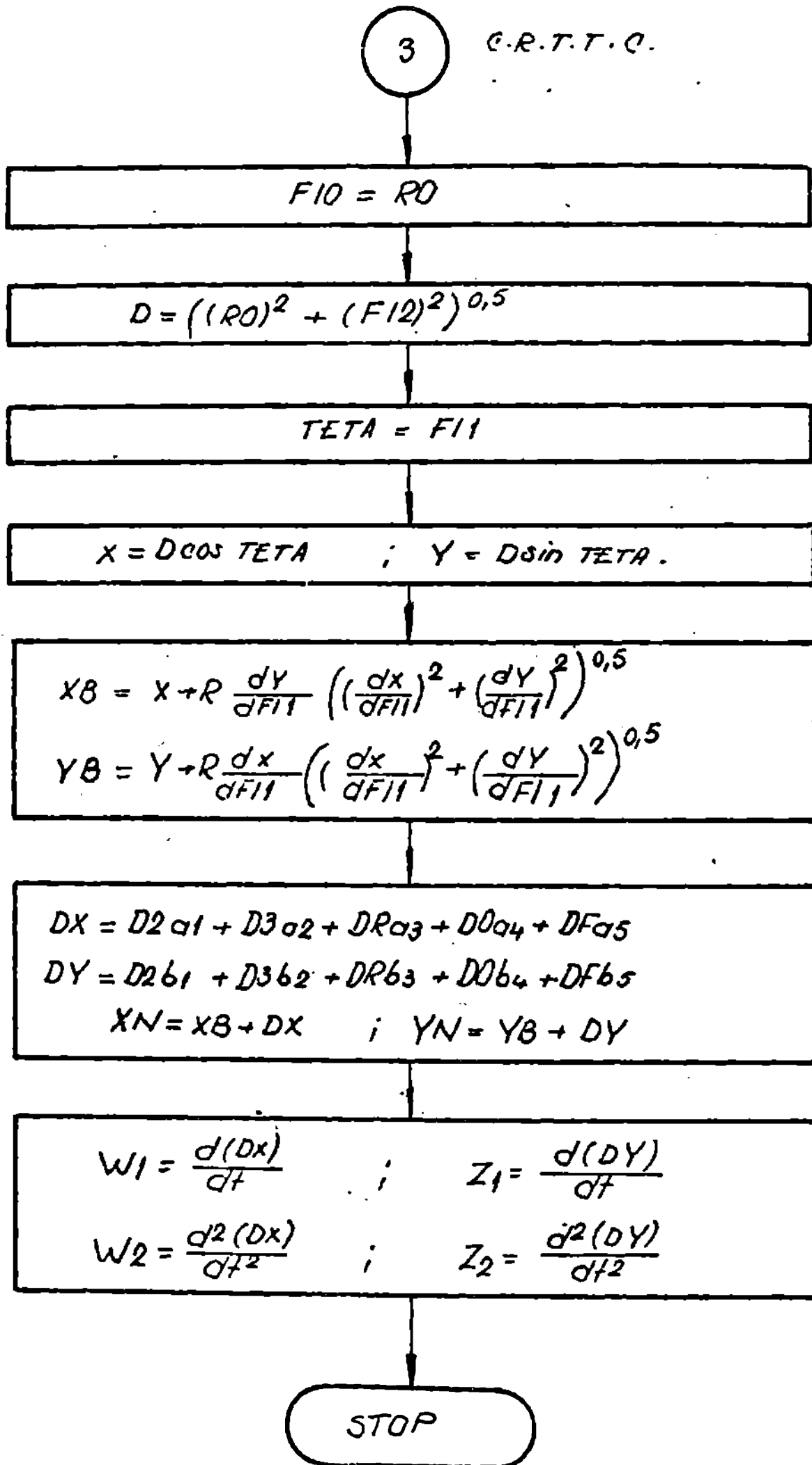
$$DY = D2b1 + D3b2 + DRb3 + D0b4 + DFB5$$

$$XN = XB - DX \quad ; \quad YN = YB + DY$$

$$W1 = \frac{d(DX)}{dt} \quad ; \quad Z1 = \frac{d(DY)}{dt}$$

$$W2 = \frac{d^2(DX)}{dt^2} \quad ; \quad Z2 = \frac{d^2(DY)}{dt^2}$$

STOP



4 C.R.T.T.P.

$$F10 = R0$$

$$D = \left( (R0 + F12)^2 + \left( \frac{dF12}{dF11} \right)^2 \right)^{0,5}$$

$$TETA = F11 + \arctg \left( \frac{dF12}{dF11} : (R0 + F12) \right)$$

$$XB = D \cos TETA \quad ; \quad YB = D \sin TETA$$

$$\begin{aligned} DX &= D2a1 + D3a2 + DRa3 + D0a4 + DFa5 \\ DY &= D2b1 + D3b2 + DRb3 + D0b4 + DFb5 \\ XN &= XB + DX \quad ; \quad YN = YB + DY \end{aligned}$$

$$\begin{aligned} W1 &= \frac{d(DX)}{dt} \quad ; \quad Z1 = \frac{d(DY)}{dt} \\ W2 &= \frac{d^2(DX)}{dt^2} \quad ; \quad Z2 = \frac{d^2(DY)}{dt^2} \end{aligned}$$

STOP

5 C.R.T.O.T.P.A.

$$F10 = \text{arc sin} (R0 : xL3)$$

$$D = xL3 : \left(1 - \frac{dF12}{dF11}\right) \left( \left(\frac{dF12}{dF11}\right)^2 \cos^2 (F10 + F12) + \left(1 - \frac{dF12}{dF11}\right)^2 \sin^2 (F10 + F12) \right)^{0,5}$$

$$TETH = F10 + F11 + \text{arc.tg} \left( \frac{\sin^2 (F10 + F12)}{2 \left(1 - \frac{dF12}{dF11} - \cos^2 (F10 + F12)\right)} \right)$$

$$xB = D \cos TETH \quad ; \quad yB = D \sin TETH$$

$$\begin{aligned} Dx &= D2a1 + D3a2 + DRa3 + DDa4 + DFa5 \\ Dy &= D2b1 + D3b2 + DRb3 + DDb4 + DFb5 \\ xN &= xB + Dx \quad ; \quad yN = yB + Dy \end{aligned}$$

$$\begin{aligned} W1 &= \frac{d(Dx)}{dt} & ; & & Z1 &= \frac{d(Dy)}{dt} \\ W2 &= \frac{d^2(Dx)}{dt^2} & ; & & Z2 &= \frac{d^2(Dy)}{dt^2} \end{aligned}$$

STOP



6 C.R.T.O.T.P.B.

$$F10 = \arcsin(R0 : XL3)$$

$$D = XL3 : \left(1 - \left(\frac{dA}{dB}\right)^2\right) \left(\left(\frac{dA}{dB}\right)^2 \cos^2(F10 + A) + \left(1 - \frac{dA}{dB}\right)^2 \sin^2(F10 + F12)\right)$$

$$TETA = F10 + B + \arctan\left(\frac{\sin 2(F10 + A) : 2\left(1 - \frac{dA}{dB}\right) - \cos^2(F10 + A)}{\dots}\right)$$

$$XB = D \cos TETA \quad ; \quad YB = D \sin TETA$$

$$\begin{aligned} DX &= D2a1 + D3a2 + D2a3 + D0a4 + DFa5 \\ DY &= D2b1 + D3b2 + D2b3 + D0b4 + DFB5 \\ XN &= XB + DX \quad ; \quad YN = YB + DY \end{aligned}$$

$$\begin{aligned} W1 &= \frac{d(DX)}{dt} \quad ; \quad Z1 = \frac{d(DY)}{dt} \\ W2 &= \frac{d^2(DX)}{dt^2} \quad ; \quad Z2 = \frac{d^2(DY)}{dt^2} \end{aligned}$$

STOP

7 O.T.T.O.R.

$$F10 = \arccos((XL3 - R0) : XL2)$$

$$X = XL2(\sin(F10 + F12) - \sin F10)$$

$$Y = XL3 - R0 - XL2 \cos(F10 + F12)$$

$$XB = X + R \frac{dY}{dF11} : \left( \left( \frac{dX}{dF11} \right)^2 + \left( \frac{dY}{dF11} \right)^2 \right)^{0,5}$$

$$YB = Y - R \frac{dX}{dF11} : \left( \left( \frac{dX}{dF11} \right)^2 + \left( \frac{dY}{dF11} \right)^2 \right)^{0,5}$$

$$\Delta X = D2a1 + D3a2 + DRa3 + D0a4 + DFa5$$

$$DY = D2b1 + D3b2 + DRb3 + D0b4 + DFb5$$

$$XN = XB + \Delta X \quad ; \quad YB = YN + DY$$

$$W1 = \frac{d(\Delta X)}{dF} \quad ; \quad Z1 = \frac{d(\Delta Y)}{dF}$$

$$W2 = \frac{d^2(\Delta X)}{dF^2} \quad ; \quad Z2 = \frac{d^2(\Delta Y)}{dF^2}$$

STOP

8 C.T.T.T.R.

$$F_{i0} = R_0$$

$$x = 0 \quad ; \quad y = R_0 + F_{i2}$$

$$x_B = x + R \frac{dy}{dF_{i1}} \cdot \left( \left( \frac{dx}{dF_{i1}} \right)^2 + \left( \frac{dy}{dF_{i1}} \right)^2 \right)^{0,5}$$

$$y_B = y - R \frac{dx}{dF_{i1}} \cdot \left( \left( \frac{dx}{dF_{i1}} \right)^2 + \left( \frac{dy}{dF_{i1}} \right)^2 \right)^{0,5}$$

$$Dx = D_2 a_1 + D_3 a_2 + DR a_3 + D_0 a_4 + DF a_5$$

$$Dy = D_2 b_1 + D_3 b_2 + DR b_3 + D_0 b_4 + DF b_5$$

$$x_N = x_B + Dx \quad ; \quad y_N = y_B + Dy$$

$$w_1 = \frac{d(Dx)}{dt} \quad ; \quad z_1 = \frac{d(Dy)}{dt}$$

$$w_2 = \frac{d^2(Dx)}{dt^2} \quad ; \quad z_2 = \frac{d^2(Dy)}{dt^2}$$

STOP

### III. CONCEPEREA UNEI NOI METODE DE A VECTORILOR ADAPTATEILOR PENTRU STUDIUL MECANISMELOR CU CAME PLANE

#### III.1. Generalități

Presupunând mecanismul cu camă de rotație și tacet oscilant din figura III.1, se vor considera cunoscute dimensiunile geometrice ale mecanismului, ecuațiile profilurilor teoretice și reale, precum și legea de profilare a camii, dată de început a sintezei mecanismului. Datorită erorilor constructiv tehnologici în cuplurile A, B și C există jocuri. Din punct de vedere al legăturilor mecanice, acestea sînt articulații plane și ele reprezintă oțte un ajutor care au jocurile toleranțate. Deoarece aceste legături trebuie să asigure posibilitatea mișcărilor relative între corpurile ce formează ajustajul, acestea trebuie să fie din categoria ajustajelor

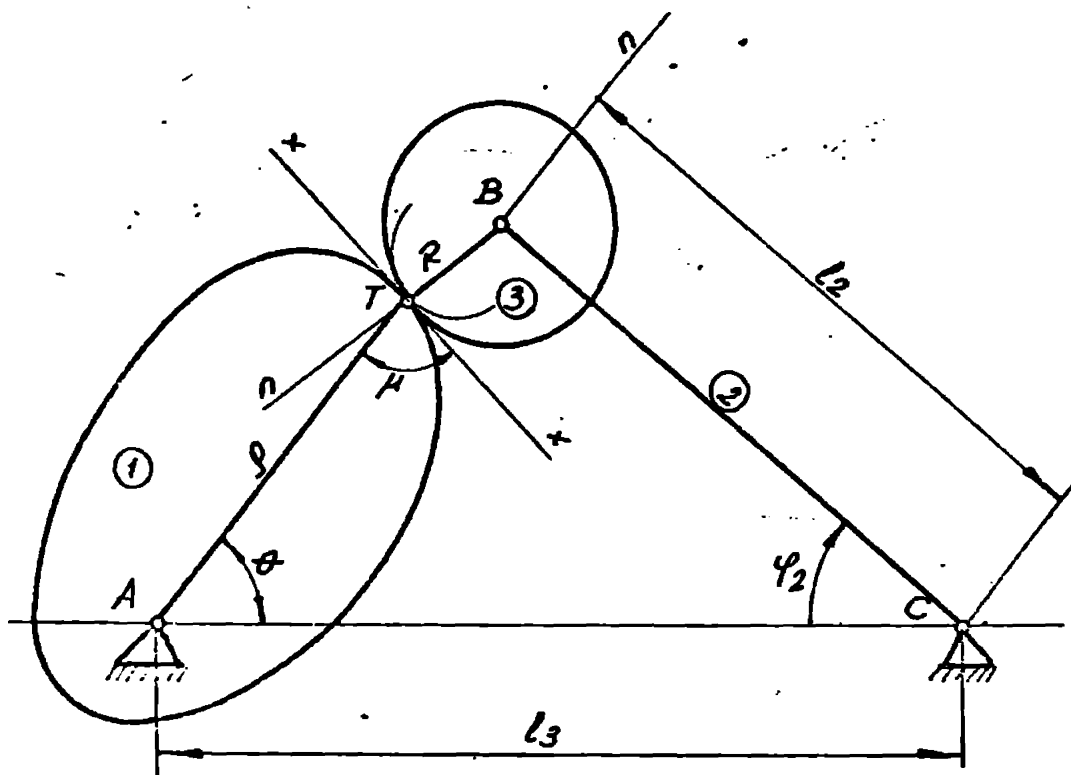


Fig. III.1

cu joc sau eventual intermediare cu frecare sau cel mult aderent. În funcție de sistemul de ajustaj ales, se poate calcula jocul maxim sau minim  $J_{max}$ , respectiv  $J_{min}$ , cu relațiile (III.1):

$$\begin{aligned} J_{max} &= \Delta_{max} - d_{min} \\ \text{(III.1)} \quad J_{min} &= \delta_{min} - d_{max} \end{aligned}$$

iar toleranța ajustajului ( a jocului) se stabilește cu relația (III.2) :

$$\text{(III.2)} \quad T_j = J_{max} - J_{min} = T_\delta + T_d$$

unde cu  $T_\delta$  și  $T_d$  s-au notat toleranțele alezajului, respectiv ale arborelui, date de relațiile (III.3) :

$$\begin{aligned} T_\delta &= \Delta_{max} - \delta_{min} \\ \text{(III.3)} \quad T_d &= d_{max} - d_{min} \end{aligned}$$

Considerind toleranțele jocurilor din cuple impuse, și admitînd situația cea mai defavorabilă de execuție, cînd jocurile din cuple sînt maxime, mecanismul cu camă din figura III.1 se va comporta ca un sistem cu mai multe grade de libertate, decît diferit de mecanismul nominal. Dacă cuplele de clasă a 5-a din A, B și C se vor înlocui cu cîte un element și două cuple de rotație la capete, lungimea elementului fictiv introdus fiind egală cu jumătatea jocului maxim  $J_{max}/2$ , se va putea studia mecanismul cu camă în condiții mai apropiate de realitate. Ținînd cont și de erorile existente pentru dimensiunile liniare, erori tolerate printr-un cîmp de toleranță prescris  $T$ , care limitează valorile pentru abaterile dimensiunii :

$$\text{(III.4)} \quad T = L_{max} - L_{min}$$

și de faptul că acestea sînt coliniare cu dimensiunea respectivă, se poate introduce în mecanism influența acestora printr-o cuplă de translație pe elementul respectiv.

Se obține astfel, un mecanism transformat ( fig. III.2), care are 5 grade de libertate (III.5) ( s-a scăzut gradul de libertate suplimentar provenit din elementul pasiv-rola):

$$\text{(III.5)} \quad W = 3.7 - 7.2 - 1 = 6$$

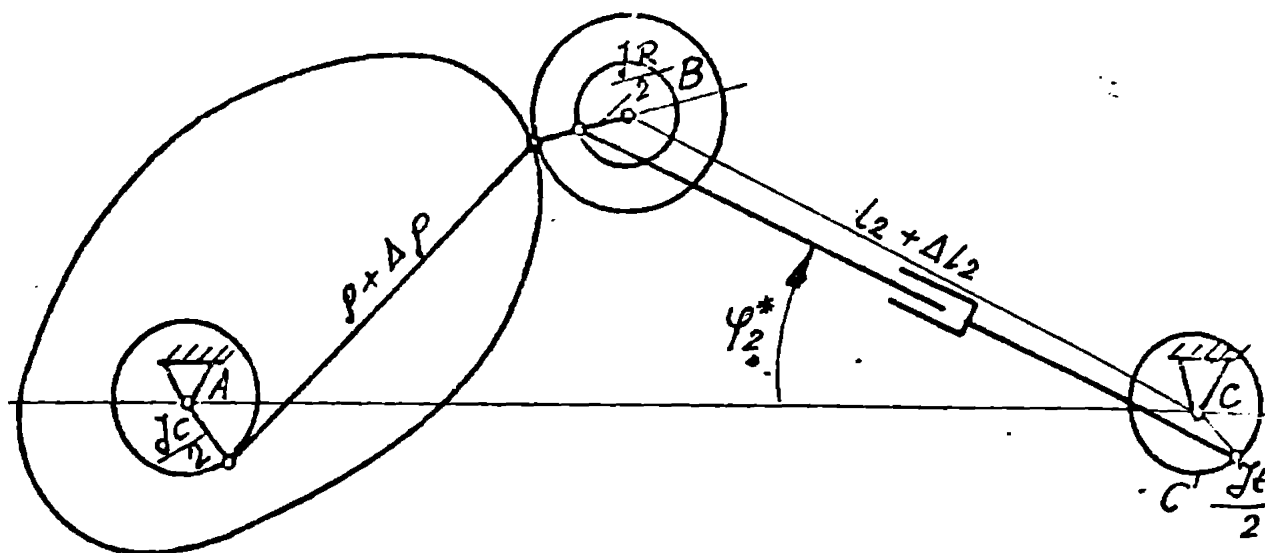


Fig. III.2

Deoarece toleranțele dimensiunilor liniare ale elementelor se cumose și sînt coliniare cu elementele, în continuare vom renunța la cuplurile de translație, luînd în calcul cotele nominale cu toleranța prevăzută. Mecanismul transformat în final va fi cel din figura III.3, cu patru grade de libertate și a cărui mișcare va fi mult mai aproape de cea a mecanismului real.

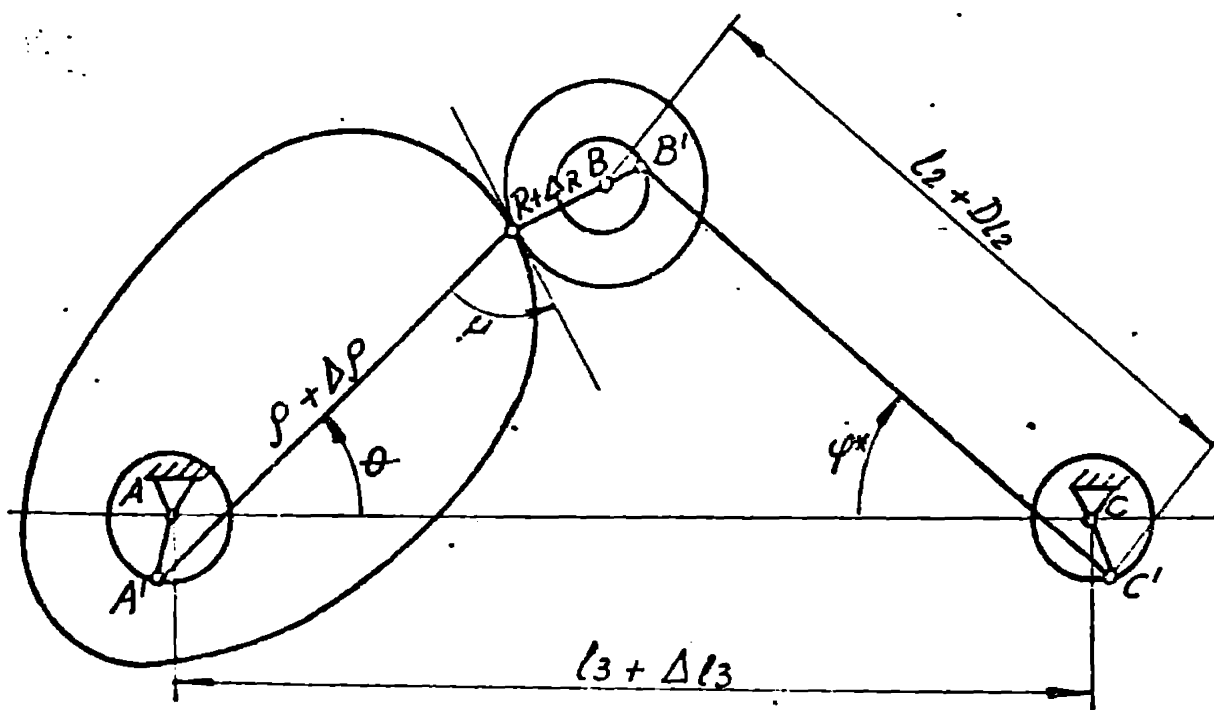


Fig. III.3

Elementele fictive introduse au în general direcțiile reacțiilor din cuple, cu unele mici diferențe datorate frecărilor din cuple și eventual unor solicitări dinamice ce se pot apare în condiții de funcționare în regim dinamic intens.

### III.2. Determinarea direcțiilor elementelor fictive

Admițând pentru funcționarea mecanismului cu osă din figura III.1 un regim fără solicitări dinamice deosebit de mari, se pot determina printr-o analiză cinetostatică reacțiunile din cuplurile A, B și C, neglijând elementele torsorului forțelor de inerție. Vor fi luate în considerare rezistențele tehnologice  $\bar{H}_t$  și  $\bar{H}_f$ , aplicate tachetului.

Se aplică axioma legăturilor și se introduc forțele de legătură corespunzătoare legăturilor suprimate, figura III.4, rezultă următoarele ecuații de echilibru cinetostatic (III.6), (III.7) și (III.8) :

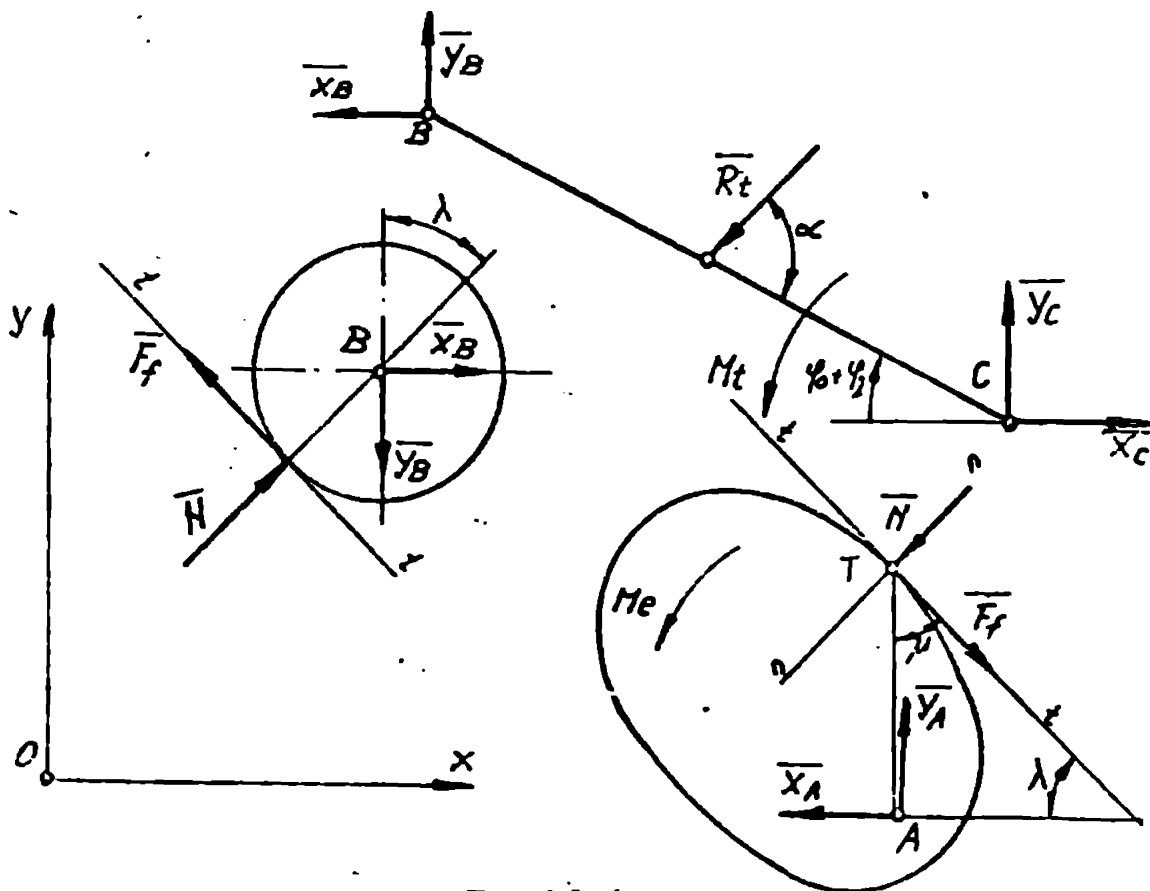


Fig. III. 4

Pentru tachet rezultă :

$$\begin{aligned}
 & X_C - X_B - R_f \cos(\alpha - \gamma_0 - \gamma_2) = 0 \\
 \text{(II.5)} \quad & Y_C - Y_B - R_f \sin(\alpha - \gamma_0 - \gamma_2) = 0 \\
 & M_f + L_f R_f \sin \alpha + X_B l_2 \sin(\gamma_0 + \gamma_2) - Y_B l_2 \cos(\gamma_0 + \gamma_2) = 0
 \end{aligned}$$

Pentru rolă :

$$\begin{aligned}
 & X_B + N \sin \lambda - F_f \cos \lambda = 0 \\
 \text{(II.7)} \quad & F_f \sin \lambda + N \cos \lambda - Y_B = 0 \\
 & F_f = \mu_f \cdot N
 \end{aligned}$$

Pentru caua se obtine :

$$\begin{aligned}
 & F_f \cos \lambda - N \sin \lambda - X_A = 0 \\
 \text{(II.8)} \quad & Y_A - F_f \sin \lambda - N \cos \lambda = 0 \\
 & M_e - AT F_f \sin \mu + AT \cdot N \cdot \cos \mu = 0
 \end{aligned}$$

Sistemul format din ecuațiile (III.6), (III.7) și (III.8) are ca necunoscute pe  $X_A$ ,  $Y_A$ ,  $X_B$ ,  $Y_B$ ,  $X_C$ ,  $Y_C$ ,  $F_f$ ,  $N$  și  $M_e$ , unde cu  $M_e$  e-o notat momentul de echilibrare,  $F_f$  -forța de frecare la aderență, iar  $N$  reacțiunea normală la contactul de forfecare cuple superioară (rezenare cu frecare), cu  $X_{A,B,C}$  și  $Y_{A,B,C}$  componentele reacțiunilor din articulațiile plane (cuplole de rețea) A, B, și respectiv C. S-au mai notat distanțele :  $l_1 = l_1$  ;  $l_2 = l_2$  ;  $l_3 = l_3$  ;  $AT = \sqrt{x_b^2 + y_b^2}$  ; cu  $x_b$  și  $y_b$  din (II.5); unghiul  $\lambda$  :

$$\lambda = \pi - \left[ \mu + \operatorname{arctg} \frac{y_b}{x_b} + \operatorname{arcsin} \left( \frac{l_2}{l_0} \sin \varphi_0 \right) - \varphi_1 \right]$$

$\phi$  - unghiul de frecare.

$$\mu_f = \operatorname{tg} \phi$$

Rezolvind sistemul de mai sus rezultă soluțiile (III.9); (III.10) ; și (III.11) :

$$\text{(II.9)} \quad N = \frac{(M_f + L_f R_f \sin \alpha) \cos \phi}{l_2 \cos(\lambda - \phi - \gamma_0 - \gamma_2)}$$

$$X_A = X_B = \frac{(M_f + L_f R_f \sin \alpha) \cdot \sin(\phi - \lambda) \cos \phi}{l_2 \cos(\lambda - \phi - \gamma_0 - \gamma_2)}$$

$$\text{(II.10)} \quad Y_A = Y_B = \frac{(M_f + L_f R_f \sin \alpha) \cdot \cos(\lambda - \phi) \cos \phi}{l_2 \cos(\lambda - \phi - \gamma_0 - \gamma_2)}$$



$$\begin{aligned}
 X_C &= R_f \cos(\alpha - \gamma_0 - \gamma_2) + \frac{(M_f + l_f R_f \sin \alpha) \sin(\phi - \lambda) \cos \phi}{l_2 \cos(\lambda - \phi - \gamma_0 - \gamma_2)} \\
 Y_C &= R_f \sin(\alpha - \gamma_0 - \gamma_2) - \frac{(M_f + l_f R_f \sin \alpha) \cos(\lambda - \phi) \cos \phi}{l_2 \cos(\lambda - \phi - \gamma_0 - \gamma_2)}
 \end{aligned}
 \tag{II.11}$$

care dau reacțiunile din cuple  $R_A$ ,  $R_B$  și  $R_C$  (III.12) și (III.13) :

$$R_A = R_B = \frac{(M_f + l_f R_f \sin \alpha) \cos \phi}{l_2 \cos(\lambda - \phi - \gamma_0 - \gamma_2)}
 \tag{II.12}$$

$$R_C = \left[ R_f^2 + \frac{(M_f + l_f R_f \sin \alpha)^2 \cos^2 \phi}{l_2^2 \cos^2(\lambda - \phi - \gamma_0 - \gamma_2)} - \frac{R_f (M_f + l_f R_f \sin \alpha) \sin(\lambda - \phi + \alpha - \gamma_0 - \gamma_2) \cos \phi}{l_2 \cos(\lambda - \phi - \gamma_0 - \gamma_2)} \right]^{\frac{1}{2}}
 \tag{II.13}$$

Calculând unghiurile cu axa Ox conform figurii III.4, obținem (III.14) :

$$\begin{aligned}
 \sin \xi_A &= \sin \xi_B = \frac{Y_A}{R_A} = \cos(\phi - \lambda) \\
 \cos \xi &= \cos \xi_B = \frac{X_A}{R_A} = \sin(\phi - \lambda)
 \end{aligned}
 \tag{III.14}$$

precum și (III.15) :

$$\sin \xi_C = Y_C / R_C ; \quad \cos \xi_C = X_C / R_C
 \tag{III.15}$$

Ceea ce se observă, analizând relațiile (III.14), este faptul că direcția reacțiunilor din cuplele A și B depinde numai de elementele constructive și datele geometrice ale mecanismelor, rezistențele tehnologice nefiind influențând direcțiile reacțiunilor.

În cazul în care mecanismul funcționează în regim dinamic intens, este necesară introducerea influențelor dinamice elementelor torsionului forțelor de inerție ale fiecărui element.

Forțele ce vor acționa asupra elementelor mecanice-

lui sînt date în figura III.5 ; iar ecuațiile de echilibru cinetostatice pentru elementele mecanismului sînt date de relațiile (III.16), (III.17), (III.18) :

$$(III.16) \quad \begin{aligned} X_C - X_B - R_f \cos(\alpha - \varphi_0 - \varphi_2) - F_{12}^n \cos(\varphi_0 + \varphi_2) + F_{12}^t \sin(\varphi_0 + \varphi_2) &= 0 \\ Y_C + Y_B - R_f \sin(\alpha - \varphi_0 - \varphi_2) + F_{12}^n \sin(\varphi_0 + \varphi_2) + F_{12}^t \cos(\varphi_0 + \varphi_2) &= 0 \end{aligned}$$

$$M_f + M_2^{(i)} + l_f R_f \sin \alpha + X_B l_f \sin(\varphi_0 + \varphi_2) - Y_B l_f \cos(\varphi_0 + \varphi_2) - F_{12}^t l_G = 0$$

$$X_B + N \sin \lambda - F_f \cos \lambda - F_{13}^n \cos(\varphi_0 + \varphi_2) + F_{13}^t \sin(\varphi_0 + \varphi_2) = 0$$

$$(III.17) \quad N \cos \lambda + F_f \sin \lambda - Y_B + F_{13}^n \sin(\varphi_0 + \varphi_2) + F_{13}^t \cos(\varphi_0 + \varphi_2) = 0$$

$$F_f = M_f \cdot N$$

$$M_3^{(i)} - F_f \cdot r = 0$$

$$(III.18) \quad F_f \cos \lambda - N \sin \lambda - X_A - F_{11}^n \sin(\varphi_0 + \varphi_1) = 0$$

$$F_{11}^n \cos(\varphi_0 + \varphi_1) + Y_A - F_f \sin \lambda - N \cos \lambda = 0$$

$$M_e - M_1^{(i)} - AT \cdot F_f \sin \mu + AT \cdot N \cos \mu = 0$$

unde cu  $F_{ij}^n$  ;  $F_{ij}^t$  ;  $M_j^{(i)}$  , cu  $j=1,2,3$  s-au notat elementele torso-  
rului forțelor de inerție; pentru  $j=1$  cusa ;  $j=2$  tachet ;  $j=3$   
rola, cu  $l_G$  s-a notat distanța GG, iar  $(\varphi_0 + \varphi_2)$  reprezintă  
unghiul polar al centrului de greutate al cusei, măriri ce se  
presupun cunoscute.

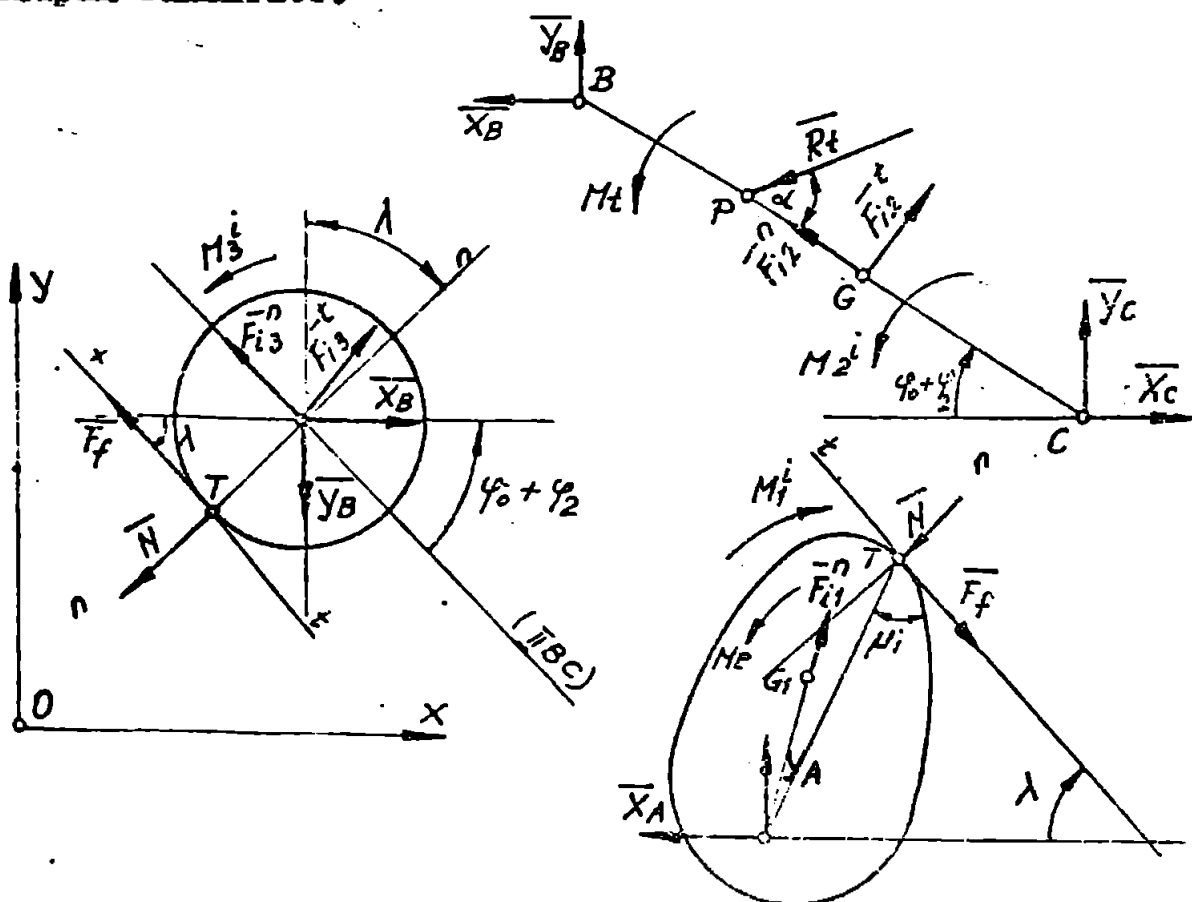


Fig. III. 5

Rezolvând sistemul se obțin reacțiunile din cuplele A, B, C, având expresii mult mai complicate decât cele precedente, astfel:

$$(III.19) \quad N = \frac{(M_1 + l_1 R_1 \sin \alpha + M_2^{(2)} - l_2 F_{13}^{\dagger} - l_G F_{12}^{\dagger}) \cos \phi}{l_2 \cos (\lambda - \phi - \gamma_0 - \gamma_2)}$$

$$(III.20) \quad \begin{aligned} X_B &= F_{13}^{\dagger} \cos (\gamma_0 + \gamma_2) - F_{13}^{\dagger} \sin (\gamma_0 + \gamma_2) + \\ &+ \frac{(M_1 + l_1 R_1 \sin \alpha + M_2^{(1)} - l_2 F_{13}^{\dagger} - l_G F_{12}^{\dagger}) \sin (\phi - \lambda) \cos \phi}{l_2 \cos (\lambda - \phi - \gamma_0 - \gamma_2)} \\ Y_B &= F_{13}^{(n)} \sin (\gamma_0 + \gamma_2) + F_{13}^{\dagger} \cos (\gamma_0 + \gamma_2) + \\ &+ \frac{(M_1 + l_1 R_1 \sin \alpha + M_2^{(1)} - l_2 F_{13}^{\dagger} - l_G F_{12}^{\dagger}) \cos (\phi - \lambda) \cos \phi}{l_2 \cos (\lambda - \phi - \gamma_0 - \gamma_2)} \end{aligned}$$

Desigur, direcțiile reacțiunilor sînt altele decât în cazul precedent, însă, cum s-a precizat mai sus, direcțiile elementelor fictive ale mecanismului cu came din figura III. 5 nu coincid cu acestea, deci în cazul solicitărilor dinamice, pentru studiul tehnocinematic se poate renunța la calculul reacțiunilor.

În cazul unui mecanism cu camă de rotație și tachet de translație, reacțiunile din cuplele A și B vor fi, conform figurii III. 6 .

Ecuațiile de echilibru cinetostatic sînt (III.21) ; (III.22) și (III.23), cu soluțiile (III.24) și (III.25) :

$$(III.21) \quad \begin{aligned} N_1 - N_2 + X_B &= 0 \\ Y_B - R_1 + F_{f1} + F_{f2} &= 0 \\ F_{f1} &= \mu_f \cdot N_1 \\ F_{f2} &= \mu_f \cdot N_2 \\ X_B \cdot d &= N_1 \cdot b \end{aligned}$$

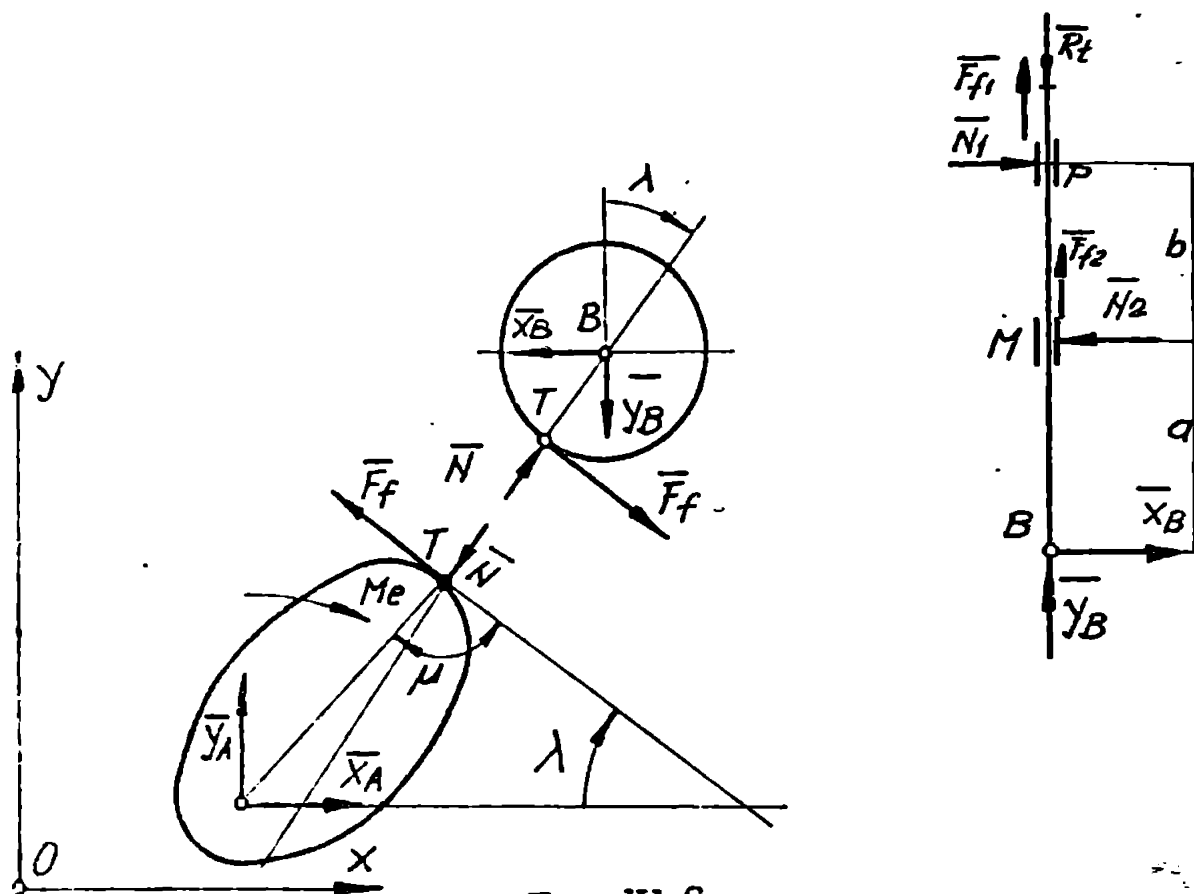


Fig. III.6

$$\begin{aligned}
 & F_f \cos \lambda + N \sin \lambda - X_B = 0 \\
 (\text{II.22}) \quad & N \cos \lambda - F_f \sin \lambda - Y_B = 0 \\
 & F_f = \mu_f \cdot N
 \end{aligned}$$

$$\begin{aligned}
 & X_A - F_f \cos \lambda - N \sin \lambda = 0 \\
 (\text{II.23}) \quad & Y_A + F_f \sin \lambda - N \cos \lambda = 0 \\
 & -M_e + AT \cdot F_f \sin \mu + N \cdot AT \cos \mu = 0
 \end{aligned}$$

cu notațiile :  $ME_a = a$  ;  $ME_{ab} = b$  ;  $\lambda = \pi - (\mu + \arctg \frac{Y_B}{X_B} + \arctg \frac{S_0}{r} - \varphi_1)$

$$(\text{II.24}) \quad -N = \frac{R_f \cos^2 \phi}{\cos \phi \cos(\lambda + \phi) + \frac{2a+b}{b} \sin \phi \sin(\lambda + \phi)}$$

$$X_A = X_B = \frac{R_f \sin(\lambda + \phi) \cos \phi}{\cos \phi \cos(\lambda + \phi) + \frac{2a+b}{b} \sin \phi \sin(\lambda + \phi)}$$

$$(III.25) \quad Y_A = Y_B = \frac{R_f \cos(\lambda + \phi) \cos \phi}{\cos \phi \cos(\lambda + \phi) + \frac{2a+b}{b} \sin \phi \sin(\lambda + \phi)}$$

Rezultanta reacțiunilor din cuplele A și B este

$$(III.26) \quad R_A = R_B = \frac{R_f \cos \phi}{\cos \phi \cos(\lambda + \phi) + \frac{2a+b}{b} \sin \phi \sin(\lambda + \phi)}$$

iar unghiurile acestora cu direcția OX va fi (III.27) :

$$(III.27) \quad \begin{aligned} \sin \xi_A = \sin \xi_B &= \frac{Y_A}{R_A} = \cos(\lambda + \phi) \\ \cos \xi_A = \cos \xi_B &= \frac{X_A}{R_A} = \sin(\lambda + \phi) \end{aligned}$$

Pentru un mecanism cu eșcă de rotație și teacă cu cârpă plană din figura III.7, reacțiunile din cuple vor fi reprezentate pe figură :

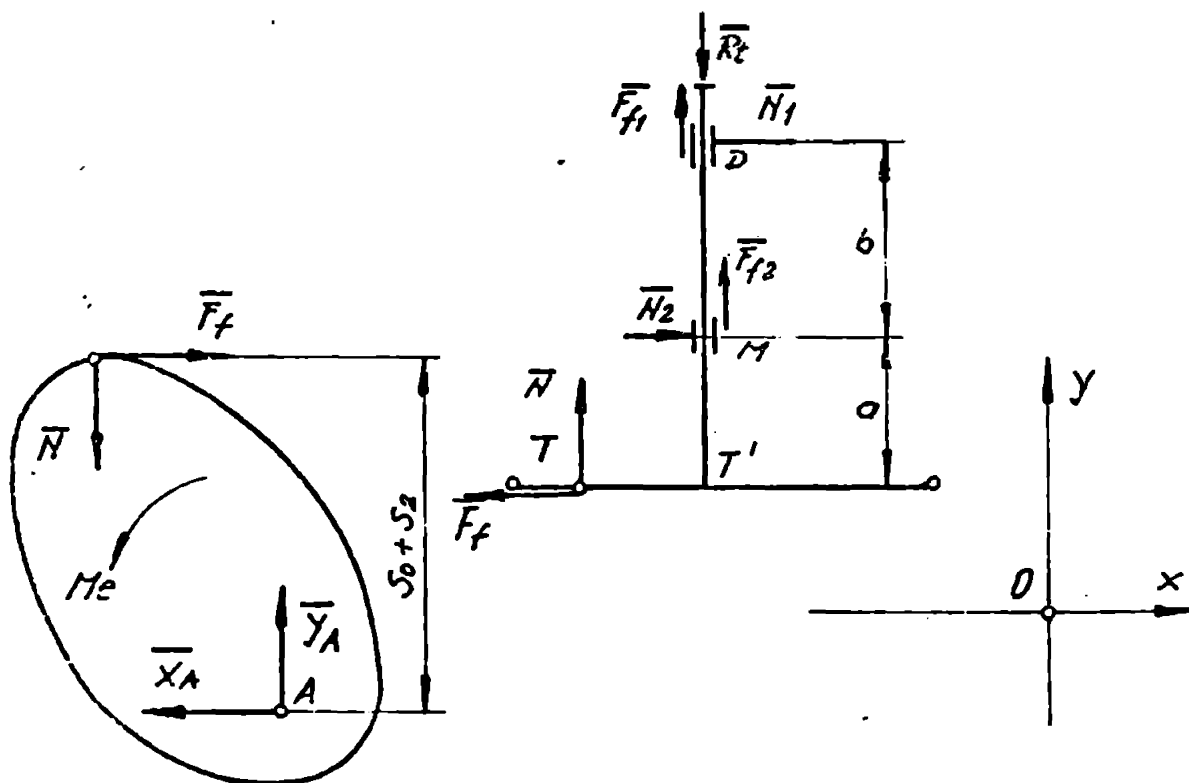


Fig. III.7

Ecuațiile de echilibru cinetostatic sînt date de relațiile (III.26) și (III.27) :

$$\begin{aligned}
 & N_2 - N_1 - F_f = 0 \\
 & N + F_{f1} + F_{f2} - R_f = 0 \\
 & N_1 b - N \frac{ds_2}{dy_1} - F_f \cdot a = 0 \\
 & F_{f1} = \mu_f \cdot N_1 ; F_{f2} = \mu_f \cdot N_2
 \end{aligned}
 \quad (\bar{m}.28)
 \quad (\bar{m}.28')
 \quad \begin{aligned}
 & X_A = F_f \\
 & Y_A = N \\
 & F_f = \mu_f \cdot N
 \end{aligned}$$

unde  $T = Ma$  ;  $M = mb$  ; cu soluțiile (III.29) și (III.30) :

$$(\bar{m}.29) \quad N = \frac{b \cdot R_f}{\mu_f \left( \frac{b}{\mu_f} + \mu_f \cdot b + 2\mu_f \cdot a + 2 \frac{ds_2}{dy_1} \right)}$$

$$X_A = \frac{b \cdot R_f}{\left( \frac{b}{\mu_f} + \mu_f \cdot b + 2\mu_f \cdot a + 2 \frac{ds_2}{dy_1} \right)}$$

$$(\bar{m}.30) \quad Y_A = \frac{b \cdot R_f}{\mu_f \left( \frac{b}{\mu_f} + \mu_f \cdot b + 2\mu_f \cdot a + 2 \frac{ds_2}{dy_1} \right)}$$

Reacțiunea  $R_A$  este dată de relația (III.31) :

$$(\bar{m}.31) \quad R_A = \frac{b R_f \sqrt{1 + \mu_f^2}}{\mu_f \left( \frac{b}{\mu_f} + \mu_f \cdot b + 2\mu_f \cdot a + 2 \frac{ds_2}{dy_1} \right)}$$

iar unghiurile reacțiunii cu direcțiile de referință  $Ox$  și  $Oy$  sînt date de relațiile (III.32) :

$$\begin{aligned}
 & \cos \xi_A = \frac{X_A}{R_A} = \sin \phi \\
 & \sin \xi_A = \frac{Y_A}{R_A} = \cos \phi
 \end{aligned}
 \quad (\bar{m}.32)$$

Pentru mecanismele cu oasă de rotație și techet oscilant cu talpă plană ( fig.III.8) forțele de legătură indicate vor conduce la ecuațiile douăte de echilibru cinetostatic (III.33) și (III.34) :

$$\begin{aligned}
 & X_C - R_f \cos(\alpha - \gamma_0 - \gamma_2) + N \sin(\gamma_0 + \gamma_2) - F_f \cos(\gamma_0 + \gamma_2) = 0 \\
 & Y_C - R_f \sin(\alpha - \gamma_0 - \gamma_2) + N \cos(\gamma_0 + \gamma_2) + F_f \sin(\gamma_0 + \gamma_2) = 0 \\
 & R_f l_f \sin \alpha - N \cdot l_s \frac{\sin(\mu + \gamma_0 + \gamma_2)}{\sin \mu} = 0
 \end{aligned}
 \quad (\bar{m}.33)$$

$$\begin{aligned}
 & F_f \cos(\gamma_0 + \gamma_2) - X_A - N \sin(\gamma_0 + \gamma_2) = 0 \\
 (\text{III.34}) \quad & Y_A - N \cos(\gamma_0 + \gamma_2) - F_f \sin(\gamma_0 + \gamma_2) = 0 \\
 & F_f = \mu_f \cdot N
 \end{aligned}$$

cu soluțiile (III.35) ; (III.36) și (III.37) :

$$(\text{III.35}) \quad N = \frac{R_1 L_1 \sin \alpha \sin \mu}{L_3 \sin(\mu + \gamma_0 + \gamma_2)}$$

$$(\text{III.36}) \quad \begin{aligned}
 X_A &= \frac{R_1 L_1 \sin \alpha \sin \mu \sin(\phi - \gamma_0 - \gamma_2)}{L_3 \cos \phi \sin(\mu + \gamma_0 + \gamma_2)} \\
 Y_A &= \frac{R_1 L_1 \sin \alpha \sin \mu \cos(\phi - \gamma_0 - \gamma_2)}{L_3 \cos \phi \sin(\mu + \gamma_0 + \gamma_2)}
 \end{aligned}$$

Modulele reacțiunilor și direcțiile acestora rezultă din relațiile (III.38) ; (III.39) ; (III.40) :

$$(\text{III.37}) \quad \begin{aligned}
 X_C &= R_1 \cos(\alpha - \gamma_0 - \gamma_2) + \frac{R_1 L_1 \sin \alpha \sin \mu \sin(\phi - \gamma_0 - \gamma_2)}{L_3 \cos \phi \sin(\mu + \gamma_0 + \gamma_2)} \\
 Y_C &= R_1 \sin(\alpha - \gamma_0 - \gamma_2) - \frac{R_1 L_1 \sin \alpha \sin \mu \cos(\phi - \gamma_0 - \gamma_2)}{L_3 \cos \phi \sin(\mu + \gamma_0 + \gamma_2)}
 \end{aligned}$$

$$(\text{III.38}) \quad \begin{aligned}
 R_A &= \frac{R_1 L_1 \sin \alpha \sin \mu}{L_3 \cos \phi \sin(\mu + \gamma_0 + \gamma_2)} \\
 R_C &= \sqrt{R_1^2 + \frac{R_1^2 L_1^2 \sin^2 \alpha \sin^2 \mu}{L_3^2 \cos^2 \phi \sin^2(\mu + \gamma_0 + \gamma_2)}} + \frac{2R_1^2 L_1 \sin \alpha \sin \mu \sin(\phi - \alpha)}{L_3 \cos \phi \sin(\mu + \gamma_0 + \gamma_2)}
 \end{aligned}$$

$$(III.39) \quad \begin{aligned} \cos \xi_A &= \frac{X_A}{R_A} = \sin(\phi - \gamma_0 - \gamma_2) \\ \sin \xi_A &= Y_A/R_A = \cos(\phi - \gamma_0 - \gamma_2) \end{aligned}$$

$$(III.40) \quad \begin{aligned} \cos \zeta_C &= X_C/R_C \\ \sin \zeta_C &= Y_C/R_C \end{aligned}$$

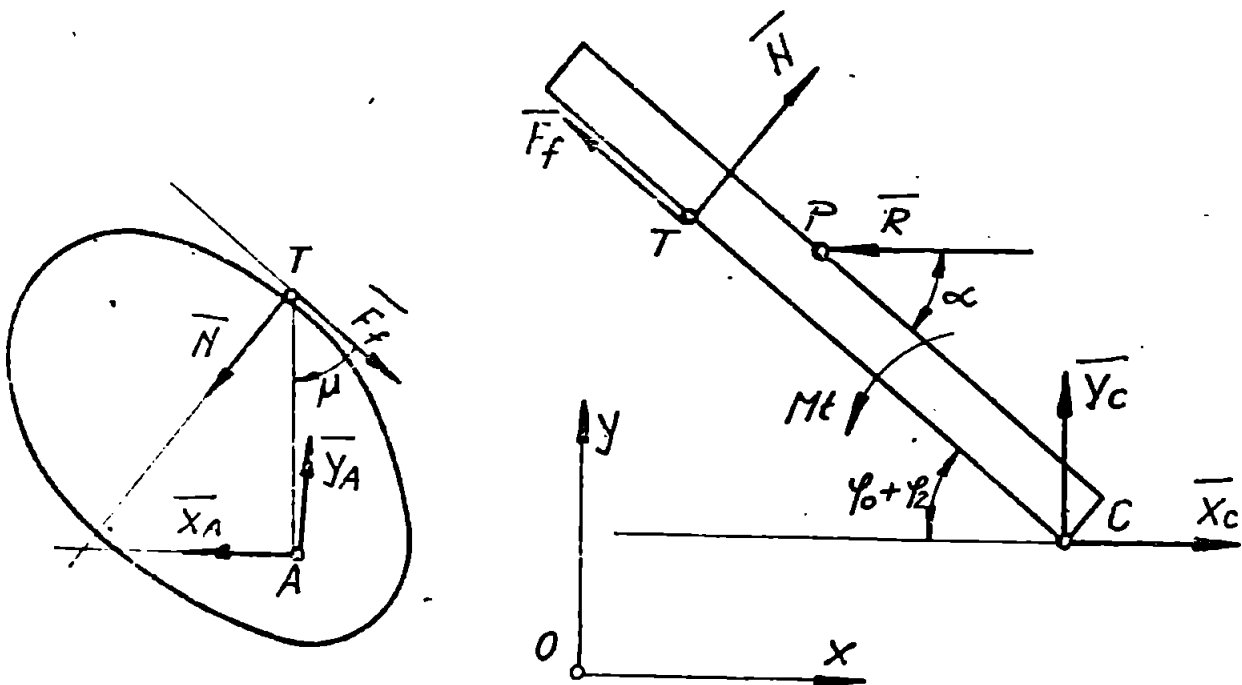


Fig. III. 8



Calculul forțelor de legătură în cazul camelor de translație prezintă particularitatea legăturii dintre camă și batiu printr-o cuplă de translație de clasă a 5-a. Forțele de legătură vor fi desigur, reacțiunea normală și forțe de frecare de alunecare. La tchetul oscilant, respectiv de translație, principiul de calcul este același cu cel de la mecanismele studiate pînă acum.

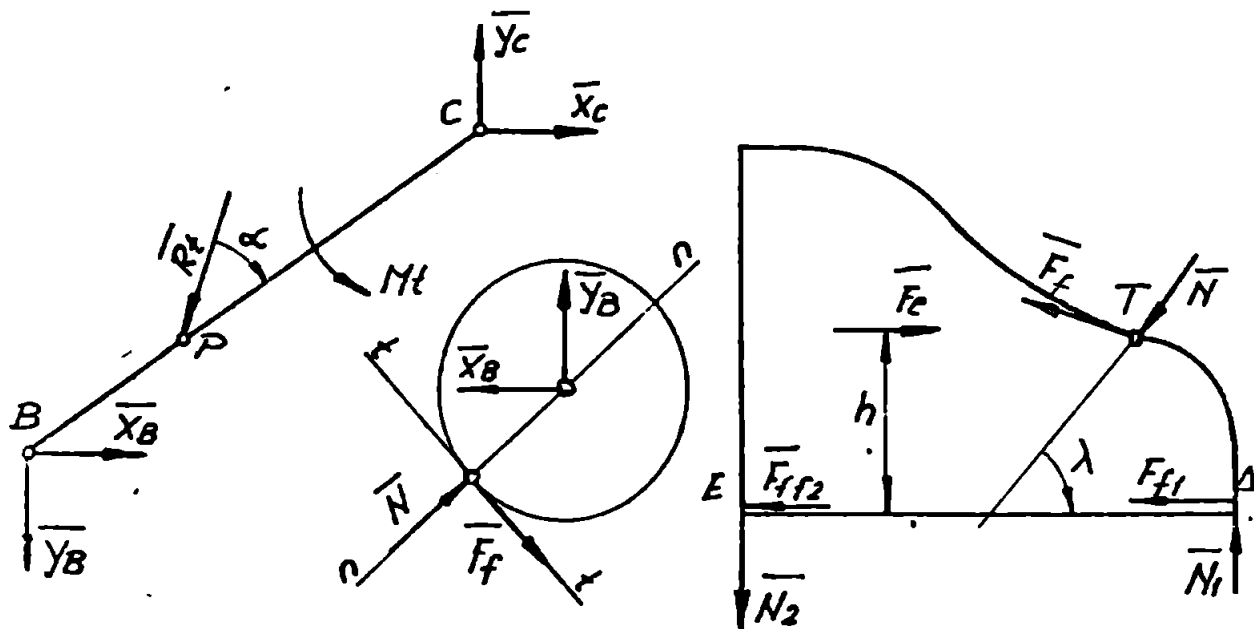


Fig. III. 9.

În figura III.9 sînt reprezentate forțele de legătură în cazul unei camă de translație și tchet oscilant. Broarea de poziție a camăi este dată de cuplul reacțiunilor normale ale ghidajului, ale căror puncte de aplicare se presupun la capetele camăi. Broarea pozițională a camăi va fi determinată astfel, de jocul maxim admis la ghidaje, fără variații de-a lungul unui ciclu, valoare ce poate fi determinată pe baza datelor inițiale de proiectare.

Ecuațiile de echilibru cinetostatic pentru cele trei elemente componente ale mecanismului sînt date de (III.41) :

(III.42) și (III.43) :

$$\begin{aligned}
 & X_C - R_f \sin(\gamma_0 + \gamma_2 - \alpha) + X_B = 0 \\
 \text{(II.41)} \quad & Y_C - Y_B - R_f \cos(\gamma_0 + \gamma_2 - \alpha) = 0 \\
 & M_f + l_f R_f \sin \alpha + X_B l_2 \cos(\gamma_0 + \gamma_2) + Y_B l_2 \sin(\gamma_0 + \gamma_2) = 0 \\
 & N \cos \lambda - X_B + F_f \sin \lambda = 0 \\
 \text{(II.42)} \quad & Y_B + N \sin \lambda - F_f \cos \lambda = 0 \\
 & F_f = \mu_f \cdot N \\
 & F_C - F_f \sin \lambda - N \cos \lambda - F_{f1} - F_{f2} = 0 \\
 \text{(II.43)} \quad & F_f \cos \lambda + N_1 + N_2 - N \sin \lambda = 0 \\
 & N x_B \sin \lambda + N y_B \cos \lambda + F_f x_B \cos \lambda - F_f y_B \sin \lambda = 0 \\
 & F_{f1} = \mu_f N_1 ; \quad F_{f2} = \mu_f N_2
 \end{aligned}$$

unde cu  $\lambda$  s-a notat unghiul  $\lambda = \frac{\pi}{2} + \mu - \arctg \frac{y_B}{x_B}$

Soluțiile sînt esențialmente cu cele ale mecanismului cu camă de rotație și tocchet oscilant (III.44) ; (III.45) ; (III.46) ; (III.47) ; (III.48) ; (III.49) :

$$\text{(II.44)} \quad N = \frac{-(M_f + l_f R_f \sin \alpha) \cos \phi}{l_2 \cos(\phi - \lambda - \gamma_0 - \gamma_2)}$$

$$X_B = \frac{-(M_f + l_f R_f \sin \alpha) \cos(\phi - \lambda)}{l_2 \cos(\phi - \lambda - \gamma_0 - \gamma_2)}$$

$$\text{(II.45)} \quad Y_B = \frac{-(M_f + l_f R_f \sin \alpha) \sin(\phi - \lambda)}{l_2 \cos(\phi - \lambda - \gamma_0 - \gamma_2)}$$

$$R_B = \frac{M_f + l_f R_f \sin \alpha}{l_2 \cos(\phi - \lambda - \gamma_0 - \gamma_2)}$$

$$\text{(II.46)} \quad \sin \xi_B = Y_B / R_B = -\sin(\phi - \lambda)$$

$$\cos \xi_B = X_B / R_B = -\cos(\phi - \lambda)$$

$$(II.47) \quad \begin{aligned} X_C &= R_f \sin(\gamma_0 + \gamma_2 - \alpha) + \frac{(H_f + L_f R_f \sin \alpha) \cos(\phi - \lambda)}{L_2 \cos(\phi - \lambda - \gamma_0 - \gamma_2)} \\ Y_C &= R_f \cos(\gamma_0 + \gamma_2 - \alpha) - \frac{(H_f + L_f R_f \sin \alpha) \sin(\phi - \lambda)}{L_2 \cos(\phi - \lambda - \gamma_0 - \gamma_2)} \end{aligned}$$

$$(II.48) \quad R_C = \sqrt{R_f^2 + \frac{(H_f + L_f R_f \sin \alpha)^2}{L_2^2 \cos^2(\phi - \lambda - \gamma_0 - \gamma_2)} + \frac{2R_f(H_f + L_f R_f \sin \alpha) \sin(\lambda + \gamma_0 + \gamma_2 + \alpha)}{L_2 \cos(\phi - \lambda - \gamma_0 - \gamma_2)}}$$

$$(II.49) \quad \sin \xi_C = Y_C / R_C \quad ; \quad \cos \xi_C = X_C / R_C$$

Aceste relații, ca și în cazurile precedente, determină direcțiile reacțiunilor din punctele B și C ale mecanismului.

În cazul mecanismului cu camă de translație și techet tot de translație, relațiile ce dau direcțiile reacțiunilor din cuplurile de rotație sînt asemănătoare cu cele precedente.

Deun de semnalat este faptul că valabilitatea acestor relații este numai dacă regimul de lucru a mecanismului nu e intens și deci se pot neglija efectele forțelor de inerție. Concluziile generale, sub aspect calitativ pot fi, desigur utilizate la stabilirea unei ierarhizări a preciziei diferitelor mecanisme cu came plane chiar în cazul funcționării în regim dinamic intens. În astfel de situații se recomandă studiul tehnocinematic al mecanismului cu camă respectiv prin metoda expusă în capitolul II. al prezentei lucrări.

### III.3. Vectorul abatere al unui element plan

Considerăm un corp material plan (C), a cărui mișcare se desfășoară în planul său (Fig. III.3). Vom reporta mișcarea plană a acestuia la un sistem de referință plan xOy.

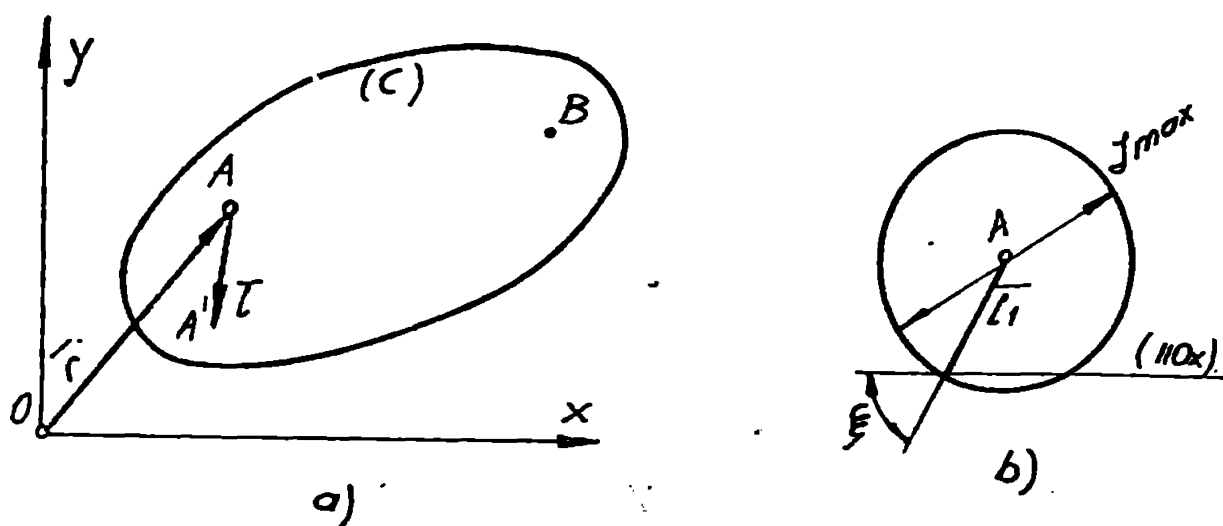


Fig. 111-10.

Deci, poziția corpului la un moment dat este dată de două puncte A și B ale lui, parametri de poziție fiind dați de cei doi vectori de poziție ale lor  $\vec{r}_A$  și  $\vec{r}_B$ , cu relația  $|\vec{AB}| = |\vec{r}_B - \vec{r}_A| = \text{const.}$ , ceea ce provine din ipoteza solidului rigid și care justifică cele trei grade de libertate ale rigidului.

Dacă rigidul este solicitat de un sistem de forțe exterioare, coplanar cu  $xOy$ , mișcarea reală a acestuia este o mișcare plan paralelă, cauzată de torsioul sistemului de forțe dat și anume: o translație de-a lungul axei centrale și o rotație în jurul unei axe perpendiculare pe planul  $xOy$  datorită momentului resultant.

Se cunoaște faptul că un sistem de forțe coplanar se poate reduce întotdeauna la o resultantă unică, dacă reducerea se face pe un punct al axei centrale. Rezultă că echivalentul mecanic al sistemului de forțe dat este o resultantă unică, iar efectul său mecanic poate fi evaluat printr-o translație coliniară cu axa centrală a sistemului de forțe.

Dacă în A corpul are o legătură mecanică de tipul

articulației plane, presupunând existența unui joc de mărime  $J_{max}$  modului lui  $\bar{e}$  va fi limitat de acesta. Astfel :

$$(III.50) \quad \bar{e} = e_x \tau + e_y \tau; \quad |\bar{e}| = \sqrt{e_x^2 + e_y^2} = \frac{J_{max}}{2} = J$$

Cu notațiile din figura III.10. vectorul  $\bar{e}$  al translației corpului (C) se poate scrie (III.51) :

$$(III.51) \quad \bar{e} = J \cos \xi \tau + J \sin \xi \tau = \begin{Bmatrix} J & J \end{Bmatrix} \begin{Bmatrix} \cos \xi & 0 \\ 0 & \sin \xi \end{Bmatrix} \begin{Bmatrix} \tau \\ J \end{Bmatrix}$$

Se va nota :  $\{J\}^T = \begin{Bmatrix} J & J \end{Bmatrix}$ ; cu  $\{J\} = \begin{Bmatrix} J \\ J \end{Bmatrix}$  și-l vom numi vectorul jocului din cuplă, iar matricea :

$$\begin{Bmatrix} \cos \xi & 0 \\ 0 & \sin \xi \end{Bmatrix}$$

se va numi matricea direcție a translației.

În acest fel, translația rigidului (C) cu cuplă de rotație în A va fi definită de vectorul  $\bar{e}$ , numit vector abatere, ale cărui componente se obțin ca produs al matricii direcție de translație cu vectorul jocului din cuplă, putând poziționa corpul (C) după efectuarea mișcării față de același sistem de referință.

Aplicând această metodă de studiu elementelor ce compun mecanismele cu came plane, se va putea evalua poziția acestora în urma deplasării lor datorită jocurilor din cuple, cu ajutorul matricii direcție și a vectorului joc din cuplă. Pentru dimensiunile liniare, abaterile vor fi cumulate cu jocurile din cuple deoarece aceste abateri sînt întotdeauna coliniare cu elementul. De asemenea, translația permite aplicarea principiului suprapunerii efectelor, materializat în cazul arborilor cu came prin cumulare deplasării camei cu a roții, sau a tchetului, în funcție de elementele care participă la realizarea cuplei superioare.

### III.4. Mecanisma cu camă de rotație tachet oscilant

Conform celor prezentate în capitolul precedent, III.3., studiul mișcării în condiții reale ale unui mecanism cu camă se poate face considerând legăturile mecanice ale corpurilor ca fiind surse de deplasări, tocmai datorită impreciziunilor de fabricație. Astfel, o camă articulată în A, datorită jocului existent și în corelație cu posibilitatea introducerii elementului fictiv, va avea o deplasare pe care o vom admite ca translație de vector  $\bar{e}_1$  (fig. III.11). Rola fiind

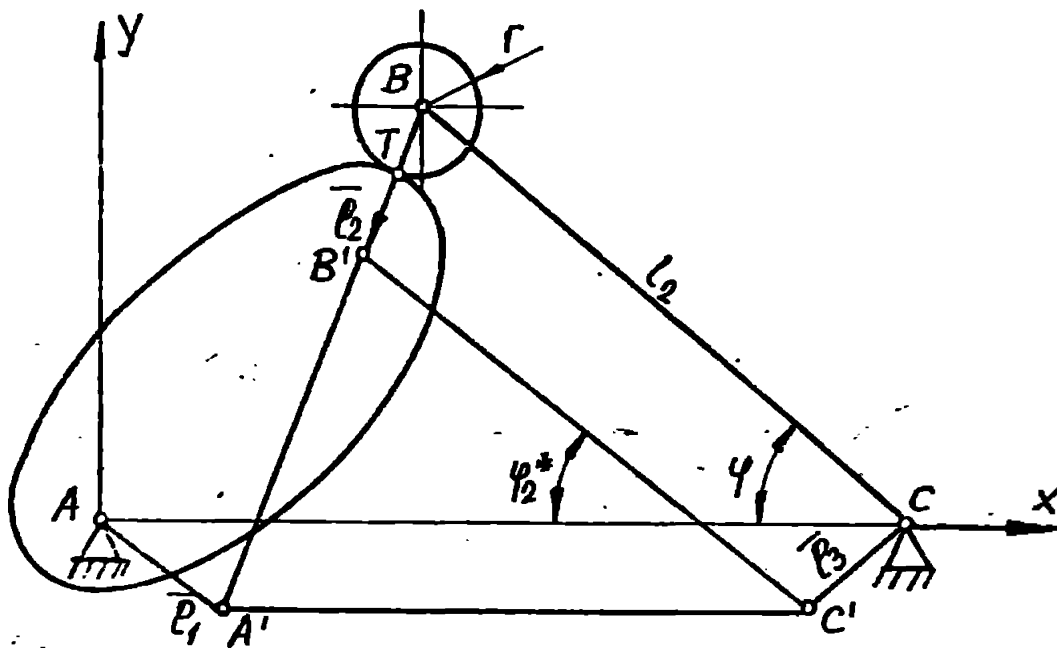


Fig. III.11

în contact forțat cu camă, formând cupla superioară, având ea însăși o articulație plană va avea o deplasare de translație ce rezultă din aplicarea principiului suprapunerii efectelor. Datorită articulației plane din B, va avea o translație de vector  $\bar{e}_2$  și deaceia urmărește profilul camii prin contact permanent, o translație de vector  $\bar{e}_1$ , ce descrie translația camii. În sfârșit, tachetul, articulat la bază în C va avea o translație de vector  $\bar{e}_3$ , care caracterizează jocul din această cuplă.

Mecanismul nominal are articulațiile plane perfecte, în punctele A, B și C, formând vîrfurile unui triunghi, iar mecanismul real va avea articulațiile în punctele A', B', C', rezultat din evaluarea translațiilor respective.

În baza celor prezentate în paragraful anterior, cei trei vectori  $\bar{e}_1$ ,  $\bar{e}_2$ ,  $\bar{e}_3$  sînt dați de relația (III.52) :

$$(III.52) \quad \bar{e}_1 = \{J_A\}^T \|\xi_A\| \{T\}; \quad \bar{e}_2 = \{J_B\}^T \|\xi_B\| \{T\}; \quad \bar{e}_3 = \{J_C\}^T \|\xi_C\| \{T\}$$

unde s-a notat cu  $\{J_A\}$ ,  $\{J_B\}$ ,  $\{J_C\}$ , vectorii jocurilor din cuplurile A, B, C, iar  $\|\xi_A\|$ ,  $\|\xi_B\|$ ,  $\|\xi_C\|$  reprezintă matricile direcțiilor de deplasare.

Desigur, ceea ce interesează la aceste tipuri de mecanisme este noua poziție a tachtului, B'C', în condițiile mecanismului real. Deoarece capetele au deplasări diferite, date de vectorii  $\bar{e}_1 + \bar{e}_2$  pentru punctul B și  $\bar{e}_3$  pentru punctul C, BC' nu va fi paralel cu BC. Deoarece deplasarea unui punct oarecare de pe tacht poate fi compensată printr-un reglaj inițial, deosebit de important de determinat este abaterea pozițională dată de unghiul  $\gamma_2^*$  format cu o direcție de referință, în cazul acesta Ox. Din figura III.11 rezultă (III.53) :

$$(III.53) \quad \cos \gamma_2^* = \frac{\bar{AC} \cdot \bar{B'C'}}{|\bar{AC}| |\bar{B'C}'|}$$

unde vectorii din relație sînt:

$$\begin{aligned} \bar{AC} &= l_3 T; & \bar{B'C}' &= \bar{r}_C' - \bar{r}_B = \bar{AC}' - \bar{AB}' \\ \bar{AC}' &= \bar{AC} + \bar{e}_3; & \bar{AB}' &= \bar{AB} + \bar{e}_1 + \bar{e}_2 \end{aligned}$$

înlocuind se obține (III.54) :

$$(III.54) \quad \begin{aligned} \bar{B'C}' &= \bar{AC} + \bar{e}_3 - \bar{AB} - \bar{e}_1 - \bar{e}_2; & \bar{AC} - \bar{AB} &= \bar{BC} \\ \bar{B'C}' &= \bar{BC} + \bar{e}_3 - \bar{e}_1 - \bar{e}_2 \end{aligned}$$

Vectorul  $\bar{BC}$  se poate scrie în funcție de dozele cunoscute ale mecanismului ideal. Rezultă (III.55) :

$$(III.55) \quad \bar{BC} = l_2 \cos \gamma_2 T - l_2 \sin \gamma_2 J$$

Inlocuind (III.55) și (III.52) în (III.54) se obține (III.56) :

$$(III.56) \quad \begin{aligned} \overline{B'C'} = & (l_2 \cos \gamma_2 + J_c \cos \xi_c - J_A \cos \xi_A - J_B \cos \xi_B) \tau + \\ & + (J_c \sin \xi_c - l_2 \sin \gamma_2 - J_A \sin \xi_A - J_B \sin \xi_B) \tau. \end{aligned}$$

Valorile unghiurilor  $\xi_A$ ,  $\xi_B$ ,  $\xi_C$  sînt date de relațiile (III.14), și (III.15). Inlocuind în (III.53) pe (III.56) se obține :

$$\cos \gamma_2^* = \frac{l_2 l_3 \cos \gamma_2 + l_3 J_c \cos \xi_c - l_3 J_A \cos \xi_A - l_3 J_B \cos \xi_B}{l_3 |\overline{B'C'}|}$$

$$(III.57) \quad |\overline{B'C'}| = \left\{ l_2^2 + J_c^2 + J_A^2 + J_B^2 + 2l_2 [J_c \cos(\gamma_2 + \xi_c) - J_A \cos(\gamma_2 + \xi_A) - J_B \cos(\gamma_2 + \xi_B)] + 2J_A J_B \cos(\xi_A - \xi_B) - 2J_c J_A \cos(\xi_c - \xi_A) - 2J_c J_B \cos(\xi_c - \xi_B) \right\}^{\frac{1}{2}}.$$

În relația (III.57) modulul lui  $\overline{B'C'}$  poate fi calculat aproximativ, dacă se consideră jocurile ca fiind de valori foarte mici în comparație cu lungimile elementelor, produsele cîte două ale jocurilor, precum și pătratele lor vor putea fi neglijate. Modulul lui  $\overline{B'C'}$  va fi dat de relația (III.58) :

$$(III.58) \quad |\overline{B'C'}| = \sqrt{l_2^2 + 2l_2 [J_c \cos(\gamma_2 + \xi_c) - J_A \cos(\gamma_2 + \xi_A) - J_B \cos(\gamma_2 + \xi_B)]}$$

Inlocuind relația (III.58) în (III.53), rezultă (III.59) :

$$(III.59) \quad \gamma_2^* = \arccos \frac{l_2 l_3 \cos \gamma_2 + l_3 J_c \cos \xi_c - l_3 J_A \cos \xi_A - l_3 J_B \cos \xi_B}{l_3 \sqrt{l_2^2 + 2l_2 [J_c \cos(\gamma_2 + \xi_c) - J_A \cos(\gamma_2 + \xi_A) - J_B \cos(\gamma_2 + \xi_B)]}}$$

Se precizează că abaterile tehnologice ce provin de la dimensiuni liniare, pot fi incluse în jocurile din cuplo, motiv pentru care ele pot să nu apară ca elemente de calcul și care să influențeze în mod direct direcția și mărimea necesarului. Jocurile nu



Înscărmă neglijarea lor ca surse de erori funcționale ale mecanismului.

În cazul mecanismelor cu tachtet cu virf, funcționarea este mai aproape de mecanismul ideal, deoarece  $\bar{e}_2 = 0$ , deci relația (III.54) devine:

$$|\bar{\theta}'| = \bar{\theta} + \bar{e}_3 - \bar{e}_1$$

iar relația (III.56) devine (III.60) :

$$(III.60) \quad \bar{\theta}' = (l_2 \cos \gamma_2 + l_c \cos \gamma_c - l_A \cos \gamma_A) \tau + (l_c \sin \gamma_c - l_2 \sin \gamma_2 - l_A \sin \gamma_A) J$$

modulul lui  $\bar{\theta}'$ , neglijând produsele și pătratele cantităților foarte mici, rezultă (III.61) :

$$(III.61) \quad |\bar{\theta}'| = \sqrt{l_2^2 + 2l_c [l_c \cos(\gamma_2 + \gamma_c) - l_A \cos(\gamma_2 + \gamma_A)]}$$

Unghiul real  $\gamma_2^*$  se va calcula cu relația (III.62)

$$(III.62) \quad \gamma_2^* = \arccos \frac{l_2 l_3 \cos \gamma_2 + l_3 l_c \cos \gamma_c - l_3 l_A \cos \gamma_A}{l_3 \sqrt{l_2^2 + 2l_c [l_c \cos(\gamma_2 + \gamma_c) - l_A \cos(\gamma_2 + \gamma_A)]}}$$

Ca în toate cazurile, este evident că rola este o sursă importantă de erori, care prin compararea relațiilor (III.56) și (III.62) este pusă în evidență și în cazul mecanismelor cu came de rotație și tachtet oscilant.

### III.5. Mecanism cu came de rotație tachtet de translație

În cazul unui mecanism cu came de rotație și tachtet de translație, mișcarea mecanismului ideal (fig. III.12) poate fi descrisă cu vectorul de poziție  $\bar{r}_B$  al punctului B. În mecanismul real, came și rola vor avea câte o translație date de vectorii  $\bar{e}_1$  și  $\bar{e}_2$ , ale căror expresii sînt date de relațiile (III.53) :

$$(III.53) \quad \bar{e}_1 = \{l_A\}^T \parallel \gamma_A \parallel \left\{ \frac{\tau}{J} \right\}; \quad \bar{e}_2 = \{l_0\}^T \parallel \gamma_0 \parallel \left\{ \frac{\tau}{J} \right\}$$

unde jocurile din cuplele A și B se presupun cunoscute, iar metricile de direcții de translații au elementele date de relațiile (III.27).

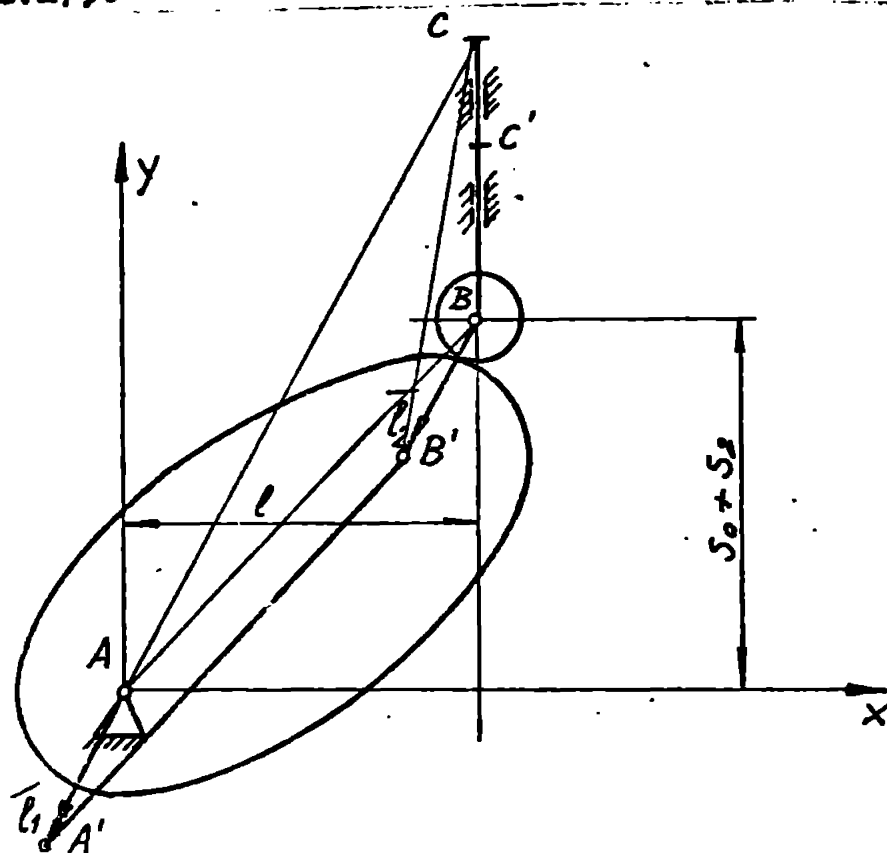


Fig. III.12

Vectorul de poziție  $\bar{r}_B$  al mecanismului ideal este exprimat în sistemul de referință ales cu relația (III.64) :

$$(III.64) \quad \bar{r}_B = \bar{AB} = l\bar{I} + (s_0 + s_2)\bar{J}$$

Punctul B, ca urmare a celor două translații se va găsi în B', dat de vectorul de poziție  $\bar{AB}'$  în același sistem de referință (III.65) :

$$(III.65) \quad \bar{AB}' = \bar{AB} + \bar{e}_1 + \bar{e}_2$$

Înlocuind relațiile (III.63) și (III.64) în (III.65), rezultă relația (III.66) :

$$(III.66) \quad \bar{AB}' = (l + J_A \cos \xi_A + J_B \cos \xi_B) \bar{I} + (s_0 + s_2 + J_A \sin \xi_A + J_B \sin \xi_B) \bar{J}$$

După cum rezultă și din figura III.12, în cazul unei ghidări pe direcția verticală, creșterea absolută de deplasare pe direcția tchetului coincide cu componenta după axa Oy a deplasării punctelor  $\bar{AB} = \bar{AB}'$ , rezultă :

$$\overline{AB} - \overline{AB} = \overline{e}_1 + \overline{e}_2 = (J_A \cos \xi_A + J_B \cos \xi_B) Z + (J_A \sin \xi_A + J_B \sin \xi_B) T$$

$$(II.67) \quad \Delta S_2 = J_A \sin \xi_A + J_B \sin \xi_B$$

Comparativ cu cazul precedent se observă că sursele de erori fiind mai reduse, calculul acestora este mai ușor și tipul acestor de mecanism asigură o precizie mai bună, în condiții de execuție identice.

Dacă mecanismul cu camă are tchet ou vîrf, rola ca sursă de erori este exclusă, precizia de funcționare se îmbunătățește, după cum se poate observa și din relațiile de calcul următoare. Punem  $\overline{e}_2 = 0$ , rezultă (III.68) :

$$(III.68) \quad \overline{AB}' = (l + J_A \cos \xi_A) Z + (s_0 + s_2 + J_A \sin \xi_A) T$$

$$(III.69) \quad \Delta S_2 = J_A \sin \xi_A$$

### III.6. Mecanism cu camă de rotație tchet de translație cu talpă plană

Aceste tipuri de mecanisme asigură o precizie mult mai bună, deoarece sînt formate doar din două elemente, din care unul, tchetul, execută o mișcare de translație. (fig. III.13). Printr-un reglaj inițial corespunzător se poate obține o poziție inițială (începutul ridicării) foarte aproape de cea ideală. Cu toate acestea, în timpul funcționării mecanismului vor exista erori funcționale, pe care le vom determina. Calculul acestor erori se poate face prin aceleași metode vectoriale. Astfel, cu rotațiile din figura III. 13, camă, în articulația plană din A va avea o deplasare de translație dată de vectorul  $\overline{e}_1$  exprimat prin relația (III.70) :

$$(III.70) \quad \overline{e}_1 = \{J_A\}^T \parallel \xi_A \parallel \left\{ \begin{matrix} Z \\ T \end{matrix} \right\}$$

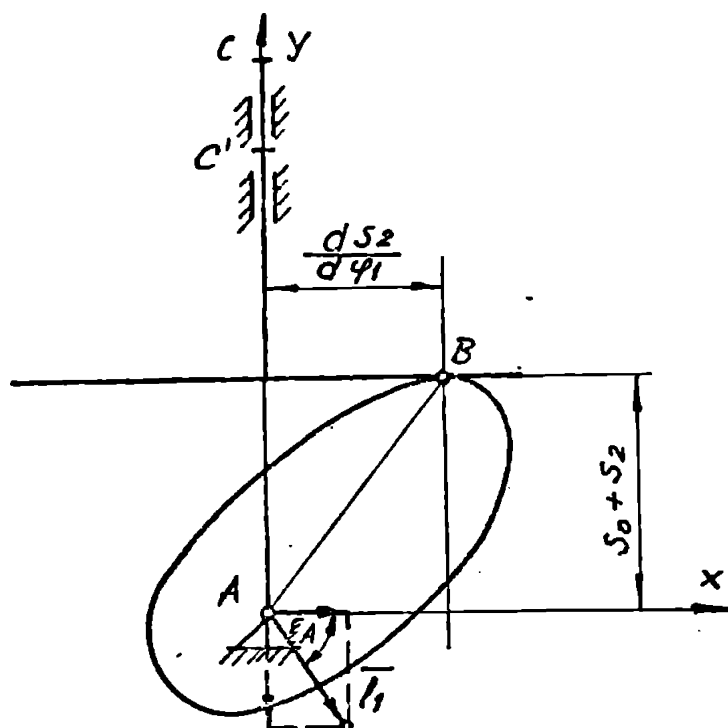


Fig. III.13

Din cauza deplasării camii punctul de contact dintre camă și tochet se va modifica din B în B'. Vectorul  $\overline{AB'}$  care dă poziția nouă a contactului este (III.71) :

$$(III.71) \quad \overline{AB'} = \overline{AB} + \overline{e}_1 ; \quad \overline{AB} = \frac{ds_2}{d\varphi_1} \tau + (s_0 + s_2) J$$

Rezultă după înlocuiri (III.72) :

$$(III.72) \quad \overline{AB'} = \left( \frac{ds_2}{d\varphi_1} + J_A \cos \xi_A \right) \tau + (s_0 + s_2 + J_A \sin \xi_A) J$$

Vectorul joc din cuplă este prescriis din proiectare, la sinteza mecanismului, iar matricea direcție de translație este dată de relațiile (III.32).

Eroarea pozițională  $\Delta s_2$ , se poate calcula prin diferența celor două poziții, cu precizarea că dacă ghidajul tochetului este suficient de strâns, componenta orizontală poate fi neglijată. Se obține astfel (III.73) :

$$(III.73) \quad \Delta s_2 = J_A \sin \xi_A$$

Relația (III.73) a erorii poziționale a mecanismului justifică calitățile acestui tip de tochet, denigurat

nuncai aspectul preciziei ce o asigură.

### III.7. Mecanism cu osă de rotație tachet oscilant cu talpă plană

Un mecanism cu osă de tipul prezentat în figura III.14, având două elemente, legate la bază prin două articulații plane, va avea două deplasări de vectori  $\bar{e}_1$  și  $\bar{e}_2$ , având expresiile date de relația (III.74) :

$$(III.74) \quad \bar{e}_1 = \{J_A\}^T \{ \xi_A \} \{ \tau \} ; \quad \bar{e}_2 = \{J_C\}^T \{ \xi_C \} \{ \tau \}$$

unde  $\{ \xi_A \}$  și  $\{ \xi_C \}$  sînt matrici ale căror elemente sînt date de relațiile (III.39) și (III.40), iar mărimile vectorilor jocuri sînt prescrise la proiectare. Din cauze celor două translații efectuate de osă și tachet, punctul B de contact se va muta în B', iar unghiul tachetului cu direcția de referință va fi  $\varphi_2^*$ . De asemenea, punctul C va avea o poziție nouă, notată cu C', ca urmare a deplasării tachetului cu  $\bar{e}_3$ . Unghiul real  $\varphi_2^*$  se poate calcula cu relația (III.75) :

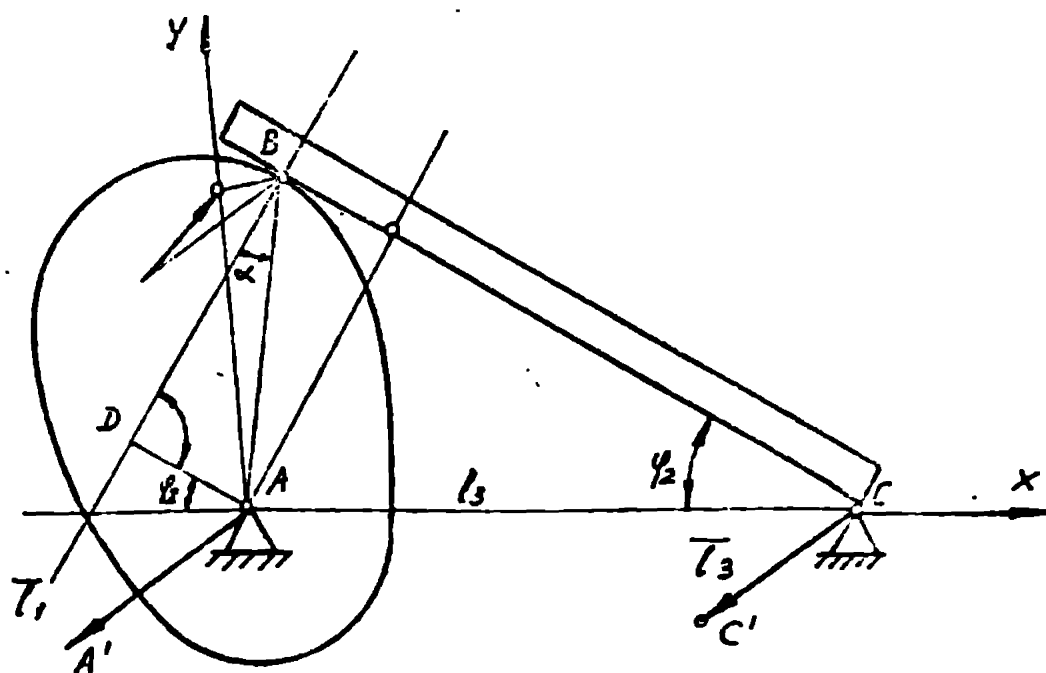


Fig. III. 14

$$(II.75) \quad \cos \gamma_2^* = \frac{\overline{AC} \cdot \overline{B'C'}}{|\overline{AC}| \cdot |\overline{B'C'}|}$$

$$(II.76) \quad \overline{AC} = l_3 \tau; \quad \overline{B'C'} = \overline{BC} + \overline{e_3} - \overline{e_1}$$

Vectorul  $\overline{BC}$  se calculează, conform figurii III.14, cu relația (III.73)

$$(III.77) \quad BC = \frac{l_3 \cos \gamma_2}{1 - \frac{d\gamma_2}{d\gamma_1}}$$

$$|\overline{BC}| = l_3 \cos \gamma_2 + AB; \quad AB = \frac{d\gamma_2}{d\gamma_1} \sin \alpha = BC \frac{d\gamma_2}{d\gamma_1}$$

$$AB \sin \alpha = AD; \quad AD = BC \frac{d\gamma_2}{d\gamma_1}; \quad BC = l_3 \cos \gamma_2 + BC \frac{d\gamma_2}{d\gamma_1}$$

$$(III.78) \quad \overline{BC} = \frac{l_3 \cos \gamma_2}{1 - \frac{d\gamma_2}{d\gamma_1}} \tau - \frac{l_3 \sin 2\gamma_2}{2(1 - \frac{d\gamma_2}{d\gamma_1})} J$$

Înlocuind relațiile (III.78) și (III.74) în (III.76) se obține relația (III.79):

$$(III.79) \quad \overline{B'C'} = \left( \frac{l_3 \cos^2 \gamma_2}{1 - \frac{d\gamma_2}{d\gamma_1}} + J_c \cos \xi_c - J_A \cos \xi_A \right) \tau + \left[ J_c \sin \xi_c - \frac{l_3 \sin 2\gamma_2}{2(1 - \frac{d\gamma_2}{d\gamma_1})} - J_A \sin \xi_A \right] J$$

Cu relațiile (III.79) și (III.76) înlocuite în relația (III.75), rezultă (III.80):

$$(III.80) \quad \cos \gamma_2^* = \frac{\frac{l_3^2 \cos^2 \gamma_2}{1 - \frac{d\gamma_2}{d\gamma_1}} + l_3 J_c \cos \xi_c - l_3 J_A \cos \xi_A}{l_3 \sqrt{\frac{l_3^2 \cos^2 \gamma_2}{(1 - \frac{d\gamma_2}{d\gamma_1})^2} + \frac{2 l_3 \cos^2 \gamma_2}{1 - \frac{d\gamma_2}{d\gamma_1}} \left[ J_c \cos(\gamma_2 + \xi_c) - J_A \cos(\gamma_2 - \xi_A) \right]}}$$

În expresia modului vectorului  $\overline{B'C'}$  s-au neglijat produsele de rotație și pătratele acestora ca având ordin de mărime foarte mic. Aplicând în relația (III.80) funcția trigonometrică

inversă se poate obține prin diferență valoarea absolută a abaterii poziționale.

### III.8. Mecanism cu camă de translație tachet oscilant

Abaterile poziționale ale acestui tip de mecanism cu camă se calculează prin procedee similare cu cele de mai sus, când tachetul era oscilant. Mecanismul are două legături de tipul articulației plane, deci vor exista două translații de vectori  $\bar{e}_2$  și  $\bar{e}_3$ , conform figurii III.15, având punctele de aplicării în B și în C. Cei doi vectori de poziție au expresiile date de relațiile (III.81) :

$$(III.81) \quad \bar{e}_2 = \{J_0\}^T \parallel \bar{z}_0 \parallel \{J_0\}^T ; \quad \bar{e}_3 = \{J_c\}^T \parallel \bar{z}_c \parallel \{J_c\}^T$$

În relațiile (III.81) matricile de direcție au elementele date de relațiile (III.46) și (III.49), iar valorile vectorilor jocuri sînt prevăzute la proiectare.

Notînd unghiul real al tachetului cu direcția de referință cu  $\varphi_2^*$ , acesta se poate calcula astfel: (III.82) :

$$(III.82) \quad \cos \varphi_2^* = \frac{\bar{B}C' \cdot J}{|\bar{B}C'|}$$

unde vectorul  $\bar{B}C'$  se poate scrie cu (III.83) :

$$(III.83) \quad \bar{B}C' = \bar{B}C + \bar{e}_2 - \bar{e}_3 ; \quad \bar{B}C = -l_2 \sin \varphi_2 \tau + l_2 \cos \varphi_2 J$$

Rezultă astfel: (III.84) :

$$(III.84) \quad \bar{B}C' = (-l_2 \sin \varphi_2 + J_0 \cos \varphi_2 - J_c \cos \varphi_c) \tau + (l_2 \cos \varphi_2 + J_0 \sin \varphi_2 - J_c \sin \varphi_c) J$$

Înlocuind relația (III.84) în relația (III.82), se obține (III.85) :

$$(III.85) \quad \cos \varphi_2^* = \frac{l_2 \cos \varphi_2 + J_0 \sin \varphi_2 - J_c \sin \varphi_c}{\sqrt{l_2^2 - 2J_0 l_2 \sin(\varphi_2 - \varphi_0) + 2J_c l_2 \sin(\varphi_2 - \varphi_c)}}$$

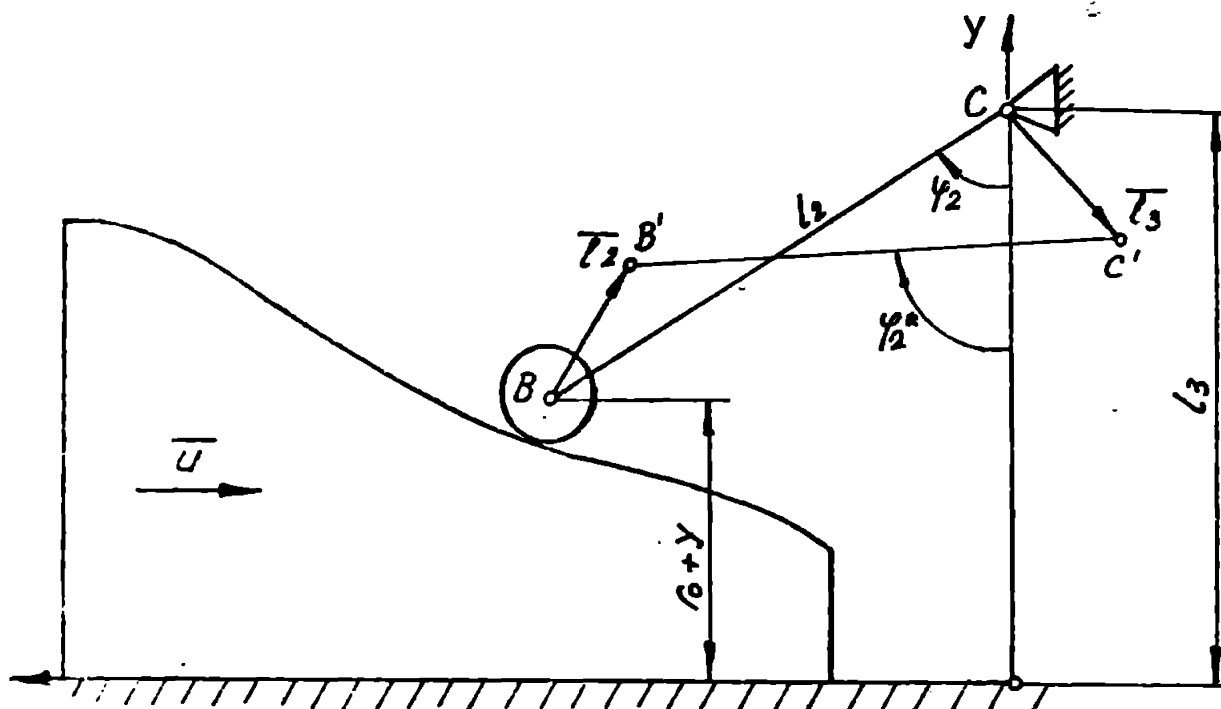


Fig. III. 15

În relația de mai sus modulul lui  $\overline{B'C'}$  s-a calculat neglijând puterile a doua și produsele cîte două a jocurilor, ca avînd valori foarte mici în comparație cu dimensiunile elementelor.

Erora absolută de poziție a tachetului se poate determina prin diferența valorilor teoretice și reale.

Se precizează că jocurile dintre casă și ghidajul acestuia pot fi incluse în jocurile din rolă, ca de altfel și abaterile dimensiunilor liniare, despre care s-a vorbit la începutul capitolului.

Este evident că dacă tachetul este cu vîrf, deplasarea rolăi  $\overline{E}_2 = 0$  și deci abaterile poziționale se reduc, conform relației (III.86)

$$(III.86) \quad \cos \varphi_2^* = \frac{l_2 \cos \gamma_2 - l_c \sin \zeta_c}{\sqrt{l_2^2 + 2l_c l_2 \sin(\gamma_2 - \zeta_c)}}$$



### III.9. Mecanism cu camă de translație tachet de translație

Asemănător cu cazul precedent al camii de translație și preluând concluziile tachetului de translație din paragraful III.6., sursele de erori în acest caz sînt mai puține, singura abatere ce se ia în considerare provine din translația rolei, vectorul acestuia fiind dat de relația (III.87) :

$$(III.87) \quad \bar{e}_2 = \{J_0\}^T \| \dot{\theta}_0 \| \{ \tau \}$$

În sistemul de referință ales, conform figurii III.16., vectorul de poziție al punctului B', exprimat după efectuarea translației rolei este exprimat cu ajutorul relației (III.88):

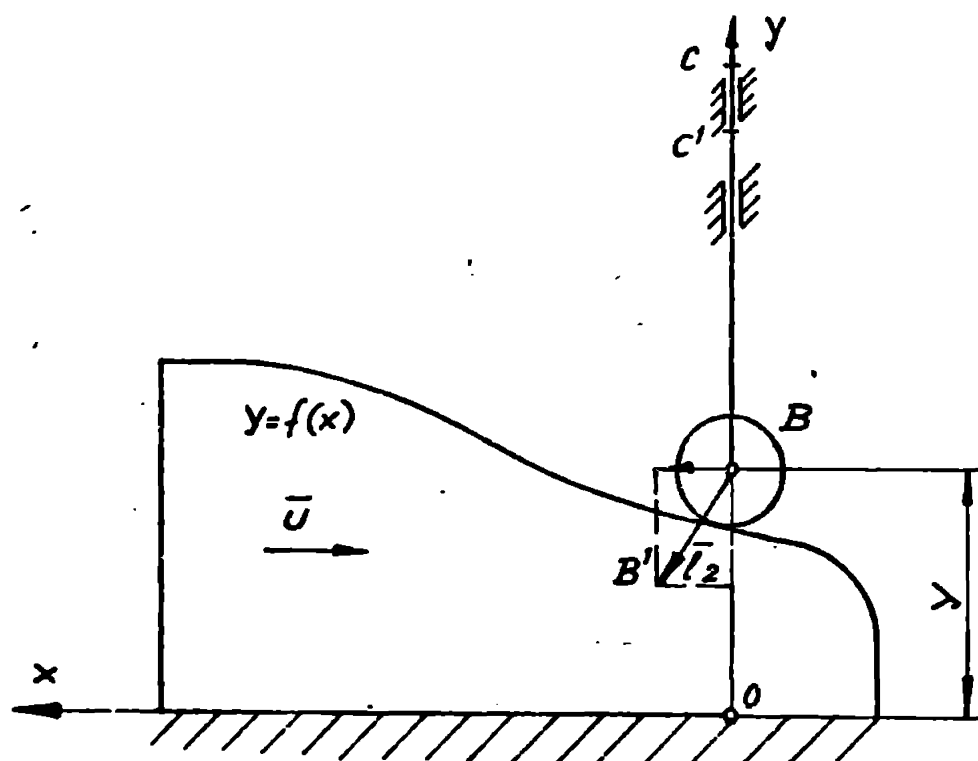


fig. III.16

$$(III.88) \quad \overline{OB'} = \overline{OB} + \bar{e}_2 = J_0 \cos \frac{1}{2} \theta \tau + (s_0 + s_2 + J_0 \sin \frac{1}{2} \theta) J$$

Erora absolută de deplasare a tachetului în ipoteza glidejelor strinse ale tachetului se determină cu diferența (III.89) :

$$(III.89) \quad \Delta S_2 = s_0 + s_2 - (s_0 + s_2 + J_0 \sin \frac{1}{2} \theta) = -J_0 \sin \frac{1}{2} \theta$$

Merită de semnalat în cazul acestui tip de mecanism faptul că dacă tacețul ar fi cu vîrf s-ar putea scrie  $\bar{\epsilon}_2 = 0$  și deci s-ar obține un mecanism cu camă identic cu cel nominal, adică fără abateri. Practic, mecanismul ar avea abateri, desigur foarte mici ce ar putea fi sub valori ce ar interesa tehnologic, care ar proveni din jocurile din lagărele tacețului și din impreciziile profilului camii, chiar în condițiile unui reglaj inițial al camii la valoarea nominală de început. Abaterile acestea nu ar mai putea fi cuprinse în deplasări și deci ele și-ar manifesta efectele, de obicei mai mici decît celelalte, uneori chiar practic neglijabile.

### III.10. Abaterile de viteze și accelerații

Abaterile de poziții calculate prin metoda expusă în paragrafele precedente oferă o imagine suficient de clară privind funcționarea mecanismului real. Deoarece valorile acestor abateri sînt în general mici, abaterile de viteze și accelerații au de obicei mult mai mari, provocînd perturbații în funcționarea mecanismelor, mai ales atunci cînd mărimile impuse executorului sînt funcție de acești parametri cinematici.

Erorile absolute de viteze și accelerații, față de mecanismul ideal, se obțin prin derivarea abaterilor de poziții în funcție de timp. Desigur, expresiile acestor derivate sînt în general complicate recomandîndu-se calculul automat.

Astfel, pentru mecanismele cu camă de rotație și taceț oscilant eroarea de viteză și accelerație a tacețului se obține cu relația (III.90) :

$$\Delta \omega = \frac{d}{dt} (\gamma_2 - \gamma_2^*) = \frac{d(\Delta \gamma_2)}{dt} = \omega - \omega^*$$

$$(III.90) \quad \Delta \epsilon = \frac{d(\Delta \omega)}{dt} = \frac{d^2}{dt^2} (\gamma_2 - \gamma_2^*) = \epsilon - \epsilon^*$$

În cazul mecanismelor cu camă de rotație și taceț de translație eroarea de viteză și accelerație a executorului se calculează cu relația (III.91) :

$$\begin{aligned}
 \Delta V_2 &= \frac{d(\Delta S_2)}{dt} = \dot{\xi}_A \cdot r_A \cos \xi_A + \dot{\xi}_B \cdot r_B \cos \xi_B \\
 \Delta a_2 &= \frac{d(\Delta V)}{dt} = \ddot{\xi}_A \cdot r_A \cos \xi_A + \ddot{\xi}_B \cdot r_B \cos \xi_B - \dot{\xi}_A^2 \cdot r_A \sin \xi_A - \dot{\xi}_B^2 \cdot r_B \sin \xi_B
 \end{aligned}
 \tag{III.91}$$

unde  $\dot{\xi}_A$  și  $\dot{\xi}_B$  respectiv  $\ddot{\xi}_A$  și  $\ddot{\xi}_B$  se exprimă cu relațiile (III.92) :

$$\begin{aligned}
 \dot{\xi}_A &= \dot{\xi}_B = -\dot{\lambda} = \frac{d\mu}{dt} + \omega_1 - \frac{d}{dt} \left( \arctg \frac{y_b}{x_b} \right) \\
 \ddot{\xi}_A &= \ddot{\xi}_B = -\ddot{\lambda} = \frac{d^2\mu}{dt^2} - \frac{d^2}{dt^2} \left( \arctg \frac{y_b}{x_b} \right)
 \end{aligned}
 \tag{III.92}$$

Se observă că în expresia erorii de accelerație vitezele unghiulare intervin la puterea a doua, ceea ce înseamnă valori și influențe mari.

Pentru mecanismele cu camă de rotație și tachet cu talpă plană, considerat ca fiind mecanismul cu cele mai mici erori poziționale, se obțin prin derivare următoarele relații (III.93) :

$$\begin{aligned}
 \Delta V_2 &= \frac{d(\Delta S_2)}{dt} = \dot{\xi}_A \cdot r_A \cos \xi_A = 0 \\
 \Delta a_2 &= \frac{d^2(\Delta S_2)}{dt^2} = 0
 \end{aligned}
 \tag{III.93}$$

Relațiile de mai sus conduc la concluzia abaterilor teoretic nule, dar, desigur practic foarte mici, uneori tehnologic neglijabile. Dacă însă nu se neglijează abaterile din cuplurile de translație, precum nici erorile de profil ale camii, se vor obține valori diferite de zero și pentru abaterile de viteză și accelerații, dar relativ mici.

Mecanismul cu camă de rotație și tachet oscilant cu talpă, are erorile cinematice de viteză și accelerație date de relațiile (III.94) :

$$\begin{aligned}
 \Delta \omega &= \frac{d}{dt} (y_2 - y_2^*) = \frac{d(\Delta y)}{dt} = \omega - \omega^* \\
 \Delta \varepsilon &= \frac{d(\Delta \omega)}{dt} = \frac{d^2}{dt^2} (y_2 - y_2^*) = \varepsilon - \varepsilon^*
 \end{aligned}
 \tag{III.94}$$

În cazul camelor de translație, dacă tchetul este oscilant, se vor determina erorile de viteze și accelerații similare, ca în cazurile tratate mai sus, utilizând relațiile (III.94), unde  $\varphi_2^*$  este dat de relația (III.85) sau (III.86), după cum tchetul are sau nu rol.

Dacă tchetul este de translație arcuarea de viteză și accelerație se obține cu relațiile (III.95) :

$$\Delta V_2 = \frac{d(\Delta S_2)}{dt} = -\dot{\xi}_0 l_0 \cos \xi_0$$

$$(III.95) \quad \Delta a_2 = \frac{d^2(\Delta S_2)}{dt^2} = -\ddot{\xi}_0 l_0 \cos \xi_0 + \dot{\xi}_0^2 l_0 \sin \xi_0$$

Se-a precizat că matricea jocului este presupusă ca fiind compusă din elemente constante, care nu variază în timpul funcționării, (neglijând fenomenul uzurii ce apare după un timp mai îndelungat de funcționare), iar matricea direcției este variabilă în timpul unui ciclu, existând deci, poziții de maxim pentru erorile de deplasare, viteză și accelerație.

Studiul preciziei mecanismelor cu came prin metoda vectorilor obțineri se recomandă în cazurile când solicitările dinamicăe sînt mici, însă concluziile calitative privind mecanismele cu came de diferite tipuri sub aspectul preciziei sînt susceptibile unei generalizări indiferent de condițiile de funcționare.

#### IV. DETERMINAREA ABATERILOR DE POZIȚII DATORATE ERORILOR TEHNOLOGICE DIN ZONELE DE CONTACT ALE CUPELOR CINEMATICE

##### IV.1. Generalități

Abaterile de poziții datorate erorilor tehnologice determină apariția erorilor funcționale, iar numărul și natura acestora într-un mecanism depind de numărul și natura cuplelor cinematice. Abaterile poziționale pot fi constante pe parcursul ciclului cinematic, în cazul când sînt determinate de abateri dimensionale, liniare sau unghiulare, sau pot fi variabile, dependente de reacțiunile din cupla respectivă, în cazul în care se consideră abaterile dimensionale din zonele de contact ale cuplelor cinematice.

Se precizează faptul că abaterile de poziții ale cuplelor cinematice în raport cu elementul cinematic din care fac parte se situează în categoria abaterilor dimensionale ale elementului cinematic respectiv.

Abaterile dimensionale ale suprafețelor de contact ale cuplelor cinematice pot fi abateri dimensionale propriu-zise, care dau naștere jocurilor dintre suprafețele ce realizează cupla, sau abateri de formă ale suprafețelor care formează zona de contact, ambele influențînd precizia mecanismului dependent de forțele de legătură din cuplă.

Pe baza observațiilor de mai sus, se poate stabili numărul maxim de abateri dintr-un element cinematic, presupus de clasa I, deci avînd 1 zonă de contact, ce reprezintă diferite cuple. Pentru poziționarea zonelor de contact se vor utiliza un număr de 1 sisteme de referință triortogonale fixate în elementul respectiv ( fig. IV.1).

Fără a se restrînge generalitatea studiului, se vor presupune cele 1 sisteme triortogonale ca avînd ambele paralele. Față de unul din aceste sisteme, considerat ca sistem de bază, celelalte  $i-1$  sisteme, în cazul elementului real,

vor prezenta câte trei abateri de translație, ce provin din erorile dimensionale și poziționale ale elementului. Acestea vor prezenta 3 (i-1) erori poziționale. Pe de altă parte, fiecare suprafață de contact prezintă față de sistemul de referință inițial, propriu, câte trei abateri de translație și trei abateri de rotație, care reprezintă abaterile de poziții și dimensionale ale cuplelor. Deci numărul total de abateri spațiale ale unui element de clasă i vor fi date de relația (IV.1) :

$$(IV.1) \quad 3(i-1) + 6i = 3(3i-1)$$

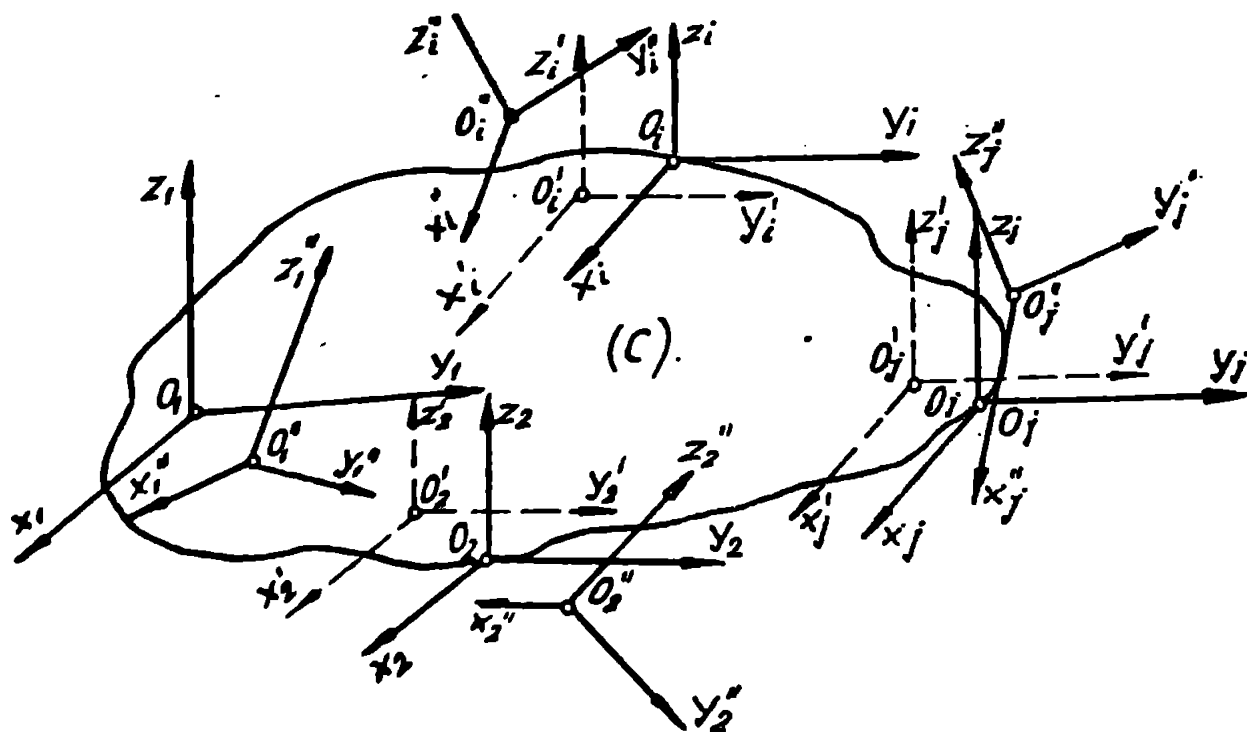


Fig. IV. 1

La aceste abateri se mai adaugă abaterile de formă ale suprafețelor suprafețelor, dar acestea, în cazurile în care nu sînt neglijabile, se consideră însumate în celelalte abateri analizate mai sus.

Se reaminte faptul că în cazul mecanismelor plane numărul abaterilor este mai mic, astfel pentru un element de clasă i pot exista în plan doar două translații, deci 2(i-1) abateri, iar suprafețele cuplelor pot prezenta în plan câte două translații și o rotație, rezultînd numărul total de abateri în plan dat de relația (IV.2) :

$$(IV.2) \quad 2(i-1) + 3i = 5i-2$$

Intrucit unele din aceste abateri se insumează, altele sînt eliminate prin alegerea convenabilă a sistemelor de referință, numărul abaterilor este de obicei mai mic decît cel dat de relațiile (IV.1) și (IV.2). Astfel, în general se insumează abaterile de translație pozițională a zonelor de contact cu abaterile de translație dimensionale ale elementelor cinematice, rămînînd în spațiu un număr de :

$$(IV.3) \quad 3(i-1) + 3i = 3(2i-1)$$

abateri, iar în plan :

$$(IV.4) \quad 2(i-1) + i = 3i-2$$

abateri, care uneori pot fi reduse și mai mult.

În cazul construcțiilor plane de cuple cinematice se pot lua în considerare numai abaterile de dimensiuni care conduc la jocurile ce provoacă translațiile și eventual rotațiile relative ale elementelor. La cupla de translație plană abaterile profilurilor dau jocul în direcție perpendiculară axei de translație dar se poate genera și o rotație în jurul axei perpendiculare pe planul mișcării. La cupla de rotație plană (articulația plană) rămîne numai jocul ce conduce la translație, care așa cum s-a arătat în capitoul precedent, poate avea diferite direcții.

Totuși, se recomandă pentru un studiu riguros al abaterilor cinematice considerarea structurii spațiale a mecanismelor în vederea evaluării tuturor influențelor.

#### IV.2. Stabilirea abaterilor elementelor în spațiu și în plan

Presupunem elementul de clasă I din figura IV.1. Pozițiile relative ale celor I triedre sînt cunoscute în mod distinct în cazul mecanismului ideal. Presupunînd sistemul de bază cel indicat cu 1, coordonatele celor I-1 puncte  $O_1, O_2, \dots, O_i$ , sînt cunoscute și date de relațiile (IV.5) :

$$(IV.5) \quad \begin{aligned} \vec{r}_0^{(2)} &= X_0^{(2)} \vec{I}_1 + Y_0^{(2)} \vec{J}_1 + Z_0^{(2)} \vec{K}_1 \\ \vec{r}_0^{(3)} &= X_0^{(3)} \vec{I}_1 + Y_0^{(3)} \vec{J}_1 + Z_0^{(3)} \vec{K}_1 \\ &\dots \\ \vec{r}_0^{(i)} &= X_0^{(i)} \vec{I}_1 + Y_0^{(i)} \vec{J}_1 + Z_0^{(i)} \vec{K}_1 \end{aligned}$$

iar versorii celor  $i-1$  sisteme de referință sînt identici (IV.6) :

$$\begin{aligned} \bar{L}_1 &= \bar{L}_2 = \dots = \bar{L}_i \\ (\text{IV.6}) \quad \bar{J}_1 &= \bar{J}_2 = \dots = \bar{J}_i \\ \bar{K}_1 &= \bar{K}_2 = \dots = \bar{K}_i \end{aligned}$$

deoarece s-au presupus cele  $i$  sisteme triortogonale paralele. Corpurile se formează cele  $i$  cuple au pozițiile cunoscute față de cele  $i$  sisteme de referință, de obicei ele sînt solidare cu alte triedre ale căror mișcări într-un ciclu cinematic, pentru mecanismul ideal, sînt cunoscute.

În cazul mecanismului real, punctele  $O_2, O_3, \dots, O_i$  sînt deplasate ca oîte trei translații, iar corpurile se formează cu elementul dat celei  $i$  cuple cinematice sînt cu trei translații și trei rotații deplasate față de poziția din mecanismul nominal.

Translațiile ce provin din abaterile dimensionale ale elementului  $i$  se scriu cu relațiile (IV.7) :

$$\begin{aligned} \bar{r}_0^{(2)} &= (x_0^{(2)} + \xi^{(2)}) \bar{L}_1 + (y_0^{(2)} + \eta^{(2)}) \bar{J}_1 + (z_0^{(2)} + \zeta^{(2)}) \bar{K}_1 \\ (\text{IV.7}) \quad \bar{r}_0^{(3)} &= (x_0^{(3)} + \xi^{(3)}) \bar{L}_1 + (y_0^{(3)} + \eta^{(3)}) \bar{J}_1 + (z_0^{(3)} + \zeta^{(3)}) \bar{K}_1 \\ \bar{r}_0^{(i)} &= (x_0^{(i)} + \xi^{(i)}) \bar{L}_1 + (y_0^{(i)} + \eta^{(i)}) \bar{J}_1 + (z_0^{(i)} + \zeta^{(i)}) \bar{K}_1 \end{aligned}$$

Abaterile dimensionale  $\xi^{(j)}, \eta^{(j)}$  și  $\zeta^{(j)}$  cu  $j=2,3,\dots,i$  sînt în general cunoscute, prescrise la proiectare prin valori limită și au dimensiuni liniare.

Următoarele abateri se datoresc pozițiilor translațate și rotite ale suprafețelor corpurilor ce formează cupla cinematică, deci abateri dimensionale și de formă ale cuplelor. Față de sistemul de referință inițial, triedrul  $T_1$  de versorii  $\bar{i}_1, \bar{j}_1, \bar{k}_1$ , translațiile se vor exprima cu relațiile (IV.8):



$$\begin{aligned}
 \vec{r}_0^{(1)} &= \xi^{(1)} \vec{L}_1 + \eta^{(1)} \vec{J}_1 + \zeta^{(1)} \vec{K}_1 \\
 \text{(IV.8)} \quad \vec{r}_0^{(2)} &= (x_0^{(2)} + \xi^{(2)} + \xi^{(1(2)}) \vec{L}_1 + (y_0^{(2)} + \eta^{(2)} + \eta^{(1(2)}) \vec{J}_1 + (z_0^{(2)} + \zeta^{(2)} + \zeta^{(1(2)}) \vec{K}_1 \\
 \vec{r}_0^{(i)} &= (x_0^{(i)} + \xi^{(i)} + \xi^{(1(i)}) \vec{L}_1 + (y_0^{(i)} + \eta^{(i)} + \eta^{(1(i)}) \vec{J}_1 + (z_0^{(i)} + \zeta^{(i)} + \zeta^{(1(i)}) \vec{K}_1
 \end{aligned}$$

Cele trei rotații ale fiecărui triedru nou față de cele precedente se obțin cu ajutorul următoarelor matrici de rotații (IV.9) :

$$\text{(IV.9)} \quad \begin{Bmatrix} \vec{L}_j \\ \vec{J}_j \\ \vec{K}_j \end{Bmatrix} = \begin{bmatrix} \alpha_{11}^{(j)} & \alpha_{12}^{(j)} & \alpha_{13}^{(j)} \\ \alpha_{21}^{(j)} & \alpha_{22}^{(j)} & \alpha_{23}^{(j)} \\ \alpha_{31}^{(j)} & \alpha_{32}^{(j)} & \alpha_{33}^{(j)} \end{bmatrix} \begin{Bmatrix} \vec{L}_j \\ \vec{J}_j \\ \vec{K}_j \end{Bmatrix}$$

unde  $j=1,2,\dots,i$ , iar  $\alpha_{pq}^{(j)}$  cu  $p$  și  $q=1,2,3$ , reprezintă cosinurii directori ai reperelor rotite față de direcțiile inițiale. Deoarece între cei nouă cosinurii directori există șase relații independente rezultă că există un număr de 31 parametri de poziție independenți corespunzători celor 31 abateri de rotație.

Numărul total de abateri ce rezultă în urma acestor erori posibile este cel dat de relația (IV.1), adică  $3(31-1)$ . Un punct al mecanismului dat, ce aparține corpului în contact cu elementul studiat în zona de ordin  $j$  se obține astfel față de reperul considerat de bază (IV.10) :

$$\text{(IV.10)} \quad \begin{Bmatrix} x^{(i)} \\ y^{(i)} \\ z^{(i)} \end{Bmatrix} = \begin{Bmatrix} x_0^{(i)} \\ y_0^{(i)} \\ z_0^{(i)} \end{Bmatrix} + \begin{Bmatrix} \xi^{(i)} \\ \eta^{(i)} \\ \zeta^{(i)} \end{Bmatrix} + \begin{Bmatrix} \xi^{(1(i))} \\ \eta^{(1(i))} \\ \zeta^{(1(i))} \end{Bmatrix} + \begin{bmatrix} \alpha_{11}^{(i)} & \alpha_{12}^{(i)} & \alpha_{13}^{(i)} \\ \alpha_{21}^{(i)} & \alpha_{22}^{(i)} & \alpha_{23}^{(i)} \\ \alpha_{31}^{(i)} & \alpha_{32}^{(i)} & \alpha_{33}^{(i)} \end{bmatrix} \begin{Bmatrix} x^{(j)} \\ y^{(j)} \\ z^{(j)} \end{Bmatrix}$$

În relația (IV.10) s-au notat cu  $x^{(i)}$ ,  $y^{(i)}$ ,  $z^{(i)}$  coordonatele punctului real față de reperul de bază, iar cu  $x^{(j)}$ ,  $y^{(j)}$ ,  $z^{(j)}$ , coordonatele punctului față de ultimul reper rotit (de obicei solidar legat de corpul conjugat ce formează cupla).

În mecanismul ideal coordonatele punctului respectiv față de reperul de bază se scriu cu relația (IV.11) :

$$\text{(IV.11)} \quad \begin{Bmatrix} x^{(i)} \\ y^{(i)} \\ z^{(i)} \end{Bmatrix} = \begin{Bmatrix} x_0^{(i)} \\ y_0^{(i)} \\ z_0^{(i)} \end{Bmatrix} + \|\alpha_{sr}\| \begin{Bmatrix} x^{(j)} \\ y^{(j)} \\ z^{(j)} \end{Bmatrix}$$

unde cu  $\|d_{sL}\|$  s-a notat matricea osculașilor directori ce poziționează corpul conjugat față de primul, cei considerat de bază și care uneori poate să fie matricea unitate.

Abatere pozițională absolută  $\|\Delta r\|$  pentru punctul considerat se poate calcula prin diferența (IV.12) :

$$(IV.12) \quad \|\Delta r\| = \begin{Bmatrix} x^{(i)} - x^{(j)} \\ y^{(i)} - y^{(j)} \\ z^{(i)} - z^{(j)} \end{Bmatrix} = \begin{Bmatrix} \xi^{(j)} \\ \eta^{(j)} \\ \zeta^{(j)} \end{Bmatrix} + \begin{Bmatrix} \xi^{(i)} \\ \eta^{(i)} \\ \zeta^{(i)} \end{Bmatrix} + \|d_{qp} - \alpha sr\| \begin{Bmatrix} x^{(i)} \\ y^{(i)} \\ z^{(i)} \end{Bmatrix}$$

Dacă pozițiile punctului în mecanismul ideal și cel real sînt exprimate în funcție de parametrul de poziție al elementului motor și unui mecanism desmodrom, diferența de mai sus reprezintă abaterea de deplasare, a cărei derivate în raport cu timpul sînt abaterile de viteze și accelerații ale punctului studiat.

În cazul mecanismelor plane numărul total de abateri de poziție este mai redus, dat de relația (IV.2). Dacă se consideră planul mecanismului coincidînd cu planul de coordonate  $xOy$ , atunci mișcările posibile pentru sistemele de referință din figura IV.2 ale elementului de clasă I sînt următoarele: cîte două translații după axele  $O_j z_j$  și  $O_j y_j$ , cu  $j=1,2,\dots,i-1$ , iar sistemele de referință legate de corpurile care formează cupla cu față de sistemele de mai sus cîte două translații după axele  $O'_j z'_j$  și  $O'_j y'_j$  și cîte o rotație în jurul axei  $O'_j z'_j$ , deci în total un număr de  $5i-2$  abateri, conform relației (IV.2).

Relațiile deduse pentru cazul spațial se simplifică, astfel în relațiile (IV.5) componentele după axele  $O_j z_j$  devin nule, iar relațiile (IV.7) în acest caz particular devin (IV.13) :

$$(IV.13) \quad \begin{aligned} \bar{r}_0^{(2)} &= (x_0^{(2)} + \xi^{(2)}) \bar{L}_1 + (y_0^{(2)} + \eta^{(2)}) \bar{J}_1 \\ \bar{r}_0^{(3)} &= (x_0^{(3)} + \xi^{(3)}) \bar{L}_1 + (y_0^{(3)} + \eta^{(3)}) \bar{J}_1 \\ \bar{r}_0^{(i)} &= (x_0^{(i)} + \xi^{(i)}) \bar{L}_1 + (y_0^{(i)} + \eta^{(i)}) \bar{J}_1 \end{aligned}$$

Translațiile sistemelor de referință următoare date de relațiile (IV.8) se transformă în (IV.14) :

$$\begin{aligned}
 \bar{r}_0^{(1)} &= \xi^{(1)} \bar{l}_1 + \eta^{(1)} \bar{j}_1 \\
 \text{(IV.14)} \quad \bar{r}_0^{(2)} &= (x_0^{(2)} + \xi^{(2)} + \xi^{(1)}) \bar{l}_1 + (y_0^{(2)} + \eta^{(2)} + \eta^{(1)}) \bar{j}_1 \\
 \dots\dots\dots \\
 \bar{r}_0^{(i)} &= (x_0^{(i)} + \xi^{(i)} + \xi^{(i-1)}) \bar{l}_1 + (y_0^{(i)} + \eta^{(i)} + \eta^{(i-1)}) \bar{j}_1
 \end{aligned}$$

Nu arul rota iilor fiind reduse la c te una, aceasta se exprim  cu rela ia (IV.15) :

$$\text{(IV.15)} \quad \begin{Bmatrix} \bar{l}'_j \\ \bar{j}'_j \\ \bar{k}'_j \end{Bmatrix} = \begin{bmatrix} \cos \theta_j & \sin \theta_j & 0 \\ -\sin \theta_j & \cos \theta_j & 0 \\ 0 & 0 & 1 \end{bmatrix} \begin{Bmatrix} \bar{l}_j \\ \bar{j}_j \\ \bar{k}_j \end{Bmatrix}$$

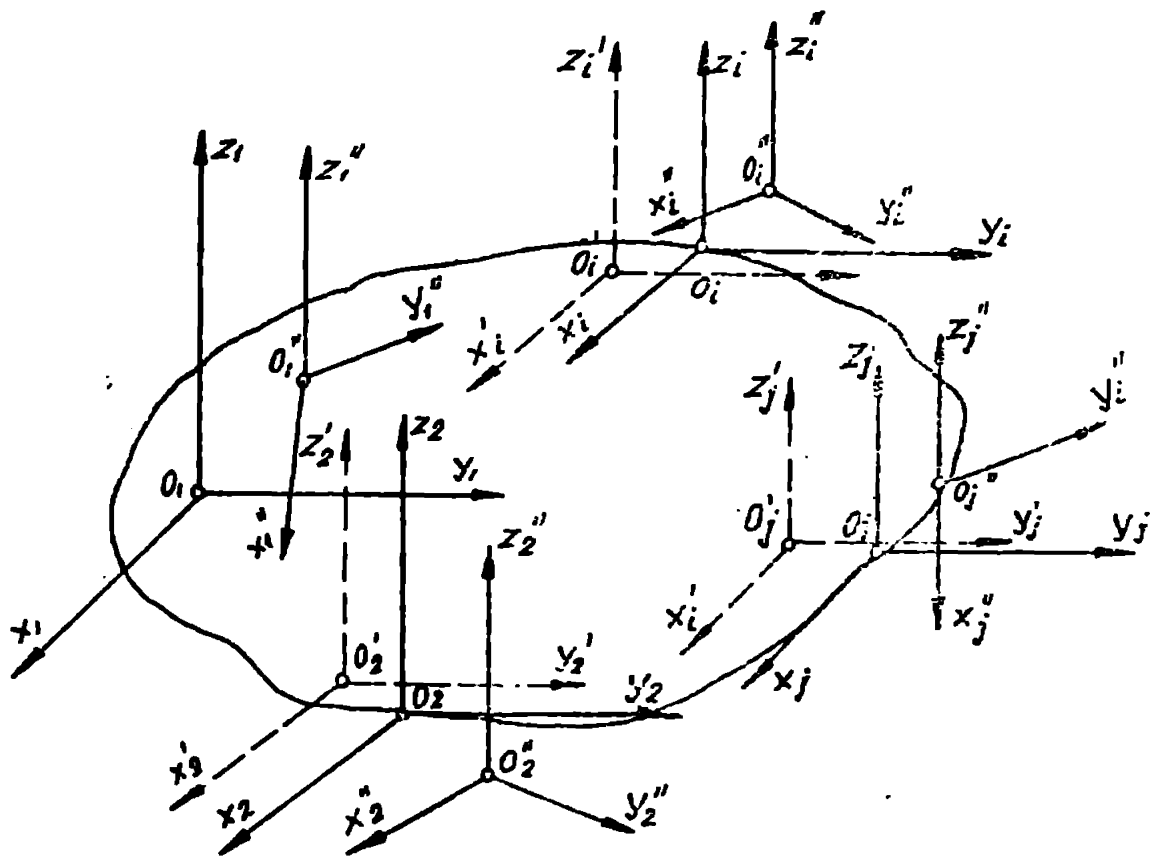


fig. IV. 2

Astfel rela ia (IV.10) cu rezultatele de mai sus (IV.13), (IV.14) , si (IV.15) devine (IV.16) :

$$\text{(IV.16)} \quad \begin{Bmatrix} x^{(i)} \\ y^{(i)} \end{Bmatrix} = \begin{Bmatrix} x_0^{(i)} \\ y_0^{(i)} \end{Bmatrix} + \begin{Bmatrix} \xi^{(i)} \\ \eta^{(i)} \end{Bmatrix} + \begin{Bmatrix} \xi^{(i-1)} \\ \eta^{(i-1)} \end{Bmatrix} + \begin{bmatrix} \cos \theta_j & -\sin \theta_j \\ \sin \theta_j & \cos \theta_j \end{bmatrix} \begin{Bmatrix} x^{(i)} \\ y^{(i)} \end{Bmatrix}$$

iar abaterile de deplasări se calculează cu relația (IV.17):

$$(IV.17) \quad \|\Delta r\| = \begin{Bmatrix} x^{(j)} - x^{(0)} \\ y^{(j)} - y^{(0)} \end{Bmatrix} = \begin{Bmatrix} \xi^{(j)} \\ \eta^{(j)} \end{Bmatrix} + \begin{Bmatrix} \xi^{(0)} \\ \eta^{(0)} \end{Bmatrix} + \begin{bmatrix} \cos \theta_j & -\sin \theta_j \\ \sin \theta_j & \cos \theta_j \end{bmatrix} \begin{Bmatrix} x^{(j)} \\ y^{(j)} \end{Bmatrix} - \|\alpha_{sr}\| \begin{Bmatrix} x^{(j)} \\ y^{(j)} \end{Bmatrix}$$

unde matricea  $\|\alpha_{sr}\|$  este de ordinul doi și cunoscută.

Relația (IV.17) permite prin derivarea în raport cu timpul, determinarea abaterilor de viteze și accelerații, după ce au fost exprimate funcțiile de timp care apar în relație.

#### IV.3. Determinarea abaterilor elementelor pe structura redusă a mecanismelor

În baza celor expuse în paragrafele precedente, studiul abaterilor elementelor poate fi efectuat pe baza reducerii numărului total de abateri, rezultând un număr de abateri înlocuirea celei calculate cu relațiile (IV.1) și (IV.2).

O astfel de reducere se obține dacă se însușează abaterile de translație pozițională a zonelor de contact cu abaterile de translație dimensionale a elementelor cinematice, obținând un număr total de abateri pentru elementul studiat dat de relațiile (IV.3) și (IV.4). În acest caz abaterile de deplasare pentru legătura de ordin  $j$  devine (IV.18) :

$$(IV.18) \quad \|\Delta r\| = \begin{Bmatrix} \xi^{(j)} \\ \eta^{(j)} \\ \zeta^{(j)} \end{Bmatrix} + \|\alpha_{2p} - \alpha_{sr}\| \begin{Bmatrix} x^{(j)} \\ y^{(j)} \\ z^{(j)} \end{Bmatrix}$$

iar în plan relația (IV.17) se scrie (IV.19) :

$$(IV.19) \quad \|\Delta r\| = \begin{Bmatrix} \xi^{(j)} \\ \eta^{(j)} \end{Bmatrix} + \left( \begin{bmatrix} \cos \theta_j & -\sin \theta_j \\ \sin \theta_j & \cos \theta_j \end{bmatrix} - \|\alpha_{sr}\| \right) \begin{Bmatrix} x^{(j)} \\ y^{(j)} \end{Bmatrix}$$

Particularizând relațiile de mai sus în cazul unui element de clasa a doua, numărul total de abateri conform relației (IV.2) este 8, iar în ipoteza de mai sus acest număr

scade la 4 conform relației (IV.4). În figura (IV.3) sînt evidențiate aceste abateri, din care două sînt de translație (abaterile dimensionale și de poziție a elementului și zonei de contact) și două rotații plane, în jurul axelor normale la plan, definiți de parametri unghiulari  $\theta_1$  și  $\theta_2$ .

Considerînd ca sistem de referință de bază sistemul  $x_1, O_1, y_1$  și avînd în vedere modul cum se suprapun aceste mișcări, un punct oarecare P al corpului conjugat ce formează cupla va fi exprimat prin relații diferite în sistemele de referință succesive. Astfel, dacă coordonatele punctului P față de sistemul de referință  $x_2''O_2''y_2''$  sînt  $x_p$  și  $y_p$ , prin translație și rotație sistemul devine  $x_2'O_2'y_2'$  în care coordonatele punctului P sînt  $x_p^{(2)}$  și  $y_p^{(2)}$ , date de relația (IV.20):

$$(IV.20) \quad \begin{Bmatrix} x_p^{(2)} \\ y_p^{(2)} \end{Bmatrix} = \begin{Bmatrix} \xi^{(2)} \\ \eta^{(2)} \end{Bmatrix} + \begin{bmatrix} \cos \theta_2 & -\sin \theta_2 \\ \sin \theta_2 & \cos \theta_2 \end{bmatrix} \begin{Bmatrix} x_p \\ y_p \end{Bmatrix}$$

unde  $\theta_2$  este unghiul cu care s-a rotit sistemul  $x_2''O_2''y_2''$  față de  $x_2'O_2'y_2'$ , iar  $\xi^{(2)}$  și  $\eta^{(2)}$  sînt componentele celor două translații efectuate de sistemul  $x_2''O_2''y_2''$  din poziția  $x_2'O_2'y_2'$ . Față de sistemul  $x_1, O_1, y_1$ , considerat de bază, poziția punctului P se exprimă cu relația (IV.21):

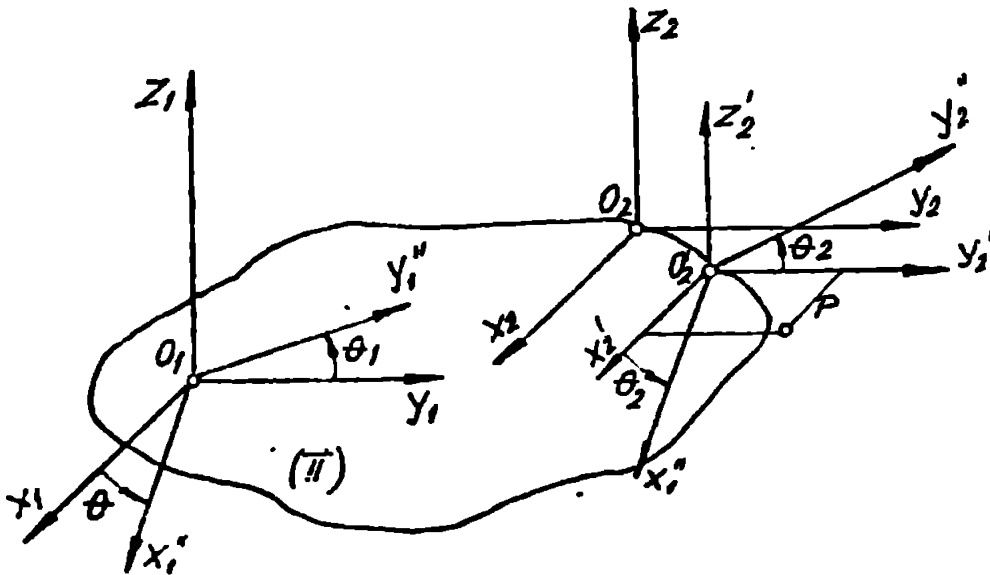


Fig. IV. 3

$$(IV.21) \quad \begin{Bmatrix} x_p^{(1)} \\ y_p^{(1)} \end{Bmatrix} = \begin{bmatrix} \cos \theta_1 & -\sin \theta_1 \\ \sin \theta_1 & \cos \theta_1 \end{bmatrix} \begin{Bmatrix} x_0^{(2)} + \xi^{(2)} \\ y_0^{(2)} + \eta^{(2)} \end{Bmatrix} + \begin{bmatrix} \cos \theta_2 & -\sin \theta_2 \\ \sin \theta_2 & \cos \theta_2 \end{bmatrix} \begin{Bmatrix} x_p \\ y_p \end{Bmatrix}$$

seu concentrând cele două relații date prin matricile corespunzătoare, rezultă relația (IV.22) :

$$(IV.22) \quad \begin{Bmatrix} x_p^{(1)} \\ y_p^{(1)} \end{Bmatrix} = \begin{bmatrix} \cos \theta_1 & -\sin \theta_1 \\ \sin \theta_1 & \cos \theta_1 \end{bmatrix} \begin{Bmatrix} x_0^{(2)} + \xi^{(2)} \\ y_0^{(2)} + \eta^{(2)} \end{Bmatrix} + \begin{bmatrix} \cos(\theta_1 + \theta_2) & -\sin(\theta_1 + \theta_2) \\ \sin(\theta_1 + \theta_2) & \cos(\theta_1 + \theta_2) \end{bmatrix} \begin{Bmatrix} x_p \\ y_p \end{Bmatrix}$$

unde unghiul  $\theta_2$  definește cea de-a doua rotație dintre cele amintite.

Dacă prima rotație a reperului considerat de bază se neglijează, ceea ce este de cele mai multe ori posibil deoarece se poate porni de la reperul rotit ca bază sau se include rotația acostuia în abaterile ulterioare de translație și rotație, deci relația (IV.22) devine pentru  $\theta_1 = 0$  (IV.23) :

$$(IV.23) \quad \begin{Bmatrix} x_p^{(1)} \\ y_p^{(1)} \end{Bmatrix} = \begin{Bmatrix} x_0^{(2)} + \xi^{(2)} \\ y_0^{(2)} + \eta^{(2)} \end{Bmatrix} + \begin{bmatrix} \cos \theta_2 & -\sin \theta_2 \\ \sin \theta_2 & \cos \theta_2 \end{bmatrix} \begin{Bmatrix} x_p \\ y_p \end{Bmatrix}$$

Poziția punctului P a mecanismului ideal față de sistemul de referință de bază este dată de relația (IV.24) :

$$(IV.24) \quad \begin{Bmatrix} x_p^{(1)} \\ y_p^{(1)} \end{Bmatrix} = \begin{Bmatrix} x_0^{(2)} \\ y_0^{(2)} \end{Bmatrix} + \begin{Bmatrix} x_p \\ y_p \end{Bmatrix}$$

unde s-a ținut cont de faptul că reperele sînt paralele. Pentru calculul erorii de poziție a mecanismului real față de cel ideal, se efectuează diferența dintre relațiile (IV.23) și (IV.24), rezultînd relația (IV.25), care exprimă componentele  $\Delta x$  și  $\Delta y$  a erorii de poziție  $\Delta \bar{r}_p$ :

$$(IV.25) \quad \begin{Bmatrix} \Delta x \\ \Delta y \end{Bmatrix} = \begin{Bmatrix} \xi^{(2)} - y_p \sin \theta_2 - x_p (1 - \cos \theta_2) \\ \eta^{(2)} + x_p \sin \theta_2 - y_p (1 - \cos \theta_2) \end{Bmatrix}$$

Modulul acestei erori este dat de relația (IV.26) :

$$(IV.26) \quad \Delta r = \xi^{(2)2} + \eta^{(2)2} + 4 \sin^2 \frac{\theta_2}{2} (x_p^2 + y_p^2 - \xi^{(2)} x_p - \eta^{(2)} y_p) + 2 \sin \theta_2 (\eta^{(2)} x_p - \xi^{(2)} y_p)$$

oare, dacă se neglijează și rotația de unghi  $\theta_2$ , că relația unei translații rezultante, de componente pe axe  $\xi_2^{(2)}$  și  $\eta_2^{(2)}$ , cu care în anumite condiții se pot exprima suficientă precizie abaterea elementului studiat. De asemenea, relația (IV.26) pune în evidență dependența abaterii pozitionale de distribuția punctelor studiate. Vor exista puncte ale căror abateri pozitionale vor fi maxime și care vor trebui evitate pe cât posibil ca puncte de legătură cu elementele următoare. Observația este valabilă dacă rotația de unghi  $\theta_2$  este luată în considerare.

Presupunând cazul concret al unui mecanism de camă plană, elementele componente vor avea erorile arătate mai sus. Analizând însă pe baza particularităților evidente se vor putea simplifica relațiile ce exprimă abaterile acestor elemente, toate de clasa a doua.

Camă, față de un reper legat în articulația plană (în cazul camei de rotație) va avea cele două erori de translație și una de rotație, astfel că un punct al ei de pe profil exprimat față de acest reper se exprimă cu relația (IV.27) :

$$(IV.27) \quad \begin{Bmatrix} x_c \\ y_c \end{Bmatrix} = \begin{Bmatrix} \xi^{(1)} \\ \eta^{(1)} \end{Bmatrix} + \begin{bmatrix} \cos \theta_1 & -\sin \theta_1 \\ \sin \theta_1 & \cos \theta_1 \end{bmatrix} \begin{Bmatrix} x_b \\ y_b \end{Bmatrix}$$

unde notațiile sînt cele obișnuite. Deoarece de cele mai multe ori camă este elementul motor, după cum s-a precizat în capitolul precedent, studiul tehnocinematic al mecanismelor presupune elementul conducător fără abatere unghiulară față de elementul motor al mecanismului ideal, ceea ce se poate realiza, între anumite limite, printr-un reglaj inițial. Astfel, camă va avea o abatere semnificativă de translație, cu două componente,  $\xi_1^{(1)}$  și  $\eta_1^{(1)}$ , a căror resultantă este jocul  $J$  din cupla de rotație, dată de relația (IV.28) :

$$(IV.28) \quad J = \sqrt{\xi_1^{(1)2} + \eta_1^{(1)2}}$$

iar direcția de translație se poate calcula cu relația (IV.29) :

$$(IV.29) \quad \cos \alpha_1 = \frac{\xi_1^{(1)}}{J} ; \quad \sin \alpha_1 = \frac{\eta_1^{(1)}}{J}$$

Translația camii poate fi exprimată astfel printr-un vector avînd expresia:

$$\vec{e}_1 = e_x \vec{i} + e_y \vec{j}$$

regăsind pe o altă cale concluziile din capitolul precedent, unde metoda este prezentată detaliat.

Continuînd raționamentele de mai sus în cazul rolei se poate afirma că punctul de contact dintre rola și camă va fi modificat, iar față de camă rola va prezenta două abateri de translație și una de rotație. Dacă se consideră abaterea de rotație mică, iar cele de translație conținîndu-le pe acestea, rezultă o translație a rolei tot cu două componente, care includ jocul din articulația rolei, abaterea de la dimensiune a rolei, precum și abaterea de rotație presupusă foarte mică. Mișcarea rolei față de camă va fi deci exprimată printr-o translație de vector  $\vec{e}_1$ , studiată în capitolul precedent.

Rafăcînd raționamentul și pentru tchet va rezulta o concluzie similară, a unei translații pe două direcții localizată în articulația fixă și exprimată printr-un vector față de reperul de bază.

În acest mod, prin ipoteza simplificatoare, compatibile cu mecanismele cu came reale se regăsește metoda de rezolvare expusă în capitolul III. Precizia metodei, după cum s-a arătat, este competitivă cu condițiile tehnice de funcționare și care permit adoptarea sistemului de ipoteze expuse.

#### IV.4. Determinarea abaterilor de poziții în cuplurile cinematice

Mecanismele cu came plane au în general trei elemente componente, camă, rola și tchetul, rola fiind un element pasiv, iar tchetul cu rol de executor. Aceste elemente sînt legate între ele prin cuple de clasă a 5-a și a 4-a, respectiv articulațiile camii și tchetului la bază, precum și articulația rolei la tchet și cupla superioară camă-rolă. În acest mod, cuplurile care concurează la exercițiile cinematice ale mecanismelor cu came plane sînt articulațiile plane (cilindrice)



și cupla superioară, contactul pe o generatoare comună a două suprafețe cilindrice, dacă mecanismul are rolă, sau tchetul direct prin contact punctiform pe suprafața cilindrică a celei.

Cupla cilindrică are elementele caracteristice  $R_j$  și  $L_j$ , conform figurii IV.4, reprezentând raza și respectiv înălțimea cilindrului. Punctele de contact dintre cei doi cilindri

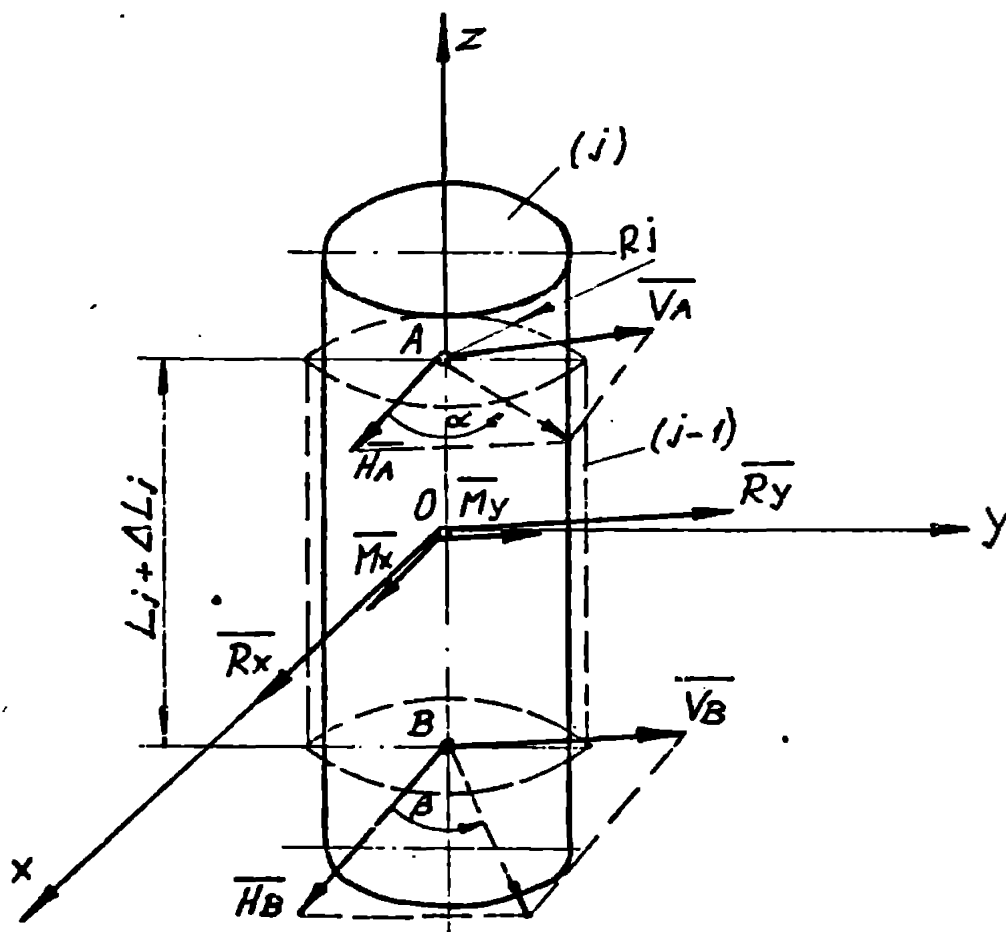


Fig. IV. 4

se determină calculând torserul forțelor de legătură, care acționează în punctele A și B, care apoi permit determinarea direcțiilor  $\alpha$  și  $\beta$  ale rezultatelor  $\vec{R}_A$  și  $\vec{R}_B$  ale forțelor de legătură. (IV.30) :

$$(IV.30) \quad \cos \alpha = \frac{H_A}{R_A}; \quad \sin \alpha = \frac{V_A}{R_A}; \quad \sin \beta = \frac{V_B}{R_B}; \quad \cos \beta = \frac{H_B}{R_B}$$

Coordonatele punctelor de contact se vor calcula cu relațiile (IV.31) :

$$(IV.31) \quad \begin{array}{ll} X_j = R_j \cos \alpha & X_i = R_j \cos \beta \\ Y_j = R_j \sin \alpha & Y_i = R_j \sin \beta \\ Z_j = (L_j + \Delta L_j) / 2 & Z_i = (L_j + \Delta L_j) / 2 \end{array}$$

În cazul mecanismului real este alezajul cît și arborele cuplei cilindrice pot fi afectate de erori de execuție, care conduc la modificarea geometriei suprafețelor respective. Aceste abateri se referă la modificarea razei  $R_j$  și a înălțimii cilindrului  $L_j$ . Abaterile privind poziția axei cilindrului alezaj în elementul  $j$  se încadrează în abaterile dimensionale ale elementului respectiv. Avînd în vedere faptul că din punct de vedere tehnologic există posibilitatea obținerii unor alezaje scurte, la cote foarte apropiate de cele nominale se poate accepta că principalele surse de erori provin din execuția arborelui cuplei cilindrice. [24].

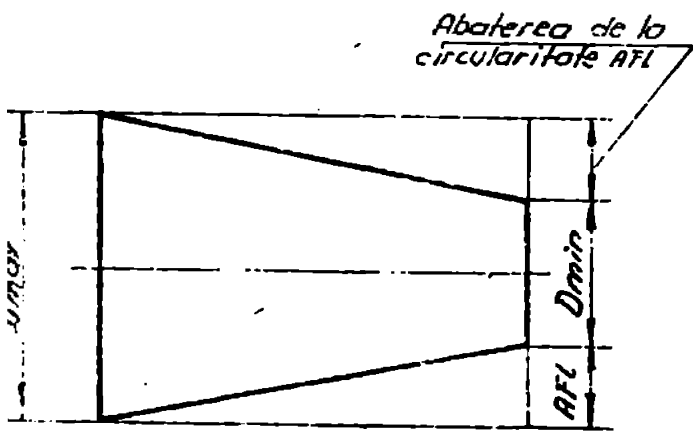
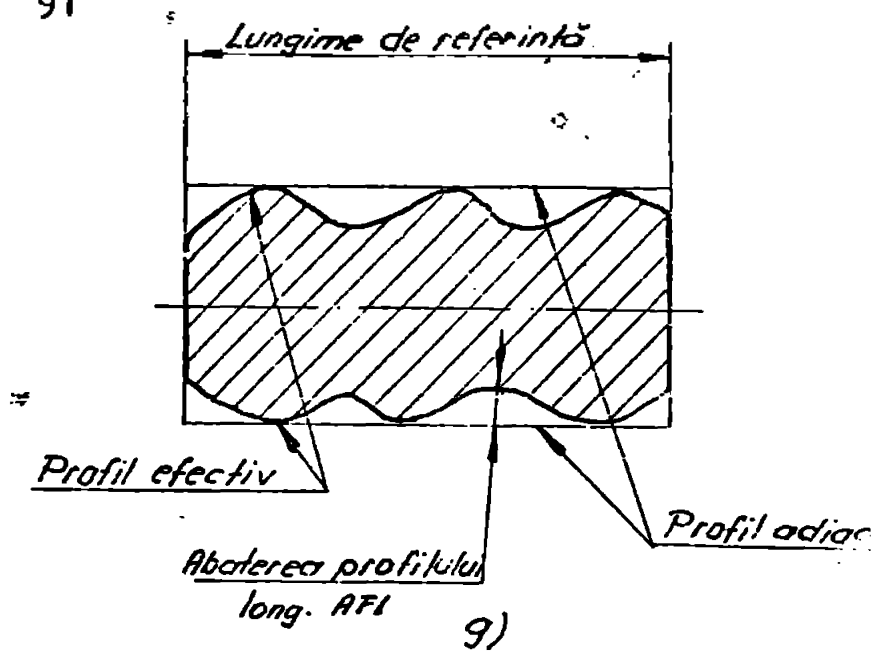
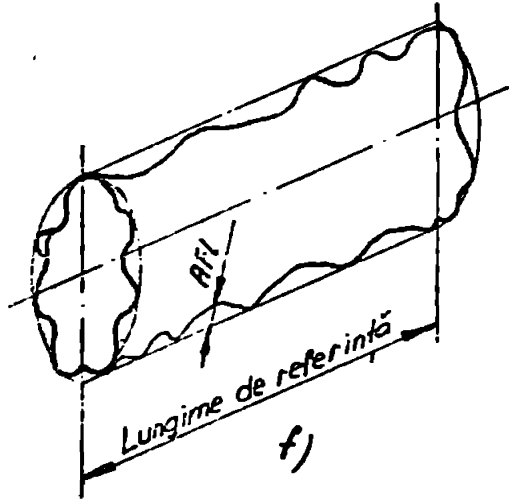
Pentru suprafețele cilindrice, precizia formei geometrice se definește și se tolerează în STAS 7384-66. Astfel se analizează forma geometrică a cilindrului examinînd suprafața lui, sau se analizează profilul obținut prin secționarea suprafeței cilindrului. Cele două analize conduc la abaterile de formă a suprafeței, respectiv a profilului.

Toleranțele pentru abaterile de formă ale profilului sînt prevăzute în STAS 7391/2-74, iar toleranțele pentru abaterile de formă ale suprafețelor cilindrice sînt date în STAS 7384-66. Abaterile de la circularitatea  $A_{fc}$  reprezintă distanța maximă dintre profilul efectiv și cercul adiacent, cu toleranța la circularitate  $T_{fc}$  conform figurii IV.5.

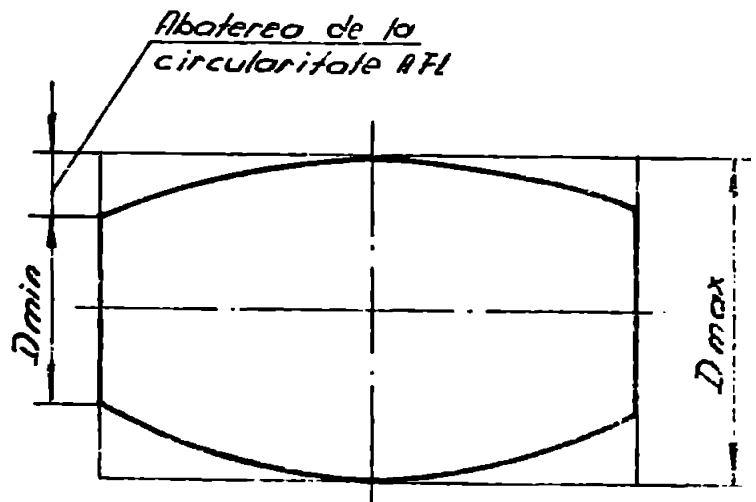
Abaterile de la cilindricitate  $A_{fl}$  se definește ca distanța maximă dintre suprafața efectivă și cilindrul adiacent, în limitele lungimii de referință, cu toleranța la cilindricitate  $T_{fl}$ .

Abaterile de formă definite mai sus sînt consecințe ale impreciziei sistemului elastic mașină unealtă-scuplă-pie-să.

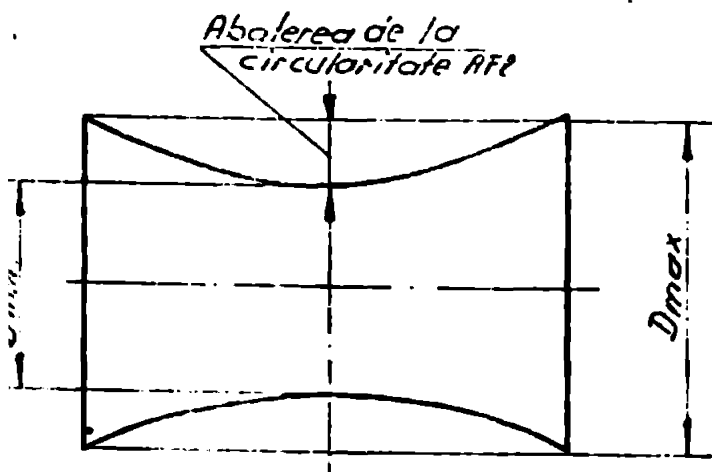
Abaterea de la circularitate



Conicitate =  $D_{max} - D_{min} = 2AFL$   
h)



Forma butoi =  $D_{max} - D_{min} = 2AFL$   
i)



Forma sa =  $D_{max} - D_{min} = 2AFL$   
j)

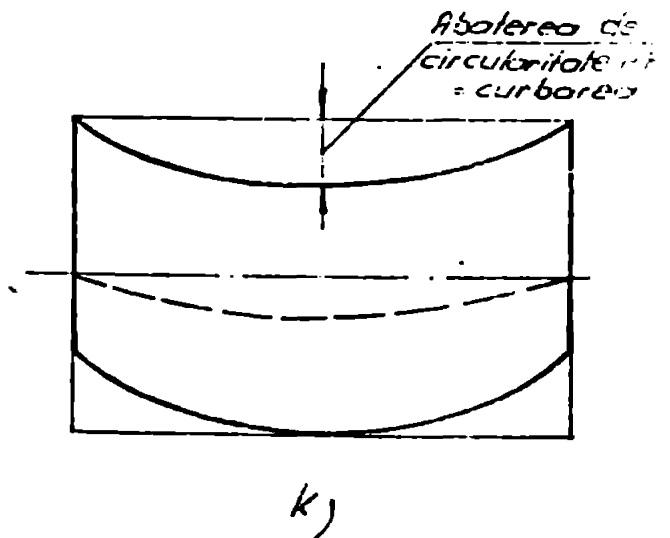


Fig IV. 5

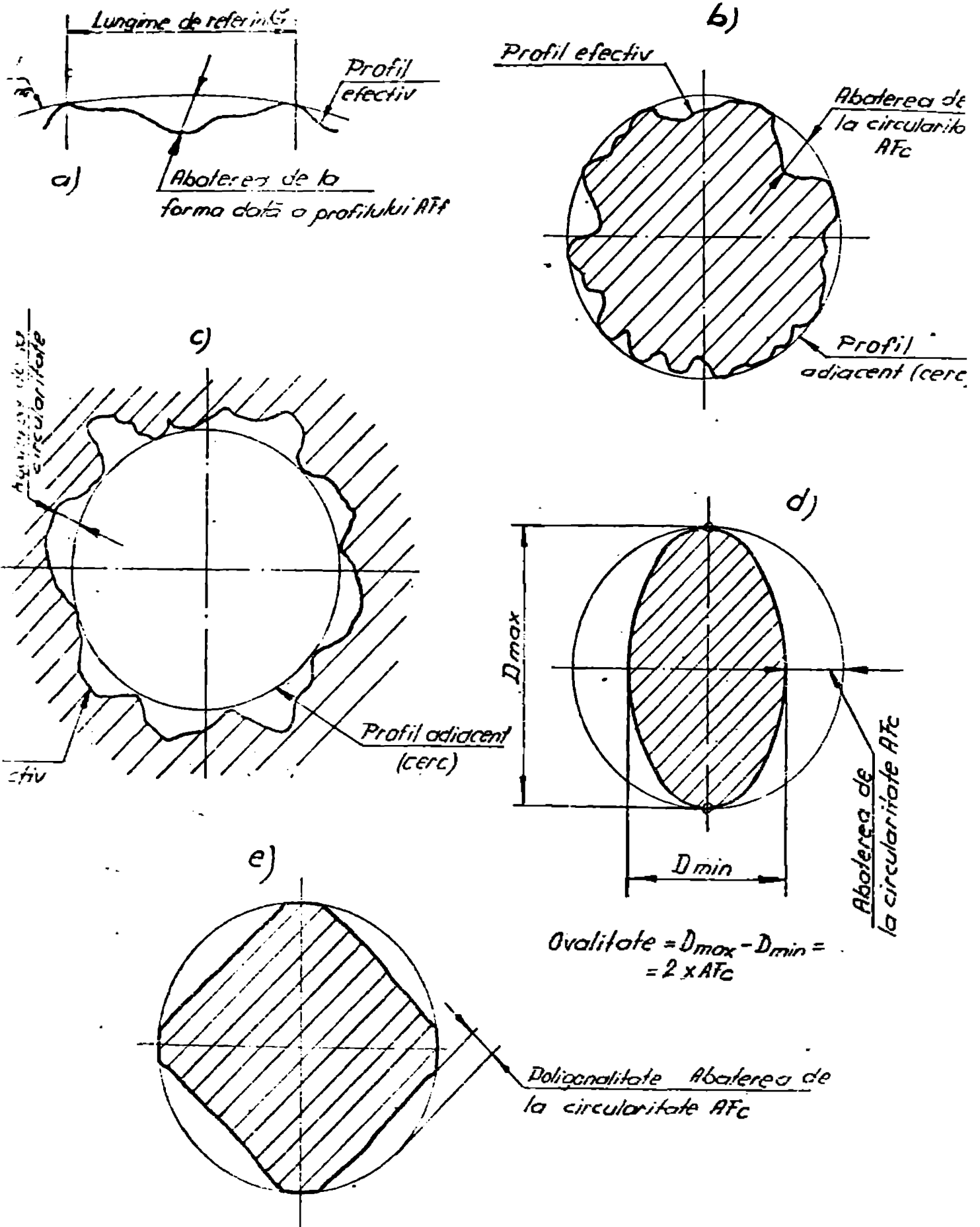


Fig. IV. 5

În ipoteza alezajului cuplei cilindrice executat la cota nominală se pot calcula abaterile de poziții pentru cupla cilindrică respectivă. Datorită abaterilor arborelui, enumerate mai sus, precum și a forțelor de reacțiune din cuplă, poziția arborelui va fi modificată, deplasarea acestuia fiind exprimată cu ajutorul a șase parametri de poziție, corespunzător celor trei translații și trei rotații posibile în cazul general.

În diferite situații ale abaterilor arborelui, cupla cilindrică a fost studiată și pentru unele cazuri, rezolvată problema abaterilor. De aceea, în continuare se va aborda cupla superioară, care în general introduce abateri mai mici, uneori neglijabile, dar care însă pot fi considerabile mai ales când mecanismul cu camă funcționează în regim dinamic intens.

#### IV.5. Determinarea abaterilor în cupla superioară camă-rolă

Pentru studiul contactului real dintre camă și rolă se va considera ca reper de bază sistemul legat solidar de camă, a cărei suprafață plană va fi una din planele de coordonate (Fig. IV.6).

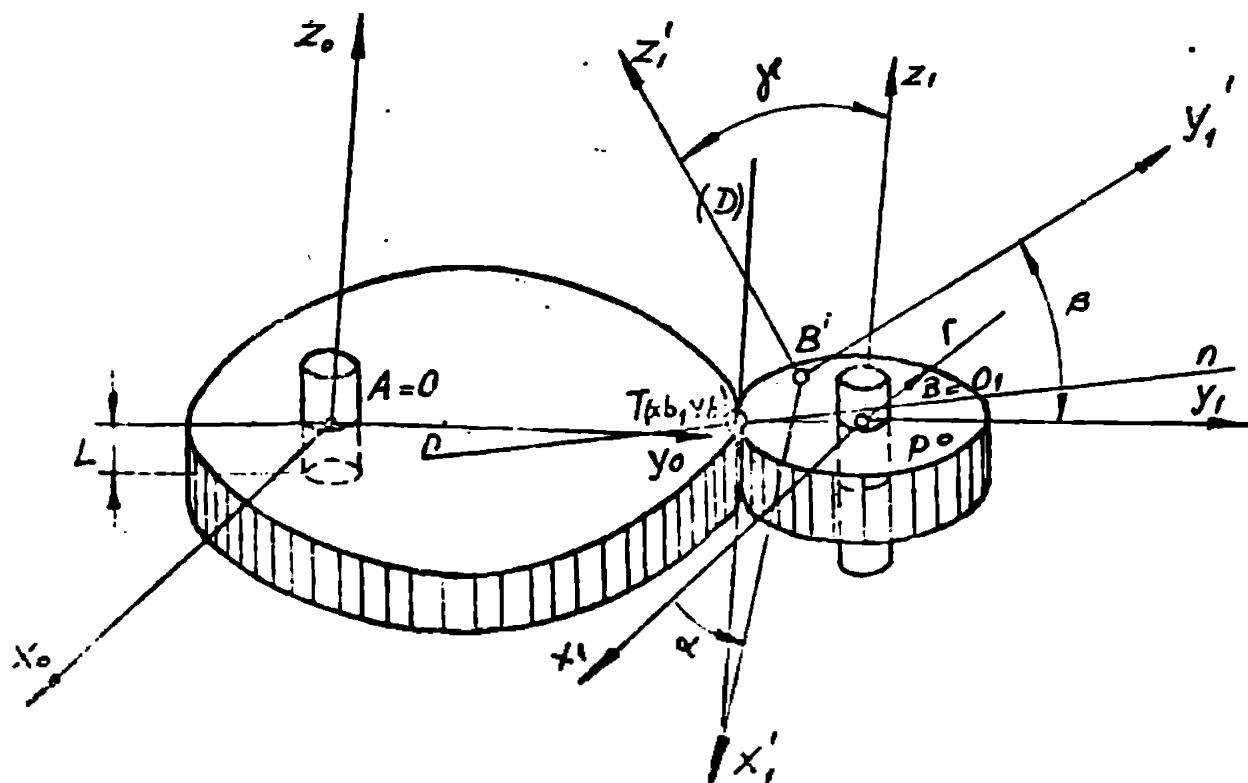


Fig. IV. 6

Se vor considera cele două suprafețe cilindrice, ale camei și rolei, tangente după dreapta generatoare comună a lor (D) de ecuație (IV.32) în sistemul de referință ales :

$$(IV.32) \quad x = x_0 \quad ; \quad y = y_0$$

Datorită impreciziunilor enunțate mai sus cele două suprafețe cilindrice vor avea poziții relative diferite de cele ideale.

Se vor analiza în cupla superioară următoarele abateri :

- a) abaterile dimensionale ale camei și rolei
- b) abaterile de la circularitate-ovalitatea
- c) abaterea de la circularitate-ovalitatea și abaterea de la cilindricitate-conicitatea
- d) abaterea de la circularitate-ovalitatea și abaterea de la cilindricitate-forma de șa.

Aceste cazuri pot reprezenta, prin diferite particularizări, majoritatea cazurilor întâlnite în practică.

În cazul ideal, un punct P al rolei, de coordonate  $x_1, y_1, z_1$ , se exprimă față de reperul  $x_0, y_0, z_0$  cu relația (IV.33) :

$$(IV.33) \quad \begin{Bmatrix} x_0 \\ y_0 \\ z_0 \end{Bmatrix} = \begin{Bmatrix} x_1 \\ y_1 \\ z_1 \end{Bmatrix} + \|\alpha SR\| \begin{Bmatrix} x_1 \\ y_1 \\ z_1 \end{Bmatrix}$$

În cazul real, datorită abaterilor mai sus enumerate, poziția punctului P va fi diferită, reperul legat de rolă va fi deplasat cu  $\Delta x, \Delta y, \Delta z$  și rotit cu unghiurile  $\alpha, \beta, \gamma$  față de axele de coordonate  $Ox, Oy$  și  $Oz$ . Translația cu cei trei parametri se exprimă cu relația (IV.34) :

$$(IV.34) \quad \begin{Bmatrix} x'_0 \\ y'_0 \\ z'_0 \end{Bmatrix} = \begin{Bmatrix} x_1 + \Delta x \\ y_1 + \Delta y \\ z_1 + \Delta z \end{Bmatrix} + \|\alpha SR\| \begin{Bmatrix} x_1 \\ y_1 \\ z_1 \end{Bmatrix}$$

Iar matricile de rotații sînt după cum urmează (IV.35) :

$$\|R_1\| = \begin{bmatrix} 1 & 0 & 0 \\ 0 & \cos \alpha & \sin \alpha \\ 0 & -\sin \alpha & \cos \alpha \end{bmatrix}; \quad \|R_2\| = \begin{bmatrix} \cos \beta & 0 & -\sin \beta \\ 0 & 1 & 0 \\ \sin \beta & 0 & \cos \beta \end{bmatrix}$$

(IV.35)

$$\|R_3\| = \begin{bmatrix} \cos \gamma & \sin \gamma & 0 \\ -\sin \gamma & \cos \gamma & 0 \\ 0 & 0 & 1 \end{bmatrix}$$

unde rotația după axa  $O_1 x_1$ , efectuată cu un unghi  $\alpha$  are matricea  $\|R_1\|$ , după  $O_1 y_1$  cu unghiul  $\beta$  de matricea  $\|R_2\|$  și după  $O_1 z_1$  cu unghiul  $\gamma$ , dat de matricea  $\|R_3\|$ .

Matricea elementară de rotație finală este dată de produsul celor trei matrici din relația (IV.35) și rezultă (IV.36) :

$$(IV.36) \quad \|R\| = \|R_1\| \cdot \|R_2\| \cdot \|R_3\| =$$

$$= \begin{bmatrix} \cos \beta \cos \gamma & \cos \beta \sin \gamma & -\sin \beta \\ \sin \alpha \sin \beta \cos \gamma - \cos \alpha \sin \gamma & \sin \alpha \sin \beta \sin \gamma + \cos \alpha \cos \gamma & \sin \alpha \sin \beta \\ \cos \alpha \sin \beta \cos \gamma + \sin \alpha \sin \gamma & \cos \alpha \sin \beta \sin \gamma - \sin \alpha \cos \gamma & \cos \alpha \cos \beta \end{bmatrix}$$

După rotație coordonatele punctului P se vor exprima cu ajutorul relației (IV.37) :

$$(IV.37) \quad \begin{Bmatrix} x'_0 \\ y'_0 \\ z'_0 \end{Bmatrix} = \begin{Bmatrix} x_B + \Delta x \\ y_B + \Delta y \\ z_B + \Delta z \end{Bmatrix} + \|R\|^T \|Lsr\| \begin{Bmatrix} x_1 \\ y_1 \\ z_1 \end{Bmatrix}$$

În relația (IV.37), cu  $\|R\|^T$  s-a notat transpusa matricii de rotație totală  $\|R\|$ . Dacă se aleg două puncte ale rolei de pe generatoare, se poate scrie ecuația generatoarei în cazul când cupla este afectată de abateri.

a) Cazul abaterilor dimensionale ale canei și rolei

Suprafețele exterioare ale canei și rolei reprezintă două suprafețe cilindrice tangente de-a lungul unei generatoare comune. Ecuațiile celor două suprafețe cilindrice în sistemul de referință de bază sînt (IV.38) :

$$(IV.38) \quad F(x, y) = 0$$

$$x^2 + y^2 - 2(x_0 + r_x)x - 2(y_0 + r_y)y + x_0^2 + y_0^2 + r^2 + 2r(x_0 + y_0) = 0$$

Abaterile dimensionale ale canei și rolei vor influența pozițiile celor două suprafețe cilindrice. Astfel, dacă cana are abaterile dimensionale  $\Delta x_0$  și  $\Delta y_0$  în punctul de tangență T, iar rola abateră de la dimensiunea  $\Delta r$ , ecua-

țiile celor două suprafețe cilindrice vor fi date de relațiile (IV.39) :

$$F(x+\Delta x_0, y+\Delta y_0) = 0$$

$$(IV.39) \quad x'^2 + y'^2 - 2(x_0 + \Delta x_0 + r_x + \Delta r_x)x' - 2(y_0 + \Delta y_0 + r_y + \Delta r_y)y' + (x_0 + \Delta x_0)^2 + (y_0 + \Delta y_0)^2 + (r + \Delta r)^2 + 2(r + \Delta r)(x_0 + \Delta x_0 + y_0 + \Delta y_0) = 0$$

După cum se observă din relația de mai sus, cele două suprafețe cilindrice își modifică pozițiile, dar generatoarea rămâne paralelă cu axa Oz, ceea ce semnifică deplasarea suprafețelor cilindrice prin translație după cele trei axe și rotație numai după O. z. . Deoarece în cazul rolei o astfel de rotație nu influențează funcționarea mecanismului, iar în cazul camei s-a admis rotația nulă, rezultă că se pot aprecia deplasările suprafețelor cilindrice ca fiind translații pure, deci  $\alpha = \beta = \gamma = 0$ . Coordonatele centrului rolei se pot exprima cu relațiile (IV.40):

$$(IV.40) \quad \begin{aligned} x'_0 &= x_0 + \Delta x_0 + \Delta r_x \\ y'_0 &= y_0 + \Delta y_0 + \Delta r_y \end{aligned} \quad \text{cu } \Delta r = \sqrt{\Delta r_x^2 + \Delta r_y^2}$$

Din cele expuse rezultă că abaterile dimensionale în cazul cuplei superioare conduc la erori de translație, modificând poziția centrului rolei conform relației (IV.40). Acestea, în cazul valorilor mari ale abaterii pot fi acoperitoare și pentru celelalte tipuri de abateri.

În calculele de mai sus s-au presupus abaterile dimensionale oceleași pe toată suprafața cilindrului, nealterând caracterul suprafețelor. Dacă valorile abaterilor dimensionale ar fi funcții de cota z, contactul cuplei superioare nu s-ar realiza prin doi cilindri, ci alte suprafețe, ale căror ecuații ar trebui să surprindă tocmai această dependență de cota z. Deoarece în cazul mecanismelor cu came plane grosimile elementelor sînt mici, se pot considera fără riscuri deosebite că suprafețele de contact rămîn cilindrice.

b) Cazul abaterilor de la circularitate-ovalitatea

Respectînd ipotezele enunțate la începutul acestui capitol se va considera suprafața rolei ca a unui cilindru elip-



tie, iar caua, ca în cazul precedent, suprafață cilindrică de referință. Se obțin astfel ecuațiile (IV.41) :

$$\begin{aligned}
 & F(x, y) = 0 \\
 (\text{IV.41}) \quad & a_{11}x^2 + 2a_{12}xy + a_{22}y^2 + 2a_{13}x + 2a_{23}y + a_{33} = 0 \\
 & \text{cu } \delta = \begin{vmatrix} a_{11} & a_{12} \\ a_{12} & a_{22} \end{vmatrix} > 0
 \end{aligned}$$

Cele două suprafețe cilindrice sînt tangente în tot timpul mișcării, deci punctul de tangență  $T(x_b, y_b)$  (fig. IV.7) verifică ecuațiile de la (IV.41), iar planele tangente scrise pentru cele două suprafețe cilindrice în punctul  $T$  coincid. Deoarece cilindrii au generatoarele paralele cu axa  $Oz$ , iar planul tangent este de asemenea paralel cu  $Oz$ , rezultă că studiul acestor suprafețe se poate face în planul  $xOy$ , prin intersecțiile acestor suprafețe cu planul de coordonate  $xOy$ .

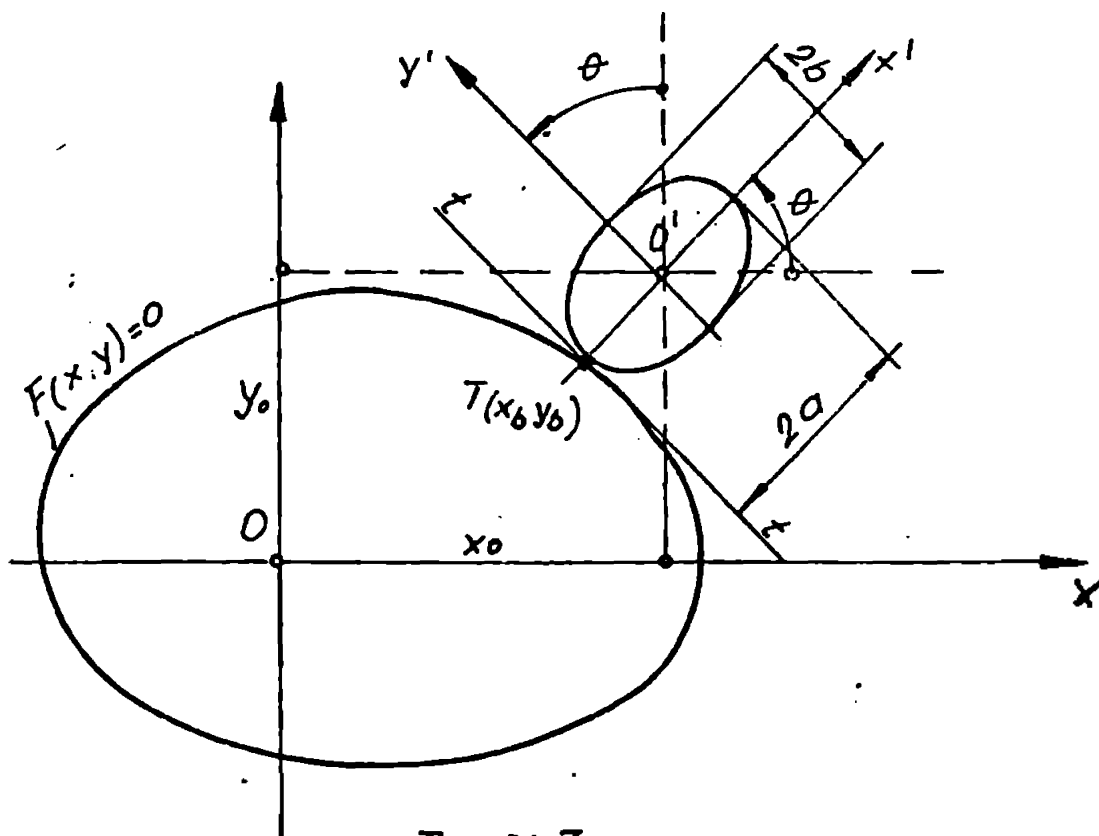


Fig. IV.7

În sistemul de referință  $x'O'y'$ , ecuația celei este (IV.42) :

$$(\text{IV.42}) \quad \frac{x'^2}{a^2} + \frac{y'^2}{b^2} = 1; \quad a = r_{\max}; \quad b = r_{\min}$$

În sistemul de referință  $xOy$  ecuația celei se obține prin transformarea (IV.43) :

$$(IV.43) \quad \begin{Bmatrix} x \\ y \end{Bmatrix} = \begin{Bmatrix} x_0 \\ y_0 \end{Bmatrix} + \begin{bmatrix} \cos \theta & -\sin \theta \\ \sin \theta & \cos \theta \end{bmatrix} \begin{Bmatrix} x' \\ y' \end{Bmatrix}$$

Înlocuind la stînga relația (IV.43) cu inversa matricii de rotație se obține (IV.44) :

$$(IV.44) \quad \begin{Bmatrix} x' \\ y' \end{Bmatrix} = \begin{bmatrix} \cos \theta & \sin \theta \\ -\sin \theta & \cos \theta \end{bmatrix} \begin{Bmatrix} x - x_0 \\ y - y_0 \end{Bmatrix}$$

unde s-a calculat :

$$\begin{bmatrix} \cos \theta & -\sin \theta \\ \sin \theta & \cos \theta \end{bmatrix}^{-1} = \begin{bmatrix} \cos \theta & \sin \theta \\ -\sin \theta & \cos \theta \end{bmatrix}$$

Înlocuind relația (IV.44) în relația (IV.42) și efectuând calculele se obține ecuația circumferinței rolei în sistemul  $xOy$  (IV.45):

$$(IV.45) \quad \begin{aligned} & x^2(b^2 \cos^2 \theta + a^2 \sin^2 \theta) + 2xy(b^2 - a^2) \sin \theta \cos \theta + \\ & + y^2(b^2 \sin^2 \theta + a^2 \cos^2 \theta) + 2x[a^2 \sin \theta (y_0 \cos \theta - x_0 \sin \theta) - \\ & - b^2 \cos \theta (x_0 \cos \theta + y_0 \sin \theta)] + 2y[a^2 \cos \theta (x_0 \sin \theta - y_0 \cos \theta) - \\ & - b^2 \sin \theta (x_0 \cos \theta + y_0 \sin \theta)] + b^2(x_0 \cos \theta + y_0 \sin \theta)^2 + \\ & + a^2(x_0 \sin \theta - y_0 \cos \theta)^2 - a^2 b^2 = 0 \end{aligned}$$

$$\text{cu } \Delta = \begin{vmatrix} b^2 \cos^2 \theta + a^2 \sin^2 \theta & (b^2 - a^2) \sin \theta \cos \theta \\ (b^2 - a^2) \sin \theta \cos \theta & b^2 \sin^2 \theta + a^2 \cos^2 \theta \end{vmatrix} = a^2 b^2 > 0$$

Ecuația planului tangent la curba și rolă ( în plan a tangentei) ce trece prin punctul  $T(x_0, y_0)$  se scrie (IV.46):

$$(IV.46) \quad \begin{aligned} & (x - x_0) \frac{\partial F}{\partial x} + (y - y_0) \frac{\partial F}{\partial y} = 0 \\ & (x - x_0) \frac{\partial f}{\partial x} + (y - y_0) \frac{\partial f}{\partial y} = 0 \end{aligned}$$

unde cu  $f(x, y) = 0$  s-a notat ecuația (IV.45) a rolei. Deoarece cele două plane tangente sînt confundate, rezultă relația (IV.47) :

$$x_0(b^2 \cos^2 \theta + a^2 \sin^2 \theta) + y_0(b^2 - a^2) \sin \theta \cos \theta + [a^2 \sin \theta (y_0 \cos \theta - x_0 \sin \theta) - b^2 \cos \theta (x_0 \cos \theta + y_0 \sin \theta)] = \frac{1}{2} \frac{\partial F}{\partial x}$$

$$(IV.47) \quad x_0(b^2 \sin^2 \theta + a^2 \cos^2 \theta) + x_b(b^2 - a^2) \sin \theta \cos \theta + [a^2 \cos \theta (x_0 \sin \theta - y_0 \cos \theta) - b^2 \sin \theta (x_0 \cos \theta + y_0 \sin \theta)] = \frac{1}{2} \frac{\partial F}{\partial y}$$

Sistemul (IV.47) se rezolvă în raport cu necunoscutele  $x_0$ ,  $y_0$ , rezultând soluția (IV.48):

$$(IV.48) \quad \begin{aligned} x_0 &= x_b + \frac{1}{2a^2b^2} \left[ \frac{\partial F}{\partial y} (b^2 - a^2) \sin \theta \cos \theta - \frac{\partial F}{\partial x} (b^2 \sin^2 \theta + a^2 \cos^2 \theta) \right] \\ y_0 &= y_b + \frac{1}{2a^2b^2} \left[ \frac{\partial F}{\partial x} (b^2 - a^2) \sin \theta \cos \theta - \frac{\partial F}{\partial y} (b^2 \cos^2 \theta + a^2 \sin^2 \theta) \right] \end{aligned}$$

Relațiile (IV.48) poziționează axa rolei în orice moment al mișcării și în orice punct de contact dintre camă și rola. În funcție de unghiul de rotație  $\theta$  al rolei față de camă vor exista puncte de extremă pentru  $x_0$  și  $y_0$ , astfel relațiile (IV.49):

$$(IV.49) \quad \frac{dx_0}{d\theta} = 0 \quad ; \quad \frac{dy_0}{d\theta} = 0$$

conduc la expresiile (IV.50):

$$(IV.50) \quad \tan 2\theta = \frac{\partial F}{\partial y} \cdot \frac{1}{\frac{\partial F}{\partial x}} \quad ; \quad \tan 2\theta = \frac{\partial F}{\partial x} \cdot \frac{1}{\frac{\partial F}{\partial y}}$$

Relațiile (IV.50) exprimă valorile unghiului de rotație a rolei pentru care axa rolei ocupă poziții extreme. Se observă că cele două direcții sînt ortogonale.

Relațiile (IV.48) care dau poziția axului rolei în ipoteza abaterii de la circularitate-ovalitatea permit determinarea erorii pozitionale a centrului rolei prin diferența cu valorile date de ecuațiile profilului teoretic.

Se observă de asemenea că abaterea de la circularitate-ovalitatea nu rețeste axa rolei față de planul camii, deci eroarea pozițională poate fi asimilată cu o translație în planul mecanicului.

c) Cazul abaterii de la circularitate-ovalitatea și abaterii de la cilindricitate-conicitatea

În acest caz suprafața rolei este conică, avînd vârful  $V$  de coordonate  $0,0,v$ , iar curba directoare este o elipsă de ecuație (IV.51) în sistemul mobil  $x''O''y''$

$$(IV.51) \quad \frac{x'^2}{a^2} + \frac{y'^2}{b^2} - 1 = 0; \quad z'' = 0$$

Dacă notăm raza mare a rolei cu  $R$  și raza mică cu  $r$ , grosimea rolei cu  $L$ , ecuația generatoarei conului în sistemul de referință  $x''O''y''z''$  este (IV.52):

$$(IV.52) \quad Z'(r-R) = Ly - LR$$

iar coordonatele vârfului  $V$  sînt:  $x'_v = 0$ ;  $y'_v = 0$ ;  $z = v = \frac{LR}{R-r}$

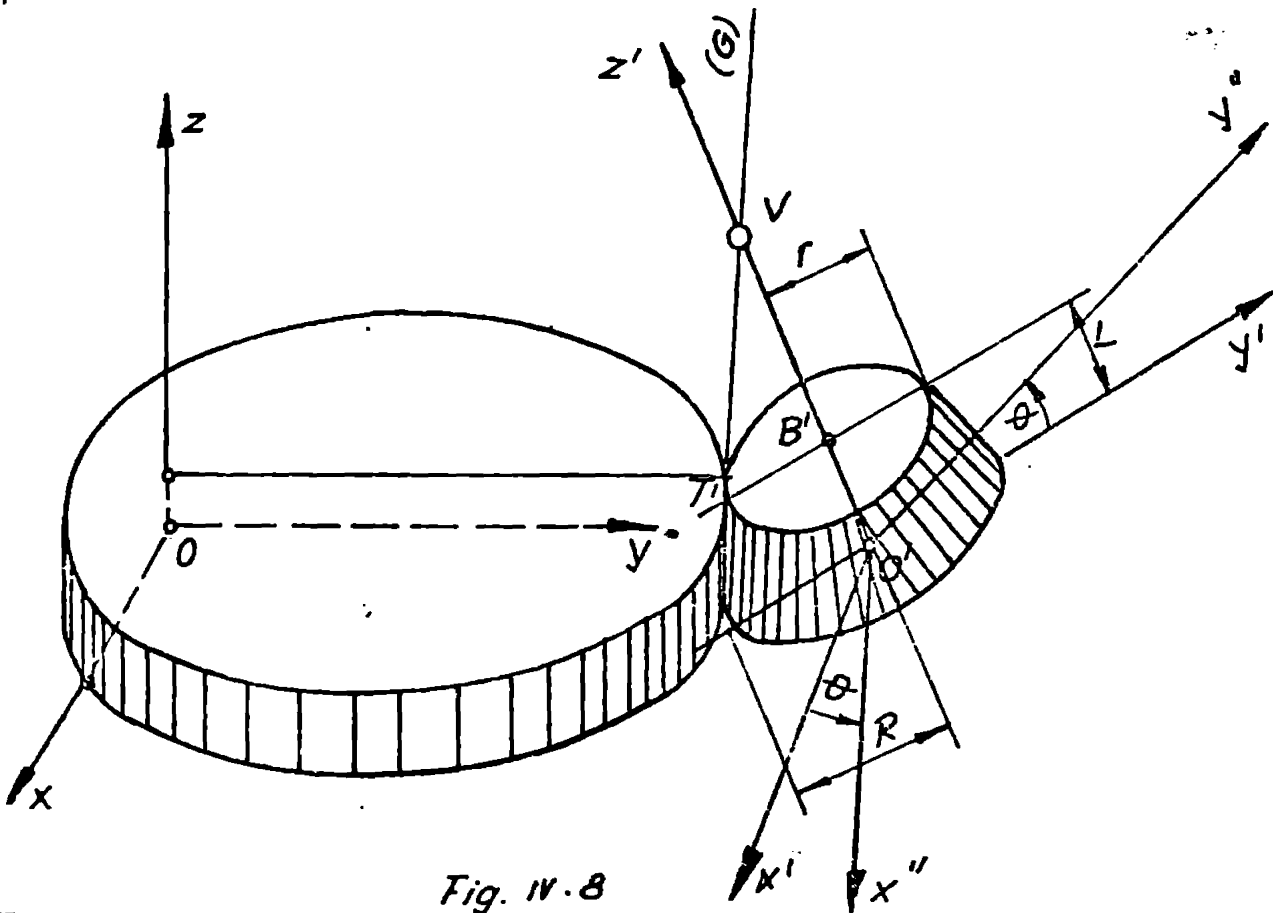


Fig. IV.8

În ecuația (IV.51) s-au făcut următoarele notații :

$$R_{max} = a \text{ și } R_{min} = b$$

În sistemul de referință  $x''O''y''z''$  ecuația generatoarelor suprafeței conice este dată de relațiile (IV.53) :

$$(IV.53) \quad \begin{aligned} x'' &= \lambda(z'' - v) \\ y'' &= \mu(z'' - v) \end{aligned}$$

Eliminând  $x''$ ,  $y''$ , și  $z''$  din ecuațiile (IV.51) și (IV.53) rezultă următoarea relație de compatibilitate (IV.54) :

$$(IV.54) \quad \frac{\lambda^2 v^2}{a^2} + \frac{\mu^2 v^2}{b^2} - 1 = 0$$

Se elimină între relațiile (IV.53) și (IV.54) parametrii și rezultând (IV.55), ecuația suprafeței conice a rolei în sistemul de referință  $x''O'y'z''$ :

$$(IV.55) \quad b^2 v^2 x''^2 + a^2 v^2 y''^2 - a^2 b^2 z''^2 + 2a^2 b^2 v z'' - a^2 b^2 v^2 = 0$$

Pentru a scrie ecuația suprafeței conice a rolei în sistemul de referință de bază,  $xOyz$ , se face următoarea transformare de axe (IV.56):

$$(IV.56) \quad \begin{Bmatrix} x \\ y \\ z \end{Bmatrix} = \begin{Bmatrix} x_0 \\ y_0 \\ z_0 \end{Bmatrix} + \begin{bmatrix} 1 & 0 & 0 \\ 0 & \cos \alpha & -\sin \alpha \\ 0 & \sin \alpha & \cos \alpha \end{bmatrix} \begin{bmatrix} \cos \theta & -\sin \theta & 0 \\ \sin \theta & \cos \theta & 0 \\ 0 & 0 & 1 \end{bmatrix} \begin{Bmatrix} x' \\ y' \\ z' \end{Bmatrix}$$

unde  $\theta$  surprinde rotația în jurul axei proprii a rolei, iar unghiul  $\alpha$  dat de relația (IV.56')

$$(IV.56') \quad \operatorname{tg} \alpha = R/v$$

representând rotația rolei în jurul axei  $Ox'$  pentru a rămâne tangentă pe generatoarea comună  $TT'$  cu suprafața cilindrică a camei. Efectuând calculele, din relația (IV.56) rezultă expresiile (IV.57) ale coordonatelor punctelor de pe suprafața conică în sistemul de referință  $xOyz$ :

$$(IV.57) \quad \begin{aligned} x'' &= (x-x_0) \cos \theta + (y-y_0) \sin \theta \cos \alpha + (z-z_0) \sin \theta \sin \alpha \\ y'' &= -(x-x_0) \sin \theta + (y-y_0) \cos \theta \cos \alpha + (z-z_0) \cos \theta \sin \alpha \\ z'' &= -(y-y_0) \sin \alpha + (z-z_0) \cos \alpha \end{aligned}$$

Relațiile (IV.57) înlocuite în ecuația (IV.55) exprimă suprafața conică a rolei în sistemul de referință  $xOyz$  (IV.58):

$$(IV.58) \quad A_1 x^2 + A_2 y^2 + A_3 z^2 + 2A_4 xy + 2A_5 xz + 2A_6 yz + 2A_7 x + 2A_8 y + 2A_9 z + A_{10} = 0$$

unde s-au făcut următoarele notații (IV.59):

$$\begin{aligned} A_1 &= v^2 (b^2 \cos^2 \theta + a^2 \sin^2 \theta) \\ A_2 &= v^2 (b^2 \sin^2 \theta + a^2 \cos^2 \theta) \cos^2 \alpha - a^2 b^2 \sin^2 \alpha \\ A_3 &= v^2 (b^2 \sin^2 \theta + a^2 \cos^2 \theta) \sin^2 \alpha - a^2 b^2 \cos^2 \alpha \\ A_4 &= v^2 (b^2 - a^2) \sin \theta \cos \theta \cos \alpha \end{aligned}$$

$$\begin{aligned}
 A_5 &= v^2(b^2 - a^2) \sin \theta \cos \theta \sin \alpha \\
 A_6 &= (b^2 v^2 \sin^2 \theta + a^2 v^2 \cos^2 \theta + a^2 b^2) \sin \alpha \cos \alpha \\
 \text{(IV.59)} \quad A_7 &= v^2 [(y_0 \cos \alpha + z_0 \sin \alpha)(a^2 - b^2) \sin \theta \cos \theta - x_0 (b^2 \cos^2 \theta + a^2 \sin^2 \theta)] \\
 A_8 &= v^2 [x_0 (a^2 - b^2) \sin \theta \cos \theta \cos \alpha - (y_0 \cos \alpha + z_0 \sin \alpha)(b^2 \sin^2 \theta + \\
 &\quad + a^2 \cos^2 \theta) \cos \alpha] + a^2 b^2 (y_0 \sin \alpha - z_0 \cos \alpha - v) \sin \alpha \\
 A_9 &= v^2 [x_0 (a^2 - b^2) \sin \theta \cos \theta \cos \alpha - (y_0 \cos \alpha + z_0 \sin \alpha)(b^2 \sin^2 \theta + a^2 \cos^2 \theta) \sin \alpha] + \\
 &\quad + a^2 b^2 (z_0 \cos \alpha - y_0 \sin \alpha + v) \cos \alpha \\
 A_{10} &= 2x_0 v^2 (b^2 - a^2) (y_0 \cos \alpha + z_0 \sin \alpha) \sin \theta \cos \theta + v^2 (y_0 \cos \alpha + z_0 \sin \alpha)^2 \cdot \\
 &\quad \cdot (b^2 \sin^2 \theta + a^2 \cos^2 \theta) + v^2 x_0 (b^2 \cos^2 \theta + a^2 \sin^2 \theta) + \\
 &\quad + a^2 b^2 [(y_0 \sin \alpha - z_0 \cos \alpha)(2v - y_0 \sin \alpha + z_0 \cos \alpha) - v^2]
 \end{aligned}$$

Suprafața cilindrică a cărei are ecuația (IV.38), iar planul tangent într-un punct oarecare T de coordonate  $x_0, y_0, z_0$  se scrie (IV.46), iar pentru con ecuația planului tangent este (IV.60) :

$$\text{(IV.60)} \quad (x - x_0) \frac{\partial f}{\partial x} + (y - y_0) \frac{\partial f}{\partial y} + z \frac{\partial f}{\partial z} = 0$$

unde cu  $f(x, y, z) = 0$  s-a notat ecuația (IV.58), iar cele trei derivate parțiale au expresiile date de relațiile (IV.61) :

$$\frac{\partial f}{\partial x} = 2A_1 x + 2A_4 y + 2A_5 z + 2A_7$$

$$\frac{\partial f}{\partial y} = 2A_2 y + 2A_4 x + 2A_6 z + 2A_8$$

$$\frac{\partial f}{\partial z} = 2A_3 z + 2A_5 x + 2A_6 y + 2A_9$$

Punând condiția ca cele două plane tangente să fie confundate, rezultă următorul sistem de ecuații (IV.62) :

$$A_1 x_0 + A_4 y_0 + A_5 z_0 + A_7 = \frac{1}{2} \frac{\partial f}{\partial x}$$

$$\text{(IV.62)} \quad A_2 y_0 + A_4 x_0 + A_6 z_0 + A_8 = \frac{1}{2} \frac{\partial f}{\partial y}$$

$$A_3 z_0 + A_5 x_0 + A_6 y_0 + A_9 = 0$$

Sistemul de ecuații (IV.62) permite determinarea poziției originii sistemului de referință mobil  $x''O''y''z''$  prin

coordonatele  $x_0, y_0, z_0$ , ca soluții ale sistemului. Avînd unghiul  $\alpha$  cunoscut, poate fi poziționată axa rolei spațiu și comparată poziția acesteia cu cea a mecanismului ideal.

d) Cazul abaterii de la circularitate-ovalitatea și abaterii de la cilindricitate-forma sa

Suprafața rolei în acest caz are forma unui hiperboloid cu o pînză (fig. IV.9), avînd una din generatoarele ce trec prin punctul  $T(x_0, y_0, z_0)$  confundată cu generatoarea cilindrului ce delimitază cama, respectiv planele tangente celor două suprafețe în punctul lor comun  $T$  sînt identice.

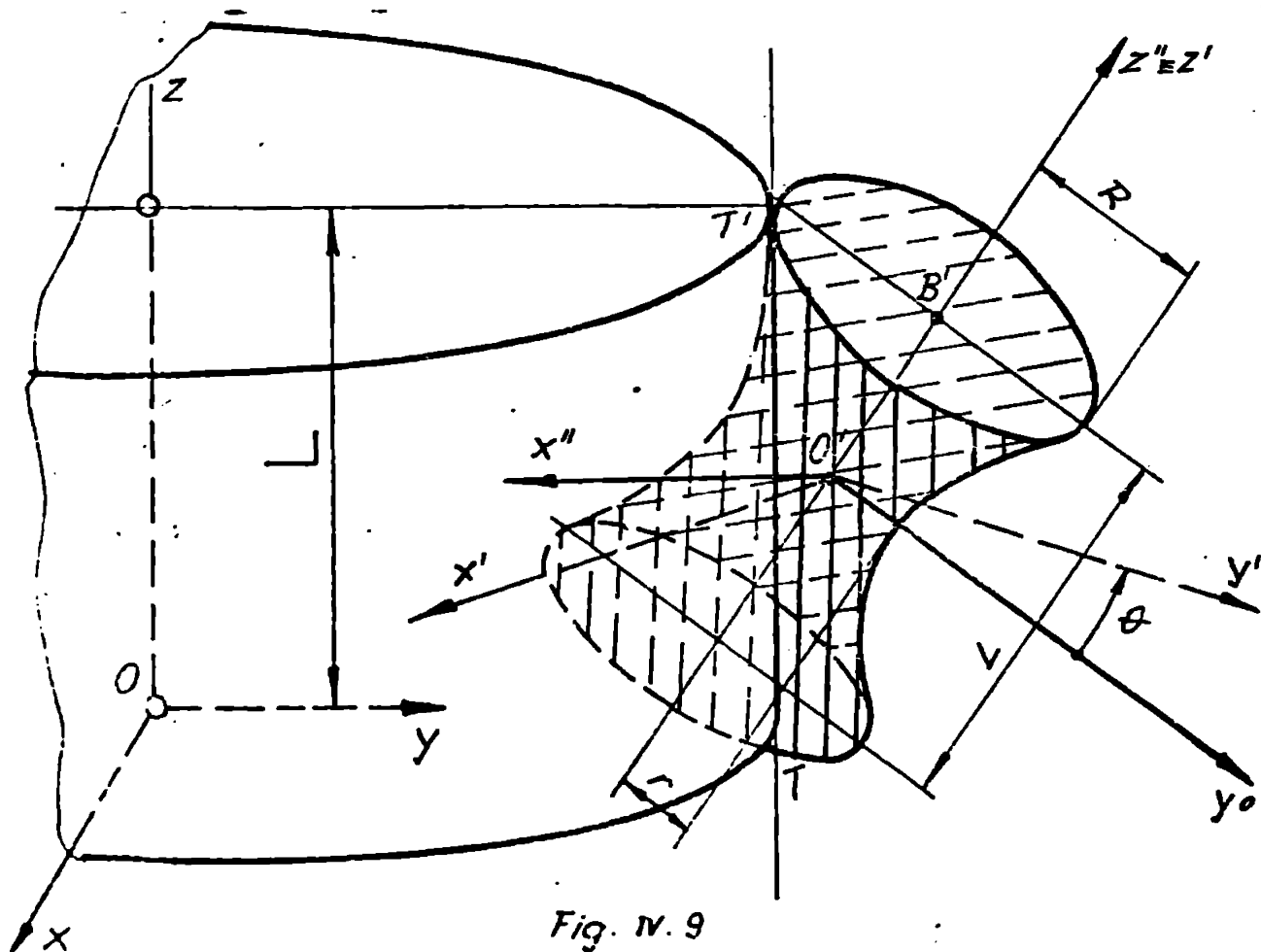


Fig. IV.9

Ecuația suprafeței rolei în sistemul de referință  $x''O''y''z''$  se poate obține ținînd cont că ea este generată de o elipsă mobilă ce se deplasează paralel cu ea însăși și se deformează, sprijinindu-se pe o hiperbolă (IV.65) :

$$\frac{x''^2}{a^2} + \frac{y''^2}{b^2} = \lambda$$

$$(IV.63) \quad \begin{aligned} z'' &= \mu \\ \frac{x''^2}{a^2} - \frac{z''^2}{c^2} - 1 &= 0 \\ y'' &= 0 \end{aligned}$$

unda cu  $a$ ,  $b$ ,  $c$  s-au notat mărimile:  $a = r_{max}$ ;  $b = r_{min}$ ;  $a^2 = \frac{L^2}{R^2 - 4a^2}$   
 Relația de compatibilitate este (IV.64) :

$$(IV.64) \quad \lambda - \frac{\mu^2}{c^2} - 1 = 0$$

se obține ecuația hiperboloidului cu o pînză eliminînd parametrii  $\lambda$  și  $\mu$  între relațiile (IV.63) :

$$(IV.65) \quad \begin{aligned} \frac{x''^2}{a^2} + \frac{y''^2}{b^2} &= \lambda \\ z'' &= \mu \\ \lambda - \frac{\mu^2}{c^2} - 1 &= 0 \end{aligned}$$

Ecuația (IV.65) reprezintă suprafața căutată, a hiperboloidului cu o pînză :

$$(IV.66) \quad \frac{x''^2}{a^2} + \frac{y''^2}{b^2} - \frac{z''^2}{c^2} - 1 = 0$$

Scrind în același sistem de referință  $x''O''y''z''$ , ecuațiile familiilor de generatoare rectilinii, se aleg dintre acestea cele care trec prin punctul  $T(x''_0, y''_0, z''_0)$ , date de relațiile (IV.67) :

$$(IV.67) \quad \begin{aligned} (G_1) \quad & \begin{cases} x''(b+y''_0)c - y''(cx''_0 + az''_0) + z''(b+y''_0)a - b(cx''_0 + az''_0) = 0 \\ x''(cx''_0 + az''_0)b^2c + y''(b+y''_0)a^2c^2 - z''(cx''_0 + az''_0)ab^2 - a^2b^2c^2(b+y''_0) = 0 \end{cases} \\ (G_2) \quad & \begin{cases} x''(b-y''_0)c + y''(cx''_0 + az''_0) + z''(b-y''_0)a - b(cx''_0 + az''_0) = 0 \\ x''(cx''_0 + az''_0)b^2c - y''(b-y''_0)a^2c^2 - z''(cx''_0 + az''_0)ab^2 - a^2b^2c^2(b-y''_0) = 0 \end{cases} \end{aligned}$$

Calculînd coordonății directori ai celor două generatoare se poate poziționa sistemul de referință mobil  $x''O''y''z''$  față de sistemul  $xOyz$ . Se vor nota cu  $\alpha_i$ ,  $\beta_i$  și  $\gamma_i$ , unghiurile de rotații corespunzătoare axelor  $Ox$ ,  $Oy$  și  $Oz$ , unde indicele  $i = 1, 2$ , după cum este vorba de generatoarea  $(G_1)$  sau  $(G_2)$ . La această deplasare se adaugă rotirea rolei în jurul axei  $O'z'$ , rotație caracterizată de unghiul  $\theta$ .

Eliminînd ecuația hiperboloidului cu o pînză în sistemul  $xOyz$ , se va utiliza transformarea ((IV.63):



$$(IV.68) \quad \begin{Bmatrix} X \\ Y \\ Z \end{Bmatrix} = \begin{Bmatrix} X_0 \\ Y_0 \\ Z_0 \end{Bmatrix} + \|R_1\|^2 \|R_3\|^2 \begin{Bmatrix} X' \\ Y' \\ Z' \end{Bmatrix}$$

cu notațiile (IV.69) :

$$\|R_1\| = \begin{bmatrix} \cos \beta_i \cos \gamma_i & \cos \beta_i \sin \gamma_i & -\sin \beta_i \\ \sin \alpha_i \sin \beta_i \cos \gamma_i - \cos \alpha_i \sin \gamma_i & \sin \alpha_i \sin \beta_i \sin \gamma_i + \cos \alpha_i \cos \gamma_i & \sin \alpha_i \cos \beta_i \\ \cos \alpha_i \sin \beta_i \cos \gamma_i + \sin \alpha_i \sin \gamma_i & \cos \alpha_i \sin \beta_i \sin \gamma_i - \sin \alpha_i \cos \gamma_i & \cos \alpha_i \cos \beta_i \end{bmatrix}$$

$$(IV.69) \quad \|R_3\| = \begin{bmatrix} \cos \theta & \sin \theta & 0 \\ \sin \theta & \cos \theta & 0 \\ 0 & 0 & 1 \end{bmatrix}$$

Din (IV.68) se obține relația (IV.70):

$$(IV.70) \quad \begin{Bmatrix} X' \\ Y' \\ Z' \end{Bmatrix} = \left( \|R_1\|^2 \cdot \|R_3\|^2 \right)^{-1} \begin{Bmatrix} X - X_0 \\ Y - Y_0 \\ Z - Z_0 \end{Bmatrix}$$

care înlocuită în relația (IV.66) dă ecuația hiperboloidului cu o pînză în sistemul de referință  $xOyz$ . Aceasta are forma (IV.58) dar desigur cu alți coeficienți. Punînd condiția ca planele tangente celor două suprafețe să fie confundate, se obține sistemul de ecuații algebrice de forma (IV.62) din care se pot determina coordonatele originii sistemului mobil, iar direcțiile  $\alpha_i$ ,  $\beta_i$  și  $\gamma_i$  cunoscute, precum și cu distanța  $L$  se poate poziționa axa rolei, respectiv punctul  $B'$ .

## V. CONTRIBUTII PRIVIND TEHNOLOGIA MECANISMELOR CU CAME PLANE

### V.1. Studiul materialelor pentru mecanismele cu came plane

Contactul mecanic realizat în cupla superioară are un caracter dinamic, cu influențe multiple, atât din punct de vedere al frecării, de alunecare sau rostogolire, cât și al factorilor externi aleatori ce apar în procesul funcționării. Desigur, alegerea materialului cuplei superioare este influențată de toți factorii fizico-mecanici și de mediu care ar putea caracteriza condițiile de lucru ale mecanismului cu camă respectiv. Factorii mai importanți ce determină condițiile dinamice ale cuplei cinematice sînt:

- presiunea de contact și variația ei ;
- natura frecării ce urmare a mișcării relative dintre corpuri (camă-tchet sau camă-rolă) ;
- viteza mișcării relative dintre corpuri ;
- proprietățile elastice ale materialelor ;
- mediu de lucru ;

Factorii ce țin de domeniul utilizării mecanismului din punct de vedere al mediului de lucru, precum și aspectele tribologice ce apar în funcționare, în general nu pot fi total separați de aspectele dinamice ale funcționării, existînd o interdependență între acestea. Se vor aminti următorii factori de mediu și tribologici ce influențează funcționarea în timp a mecanismelor cu came :

- durata funcționării mecanismului ;
- temperatura mediului și a zonei de contact ;
- acțiunea corozivă a mediului ;
- microgeometria zonei de contact ;
- proprietățile straturilor superficiale ale materialelor ;

Influențele mari ce provin din funcționarea unui mecanism cu camă plană în condiții dinamice, puse în evidență de

modurile dinamice prezentate în literatura de specialitate fac ca aceste aspecte ce țin de rigiditatea lanțului cinematic să reprezinte un element esențial în corelarea dimensiunilor elementelor și alegerea materialelor.

În funcție de aceste aspecte ce se urmăresc la proiectarea mecanismelor cu came, se vor analiza unele proprietăți fizico-chimico-mecanice ale materialelor. Desigur pentru alegerea materialelor există câteva criterii generale esențiale cuplurilor superioare, la care se pot adăuga aspecte particulare ce provin din condițiile de mediu și tehnologice. Deoarece scopul urmărit este mărirea rezistenței la uzare a mecanismului, trebuie îndeplinite câteva condiții de bază :

- conductivitate termică cât mai bună a materialelor ;
- comportare bună la frecare fără predispoziție la gripare sau alte forme de uzare distructivă ;
- rezistențe ridicate la efecte termice ;
- modul de elasticitate redus .

La toate aceste se adaugă și aspectele economice, ce țin de prețul de cost, eliminarea materialelor deficitare, etc.

Factorii care influențează uzarea depind de natura uzării mecanice, care după cum se știe poate fi uzare prin așezare, prin abraziune și prin oboseală. Din cauza complexității fenomenului de uzare apar simultan mai multe tipuri de uzare, eventual unul poate predomină.

Uzura de așezare este influențată în mare măsură de compoziția chimică, structura și duritatea materialelor în contact. Două metale vor avea o uzură de contact minimă dacă nu sînt solubile unul în altul, să nu formeze compuși intermetalici definiți și nici aliaje (de exemplu: Fe/Ag, Fe/Sn, Fe/Pb, Cu/Pb, Cu/Mo și chiar Cr/Cu și Cr/Ag ). Perechile care pot conduce la soluții solide constituie suprafețe de frecare necorespunzătoare (de exemplu : Fe/Cr, Fe/Cu, Fe/Ni, Cu/Ni, Cu/Al, Al/Ag ). Se recomandă, de asemenea, ca unul dintre metale să fie plasat în dreapta coloanei Ni-Pt a sistemului periodic al elementelor.

In funcție de raportul de acoperire  $A_1/A_2$  al suprafețelor în frecare este recomandată o structură mai moale pentru piesa cu suprafața mai mică, în cazul mecanismelor cu came, roți sau tchetului.

In general se recomandă ca suprafețele de frecare să fie confecționate din materiale diferite, deoarece între materialele identice apar mai ușor microsudurile în punctele de contact, chiar la sarcini mici. În unele cazuri practice dau rezultate bune cuplele superioare din oțel moale și fontă cenușie nealiată, datorită unei solubilități reciproce reduse a structurilor martensitice și fero-perlitice, la solicitări dinamice mici.

De asemenea, uzura de adeziune este influențată de vitezele relative ale corpurilor cuplei, astfel la oțelurile cu conținut de carbon de 0,1-0,45 %, intensitatea uzurii crește foarte mult la viteze mici (sub 0,5m/s), iar la viteze mari, de peste 20/s, intensitatea uzurii rămâne constantă.

Calitatea prelucrării suprafețelor (rugozitatea) reprezintă un factor important de care uzura adezivă depinde, dar care ține mai puțin de material.

Uzura abrazivă se produce mai ales în mecanismele care lucrează în mediu abraziv și nu sînt protejate corespunzător. Condiția necesară producerii uzurii abrazive este diferența de duritate, dar ea poate să apară și la o suprafață cu o duritate mai mare în urma frecării cu o suprafață mai moale dacă intervine transferul de metal.

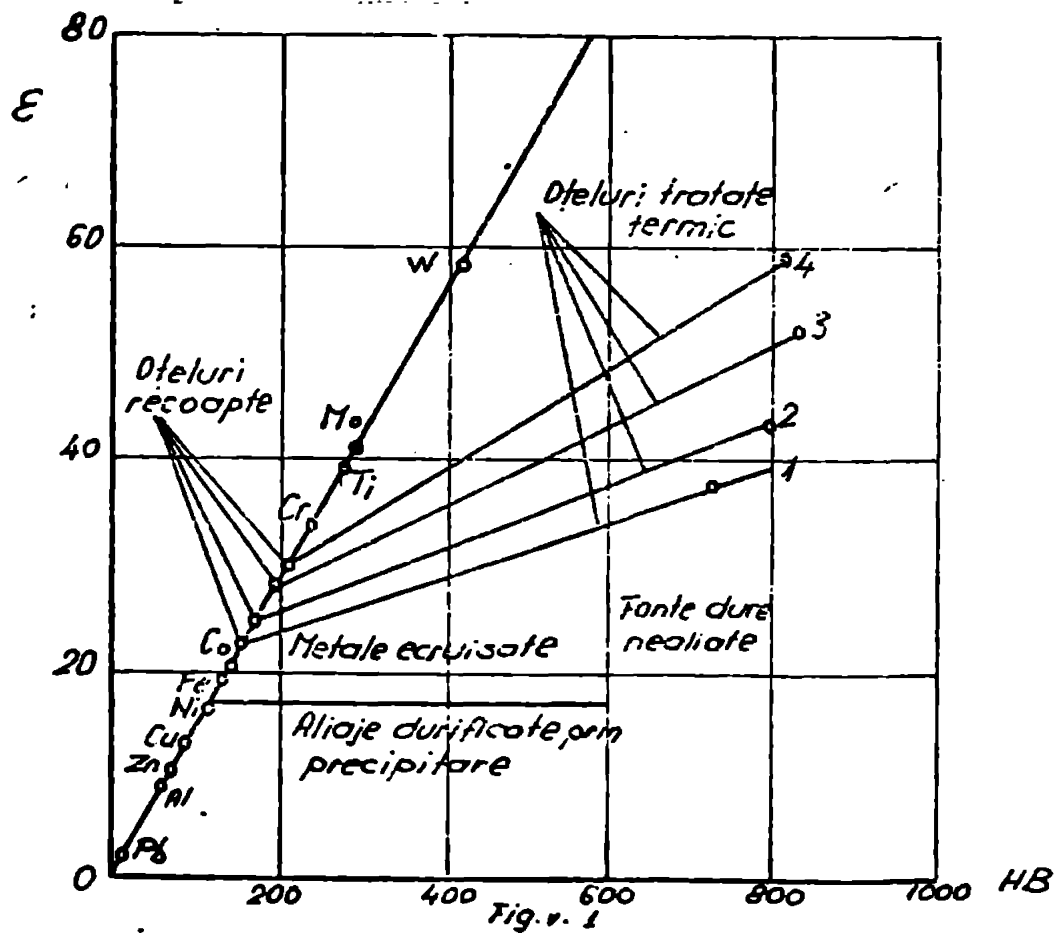
Într-o uzură abrazivă la frecare metal-mineral și duritatea metalelor există o relație liniară (Fig.V.1). Se observă influența compoziției și a tratamentului termic la oțeluri, a gradului de aliere, a felului tratamentului de durificare-ecruisare, etc., toate avînd acțiune favorabilă asupra rezistenței la uzura a cuplelor.

În diagramă s-a notat cu  $\lambda$  raportul dintre uzura liniară a metalului și aliajului respectiv și uzura liniară a aliajului etalon.

Conform datelor din literatură de specialitate, în unele cazuri de frecare metal-metal, rezistența la uzura

abrazivă este legată mai mult de deformarea elastică a materialului decât de duritatea lui, adică de raportul  $H/E$ , unde cu  $H$  s-a notat duritatea, iar cu  $E$  modulul de elasticitate. Acest raport poate deveni un criteriu a rezistenței la uzare abrazivă, aceasta fiind cu atât mai ridicată cu cât raportul  $H/E$  numit modul de uzare are o valoare mai mică (Tab. V.1).

La uzarea prin abraziune, sarcina exterioară are o acțiune preponderentă, conferindu-i un caracter foarte violent, însă doar o perioadă scurtă de timp, în cazul când apariția abrazivului se datorește unui accident și nu prezenței lui permanente în cantități noi, vehiculate între suprafețele în frecare.



Tab.V.1

Materialul metalic	Duritatea HB daN/mm	Modulul de elastici- tate E lo	Raportul HB/E	Rezistența Ka uzare abrazivă (calitativ)
Staniu	6	8,5	0,7	1
Plumb	4	2	2	2
Cupru	40	16	2,5	3
Oțel semidur	180	29	6	4
Fontă cenușie moale	150	15	10	5
Oțel dur	600	29	20	6
Fontă cenușie dură	500	15	33	7

Uzarea prin oboseală este cea mai răspândită formă de uzură a mecanismelor cu came și se produce în urma unor solicitări ciclice ale suprafețelor de contact, urmate de deformații plastice, tensiuni interne ale straturilor superficiale de material și în final de fisuri, ciupituri sau exfoliere.

În general, la căile de rulare a cuplelor superioare, în cazul materialelor cu  $HB \leq 350$  apare uzura prin ciupituri (Pitting), care poate fi evitată prin tratamente termice și termochimice, cât și prelucrarea suprafețelor prin rectificare rapidă, pe adâncime foarte mică (cca 0,025mm).

În cazul mecanismelor cu came cel mai răspândit mod de uzare prin oboseală este Spalling-ul (exfolierea) și care se manifestă prin desprinderea de pe suprafețele de frecare a unor particule de uzură sub forma unor solzi, uneori de mărime mare, dând uzura catastrofală, ca rezultat al oboselei substratului suprafeței de contact.

Factorul cel mai important care influențează uzarea prin oboseală a suprafețelor este natura materialelor, apoi sarcina exterioară, care va avea cu timpul influențe mai mari decât la început.

Mecanismele cu came care lucrează în condiții dinamice intense și la came apar fenomene de întreruperi ale continuității lanțului cinematic pot prezenta suprafețe cu uzură de

impact, care poate fi descompusă în uzare prin percuție și uzare prin eroziune. În general, uzarea de impact conține toate aspectele de bază ale uzurii ; de adeziune, de abraziune și oboseală, asociate și cu o uzare termică, eventual și chimică.

Alegera unui material ce va lucra în condiții de uzare trebuie să țină cont pe lângă toate aspectele amintite la începutul acestui paragraf, de faptul că el va lucra "în pereche", respectiv camă-rolă sau camă-tachet. De asemenea, existând numeroși factori care împiedică recomandarea unui material universal, uneori cu influențe contradictorii, se recomandă alegerea soluției optime prin încercări a unor perechi de materiale, urmărind comportarea lor în condiții de laborator.

La mecanismele cu came condițiile de funcționare variate pot da naștere diferitelor tipuri de uzuri, oricare putând fi preponderent. De aceea materialelor care se vor analiza li se vor preciza și domeniile de utilizare.

#### a) Oțelurile

Oțelurile carbon de construcție cu  $C \leq 0,4\%$  se pot folosi și sînt foarte economice, numai în cazul solicitărilor mari la uzură de adeziune și la uzare prin impact, datorită tenacității și deformabilității lor.

Oțelurile carbon cu conținut de carbon între  $0,4-0,6\%$  au o comportare bună la uzare și prezintă o bună tenacitate.

Conținutul de carbon mai ridicat, între  $1-1,3\%$ , ale oțelurilor dau rezultate bune la condiții mai severe de utilizare, în special cele care au o structură perlitică lamelară, fin dispersă (sorbita, troostita).

Desigur, proprietățile fizico-mecanice ale oțelurilor se pot considerabil îmbunătăți prin tratament termic sau termochimic. Ele vor fi prezentate în paragraful următor.

Dacă pentru funcționarea unui mecanism cu came se impun garanții în ceea ce privește siguranța răspunsului, alegerea oțelurilor se va face în funcție de eficiență și economicitate, în ordinea următoare :

- oțel carbon dur sau cîtredur, tratat termic;
- oțel cîtredur (carbon sau alab aliat) călit total

sau superficial ;

- oțel moale (carbon sau slab aliat), durificat superficial prin cementare, cianurare sau carbonitrurare ;

- oțel nitrurat ;

- oțel înalt aliat călit.

Pentru mecanismele cu came puternic solicitate în special la uzare prin alunecare și impact se recomandă oțelurile slab aliate cu Mn, Si, Cr, (concomitent) , însă acestea nu pot fi prelucrate prin ștanțare.

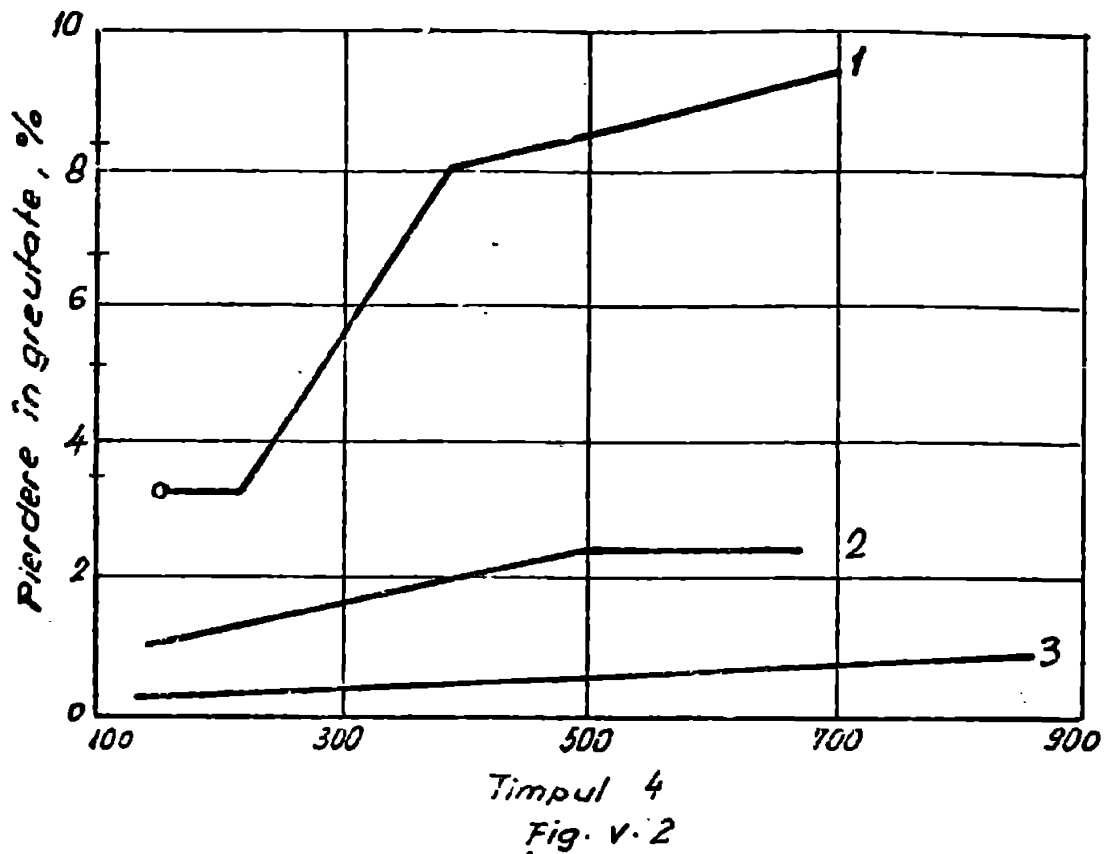
În cazurile mai puțin solicitate, se pot alege oțeluri de îmbunătățire aliate cu unul din cele trei elemente. În special, în cazurile mecanismelor cu came și tachet cu rolă, cu solicitare exterioară mare se recomandă oțelurile hipereutectoide slab aliate cu Cr, având o rezistență la gripare superioară oțelurilor de cementare.

O comportare foarte bună la uzare o au oțelurile de scule eliate cu Cr, W, Mo, V, dintre care cele mai bune sînt oțelurile rapide (STAS 7382-80) .

Oțelurile austenitice manganoase conținînd 12-20 % Mn și un raport C/Mn = 1:10, îndeosebi sub formă turnantă sînt foarte rezistente la uzare, mai ales la uzarea prin abraziune (avînd o rezistență de oca de 10 ori mai mare ca oțelurile carbon obișnuite). Acestea au proprietatea creșterii durității prin ecruisare la deformarea la rece, fiind recomandate la contact cană-rolă și nu în cazul tacheștilor cu vîrf sau talpă, deoarece sînt puternic deteriorate prin adeziune. Neajunsuri mari prezintă la prelucrarea prin așchiere și de aceea se folosește în special pentru camele turnate. În general aceste mecanisme cu came din oțeluri dure manganoase se recomandă să funcționeze la temperaturi sub 400° C.

Dacă mecanismele cu came sînt folosite în medii corozive sau în confecționarea de utilaje pentru industria alimentară se recomandă utilizarea oțelurilor aliate cu Ni și Cr, acestea însă sînt mai scumpe și nu au proprietăți satisfăcătoare la uzarea de impact din cauza fragilității lor.





In figura V.2 curba 1 reprezintă curba de uzură a oțelului carbon obișnuit, 2 este curba de uzură a oțelului grafitizat și 3 a oțelului înalt aliat cu mangan.

#### b) Fonte

Fontele sînt deseori folosite în confecționarea mecanismelor cu care deoarece ele sînt mai favorabile decît oțelurile pentru suprafețe de uzură datorită prezenței grafitului lamelar sau globular.

Pentru sarcini de frecare mai mari se folosesc pe scară largă fontele nesiliate și aliate cu grafit nodular, care au proprietăți antiuzură și ca proprietăți mecanice între cele ale fontelor cenușii obișnuite și cele ale oțelurilor.

Fontele maleabile au comportare asemănătoare cu fontele cenușii avînd și proprietățile mecanice apropiate.

În cazul uzurii abrazive foarte mari sînt recomandate fontele albe, cementitice, turnate în cochilă.

Dincolo fontele cenușii care au bună comportare la uzură o au cele cu maza de bază perlitică lamelară, fină, compact

lipsită de ferită liberă și avînd o cantitate redusă de cemen-  
tită liberă.

In funcție de constituenții metalografiei de bază, per-  
lita globulară prezintă o uzură mai mare decît cea lamelară.  
Cei mai favorabili constituenți de bază sînt, în ordine: perli-  
ta lamelară, bainita-trocostita și martensita.

In structura fontelor pentru uzură o importanță mare  
o are grafitul, care conferă fontelor lipsa tendinței de gripe-  
re, îmbunătățind lubrifierea perechii în frecare mixtă. Foarte  
bine se comportă grafitul fin, eutectic, cu multă ferită libe-  
ră în zonele structurale ale eutecticii grafitice. Spre exem-  
plu, o fontă cu o matrice perlitică fină, cu grafit fin și o-  
mogen distribuit, se utilizează de aproximativ 100 de ori mai pu-  
țin decît o fontă cenușie obișnuită.

Toate aspectele tratate mai sus, care definesc com-  
portarea la uzură a fontelor sînt influențate de prezența ele-  
mentelor de aliere.

Siliciul, care este element grafitizant, reduce du-  
ritatea și conținutul de carburi, se recomandă în cazul meca-  
nismelor cu came și taceți cu role, prezentînd o bună rezis-  
tență la uzură prin frecare de rostogolire. In rest, conținu-  
tul de siliciu se recomandă între 1,8-2,2 %.

Fosforul se recomandă să fie limitat sub 0,85 %, deoarece la conținuturi mai ridicate scade tenacitatea.

Manganul are un efect favorabil asupra rezisten-  
ței la uzură prin formarea mai accentuată de carburi și prin  
fixarea martensitei și austenitei. Conținutul de Mn poate a-  
junge în anumite cazuri speciale pînă la 12 % rezultînd o  
structură austenitică.

Sulful înrăutățește comportarea la frecare a fon-  
telor și de aceea conținutul acestuia se limitează la valori  
mici.

Influența diferitelor elemente de aliere asupra  
rezistenței la uzură este redată în figura V.5.

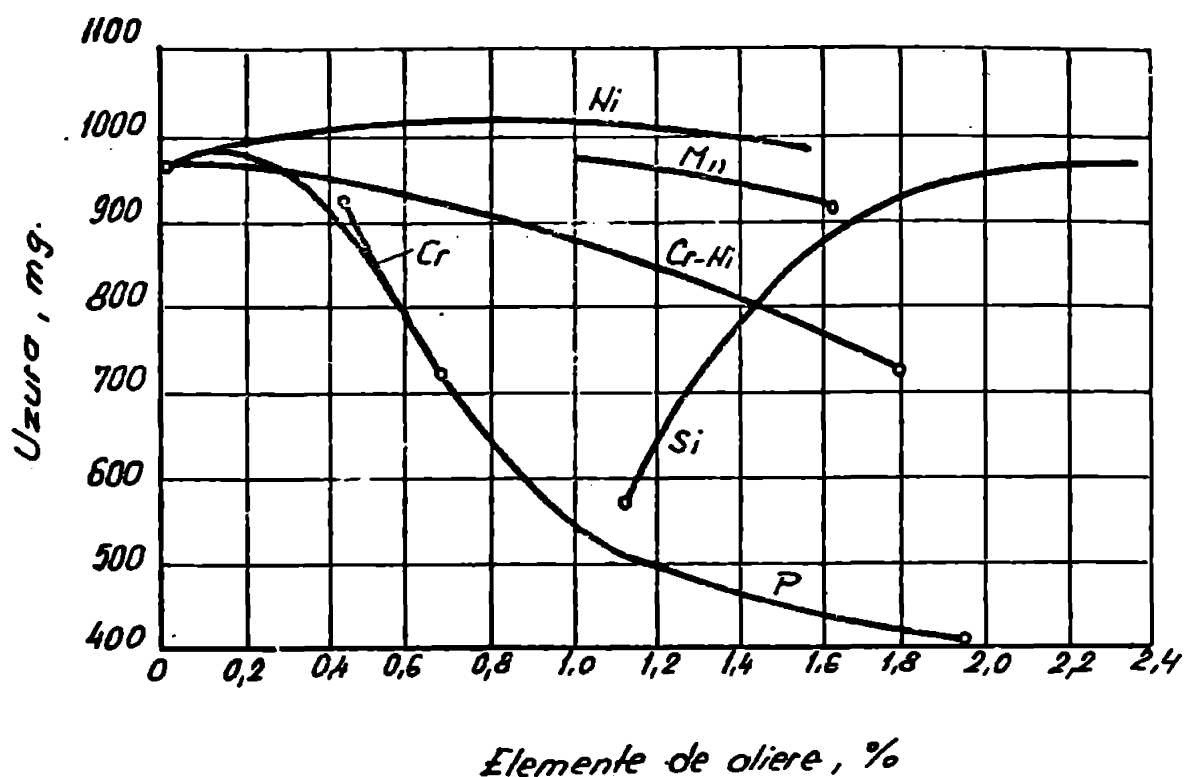


Fig. V.3

În utilizarea fontelor pentru realizarea cuplei superioare trebuie avut în vedere faptul că uzura fontelor crește cu sarcina, cu creșterea presiunii de contact, în special la temperaturi ridicate, de la cea 300° C în sus. Presiunea de contact admisibilă pentru cuplele superioare din fontă este de 12-15 daN/cm pentru fontele obișnuite, ajungând pînă la 20 daN/cm pentru fontele cu forța normală a grafitului.

Ca și în cazul oțelurilor, o importanță mare o are alegerea perechilor de materiale din care se confecționează cupla superioară. Uzura fontă/fontă, în general este mai mică decât fontă/oțel.

Pentru mecanismele cu came supuse la solicitări dinamice prin șoc (logi de profilare cu salturi de accelerații) se recomandă fontele cu conținut de 2,5-3 % C, 1-1,5 % Si, 0,5-1 % Mn, 0,7-1 % Ni, 0,3-0,5 % B. Deși unele fonte prezintă rezistență la uzură mult mai ridicată prin alierea cu Cr și Ni, nu sînt însă folosite larg din cauzele prețului de cost ridicat. (Fonta ni-hard are o durabilitate de cea 5 ori mai mare decât a oțelului manganez).

Se recomandă, de asemenea fonte aliată turnată în cochi-  
le cu crustă dură de 3-4 mm pentru confecționarea tacșetilor,  
conținând 3,6-3,9 % C, 1,3-1,6 % Si, 0,35-0,45 % Cr,  
0,2-0,3 % Mo, 0,7-0,9 % Cu, fosfatată, cu duritate de 555-255  
Hb (de la margine spre miez). Acestea lucrează de obicei cu  
cama din oțel carbon de îmbunătățire, călite la 550HB.

#### c) Aliaje dure rezistente la uzare

Ameliorările de materiale dure sînt prelucrate de obicei  
prin metalurgia pulberilor, conțin o cantitate ridicată de car-  
buri pe lângă lianții metalici, sînt utilizate pentru mecanis-  
mele cu cama puternic solicitate la uzare și care suportă în-  
cercări dinamice prin șocuri. Deși aceste materiale au un preț  
de cost mult mai ridicat, deoarece prezintă o durabilitate mult  
mai mare (de cca 60 de ori cea a oțelurilor) pot compensa a-  
ceasta.

Se recomandă, în cazuri de solicitări deosebite, ma-  
terialele sinterizate compuse, de tip Ferc-Titanit, conținând  
pînă la 50 % carburi într-o matrice din oțel, care în stare re-  
cepție poate fi așchiat, iar prin călire sting durități 62-72  
HRC și au un preț de cost mai redus.

#### d) Materiale pentru acoperiri rezistente la uzare

Se obișnuiește în unele cazuri să se mărească re-  
sistența la uzare a cuplei superioare camă-rolă sau camă-tacșet  
prin acoperiri cu straturi antiuzare, depuse prin galvanoteh-  
nie sau prin metalizare prin pulverizare.

Cea mai răspîndită metodă de depunere galvanică este  
cromarea dură. Suprafețele cromate posedă o duritate înaltă  
de pînă la 1200 HV, tendință redusă la gripare, valori de  
0,25-0,3 ale coeficientului de frecare de alunecare pe fontă,  
presu și rezistență la coroziune.

### V.2. Tratamente termice și termochimice ale materialelor metalice ale cuplei superioare

După cum s-a precizat în paragraful precedent, rezis-  
tența la uzare a oțelurilor și fontelor se poate îmbunătăți  
prin tratament termic sau termochimic.

Dacă materialul trebuie să rămână tenace în miez, sau comportări bune la uzare numai pe anumite zone (în cazul dimensiunilor mari) se poate folosi tratamentul termic de călire superficială, prin care se obține un strat protector dur, rezistent la uzare. Călinea se poate aplica tuturor oțelurilor călibile, celor de îmbunătățire, celor turnate, precum și fontelor. Duritatea obținută este cuprinsă între 50-64 HRC și se recomandă în special camelor.

Tratamentele termochimice cele mai frecvente sînt: cementarea, nitrurarea (cianurarea, carbonitrurarea) și unele metalizări prin difuzie ca cromizarea, silicizarea, borizarea.

Cementarea se aplică oțelurilor cu conținut scăzut de carbon (sub 0,2 %), eventual aliate cu Mn-Cr, Mo-Cr, Cr-Ni, Cr-Mn-Ti, se recomandă tot pentru obținerea unei suprafețe dure, rezistente la uzare, în timp ce miezul rămîne rezistent, tenace. Pe suprafața exterioară cementată se formează martenita, iar în cazul oțelurilor aliate carburile metalice, prin care rezistența la uzare a straturilor superficiale crește considerabil.

Cianurarea (nitrurarea) este realizată în băi de săruri, îndeosebi cianuri pentru oțeluri și fonte nealiate, sau amoniac gazos pentru oțelurile aliate cu Cr, Mo, V, care pot ajunge la o duritate de 750-900 HV. Oferă posibilitatea obținerii unui strat de uzură deosebit de rezistent, în special la uzarea de alunecare, fiind deci recomandată pentru mecanismele cu came cu tachet cu talpă sau vîrf, avînd și o bună stabilitate termică pînă la 500° C.

Suprafețele astfel tratate prezintă o oarecare sensibilitate la solicitări dinamice de șoc.

Carbonitrurarea este utilizată pentru mărirea durității și a rezistenței la uzare a materialelor cu conținut scăzut de carbon, deosebit de eficace în cazul oțelurilor aliate. Se folosește ca și cementarea, cu precizarea, însă, că datorită azotului care stabilizează austenita este mare pericolul rămîinerii unei cantități de austenită reziduală, care micșorează rezistența la uzare.

Prin cromizarea prin difuzie se obțin suprafețe re-

sistente la uzare și la coroziune, dar mai puțin rezistente la solicitări mecanice.

Borizarea suprafețelor metalice din oțel realizează suprafețe dure pînă la 1700-2400 HV, cu bună rezistență la uzare și la coroziune, chiar la temperaturi înalte.

Silicizarea realizează suprafețe cu mare rezistență la coroziune și în același timp și la uzare, în special în cazul lubrifierii, avînd o suprafață poroasă, nu foarte dură (180-240 HB).

În general, adîncimea și duritatea stratului superficial durificat se aleg în funcție de condițiile de lucru și de solicitare, precum și de tipul oțelului utilizat, stratul nu trebuie să fie mai adînc decît minimal necesar pentru a nu se scumpi în mod inutil costul tratamentului. Astfel, dacă contele și tacheții sînt solicitați la uzare prin alumina (abrazivă) stratul tratat trebuie să fie foarte dur, iar adîncimea lui de min. 2-3 ori mai mare decît uzura maximă admisă.

În cazul fontelor, tratamentele termice contribuie la îmbunătățirea caracteristicilor fizico-mecanice ale lor, la mărirea rezistenței acestora la uzare, prin durificarea suprafețelor active de lucru.

Călirea fontelor, în special a celor perlitice, mărește rezistența la uzare cu cca 50 % (rămîne însă inferioară fontei albe). Se recomandă călire izotermă, în cazul aceste austenita reziduală se descompune în martensită și troostită.

Rezistența la uzare a unei fonte cu conținutul de carbon sub 3,5 %, Si 1,7 %, Mn 0,65 %, Ni 1,8 %, Cr 0,45 %, poate fi considerabil mărită printr-un tratament termic de îmbunătățire, constînd dintr-o călire în ulei la 350°C și revenire fie la 300°C, fie la 550°C.

În cazul axelor cu came din fontă pentru sisteme de comandă este rîspîndit tratamentul termic de durificare prin călire superficială după încălzirea la peste 900°C cu flacăra cu gaz. Adîncimea stratului durificat este de 0,8-4 mm și o duritate de 450-600 HB. Zona călită cu flacăra este stabilă la revenire pînă la 300°C, fiind recomandată totuși o

revenire la 200°C pentru eliminarea tensiunilor interne.

Elementele de aliere (Ni pînă la 4 %, Cr pînă la 0,5 %, Mo pînă la 0,75 % și V pînă la 0,3 %, fiecare în parte sau împreună favorizează călirea superficială, în special în cazul solicitărilor statice mari, la presiuni de contact mari.

Fontele cu grafit nodular se pot căli autogen foarte bine, spre deosebire de fontele maleabile cu miezul negru (complet feritic).

Nitrurarea fontelor este un procedeu foarte larg folosit pentru fontele a căror compoziție este următoarea : 2,4-2,8 % C, 1,5-2,8 % Si, 0,5-0,8 % Mn, 0,8-1,5 % Al, 0,2-1,7 % Cr, 0,3-0,7 % Mo, și uneori 0,2 % V. Nitrurarea se realizează la temperaturi cuprinse între 525-570°C, timp de 40-75 ore, în funcție de compoziția chimică a fontei și a adîncimea dorită a stratului durificat, de obicei între 0,25-0,4 mm, avînd o duritate de 78-80 HRC. Se recomandă conținutul în fosfor al fontelor destinate nitrurării să fie sub 0,25 %.

Pentru case sînt răspîndite fontele cu conținut de 3,1-3,4 % C, 0,5-0,7 % Mn, 2,1-2,4 % Si, sub 0,2 % P, 0,15-0,25 % Cr, sub 0,15 % Ni, care se durifică prin oianurare, obținînd straturi cu duritate de 40-50 HRC, pe o adîncime de 0,075-0,125 mm. Adăsurile de Mo și mai ales Ni-Cr-Mo (pînă la 1,5 % fiecare ) măresc duritatea superficială și în- deosebi adîncimea stratului dur.

Metalizările prin difuziune (cromizarea, silicizarea, borizarea ) măresc rezistențele la uzură a fontelor).

Cromizarea dură ridică rezistența la uzură a cor-purilor în special la frecarea de alunecare (uzura abrazivă).

În general, pentru confecționarea conelor și tache-telor se recomandă împerecherea materialelor conform tabelu-lui V.2. Tratamentele termochimice îmbunătățesc substanțial comportarea în exploatare a acestor cuple superficiale. Croma-zarea sau nitrurarea asigură în stratul superficial o struc-tură cementito-perlitică cu un grad de grafitizare, cu duritate

și rezistență la uzare mai ridicată. Incluziunile de grafit în fonta de came sau tachet sînt considerate microdefecte în masa materialului, contribuind la formarea amorselor de distrugere prin abrazare sau oboseală.

Tab.V.2

CAMA	TACHET
Oțel	Fontă turnată
Fontă călită	Oțel
Fontă călită	Fontă călită
Fontă călită	Fontă turnată
Fontă călită	Fontă aliată turnată
Fontă	Oțel
Fontă	Fontă turnată

### V.3. Studiul uzurii mecanismelor cu came plane

Deoarece performanțele mecanismelor cu came depind de starea suprafețelor în contact, de lubrificația lor, de materialele și tratamentul termic aplicat este necesară reconsiderarea influenței acestor factori pentru a obține caracteristici funcționale sporite, aspectul amintit fiind criteriu final în proiectare. Deși mai puțin studiată și controversată problema suprafețelor în contact, abordată în cercetări experimentale de laborator permite evidențierea a două concluzii: în primul rînd adevărata solicitare de regim nu este cunoscută, iar în al doilea rînd suprafețele obținute prin prelucrare sînt mult diferite de cele stabilite teoretic pe cale matematică. Ca urmare, este deosebit de utilă abordarea acestor probleme ce vizează mecanismele reale cu came, în comparație cu mecanismele ideale.

Se vor considera în continuare mecanismele cu came ca fiind cuple de frecare de clasa a doua (cuple superioare cu contact liniar). Complexitatea fenomenului tribologic și multitudinea parametrilor impun dificultăți în abordarea pe cele analitică și chiar numerică a tehnicii de calcul. Studiul fenomenului frecării și uzurii cuplei începe cu modela-



rea suprafeței reale de contact, diferită de cea teoretică, deoarece sub acțiunea sarcinii normale corpurile în contact se deformează. Studiul deformațiilor și eforturilor unitare în punctul de contact reprezintă unul din capitolele cele mai complicate ale teoriei elasticității, rezolvată de Hertz și pentru cazul contactului liniar a doi cilindri pe generatoare.

Procesul de frecare are drept urmare pierderea de energie și uzura (desprinderea de material și modificarea stării inițiale a suprafețelor în contact). Cunoașterea și limitarea uzurii constituie principalul obiectiv al tribologiei mecanismelor cu came. Se va admite că în cazul mecanismelor cu came, atât la frecarea uscată cât și în prezența lubrefiantului, natura uzurii este de aderență.

În continuare se vor evidenția principalele parametri care intervin și influențează uzura din mecanismele cu cuple superioare, precum și modul în care aceasta influențează precizia cinematică și dinamică a mecanismelor cu came plane.

Se semnaleză faptul că mecanismele cu came sunt compuse din elemente imprecis prelucrate, care prezintă abateri față de dimensiunile nominale, teoretice, abateri limitate prin sistemul de toleranțe de prelucrare impuse la proiectarea și peste care se suprapun variațiile dimensionale datorate uzurii, care împreună duc la modificarea esențială a funcției de răspuns.

Studiul simultan al celor două surse de erori va permite o concluzie unitară și oferă posibilitatea limitării efectelor lor.

Pentru un studiu analitic al influenței geometriei elementelor mecanismului cu came plane asupra uzurii lor se impune construirea unui model matematic adecvat. Datorită complexității fenomenului uzurii în mecanismele cu cuple superioare, care rezultă din nonlinearitatea dependenței factorilor asociați procesului de uzură, se adoptă următorul sistem de ipoteze :

- deși simultan prezente, rostogolirea și alunecarea

rolei pe profilul camii, suprafața de contact a celor două elemente se presupune a fi compusă din două părți: una de rostogolire și alta de alunecare ;

- drumul parcurs pe intervalul rostogolirii de cele două elemente în contact este același, adică este absentă și prin urmare lucrul mecanic al forțelor de legătură este nul ;

- intervalul alunecării este supus forțelor de legătură ; reacțiunea normală și forța de frecare de aderență, legate între ele prin coeficientul de frecare ;

- deformațiile plastice se neglijează ;

- elementele în contact sînt din același material și sînt asimilate unor semiplane semiinfinite ;

- procesele care au loc pe suprafața de contact sînt continue, iar tensiunile și deformațiile interioare și pe contur sînt finite.

În virtutea acestor ipoteze, interacțiunea dintre cele două elemente poate fi privită ca avînd loc între doi cilindri cu centrele de curbură în punctele R și K, cu razele de curbură  $r_1$  și  $r_2$  (Fig.V.4).

Ca urmare a încărcării N din cupla superioară centrele de curbură numite se apropie cu mărimea  $D_0$ , definită de relația ( V. 1. ) :

$$(V.1) \quad D_0 = C_1 C_2 + d_r(x) + d_c(x)$$

unde  $d_r(x)$  și  $d_c(x)$  sînt deformațiile elastice în direcția axei  $Oy$  ale rolei și respectiv ale camii în punctul de abscisă  $x$ .

Astfel, sub acțiunea forței N și a apropierii centrelor de curbură contactul liniar degenerază într-o suprafață care se împarte în două zone. Se consideră pentru suprafața de contact sistemul de coordonate din figura V.5 .

Distanța  $C_1 C_2$  se exprimă cu relația (V.2.) :

$$(V.2) \quad C_1 C_2 = \frac{1}{2} x^2 \left( \frac{1}{r_1} \pm \frac{1}{r_2} \right)$$

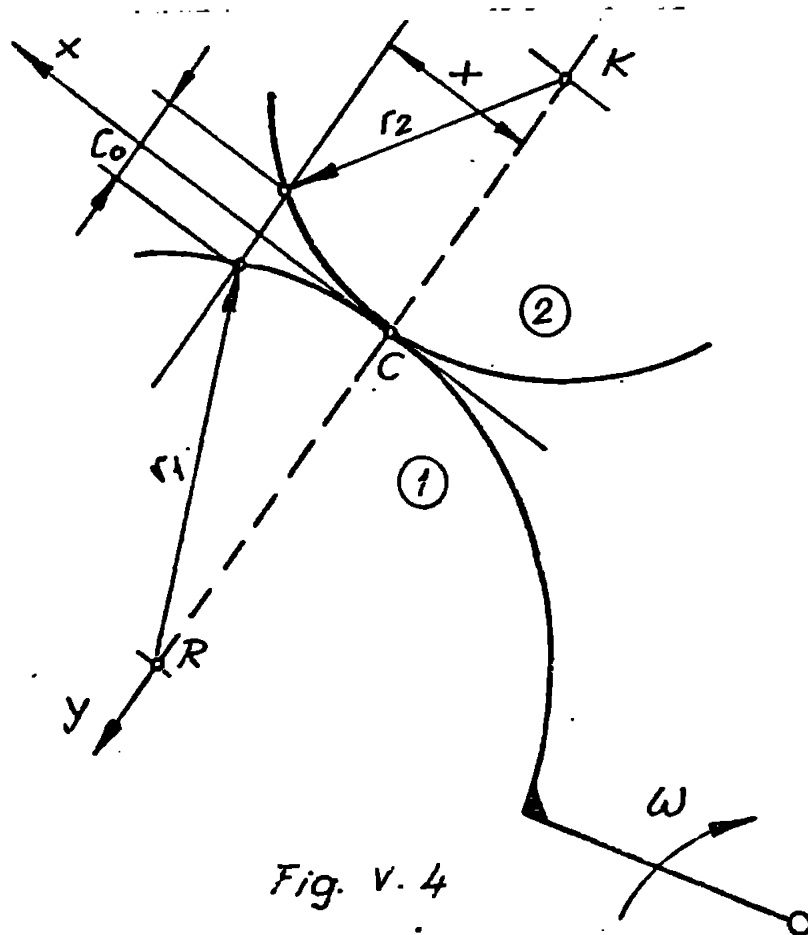


Fig. V. 4

unde termenul minus corespunde suprafeței concave și în consecință relația (V. 2.) se scrie (V. 3.):

$$(V.3) \quad \Delta_0 = \frac{1}{2} x^2 \left( \frac{1}{r_1} + \frac{1}{r_2} \right) + dr(x) + dc(x);$$

care derivată în raport cu variabila  $x$  conduce la relația (V. 4.):

$$(V.4) \quad 0 = x \left( \frac{1}{r_1} + \frac{1}{r_2} \right) + \frac{\partial}{\partial x} [dr(x) + dc(x)]$$

În relația de mai sus membrul stâng  $\frac{\partial \Delta_0}{\partial x} = 0$  deoarece pentru fiecare punct  $D_0$  este o mărime constantă.

Privind suprafața rolei și cașii ca semiplane elastice infinite de mari (linia de contact  $\langle \langle r_1 \rangle \rangle$ ) se poate scrie pentru cazul deformației plane (V. 5.):

$$(V.5) \quad \frac{\partial dr(x)}{\partial x} = \frac{\partial dc(x)}{\partial x} = -\frac{2(1-\nu^2)}{\pi E} \int_0^D \frac{p(u) du}{x-u}$$

Membru dreapta a ecuației (V. 5.) este integrala lui Cauchy unde  $p(x) = p(u)$  este sarcina distribuită liniar pe l cașii lățimea cașii, reprezentând intervalul  $x = u = -D$  până la  $x = u = D$ ,  $\nu$  este constanta lui Poisson, iar  $E$  este modulul

de elasticitate.

Din relațiile (V. 4) și (V. 5) se obține (V. 6.):

$$(V.6) \quad x\left(\frac{1}{r_2} \pm \frac{1}{r_1}\right) = \frac{4(1-\nu^2)}{\pi E} \int_{-D}^0 \frac{\rho(u) du}{x-u}; \quad \text{cu } x^2 \leq D^2$$

Fiind necesară cunoașterea sarcinii distribuite  $p(u) = p(x)$  din teoria ecuațiilor integrale se știe (V. 7.):

$$(V.7) \quad \frac{1}{\pi} \frac{(C_0 + C_1 u + C_2 u^2) du}{(x-u)\sqrt{D^2 - u^2}} = \begin{cases} -C_0 - C_2 & \text{pentru } x^2 < D^2 \\ -C_0 - C_2 x + \frac{x}{|x|} \cdot \frac{C_0 + C_1 x + C_2 x^2}{x^2 - D^2} & ; x^2 > D^2 \end{cases}$$

Prin alegerea corespunzătoare a coeficienților expresiei se obține (V. 8.):

$$(V.8) \quad \rho(x) = \rho(u) = \frac{C_0' + C_1' x + C_2' x^2}{\sqrt{D^2 - x^2}} = \frac{C_0' + C_1' u + C_2' u^2}{\sqrt{D^2 - u^2}}$$

care reprezintă soluția ecuației (V. 6).

Introducând relație (V. 8) în (V. 6) se obține (V. 9):

$$(V.9) \quad x\left(\frac{1}{r_2} \pm \frac{1}{r_1}\right) = \frac{4(1-\nu^2)}{\pi E} (C_1' + C_2' x) = \frac{4(1-\nu^2)}{\pi E} (C_1' + C_2' u) \\ \text{cu } x^2 = u^2 \leq D^2$$

de unde aplicând condițiile la limită se obține (V. 10):

$$(V.10) \quad C_1' = 0 \quad ; \quad C_2' = \frac{E\left(\frac{1}{r_2} \pm \frac{1}{r_1}\right)}{4(1-\nu^2)}$$

Din condiția ca încărcătura  $p(x)$  să nu ia valori infinite, întrucât numitorul se poate anula, se impune ca și numărătorul relației să fie nul, de unde se obține mărimea (V. 11.):

$$(V.11) \quad C_0' = \frac{E\left(\frac{1}{r_2} \pm \frac{1}{r_1}\right)}{4(1-\nu^2)} \cdot D^2$$

Înlocuind (V. 10) și (V. 11) în (V. 8.) se obține (V. 12.):

$$(V.12) \quad \rho(x) = \rho(u) = \frac{E}{4(1-\nu^2)} \left(\frac{1}{r_2} \pm \frac{1}{r_1}\right) \sqrt{D^2 - x^2}; \quad \text{pt. } x^2 = u^2 \leq D^2$$

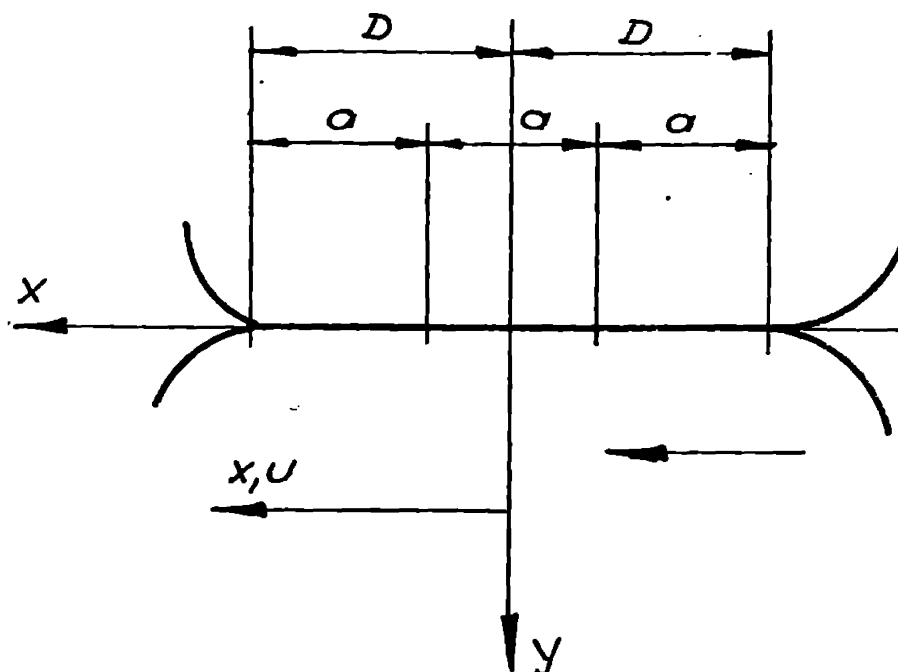


Fig. V. 5

de unde reacțiunea normală a camii se calculează cu relația:

$$(V.13) \quad N = \int_{-D}^D b \cdot p(x) dx$$

cu  $b$  lățimea camii, considerând și relația (V.11) rezultă (V.14):

$$(V.14) \quad N = \frac{\pi E b}{8(1-\nu^2)} \left( \frac{1}{r_2} + \frac{1}{r_1} \right) D$$

de unde se obține expresia mărimii  $D$  (V.15):

$$(V.15) \quad D = 2 \sqrt{\frac{2N(1-\nu^2)}{\pi E b \left( \frac{1}{r_2} + \frac{1}{r_1} \right)}}$$

care este tocmai formula lui Hertz.

Dacă se consideră că în zona de alunecări sarcina tangențială se supune legii lui Coulomb, atunci în regiunea alunecării va exista relația (V.16):

$$(V.16) \quad q(x) = q(u) = \frac{f E}{4(1-\nu^2)} \left( \frac{1}{r_2} + \frac{1}{r_1} \right) \sqrt{D^2 - u^2} \quad \text{pentru } D \leq x \leq c - D$$

Distribuția sarcinii tangențiale în regiunea contactului se va căuta de forma (V.17):

$$(V.17) \quad q(u) = q(u') + q''(u) \quad \text{pentru } u^2 \leq D^2$$

Pentru găsirea funcției  $q(u)$  este necesar să se determine funcția ajutătoare  $q^{\circ}(u)$ . Ea se poate determina din condiția ca tensiunea tangențială  $(\sigma_x)_y = 0$  în zona rostogolirii trebuie să fie constantă (V.18):

$$(V.18) \quad (\sigma_x)_y = \frac{2}{\pi} \left[ \int_{-a}^{+a} \frac{fE}{4(1-\nu^2)} \left( \frac{1}{r_2} \pm \frac{1}{r_1} \right) \frac{\sqrt{A^2-u'^2}}{x'-u'} du' + \int_{-a}^{+a} \frac{q^{\circ}(u)}{x-u} du \right] = (\sigma_x)_y = 0$$

Având în vedere relația (V.19):

$$(V.19) \quad \frac{1}{\pi} \int_{-a}^{+a} \frac{\sqrt{A^2-u'^2}}{x'-u'} du' = x$$

pentru  $x^2 \leq D^2$

se va obține (V.20):

$$(V.20) \quad \frac{4}{\pi} \int_{-a}^{+a} \frac{q^{\circ}(u) du}{x-u} = \frac{1}{2} (\sigma_x)_{y=0} - \frac{fE}{4(1-\nu^2)} \left( \frac{1}{r_2} \pm \frac{1}{r_1} \right) x$$

pentru  $u^2 \leq a^2$

Partea stângă din relația (V.20) are caracterul relației (V.16) drepte și la alegerea corespunzătoare a coeficienților expresiei soluției va fi dată de relația (V.21):

$$(V.21) \quad q^{\circ}(x) = q^{\circ}(u) = \frac{C_0 + C_1 x + C_2 x^2}{\sqrt{a^2 - x^2}}$$

Considerând  $x = x + C$ ,  $U = U + C$ , rezultă (V.22):

$$(V.22) \quad -C_1 - C_2 x = \frac{1}{2} (\sigma_u)_{y=0} - \frac{fE}{4(1-\nu^2)} \left( \frac{1}{r_2} \pm \frac{1}{r_1} \right) (x+C)$$

pentru  $x^2 \leq a^2$ , apoi rezultă (V.23) și (V.24):

$$(V.23) \quad C_2 = \frac{fE}{4(1-\nu^2)} \left( \frac{1}{r_2} \pm \frac{1}{r_1} \right)$$

$$(V.24) \quad C_1 = \frac{fE}{4(1-\nu^2)} \left( \frac{1}{r_2} \pm \frac{1}{r_1} \right) C - \frac{1}{2} (\sigma_x)_y = 0$$

Astfel, efortul tangențial nu primește valori infinite.

În mod analog cu  $p(x)$  se va obține (V.25): și (V.26):

$$(V.25) \quad C_1 = 0$$

$$(V.26) \quad C_0 = -C_2 \sigma^2 = -\frac{fE}{4(1-\nu^2)} \left( \frac{1}{r_2} + \frac{1}{r_1} \right)$$

atunci rezultă relația (V.27):

$$(V.27) \quad \varrho(x) = \varrho(u) = \frac{fE}{4(1-\nu^2)} \left( \frac{1}{r_2} + \frac{1}{r_1} \right) \sqrt{\sigma^2 - u^2}$$

pentru  $u^2 \leq \sigma^2$

Considerând relațiile (V.25), (V.26) și (V.27) se obține forma definitivă a legii de distribuire a sarcinii tangențiale în zona de contact (V.28):

$$(V.28) \quad \varrho(x) = \varrho(u) = \frac{fE}{4(1-\nu^2)} \left( \frac{1}{r_2} + \frac{1}{r_1} \right) \sqrt{\sigma^2 - (u+c)^2} - \sqrt{\sigma^2 - u^2}$$

pentru  $u^2 \leq \sigma^2$

Pentru determinarea deformațiilor în zona alunecării este necesară determinarea tensiunilor considerând că (V.29),

$$(V.29) \quad \frac{1}{\pi} \int_{-\sigma}^{\sigma} \frac{\sqrt{\sigma^2 - u^2}}{x-u} du = x - \frac{x}{|x|} \sqrt{x^2 - \sigma^2} \text{ pentru } x^2 \geq \sigma^2$$

Ținând cont de relațiile (V.18) și (V.29) se obține (V.30):

$$(V.30) \quad (\sigma_x)_{y=0} = \frac{fE}{2(1-\nu^2)} \left( \frac{1}{r_2} + \frac{1}{r_1} \right) \left( c + \frac{x}{|x|} \sqrt{x^2 - \sigma^2} \right)$$

precum și relația (V.31):

$$(V.31) \quad (\sigma_x)_{y=0} = \frac{fE}{2(1-\nu^2)} \left( \frac{1}{r_2} + \frac{1}{r_1} \right) c$$

pentru  $-D-0 \leq x \leq -a$

Pentru regiunea inițială, (alunecării), adică pentru  $x = -a$  relația (V.30) are forma (V.31).

Determinarea tensiunilor și deformațiilor în zona contactului poroasă determinarea lucrului mecanic de frecare.

Cunoscând legea distribuției forței de frecare în zona alunecării, lucrul mecanic al tensiunilor de deformație are în final expresia (V.32):

$$(V.32) \quad L_f = \frac{8(1-\nu^2)}{\pi E} \left( \frac{1}{r_2} + \frac{1}{r_1} \right) \left( \frac{N}{b} \right)^{3/2} f \mu \left( 1 - \sqrt{1 - \frac{\mu}{f}} \right)$$

unde este coeficientul de frecare de rostogolire al tachețului în jurul unei șule.

Din cauza alunecării în zona contactului are loc o deplasare relativă a punctelor aflate la un moment dat în contact, deplasare ce se determină cu relația (V.33),

$$(V.33) \quad 2\varepsilon(x) = \frac{2}{E} (\sigma_x)_{y=0}^0 - (\sigma_x)_{y=0} \\ -(A+C) \leq x \leq -\sigma$$

Admițând ipoteza că uzura normală  $U_{ni}$  este proporțională cu lucrul mecanic  $L_f$  și numărul de cicluri  $n_c$  (încărcări) se obține (V.34):

$$(V.34) \quad U_{ni} = \frac{1,52}{K b^{3/2}} \sqrt{\frac{1}{E}} \cdot n_c \cdot \lambda \sqrt{\frac{1}{r_2} + \frac{1}{r_1}} \cdot N^{3/2}$$

unde  $K$  este un coeficient de proporționalitate care se poate determina experimental,  $\gamma = 0,3$  pentru oțel, iar  $\lambda$  este o constantă definită prin relația (V.35):

$$(V.35) \quad \lambda = \mu f \left( 1 - \sqrt{1 - \frac{\mu}{f}} \right)$$

Pentru aprecierea tendinței către uzură a profilelor în contact se consideră numai partea variabilă din relația (V.34) și care se notează prin (V.36):

$$(V.36) \quad U = \lambda \sqrt{\frac{1}{r_2} + \frac{1}{r_1}}$$

ce se convine a se numi caracteristica uzurii.

Din relația (V.36) se observă că uzura normală depinde de raza redusă de curbura și încărcarea din cupla superioară care în toate cazurile depinde de unghiul de presiune și de particularitățile constructive ale mecanismului.

Neglijând solicitările suplimentare ca urmare a auto-vibrațiilor respectiv vibrațiilor sistemului în regimuri dinamice de funcționare, încărcarea din cupla superioară se exprimă prin relația (V.37):

$$(V.37) \quad H = P \cdot \gamma$$

unde  $\gamma$  este un coeficient de creștere a încărcării definit prin relația (V.38):

$$(V.38) \quad \gamma = \frac{\cos \varphi_2}{\cos(\nu + \varphi_1 + \varphi_2)} = f(\varphi_1, \varphi_2, \nu)$$



și în consecință uzura exprimată prin relația (V.36) se poate considera o funcție de forma (V.39):

$$(V.39) \quad U = \lambda U(\varphi_1, \varphi_2, s, \dot{s}, \rho)$$

unde  $\varphi_1$  și  $\varphi_2$  sînt unghiurile conurilor de frecare din cupla superioară, respectiv legăturile elementelor mobile,  $s$  și  $\dot{s}$  sînt deplasarea, respectiv viteza elementului 2 (fig.V.5), iar  $\rho$  rezultanta forțelor efectiv aplicate și de legătură din cupla superioară.

Prin urmare, caracteristica uzurii profilelor în contact depinde esențial, de scheme cinematică a mecanismului, de frecările din sisteme, de profilul elementelor și de viteza sistemului următor.

Aplicînd modelul matematic de mai sus se pot determina funcțiile de uzură ale unor mecanisme cu came, avînd tchet cu rol executînd diverse tipuri de mișcări. Astfel, pentru camă și tchet de translație caracteristica uzurii se exprimă cu relația (V.40):

$$(V.40) \quad U = G \left[ \frac{\cos \varphi_2}{\cos \left( \arctg \frac{v's_0 \pm \sin \theta}{L} + \varphi_1 + \varphi_2 \right)} \right]^{3/2}$$

pentru camă de translație și tchet oscilant relația (V.41):

$$(V.41) \quad U = G \left\{ \frac{1}{\cos \left[ \arctg \frac{v' \gamma_0 L \pm \cos(\theta_2 + \theta_0)}{L} \right]} \right\}^{3/2}$$

și pentru camă de rotație cu tchet de translație relația (V.42):

$$(V.42) \quad U = G \left[ \frac{\cos \varphi_2}{\cos \left( \arctg \frac{v's_0 \pm e}{\gamma_0 \sqrt{s_0^2 + R_0^2 + e^2}} + \varphi_1 + \varphi_2 \right)} \right]^{3/2}$$

unde cu  $v'$  s-a notat viteza adimensională a tchetului,  $s_0$  cursa maxime,  $L$  lungimea parcurută în cazul camă de translație,  $\varphi$  unghiul de rotație al camăi corespunzător deplasării  $s$ ,  $e$  excentricitate a tchetului,  $\theta$  fiind expresia (V.43):

$$(V.43) \quad G = k \left( \frac{1}{r_2} + \frac{1}{r_1} \right)^{0,5} p^{3/2}$$

iar prin  $\theta$  unghiul tchetului oscilant (poziția inițială  $\theta_1$ , poziția finală  $\theta_2$ ).

La o analiză mai atentă a relației care exprimă uzura normală se pot obține orientări asupra tendinței diferiților parametrii geometrici:

- uzura normală este proporțională cu încărcarea din cupla superioară la puterea  $3/2$  și cu raza de curbură la puterea  $1/2$ .

- uzura normală depinde de momentul de inerție al rolei și de coeficientul său de frecare, deci se impun role ușoare cu coeficienți mici de frecare

- coeficientul de frecare din cupla superioară influențează neînsemnat uzura normală

- reducerea uzurii normale se poate realiza prin creșterea razei cercului de bază, realizarea unei excentricități pozitive și reducerea frecării din ghidaje.

#### V.4. Analiza unor factori care pot influența uzura cuplei superioare

Deoarece împiedicarea uzurii este iluzorie, cercetările acestui fenomen vizează diminuarea sa. Iar dacă ne referim la aceste cercetări, ele sînt pline de dificultăți deoarece cauzele uzurii, cît și fenomenele asociate pot apărea simultan și se influențează reciproc. Totuși cercetările experimentale de pînă acum au evidențiat drept cauze principale ale uzurii normale, dezvoltate în timp, limitarea posibilităților tehnologice de fabricație a suprafețelor în contact și grosimea nesatisfăcătoare a peliculei de lubrefiant. Acestor cauze li se mai adaugă influențele cu diverse pondări, a turației motorului, a temperaturilor locale, presiunea de contact, deformațiile elastice și plastice, geometria elementelor în contact, după cum și parametrii cinematici de diverse ordine.

În cele ce urmează se vor face considerații teore-

tice corelate cu concluziile cercetărilor experimentale asupra principalilor factori din cei menționați mai sus.

#### a) Temperaturi locale

Ca urmare a faptului că două suprafețe de alunecare, oricât de fin ar fi prelucrate, se ating mereu în aceleași puncte, chiar la sarcini experimentale mici, apar presiuni superficiale relativ mari. Deformațiilor plastice prezente în aceste puncte le corespunde un lucru mecanic specific atât de mare încât temperaturile ce se dezvoltă provoacă o sudare locală. Sudarea este distrusă fie prin forfecare, în cazul tacheților plani, fie prin tracțiune și forfecare, în cazul tacheților cu rolă.

Supoziția temperaturilor fulgere își găsește explicația în special la alunecarea a două suprafețe când suprafața de contact devine o sursă de căldură amplificând consecințele negative ale vitezei de alunecare.

Referitor la măsurabilitatea temperaturilor locale se poate afirma că schimbările rapide ale valorilor acestora face ca măsurările lor cantitative să fie aproximative.

O altură aproximativă a acestora imprimă variația accelerației de-a lungul conturului camei. Valorile negative ale accelerației cresc posibilitatea grișajului și deci și a apariției temperaturilor locale, acestea având valori negative maxime în jurul vârfului camei.

#### b) Numărul de cicluri

Dependența uzurii de numărul de cicluri este unanim recunoscută de autori. Se adoptă ipoteza potrivit căreia uzura normală a profilului  $U$  este proporțională cu lucrul mecanic de frecare (V.44):

$$(V.44) \quad U = \lambda L n_i$$

unde  $n$  este numărul de cicluri,  $L$  lucrul mecanic specific de frecare și  $\lambda$  un coeficient de proporționalitate numit și coeficient al uzurii. Dacă cum s-a arătat, utilizarea lucrului mecanic specific permite determinarea uzurii relative în diferite puncte ale profilului în funcție de numărul de cicluri. Coeficientul uzurii depinde de mulți factori și nu este constant pentru același material. De asemenea, uzura nu este în-

totdeauna proporțională cu lucrul mecanic specific de frecare  $L$ .

c) Influența discontinuității mișcării asupra uzurii în cupla superioară

Turația elementului de comandă în mecanism este limitată de uzura profilului și întreruperea continuității lanțului cinematic. Inșă întreruperea continuității mișcării nu trebuie considerată ca singurul criteriu de a trece la uzură ridicată, întrucît uzura mai depinde și de drumul alunecării pe suprafața de contact, ceea ce impune considerarea luncării rolei.

Se arată în continuare problema raportului între-ruperii și alunecării rolei pentru un mecanism cu came ou tachet de translație cu rolă. Dacă  $P$  este forța de acționare pe tija tachetului,  $R_1$  și  $R_2$  reacțiunile rolei pe tachet și  $F$  forța de frecare care imprimă rotația rolei, atunci condiția rotirii rolei pe camă se scrie (V.45) :

$$(V.45) \quad F \geq f \cdot N$$

unde  $f$  este coeficientul de frecare, sau se mai poate scrie altfel (V.46):

$$(V.46) \quad N \cdot f \geq J|\dot{\epsilon}| + s \cdot N + Q \cdot r_0 \cdot f_r$$

unde  $R$  reprezintă raza rolei,  $J$  momentul de inerție al rolei în raport cu axa de rotație,  $\dot{\epsilon}$  este accelerația unghiulară a rolei,  $s$  - coeficientul frecării de rostogolire,  $r_0$  raza axului rolei,  $f_r$  coeficientul de frecare dintre rolă și ax,  $Q$  este sarcina pe rolă, iar  $M_r$  este cuplul ce produce rotirea rolei,  $M_{rez}$  este momentul rezistent.

Datorace  $N$  este mic și  $M_r \approx Q$ , relațiile (V.45) și (V.46) se pot scrie (V.47):

$$(V.47) \quad f \geq \frac{J|\dot{\epsilon}|}{N \cdot R} + \frac{s}{R} + \frac{r_0 f_r}{R}$$

$$N \geq \frac{J|\dot{\epsilon}|}{f \cdot R} + \frac{s}{f \cdot R} + \frac{r_0 f_r}{f \cdot R}$$

Menținerea continuității mișcării, adică a rotirii rolei, este asigurată prin condiția (V.48):

$$(V.48) \quad N \geq 0$$

Din relațiile (V.47) și (V.48) se poate deduce că întreruperea mișcării are loc la o viteză unghiulară mai mare decât aceea corespunzătoare alunecării. Dar pentru mecanismele proiectate obișnuit pentru  $N \geq 0$ , adesea au loc alunecări. Respectiv simultan condițiile (V.47) și (V.48) se evită această situație. Dacă în continuare se face referire numai la condiția rotirii rolei, accelerația unghiulară din (V.46) și (V.47) are forma (V.49):

$$(V.49) \quad \varepsilon = \frac{d\omega}{dt} = \frac{dv}{dt} \cdot \frac{1}{R} = \frac{a^2}{R}$$

unde  $a^2$  este accelerația tangențială a centrului rolei în mișcarea sa relativă și se poate determina din planul accelerațiilor (V.50):

$$(V.50) \quad a^2 = [a + (R_c + s)\omega_r^2] \sin \alpha$$

a fiind accelerația absolută a rolei,  $\omega_r$  viteza sa unghiulară,  $R_c$  raza cercului de bază a camei de profil teoretic (centrul rolei):

$$R_c = R_b + R$$

$\alpha$  fiind unghiul de presiune. Introducând expresia unghiului de presiune  $\alpha$  și accelerația tachetului în relația (V.49) pentru cama centrică se obține relația cunoscută (V.51):

$$(V.51) \quad \varepsilon = \frac{[(R_c + s)s'' + s's''']\omega^2}{[(R_c + s)^2 + (s')^2 R]^{0,5}}$$

În acest caz condiția rotirii rolei se poate transforma (V.52):

$$(V.52) \quad \frac{1}{2} \frac{Z}{R} \left| [s' + (R_c + s)] \omega^2 \sin 2\alpha \right| < \mu (P + m s \omega^2)$$

s-a notat prin  $\mu$  expresia (V.53):

$$(V.53) \quad \mu = f \cdot R - s - f r \cdot r_0$$

Pentru camele rapide condițiile (V.46) și (V.47) au forma mai simplă (V.54):

$$(V.54) \quad \frac{Z|E|}{NR} < f$$

Reacțiunea camii pe rolă este dată de relația (V.55):

$$(V.55) \quad N = \frac{m_r v}{\cos \alpha}$$

Introducând în relația (V.54) expresia lui  $\varepsilon$  și  $N$ , se obține (V.56):

$$(V.56) \quad \frac{1}{4} \frac{m_r}{m_t} R \left| \sin 2\alpha \left[ 1 + \frac{R_c + s}{s'} \right] \right| < f$$

unde  $m_r$  este masa rolei, iar  $m_t$  este masa tachetului. La  $s' = 0$  membrul întâi devine infinit. Prin urmare la închiderea cinematică ( $\alpha' = 0$ ) întotdeauna apare alunecarea rolei, în cazul acesta numai închiderea poligonului forțelor este insuficientă.

La contactul forțat alunecarea apare la turații cu atât mai ridicate cu cât este mai strâns arcul, celelalte condiții fiind aceleași.

Că o concluzie a celor de mai sus rezultă că absența discontinuității încă nu asigură rotirea pură a rolei pe camă. Considerând că încărcarea pe camă este formată din forța de inerție  $P_i$  și forța resortului  $P_2$ , condiția rotirii rolei este (V.57):

$$(V.57) \quad P_2 > \frac{J|\varepsilon| \cos \alpha}{\mu} - P_i$$

În baza inegalității (V.57) se poate efectua alegerea arcului prin reprezentarea grafică a membrului al doilea; panta tangentei la curbă reprezentând rigiditatea resortului.

Din aceste considerații teoretice decurg următoarele concluzii:

- Nu în toate cazurile uzura normală a profilului camii este proporțională cu lucrul mecanic specific de frecare, proporționalitatea având valabilitatea în special la uzura abrazivă.

- Relațiile obișnuite pentru diferite tipuri de came permit aprecierea influenței parametrilor de bază ai mecanismului asupra uzurii profilului considerând neuniformitățile și proprietățile la oboseală a materialului.

- Apariția alunecării rolei mărește uzura normală.

- Îndepărtarea alunecării rolei urmează să se realizeze prin mărirea rigidității resortului, creându-se un coeficient de frecare mare în cupla superioară prin micșorarea momentului polar de inerție al rolei și momentul din axa sa.

d) Influența parametrilor cinematici ai mecanismului asupra procesului uzurii sale

Ca urmare a complexității problemei formulate se va avea în vedere mecanismele cu came cu tchet plan executând o mișcare de translație. Singura ipoteză care se are în vedere este aceea că uzura este proporțională cu forța de contact și cu viteza relativă.

Cu tot caracterul său aleator, ca și în cazul anterior analizat, uzura poate fi considerată proporțională cu puterea dezvoltată prin frecare.

Notând cu  $U(\varphi, n_i)$ , uzura normală a suprafețelor în contact, aceasta va depinde atât de unghiul de rotație  $\varphi$  cât și de numărul de cicluri  $n_i$  al contactului din cupla superioară, fiind o sumă a uzurilor din fiecare ciclu al mișcării (V.58):

$$(V.58) \quad U(\varphi, n_i) = \sum_j^i \psi(\varphi, n_j)$$

unde funcția  $\psi(\varphi, n_j)$  este considerată drept funcție a uzurii corespunzătoare unui ciclu de funcționare. Dacă se notează cu  $2t_0$  durata unui ciclu, prin  $K$  numărul de cicluri executate într-un interval de timp  $T$  (evident destul de lung pentru a se face niștită uzura) și prin  $\omega$  viteza unghiulară a camii atunci există relațiile următoare (V.59):

$$(V.59) \quad \begin{aligned} 2\pi K &= \omega T; & 2kt_0 &= T \\ n_j &= 2t_0 j; & t_j &= 2t_0 = \frac{2\pi}{\omega}; & \omega t_0 &= \pi \end{aligned}$$

Considerând aceste notații, expresia de la (V.58) devine (V.60):

$$(V.60) \quad U(\varphi, T) = \frac{\omega}{2\pi} \sum_j^i \psi(\varphi, t_j)$$

care la limită se transformă într-o ecuație integrală (V.61):

$$(V.61) \quad U(\varphi, T) = \frac{\omega}{2\pi} \int_0^T \psi(\varphi, t) dt$$

Este evident că după un timp  $T$  destul de mic  $T \approx 0$ , uzura  $U(\varphi, 0)$  este necomunicativă, deplasarea tchetului rămânând necomunicată  $s(\varphi, 0)$ . Pe măsura trecerii timpului însă, uzura își face apariția și deplasarea la un moment dat va fi (V.62):

$$(\bar{V}.62) \quad S(\varphi, T) = S(\varphi, 0) - \frac{\omega}{2\pi} \int_0^T \Psi(\varphi, t) dt$$

care reprezintă ecuația integrală a fenomenului de relaxare cinematică (modificarea în timp îndelungat a parametrilor cinematici). Funcția depinde de  $\varphi$  și  $t$  prin reacțiunea normală  $N$  și prin viteza relativă din cupla superioară. Ori, în cazul vitezelor mari de funcționare, încărcarea din cupla superioară depinde atât de deplasarea  $s$  cât și de derivatele sale (V.63):

$$(\bar{V}.63) \quad \Psi(\varphi, t) = \sqrt{N(\varphi, s, \dot{s}, \ddot{s})}$$

Cu această precizare ecuația integrală (V.61) capătă forma (V.64):

$$(\bar{V}.64) \quad S(\varphi, T) = S(\varphi, 0) - \frac{\sqrt{\omega}}{2\pi} \int_0^T N(\varphi, s, \dot{s}, \ddot{s}) dt$$

din care prin derivări succesive se obțin expresiile vitezei și accelerației modificate ca urmare a uzurii (V.65):

$$V(\varphi, T) = V(\varphi, 0) - \frac{\sqrt{\omega}}{2\pi} \int_0^T N'(\varphi, s, \dot{s}, \ddot{s}) dt$$

$$(\bar{V}.65) \quad a(\varphi, T) = a(\varphi, 0) - \frac{\sqrt{\omega}}{2\pi} \int_0^T N''(\varphi, s, \dot{s}, \ddot{s}, \ddot{\ddot{s}}) dt$$

În cazul derivărilor în raport cu unghiul  $\varphi$ , vitezele și accelerațiile reale se obțin prin simplificări cu  $\omega$  și  $\omega^2$ . Întrucât derivatele parțiale ale normalei  $N$  conțin derivate de ordin superior al deplasărilor  $s$ , vitezele și accelerațiile după un timp lung de funcționare depind și de supraaccelerațiile anterioare ceea ce justifică considerarea unor legi de profilare inițiale cu continuități chiar și pentru derivatele de ordin superior lui trei, ceea ce echivaloază cu limitări ale derivatelor de ordin trei. Acest lucru justifică afirmația potrivit căreia fenomenul relaxării cinematice are memoria parametrilor cinematici.

Derivând în continuu ecuația integrală în raport cu timpul total  $T$  se obține o ecuație diferențială cu derivate parțiale (V.66):

$$(\bar{V}.66) \quad \frac{\partial S(\varphi, T)}{\partial T} = - \frac{\sqrt{\omega}}{2\pi} N \left[ \varphi, s(\varphi, T), \omega \frac{\partial S(\varphi, T)}{\partial \varphi}, \omega^2 \frac{\partial^2 S(\varphi, T)}{\partial \varphi^2} \right]$$

căreia i se poate pune condiția inițială la  $T = 0$   $s = s(\varphi, 0)$ .



Ușurința rezolvării depinde de complexitatea formei încărcării din cupla superioară, care în unele cazuri ea însăși este soluția unei ecuații diferențiale neliniare, cu coeficienți variabili. Buneoară, încărcarea  $N$  poate fi constantă  $N = P = \text{ct.}$ , elastică  $N = cs$ ; forță de inerție  $N = ma$  sau compusă din cazurile anterioare  $N = P + cs + ma$ . Evident că plasarea încărcării într-una din situațiile de mai sus este precedată de un studiu prealabil al naturii ei.

Așa după cum ușor se poate constata, fenomenul uzurii este asociat oricărui proces funcțional și prin urmare nu se poate pune problema evitării sale. Ori complexitatea sa impune un anumit sistem de ipoteze încât modelul rezultat să se depărtează în unele cazuri considerabil de fenomenul real. De unde se vede că nu se poate recomanda un model matematic general. Cele la care s-au ajuns în capitolele anterioare reușesc să evidențieze ponderea influenței unor factori. O parte din concluziile la care s-au ajuns se cer să fi verificate experimental întrucât modelele prezentate doar se apropie de realitate.

#### V.5. Influența uzurii asupra dinamicii mecanismelor cu came plane

Deoarece uzura mecanismelor cu came influențează caracteristicile cinematice și duranța lor este necesară elaborarea unui studiu al modului în care aceasta se manifestă, considerându-se lanțul cinematic flexibil.

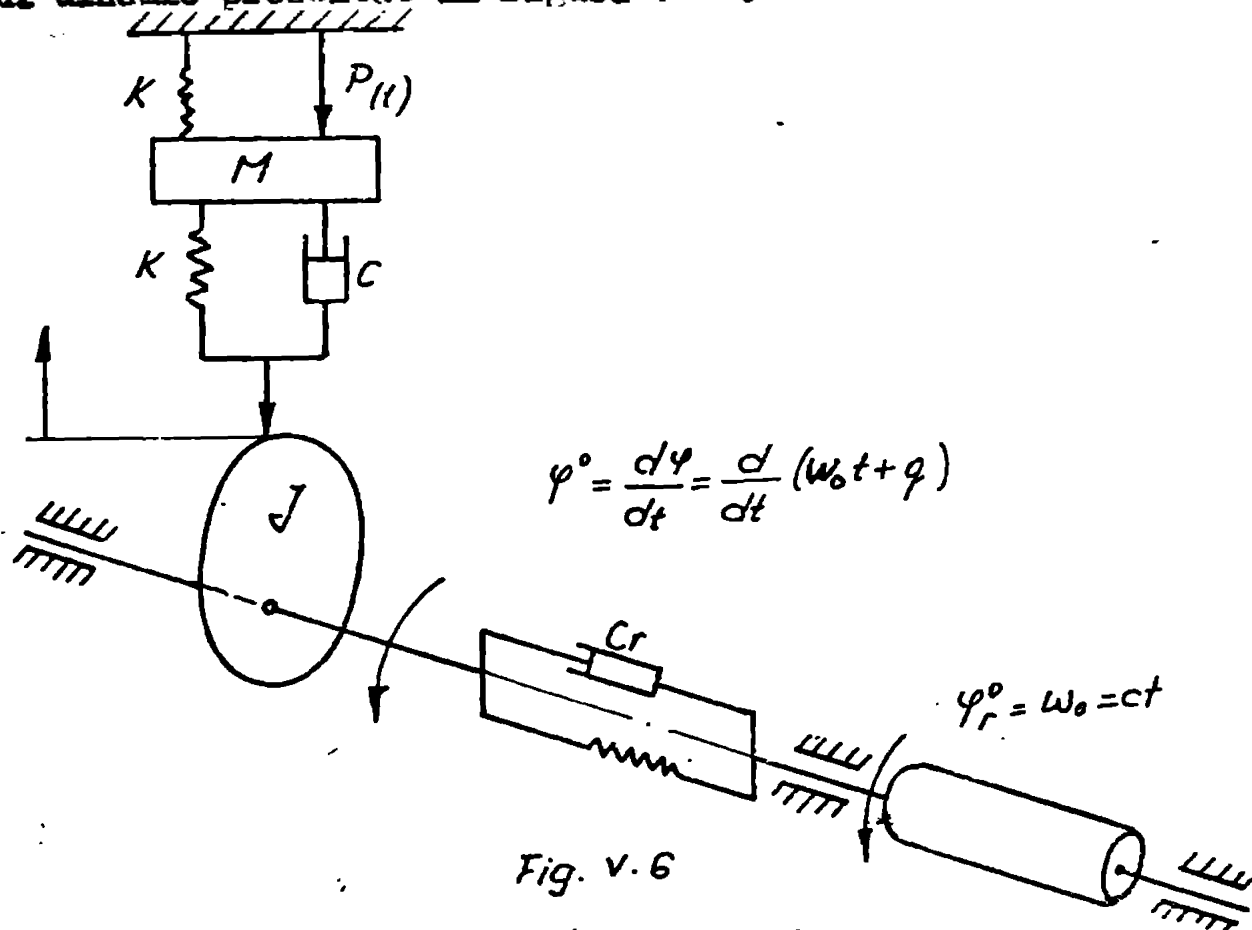
Oricare ar fi schemele cinematice ale unor mecanisme incluzând came în componența lor se poate adopta un sistem de ipoteze după cum urmează:

- se neglijează învelirea și abaterile de la rectilinitate
- masoale elementelor cu mișcări rectilinii se reduc la elementul executor, iar a maselor cu mișcări de rotație la nivelul camei
- forțele de amortizare se vor considera proporțio-

nale ou vitezele corespunzătoare

- rotația axului cu came se va presupune constantă, iar elasticitatea în cupla superioară se neglijează.

Mecanismul considerat, i se poate asocia modelul dinamic prezentat în figura V.6.



Notațiile au următoarele semnificații :

$\varphi_r^0$  și  $\varphi$  sînt unghiurile de rotație uniformă al axului cu camă respectiv, modificat de vibrațiile torsionale  $q$  ale maselor în mișcare de rotație.

$S(\varphi)$  este legea deplasării elementului executor redus la camă, modificată de aceleași vibrații torsionale. De menționat că valorile amplitudinilor vibrațiilor torsionale nu depășesc 0,5 rad și că de aceea funcția deplasării  $s(\varphi)$  și derivatele ei în ipoteza continuității lor pot fi dezvoltate în serie de puteri, conform relației (V.67):

$$S^{(n)}(\varphi) = S^{(n)}(\varphi_r) + S^{(n+1)}(\varphi_r)q + \frac{1}{2} S^{(n+2)}(\varphi_r)q^2 + \dots$$

$$(V.67) \quad \dot{S}(\varphi) = S'(\varphi_r)(\omega + q);$$

$$\ddot{S}(\varphi) = S''(\varphi_r)(\omega + q)^2 + S'(\varphi_r)\ddot{q}$$

unde  $x_1$  și  $q$  sînt deplasarea reală a masei  $M$  și respectiv amplitudinea vibrației torsionale.

$\Delta s$  este funcția uzurii și reprezintă modificarea în timp a legii deplasării elementului executor. Întrucît evidențierea riguroasă a modificării legii de deplasare a elementului executor este grea, deteriorarea traiectoriei executorului se poate aprecia numai în anumite ipoteze, cum s-a văzut în paragrafele precedente.

$\psi_1$  și  $\psi_2$  sînt unghiurile de frecare,  $s$  și  $\dot{s}$  deplasarea și viteza tehetului, iar  $P$  rezultanta forțelor exterioare aplicate tehetului.

$k_n$ ,  $K$  și  $k$  sînt constantele elastice a arborelui port-camă la răsucire, a lanțului cinematic antrenat în mișcare de translație și respectiv a elementului de asigurare a continuității lanțului cinematic în cupla superioară.

$c_n$  și  $c$  sînt coeficienții de amortizare a mișcării de rotație și respectiv de translație.

$M$  și  $J$  sînt masele elementelor cu mișcări de translație, redusă la elementul executor și respectiv moment de inerție al maselor aflate în mișcare de rotație redusă la camă.

Dacă se utilizează coordonatele adimensionale cunoscute, va facilita abstragerea concluziilor practice, atunci notînd cu  $x_1$  și  $x_2$  deplasarea longitudinală respectiv de rotație adimensionale, legătura acestora cu mărimile reale este rodată prin relațiile (V.68):

$$\begin{array}{lll}
 x_1 = X_1 \cdot s_0 & \dot{x}_1 = X_1' \cdot s_0 / t_0 & \ddot{x}_1 = X_1'' \cdot s_0 / t_0^2 \\
 \text{(V.68)} \quad x_2 = X_2 \cdot \gamma_0 & \dot{x}_2 = X_2' \cdot \gamma_0 / t_0 & \ddot{x}_2 = X_2'' \cdot \gamma_0 / t_0^2 \\
 s = y \cdot s_0 & \dot{s} = y' \cdot s_0 / t_0 & \ddot{s} = y'' \cdot s_0 / t_0^2
 \end{array}$$

unde  $t_0$  este timpul în care camă se rotește cu unghiul  $\psi_0$  corespunzător realizării cursei maxime  $s_0$  a elementului executor, iar deplasarea  $y$ , adimensională redusă la nivelul camăi.

Aplicînd pentru mișcările rectilinii (masa  $M$ ) teorema de variație a impulsului, iar pentru mișcările de rotație (masa de moment de inerție  $J$ ) teorema de variație a momentului cinetic și folosind relațiile (V.67), respectiv funcțiile uzurii și relația (V.68) se obține sistemul de ecuații diferen-

țiale în coordonate adimensionale care descriu mișcarea executorului (V.69):

$$\begin{aligned} X_1'' &= \omega_1^2 [(Y + Y'X_2) - X_1] + A_1 [(Y + Y'X_2)(1 + X_2') - X_1'] - F \\ (\bar{V}.69) \quad X_2'' &= -B_1 X_2' - \omega_2^2 X_2 - (Y + Y'X_2) \cdot B_2 [(Y + Y'X_2)(1 + X_2') - X_1'] - \\ &\quad - A_2 (X_1 - Y - Y'X_2) \end{aligned}$$

în care s-au făcut notațiile (V.70):

$$\begin{aligned} (\bar{V}.70) \quad \omega_1^2 &= (k + K)t_0^2 / M \approx Kt_0^2 / M \\ \omega_2^2 &= k_r t_0^2 / J \end{aligned}$$

că pulsații proprii adimensionale ale vibrațiilor longitudinale, respectiv torsionale.

$$A_1 = \frac{Ct_0}{M} \quad ; \quad B_1 = \frac{C_r t_0}{J}$$

coeficienți de amortizare adimensionali ai aceluiași vibrații.

$$A_2 = \frac{kS_0}{J\omega_0^2} \quad ; \quad B_2 = \frac{C\theta_0^2}{J\varphi_0\omega_0}$$

ca forță perturbatoare adimensională

$$F = P_0 t_0^2 M_S$$

constante adimensionale. Sistemul este de ordinul doi, neomogen, cu coeficienți variabili. Forma complicată a acestui sistem îi face rezolvarea accesibilă numai mijloacelor calculului automat.

Observația care se impune constă în faptul că soluțiile sistemului trebuie urmărite într-un interval mare de timp, ceea ce corespunde urmării variației soluțiilor pe un număr mare de cicluri, întrucît fenomenul uzurii își face efectul în timp, justificîndu-se astfel fenomenul relaxării cinematice a caracteristicilor mișcării executorului.

În cazul lanțurilor cinematice cuprînzînd cuple superioare, continuitatea menținerii cuplei prezintă o importanță deosebită ceea ce impune ca un criteriu de analiză a influenței uzurii asupra cinematicii executorului. În coordonate adimensionale condiția de continuitate se poate exprima prin inegalitatea (V.71):

$$(\bar{V}.71) \quad P = (Y + Y'X_2 - X_1) + A_1 [(1 + X_2')(Y + Y'X_2) - X_1'] / \omega_1^2 \geq 0$$

în care variabilele  $X_1$ ,  $X_2$ ,  $X_1'$ ,  $X_2'$  sînt afectate în timp de uzură a cuplei superioare.

## VI. CERCETARI EXPERIMENTALE PRIVIND TEHNOCINEMATICA MECANISMELOR CU CAME PLANE

### VI. 1. Standuri utilizate în cercetarea experimentală

Pentru aprofundarea cunoașterii fenomenelor legate de tehnocinematica mecanismelor cu came plane și pentru verificarea rezultatelor teoretice s-au făcut investigații experimentale pe standuri și aparatură adecvată scopului urmărit. S-a avut în vedere la conceperea acestor standuri să permită o gamă largă de determinări, variației a mărimilor interesate, cât mai aproape de condițiile reale de funcționare, prezentând în același timp posibilitatea reproducerii rezultatelor. De asemenea, în condițiile măsurării unor parametri s-a urmărit menținerea constantă a celorlalți, pentru a evita modificarea rezultatelor din motive ce nu țin de funcționarea propriu-zisă.

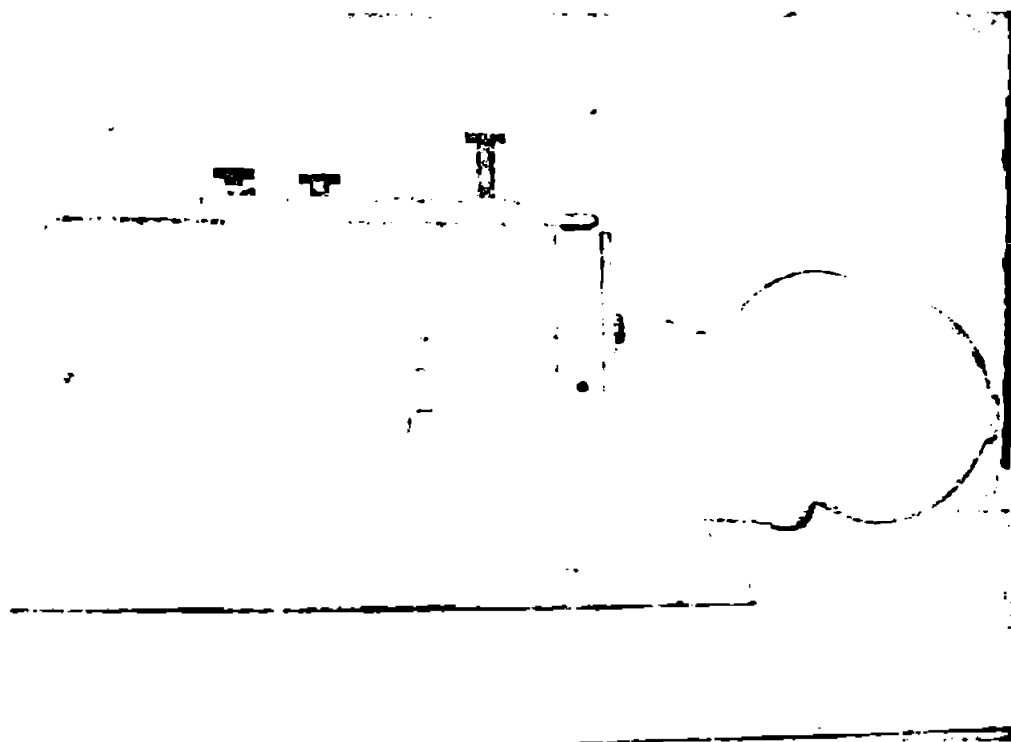


Fig.VI.1.

Deoarece scopul urmărit de cercetarea experimentală a fost de a verifica rezultatele teoretice obținute, care urmăneau aspecte cinematice, măsurătorile au fost efectuate pe came cu profil în Epurală arhimedice. Legile de profilare ale camelor sunt foarte diferite, alegerea lor făcându-se în funcție de rolul pe care mecanismul cu came îl are în ansamblul proiectat.

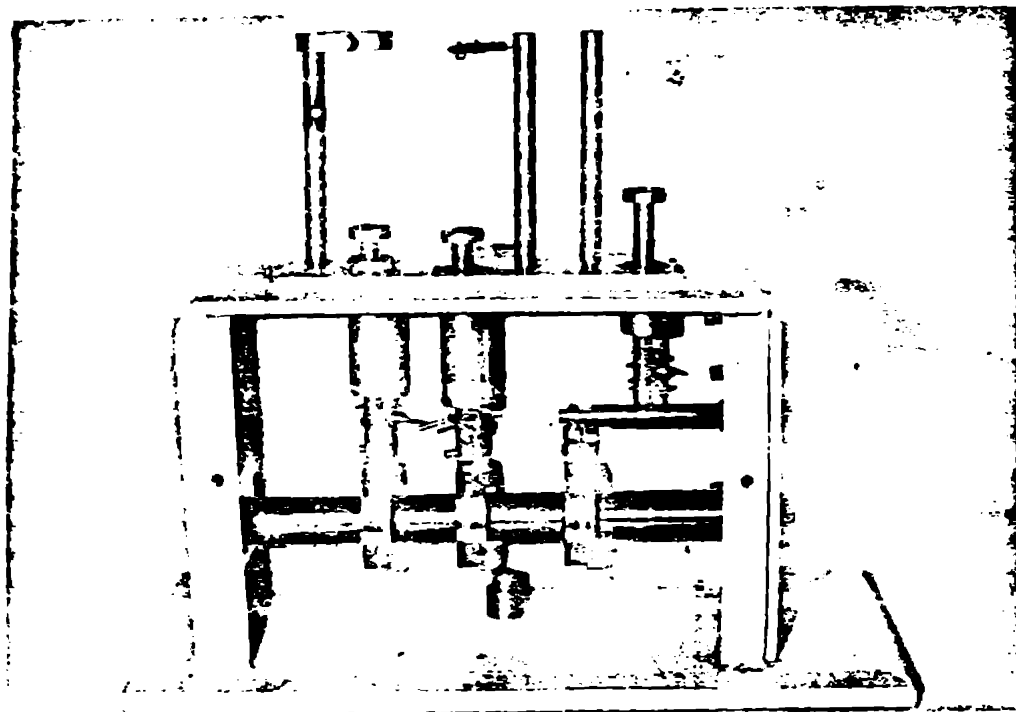


Fig.VI.2.

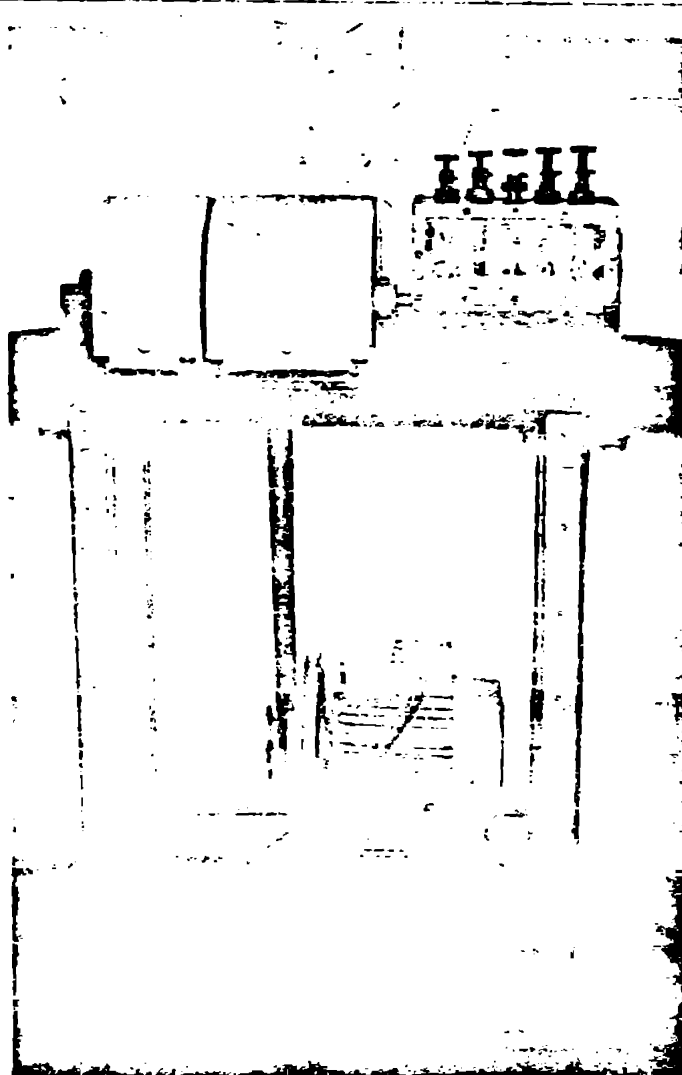


Fig.VI.3.

precum și din sevăre considerente dinamice. Din punct de vedere al preciziei funcționării, fără solicitări ce ar proveni din flexibilitatea lanțului cinematic, în condiții de încercări uniforme ale mecanismului cu came, legea de profilare nu intervine cu influențe ce ar face necesară variația ei în cercetările experimentale, rezultatele calitative obținute fiind în principiu aceleași.

Standul I (Fig.VI.1) servește la determinarea experimentală a erorilor

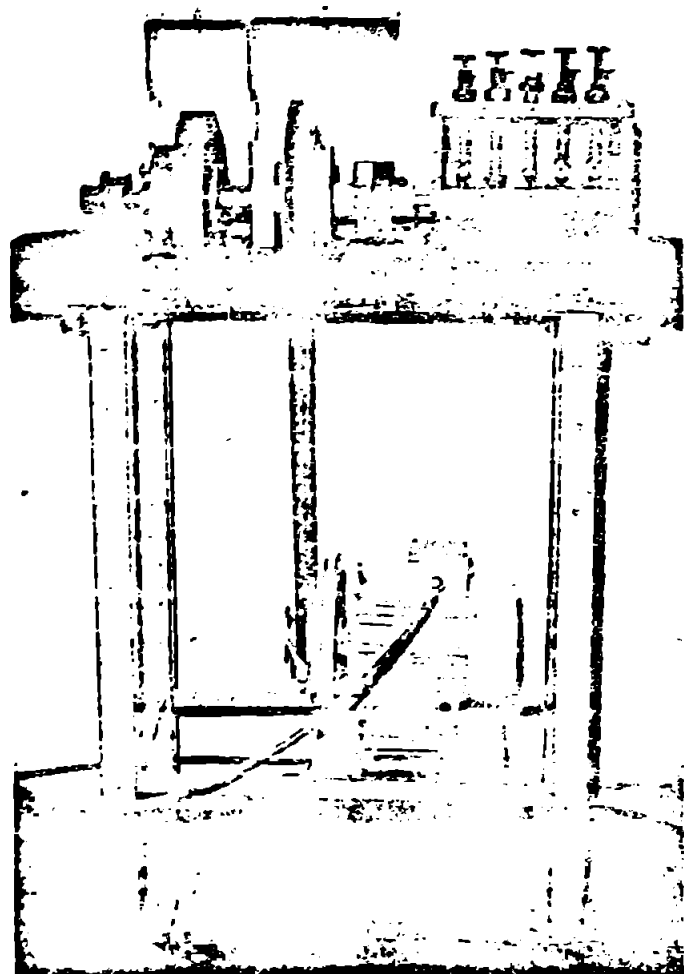


Fig.VI.4.

cinematice a trei tipuri de mecanisme cu came de rotație: tchet oscilant, tchet de translație, centric și excentric. Are posibilitatea de a înlocui ușor omele prin demontarea simplă a flășei laterale pe care este prins motorul electric de curent continuu prin intermediul unui cuplaj elastic cu bolțuri. Motorul electric are două trepte de rotații, de 24 rot/min și 60 rot/min. Standul permite variația forței de apăsare pe tchet prin reglarea săgeții arcurilor. Toți tchetii sînt prevăzuți cu role, deoarece ele sînt surse de

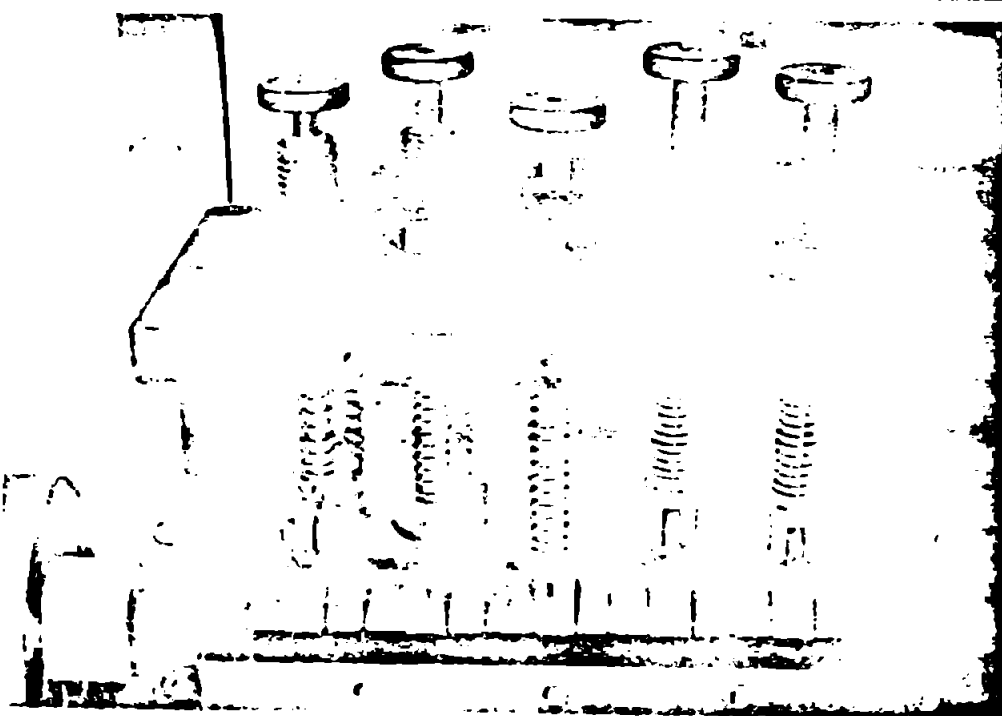


Fig.VI.5.

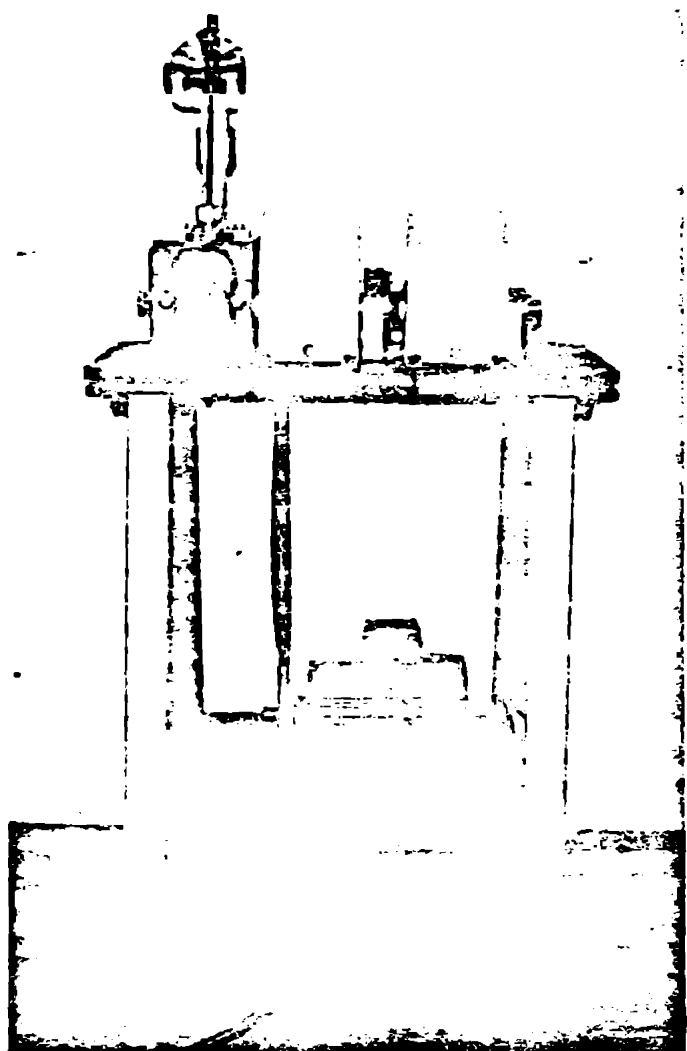


Fig.VI.6.

erori și neglijarea lor modifica considerabil rezultatele.

Tachetii au la partea superioară câte o talpă plană rectificată pentru a putea aplica pe ei traductori de tipul accelerometrelor sau traductori inductivi fără contact de deplasări. Pentru prinderea lor s-au prevăzut tije cu coliere deasupra tachetilor, după cum se poate observa în figura VI.2.

Construcția compactă, de gabarite mici, face ca standul să poată fi manevrat comod și să poată fi introdus pentru măsurători pe aparate de măsurare corespunzătoare.

Standul II, prezentat în figura VI.3. servește studiului comportării mecanismelor cu came la uzare. Este alcătuit dintr-un batiu, motor electric trifazic pentru antrenare și cutia mecanismelor cu came.

Transmiterea mișcării de la motorul electric se realizează prin curea și prin roți de curea de diametre diferite pentru obținerea mai multor turații de lucru. Axul cu came are la un capăt un sistem de volanți pentru uniformizarea mișcării de rotație (fig.VI.4). Socul motorului electric permite reglarea întinderii curelei trapezoidale.

Cutia mecanismelor cu came conține cinci tipuri de mecanisme cu came, toate capetele fiind de rotație. Variația presiunii de contact dintre comă și tachet (rolă) se realizează prin intermediul variației săgeților arcurilor de compresiune



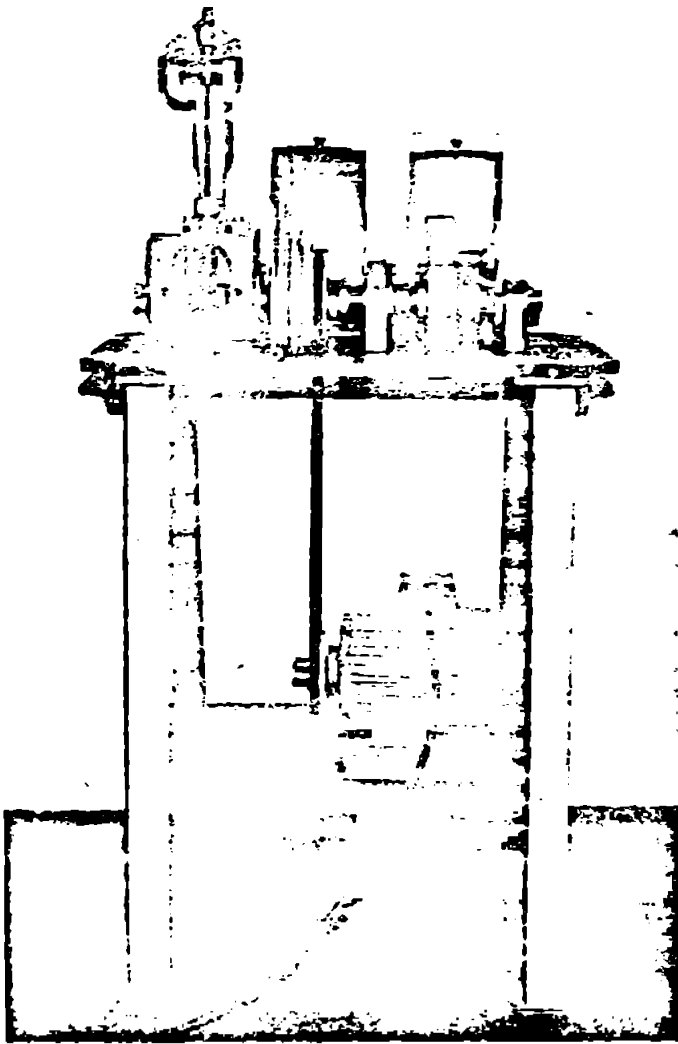


Fig.VI.7.

ce asigură contactul permanent dintre ele. Mecanismele cu came pot funcționa în stare uscată sau lubrifiate, deoarece cutia mecanismelor cu came poate fi închisă etanș, după cum se poate observa din figura VI.5.

Standul III. (fig.VI.6) servește studiului funcționării lanțurilor cinematice ce conțin ca elemente de comandă mecanisme cu came. Construcția standului este asemănătoare cu cea precedent, cutia mecanismelor fiind diferită, deoarece are un singur mecanism cu camă de rotație și cu tchet de translație, legat la o diadă (fig.VI.7).

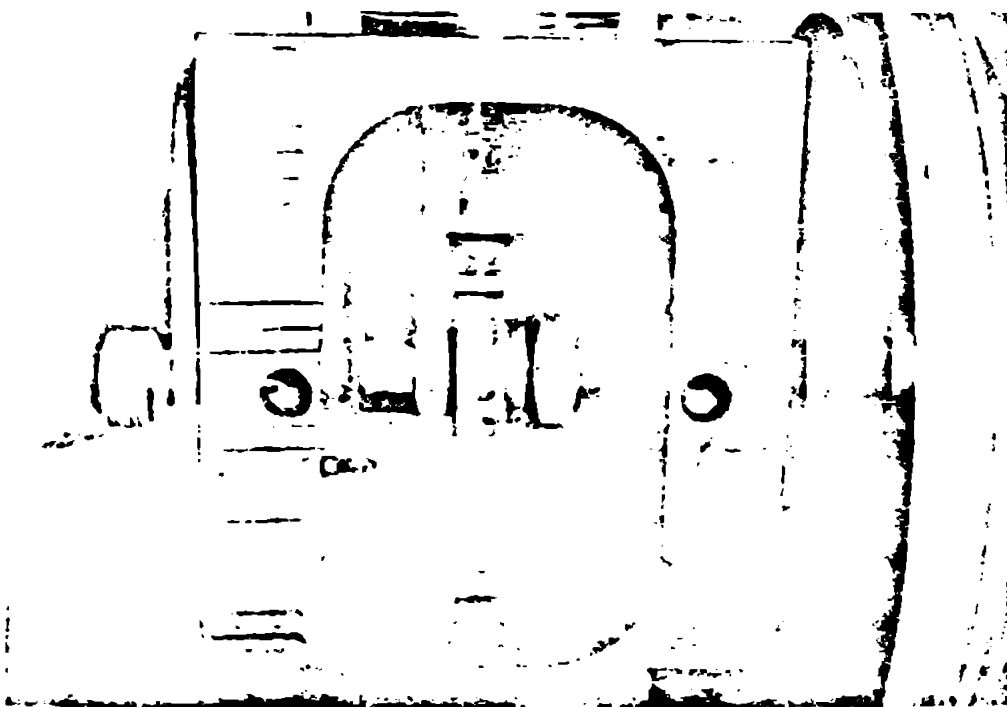


Fig.VI.8.

Tachetul poate fi cu tolpă plană sau cu rolă, în funcție de scopul urmărit (fig.VI.8).

Pe acest stand s-au făcut determinări de viteze și accelerații, rezultatele obținute fiind puternic influențate de flexibilitatea lanțului cinematic, semnalele fiind supra-puse.

Cele trei standuri au permis studiul experimental în condiții apropiate de cele reale ale funcționării mecanismelor cu came plane, precum și compararea rezultatelor teoretice cu cele obținute experimental.

#### VI-2. Cercetări experimentale vizând precizia deplasării tachetului

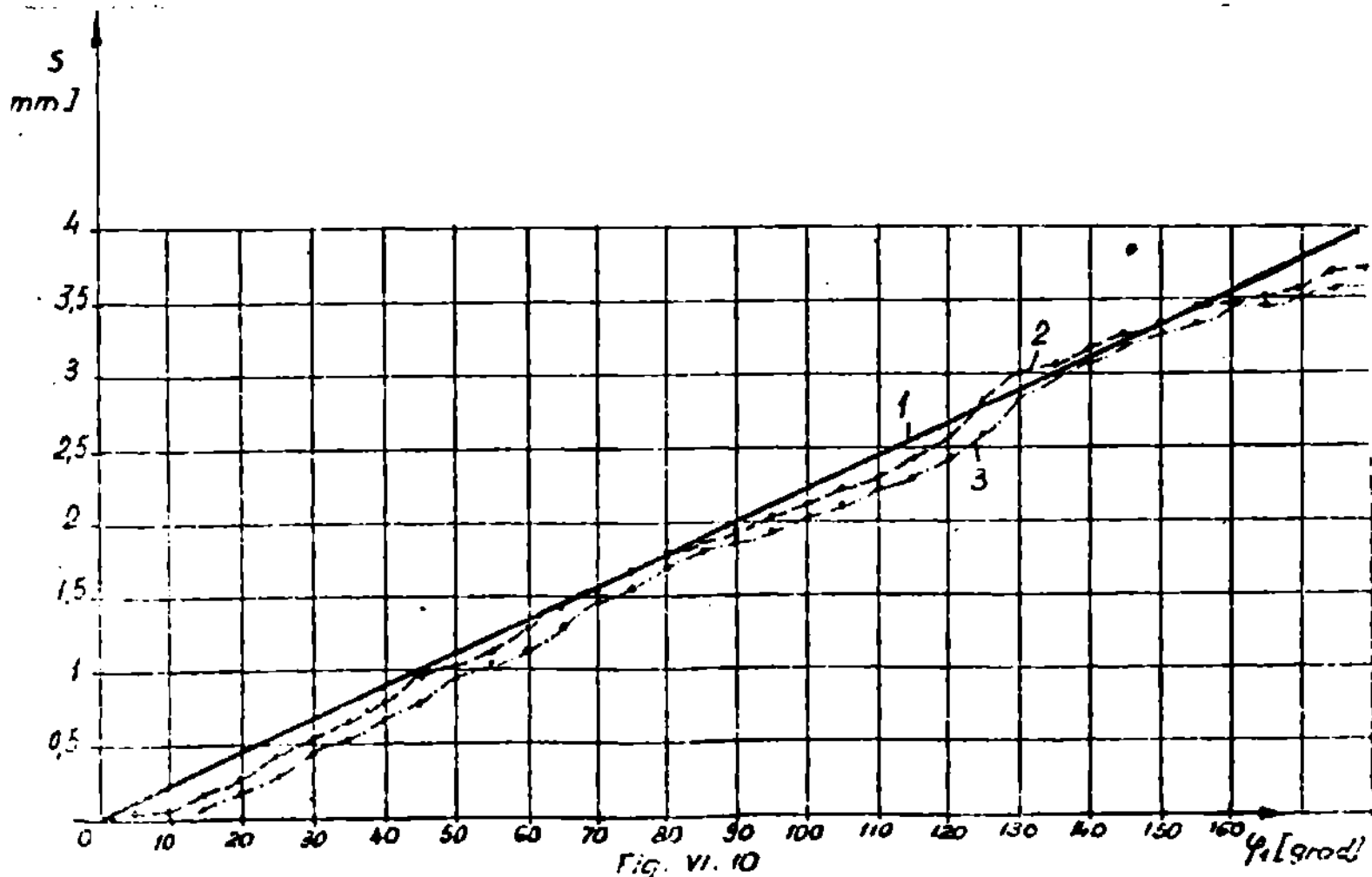
Calculule teoretice efectuate în vederea stabilirii preciziei cinematice ale mecanismelor cu came plane urmăresc influența erorilor tehnologice ale fiecărui element component al mecanismului. Deoarece tachetul cu abaterea tehnologică pe care o are lungimea lui, nu are variație de-a lungul unui ciclu cinematic, în calculul erorilor absolute ecstea s'ar ca mărimi constante. Variații în decursul unui ciclu



Fig.VI.9.

cinematic prezintă profilul camei, deoarece legea de profilare, spirala arhimedică în cazul analizat, este urmărit în timpul execuției prin discretizare în puncte, de aceea se impune determinarea valorilor razelor polare ale camei cât mai aproape de cele efective.

Măsurătorile profirurilor cameilor s-au efectuat pe microscopul universal fabricat de VEB Carl Zeiss Jena, deoarece asigură o precizie de  $1 \mu\text{m}$ , iar cu ajutorul accesoriilor de care dispune s-a putut face o divizare cu precizia de 1 minut (fig.VI.9). Centrarea camei pe masa rotativă s-a efectuat cu ajutorul unui bolț conic, după ce cu firele reticulare ale ocularului s-a materializat centrul mesei. Valorile măsurate au fost transformate prin diferență în deplasări și s-au figurat pe diagrame de tipul celei din figura VI.10, curba 3. În general, erorile de execuție, precum și toleranțele prescrise pentru came sînt în minus, valori apropiate de cele



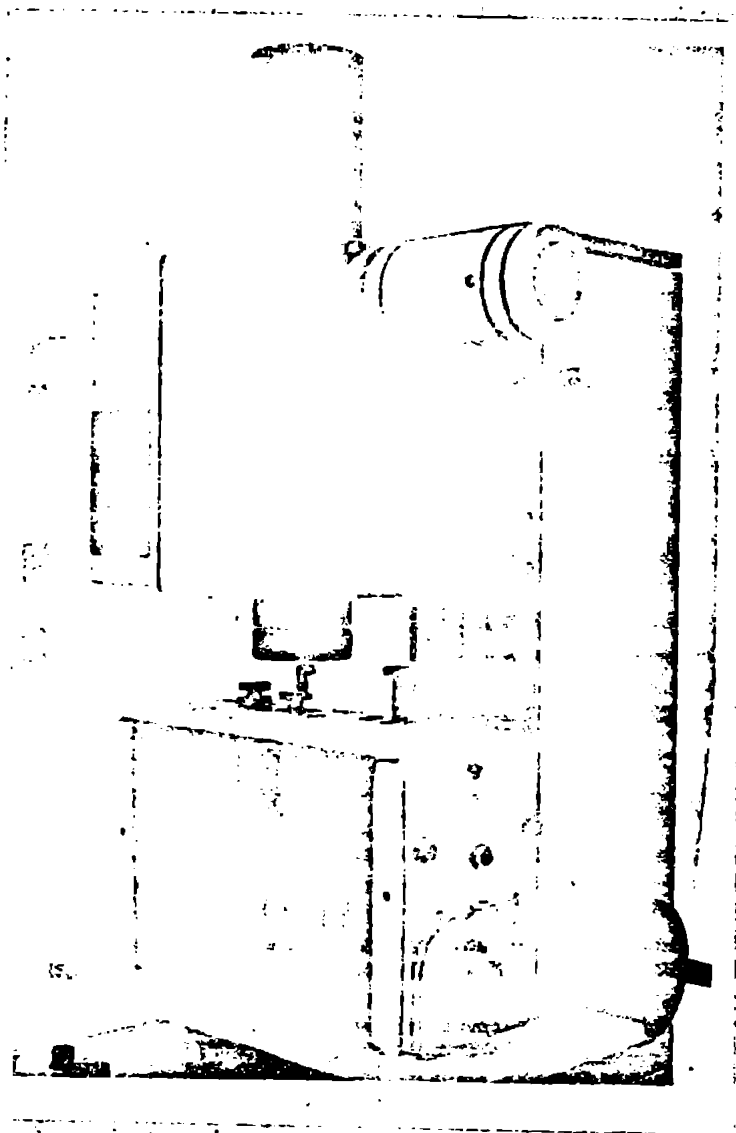


Fig.VI.11.

efective fiind cele măsurate la microscop.

Deplasările reale ale tchetului s-au măsurat cu ajutorul comparatorului Abbe vertical pentru lungimi, tip PO1, cu proiecție pe ecran, fabricat de VEB Carl Zeiss Jena, cu precizia de 1  $\mu$ m, având domeniul de măsurare 0-200 mm. (fig. VI.11.). Valorile măsurate au fost înscrise în diagrama din figura VI.10, obținând curba 2. Curba 1 reprezintă diagrama deplasării teoretice a tchetului mecanismului nominal. Se precizează că în figura VI.10. curbele obținute

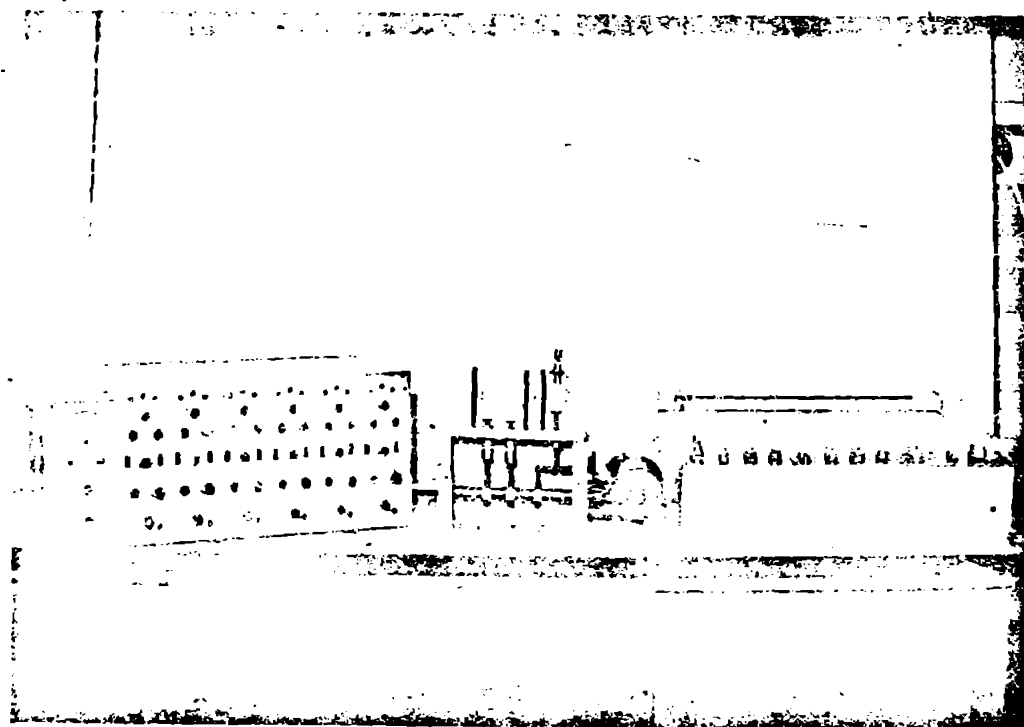


Fig.VI.12.

pot fi comparate deoarece măsurătorile s-au făcut pe un mecanism cu tachet de translație centric, deci valorile absolute ale deplasărilor sînt reprezentabile la aceeași scară.

Valorile abaterilor de poziții calculate teoretic așează curba de mișcare a tachetului între curbele 2 și 3 și nu s-a trasat pentru a nu încălca diagrama. Se mai remarcă paralelismul (aproximativ) al curbelor 2 și 3, care provine din măsurarea unor valori reale influențate doar de jocul din rolă, abaterile de dimensiuni ale rolei și tachetului și care printr-un reglaj inițial (translația curbei reale către stînga, pînă în origine) conduc pe tot parcursul ridicării la erori mai mici, dar se reduce unghiul de ridicare și se mărește abaterea în punctul de capăt al cursei.

Erorile de deplasare ale tachetului în timpul funcționării mecanismului se pot obține prin trasarea diagramei de deplasare reale comparată cu cea teoretică. Montajul folosit cuprinde standul I din figura VI.1, pe care sînt montați traductorii, o punte tensometrică cu șase canale N 2302, un inscriptor X-Y sau în cazul vitezelor de funcționare mari, un oscilograf cu spot luminos, prezentat în figura VI.12. S-au folosit traductori inductivi Tr 102 - fără contact, fabricație de firma Hottinger. Etalonarea traductorului s-a făcut cu ajutorul celorlalte plan-paralele și ceas comparator, rezultînd diagrame de etalonare de tipul celei din figura VI.13.

Cu ajutorul montajului din figura VI.12 s-au trasat diagramele din figura VI-14, curba deplasării reale trasată de inscriptorul X-Y este notată cu 2, iar diagrama deplasării rezultată prin calcule este curba 3. Se observă că dacă se face un reglaj inițial, curbele 2 și 3 sînt aproape confundate. Curba 1 reprezintă diagrama deplasării teoretice.

Determinările făcute cu astfel de montaj în cazul standului III (fig. VI.6), în condiții de viteze mari, s-au condus la diagrame de tipul celei din figura VI.14. Măsurînd încă vitezele și accelerațiile s-au obținut diferențe mai mari față de valorile calculate, deoarece în condițiile vitezelor apar influențe mari din cauza forțelor de inerție, a vibrațiilor care se suprapun peste mișcarea principală. Se precizează,

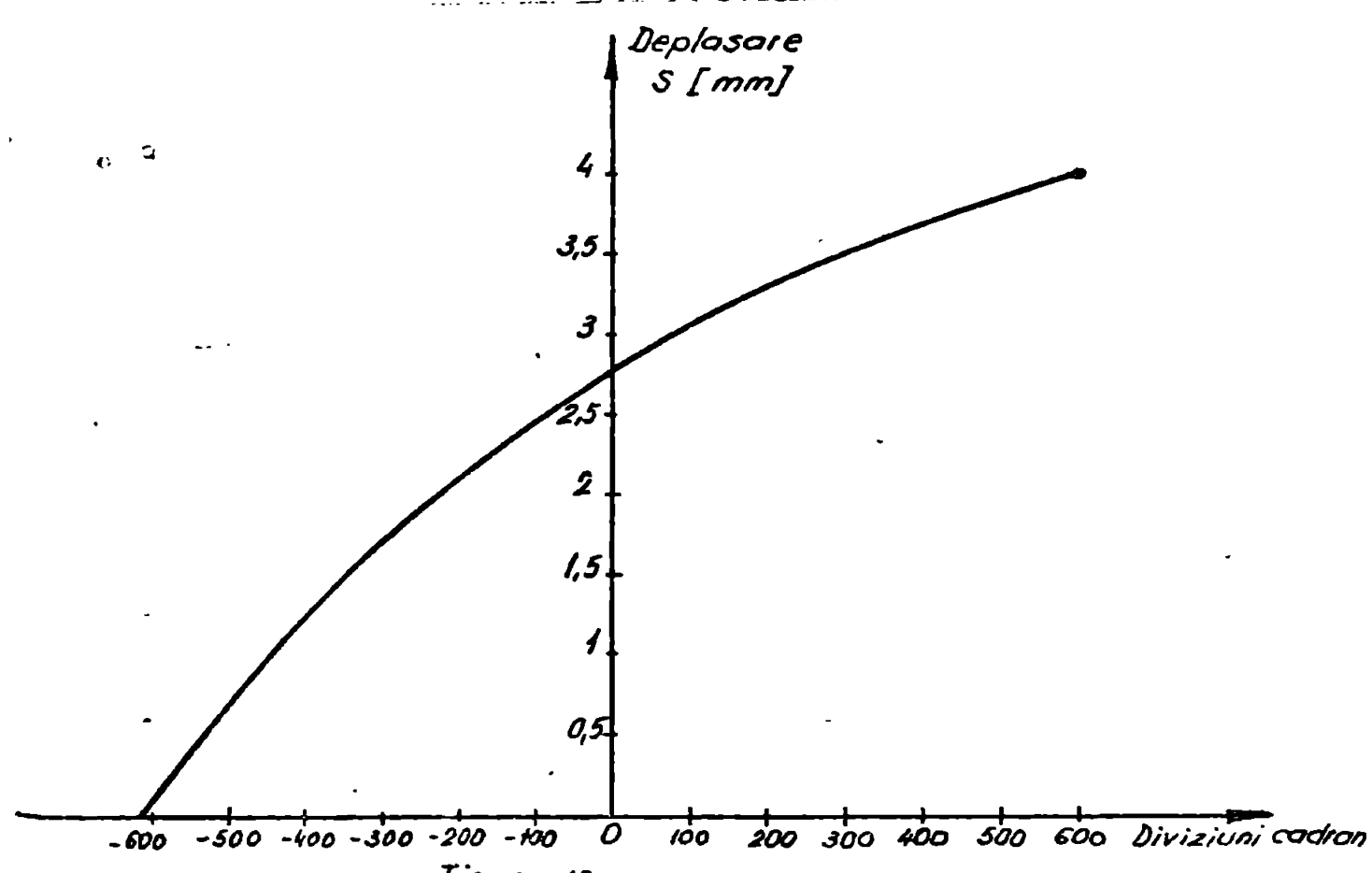


Fig. VI. 13

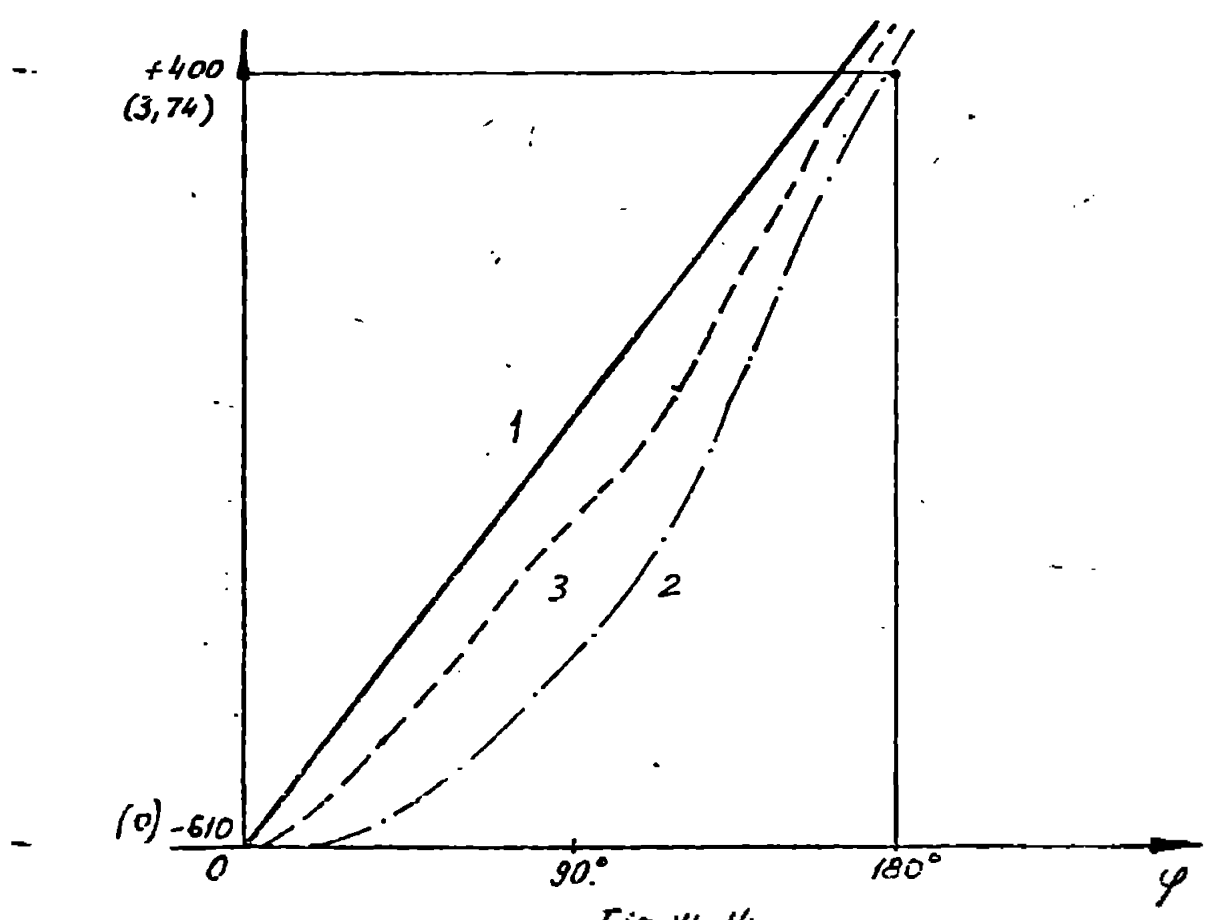


Fig. VI. 14

că în domeniul vitezelor reduse s-au obținut diferențe mult mai mici, tehnologic neglijabile.

Se poate deduce, că dacă pentru deplasări valorile

calculate sînt aproape identice cu cele măsurate, pentru viteze și accelerații fenomenul dinamic devine inseparabil de cel cinematic, influențînd rezultatele. Se apreciază totuși, că valorile erorilor de viteze și accelerații calculate aproximează foarte bine situația reală la regimuri de funcționare mai lente și oferă o imagine calitativă asupra erorilor de viteze și accelerații la mecanismele cu came care funcționează în regim dinamic intens.

### VI.3. Cercetări experimentale privind uzura mecanismelor cu came nitrurate în plasmă

După cum s-a arătat în capitoul precedent, tratamentele termice și termochimice măresc considerabil rezistența la uzură a materialelor metalice. Nitrurarea și în special nitrurarea în plasmă (nitrurarea ionică) este una din tehnologiile moderne, care în ultimii ani s-a răspîndit foarte mult în întreprinderile din țară și străinătate și care conferă suprafețelor corpurilor ce realizează o cuplă de frecare rezistență mare la uzură fără a afecta rezistența la oboseală a materialelor în contact.

Nitrurarea ionică este un procedeu de saturare superficială a produselor din oțel sau fontă cu azotul furnizat de plasma produsă prin descărcarea luminiscentă anormală în gaze rarefiate care conțin azot (azot molecular, amoniac, amestec de azot molecular și hidrogen, azot molecular cu hidrogen și gaze rarefiate, cu diferite presiuni parțiale ale azotului).

Pentru a realiza nitrurarea cu azot al materialului din stratul superficial al produselor din oțel și fontă se utilizează ca medii active, gaze care conțin azot. Piesele se așază pe dispozitive și se leagă la catodul generatorului de curent continuu, iar carcasa recipientului etanș constituie anodul. În acest context, fiecare piesă este înconjurată de o zonă de descărcare catodică. În plasmă descărcării catodice se produc o serie de fenomene a căror rezultată o constituie saturarea stratului superficial al piesei (catodului). ( Fig.VI.15).

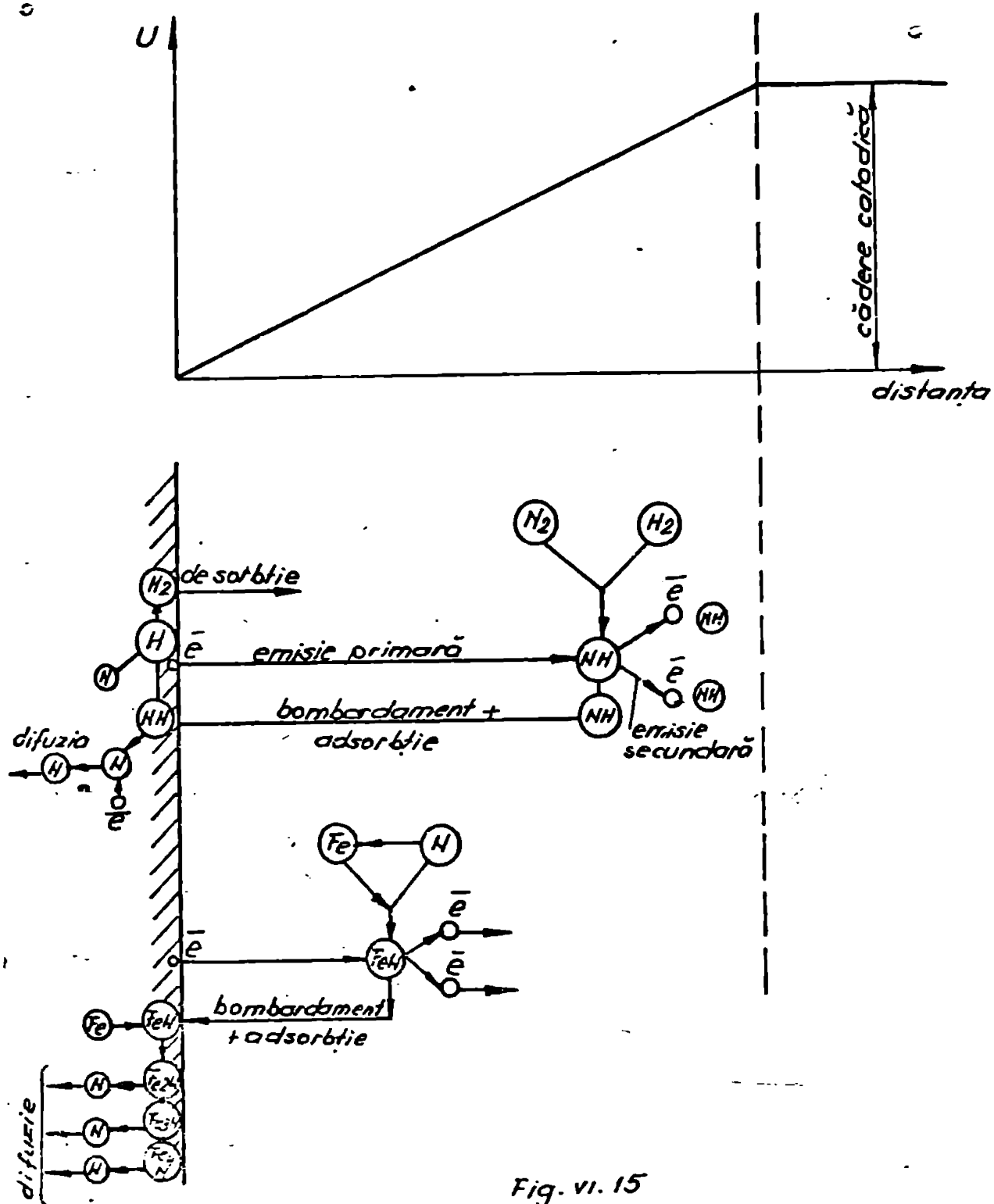


Fig. vi. 15

a) Emisia electronică primară în care electronii de valență ai catodului capătă energii superioare energiei de extracție a electronilor și părăsesc suprafața catodului.

b) Ionizarea și emisia electronică secundară. Părăsind suprafața catodului, electronii ajung în zona căderii catodice, sînt accelerați și lovind molecule de gaz situate în apropierea catodului le ionizează. Rezultatul ionizării fi



constituie moleculele de gaz încărcate cu sarcină pozitivă, care sînt accelerați în spațiul căderii catodice și se deplasează spre catod și electroni produși în urma emisiei secundare. Acești electroni sînt încă în zona catodică cînd sînt accelerați fiind capabili printr-o reacție în lanț să ionizeze în continuare molecule de gaz.

c) Bombardarea catodului. Moleculele ionizate și accelerate lovesc catodul, în urma bombardamentului pierzînd energia cinetică care este consumată în continuare pentru creșterea agitației termice a atomilor metalului, deci pentru încălzirea catodului la temperaturi de  $400-550^\circ\text{C}$ , nefiind nevoie de surse exterioare de căldură. Moleculele ionizate cedează energia cinetică și pentru adsorbția moleculei de gaz la suprafața catodului, precum și pentru deformarea rețelei cristaline a catodului ca urmare a impactului și dislocarea de atomi ai catodului. Se remarcă faptul că datorită acestei energii molecule ionizate în plasmă descărcării luminescente este mult mai ușor adsorbită în comparație cu molecule de gaz la nitrurarea clasică, iar defectele de rețea favorizează difuzia azotului adsorbit.

d) Reacții chimice. În zona căderii catodice, energiile mari ale componentelor plasmă (atomi, molecule ionizate, electroni) favorizează producerea unor reacții chimice care sînt aproape imposibile de imaginat în cazul nitrurării clasice în amoniac. Astfel sînt reacțiile de formare a radicalilor  $\text{NH}^\bullet$ ,  $\text{NH}_2^\bullet$ ,  $\text{NH}_3^\bullet$  sau a nitrurii de fier  $\text{FeN}$  din atomi de fier rezultați din pulverizare catodică, care explică accelerarea proceselor de adsorbție și difuzie ale azotului la nitrurarea în plasmă, comparativ cu nitrurarea în gaz precum și activitatea crescută a surselor de nitrurare utilizate.

Nitrurarea ionică se caracterizează prin mari și multiple posibilități de reglare a caracteristicilor dimensionale și în special structurale ale stratului cementat. Acest lucru se justifică în primul rînd prin gama mai largă a parametrilor tehnologici, care în afara parametrilor termici și temporali caracteristici oricărui proces termochimic, mai cuprînd parametri chimici, compoziția și presiunea atmosferei

utilizate, și electrice - tensiunea aplicată și intensitatea curentului de descărcare și în al doilea rând prin multitudinea și complexitatea fenomenelor care au loc în plasmă și în special la interfața metal-plasmă și a căror intensitate de asemenea poate fi reglată.

Marele avantaj pe care îl prezintă nitrurarea în plasmă în comparație cu nitrurarea în gaz îl constituie posibilitatea controlului și reglării în limite mult mai stricte a potențialului de azot, ceea ce dă posibilitatea obținerii în stratul superficial a compusului  $\gamma'$  cu caracteristici de rezistență și tenacitate superioare compusului  $\epsilon$ . Menținerea unor potențiale termodinamice corespunzătoare unor concentrații ale azotului cuprinse în intervalul a 0,4 % se poate realiza prin asigurarea unui anumit raport între intensitățile de producere a fenomenelor de adsorbție și de pulverizare catodică. Astfel, intensitatea adsorbției crește cu creșterea presiunii, deci a numărului de particule active, și a tensiunii de descărcare, în timp ce intensitatea procesului de pulverizare catodică crește cu scăderea presiunii și creșterea tensiunii.

La rândul ei, temperatura de nitrurare crește cu creșterea presiunii și tensiunii de descărcare, și fiind rezultatul încălzirii prin bombardament, depinde și de caracteristicile geometrice ale produsului supus încălzirii. O încălzire uniformă din punct de vedere al temperaturii poate fi asigurată numai prin realizarea unor încălzături uniforme din punct de vedere al caracteristicilor dimensionale.

Din cele arătate rezultă că pot fi considerați ca parametri independenți ai procesului compoziția și presiunea gazului și tensiunea de descărcare, ceilalți parametri fiind rezultatul valorilor absolute sau interacțiunilor factorilor independenți.

Alegerea presiunii de lucru se face ținând seama de forma și dimensiunile produsului supus prelucrării, temperaturile care trebuie realizată, de structura stratului și stabilitatea descărcării. Această ultimă condiție se referă la faptul că creșterea presiunii peste o anumită valoare duce

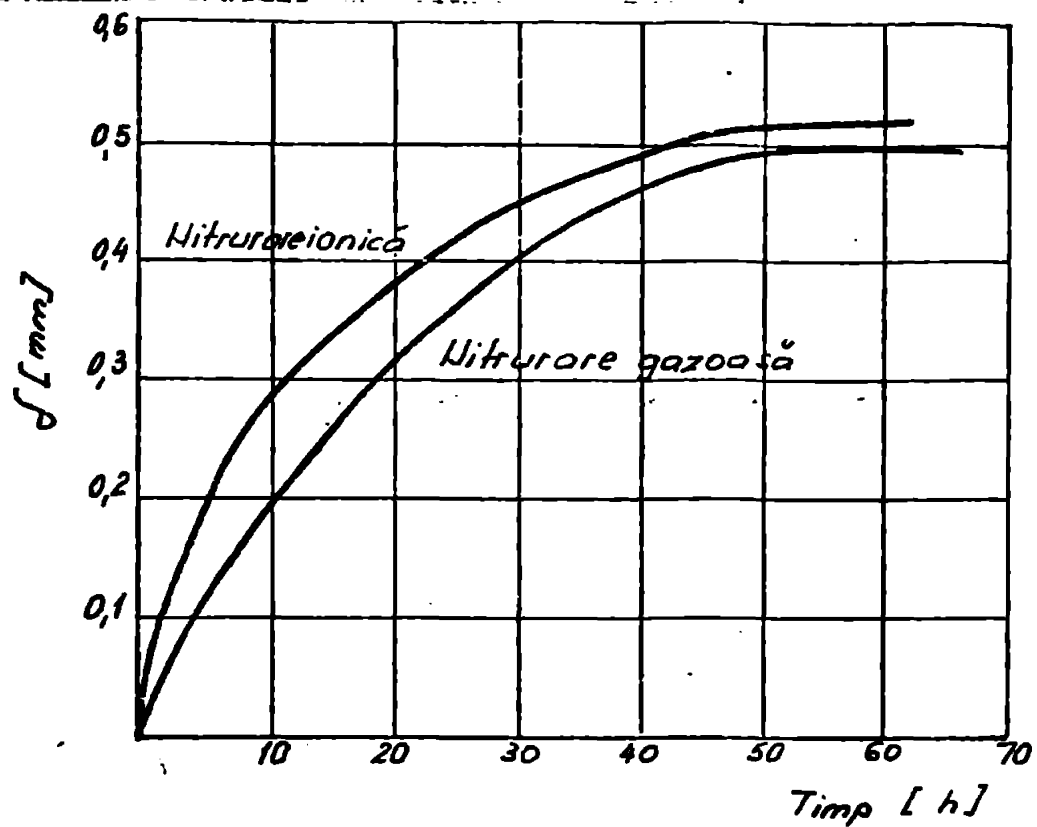


Fig. VI.16

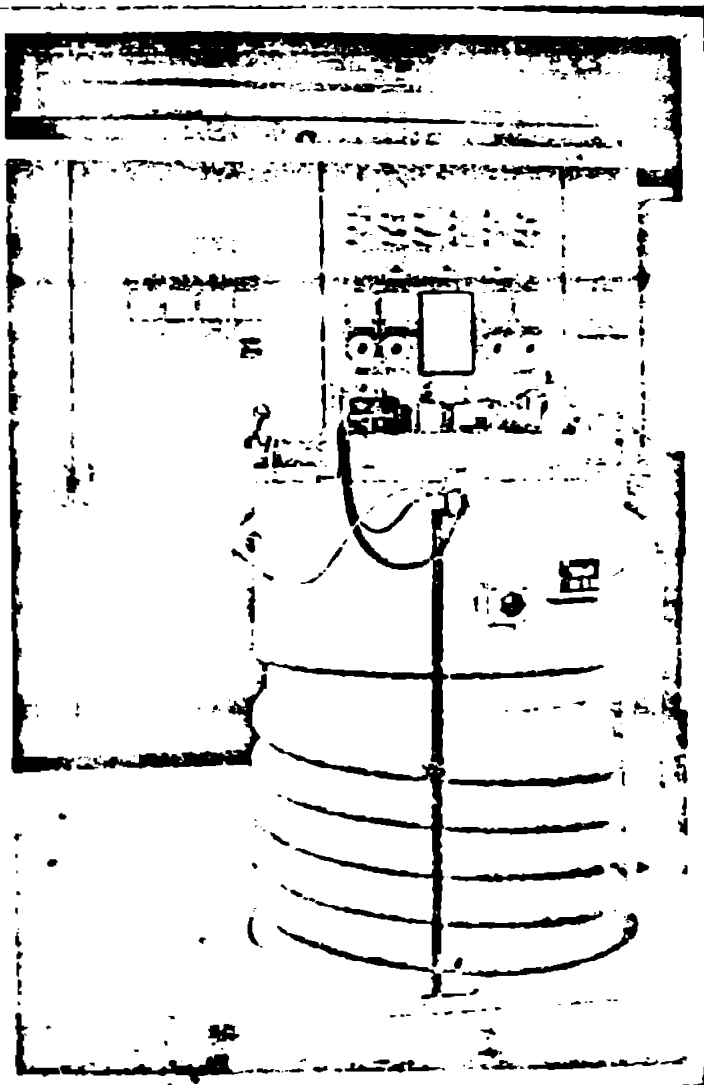


Fig. VI.17

la trecerea descărcării enorme în descărcarea în arc.

Adâncimea stratului nitrurat în plasmă este ea și la nitrurarea în gaz dependent și de durata de menținere. Fatoarea particularităților scintite privind procesele care au loc în plasmă și la interfața metal-plasmă, pentru adâncimi de strat cuprinse între 0,3-0,4 mm prin nitrurarea ionică viteza de creștere a stratului este superioară vitezei de nitrurare în gaz (Fig. VI.16.). Se precizează că în general

nitrurarea se face pe adâncimi sub 0,3 mm și pentru valori mici viteza este cu mult mai mare decât la nitrurarea normală în gaz. Pentru valori mari ale adâncimii de nitrurare cele două procese sînt comparabile.

Nitrurarea ionică își manifestă superioritatea față de nitrurarea în gaz și prin calitățile superioare ale stratului cementat, privind duritatea superficială, gradul de compactitate, rezistența la oboseală prin încovoiere și în special prin presiune de contact.

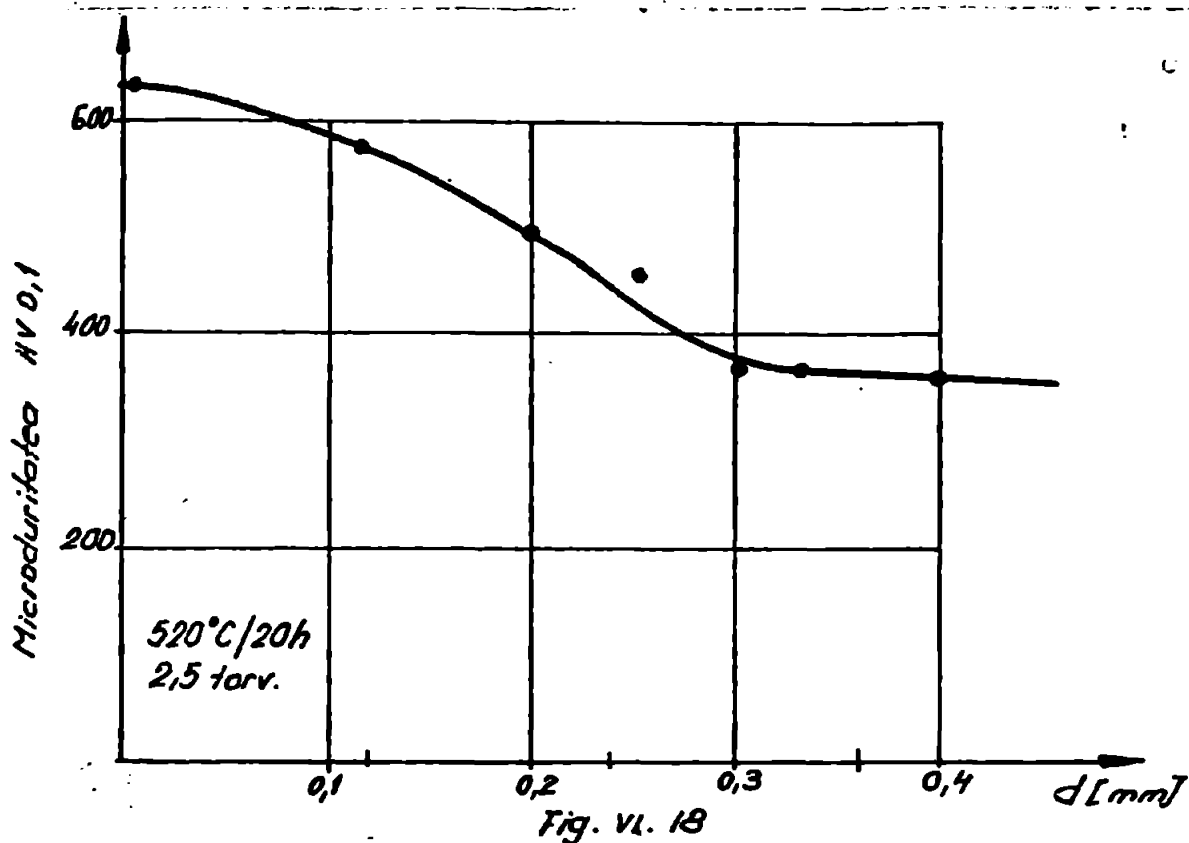
Cercetările experimentale privind proprietățile în funcționare ca și cuple superioare ale unor materiale metalice tratate termochimic prin nitrurare ionică nu au vizat oțelurile carbon (de calitate sau de scule) deoarece tratamentul termochimic amintit a acestora nu determină proprietăți care să se ridice la nivelul celor oferite de oțeluri cu elemente care formează nitruri dure și stabile. În acest sens au fost studiate prin metodele metalografice obișnuite perechi de corpuri cano-tachet (rolă) executate din fontă cu grafit nodular Fgn 600-2 STAS 6071-75, oțel rapid Rp 3 STAS 7382-80, precum și oțel 41 MoCr 11, STAS 791-80, tratate toate prin nitrurare ionică. Ca lege de profilare ale camelor s-a ales legea liniară, de viteză constantă, cu profil în spirală arhimedică, deoarece sînt în general mai ușor de executat, iar variația legii de profilare nu modifică aprecierile calitative și cantitative privind comportarea diferitelor materiale tratate termochimic în cuple superioare.

Tratamentul termochimic de nitrurare ionică s-a efectuat într-o instalație de tip S-O 750x4500 (Klückner Ionon GmbH) avînd puterea instalată 280 KVA (fig.VI.17). Instalația se compune din următoarele părți principale: recipientul propriu-zis, sistemul de vacuizare, sistemul de alimentare și dozare cu gaz dissociat, instalație electrică de forță, comandă, supraveghere și reglaj.

a) Cuplă superioară din fontă cu grafit nodular Fgn 600-2 STAS 6071-75.

Deși proprietățile fazelor determinate de nitrurarea aliajelor Fe-C nu se ridică în general la niveluri

deosebite, s-a considerat totuși util cercetarea experimentală a fontei cu grafit nodular Fgn 600-2 căreia nitrurarea ionică să-i confere o rezistență sporită la uzare și coroziune. Nitrurarea s-a efectuat în amoniac disociat la temperatura de



520°C și o presiune de lucru de 2,5 torr. Deoarece materialul este supus în special la uzare prin fricțiune (alunecare și rostogolire) stratul de difuzie joacă un rol mai puțin important, urmărindu-se obținerea unui strat de combinație (superficial).

Curba de variație a microdurității în funcție de distanța de la suprafață este prezentată în figura VI.18.

Determinările de microduritate s-au efectuat numai în masa perlitică. Microstructural stratul de combinație a avut o grosime de cca 10  $\mu$ m (preponderent în amestec cu  $\epsilon$ ), urmat în adâncime de un strat de difuzie cu o grosime de cca 0,25 mm.

Încercările la uzare s-au efectuat pe standul II, prezentat în paragraful VI.1, figura VI.3, pe un număr de cincisprezece sau douăzeci de cicluri cu rolă sau cu talpă, confecționați din material dur, oțel rapid Rp 3, nitrurat ionic, având duritatea stratului superficial în jur de 1200 HV. Uzura s-a măsurat prin pierderea de greutate a cotelor după un număr de cicluri de

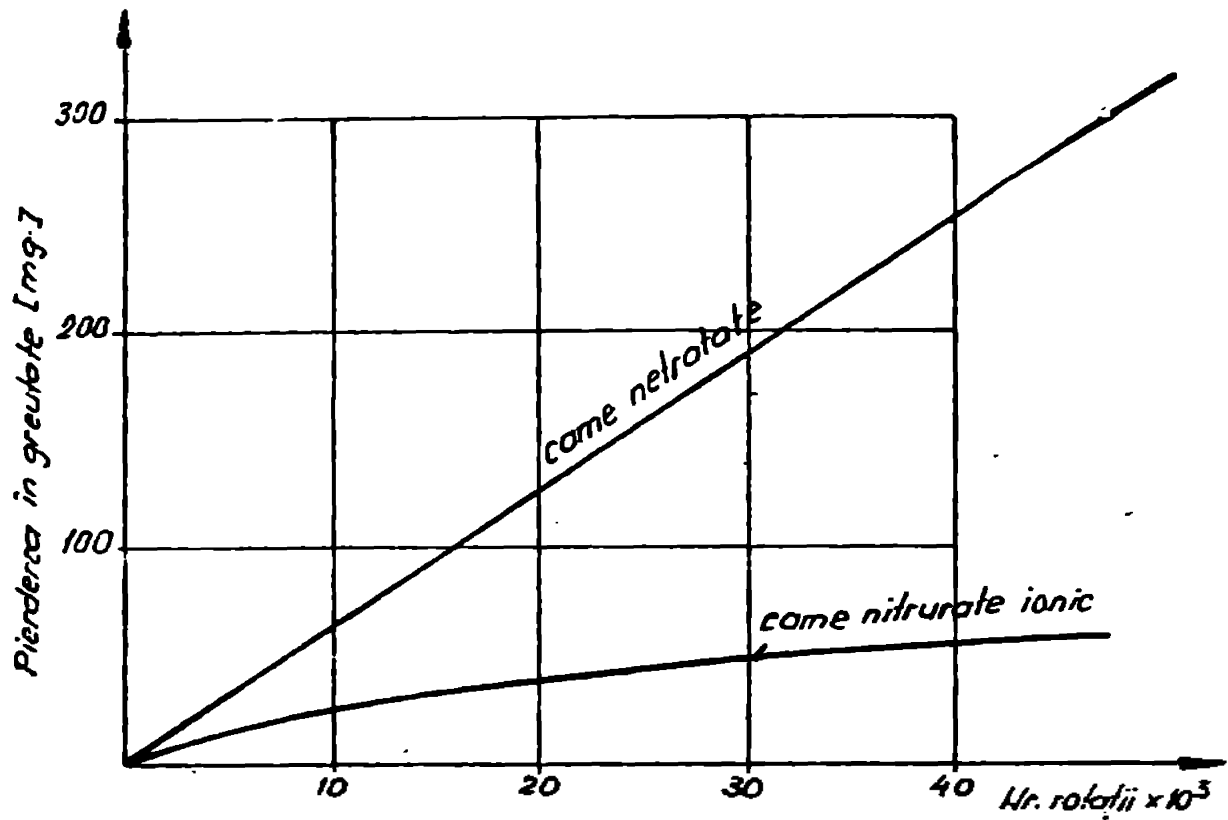


Fig. n. 19

funcționare, iar în figura VI.19 sînt exprimate valorile medii ale celor cinci came ale standului. Condițiile de încercare au fost următoarele: viteza relativă cca 1,5 m/s, presiunea de contact de cca 40 daN/mm, fără lubrifiere.

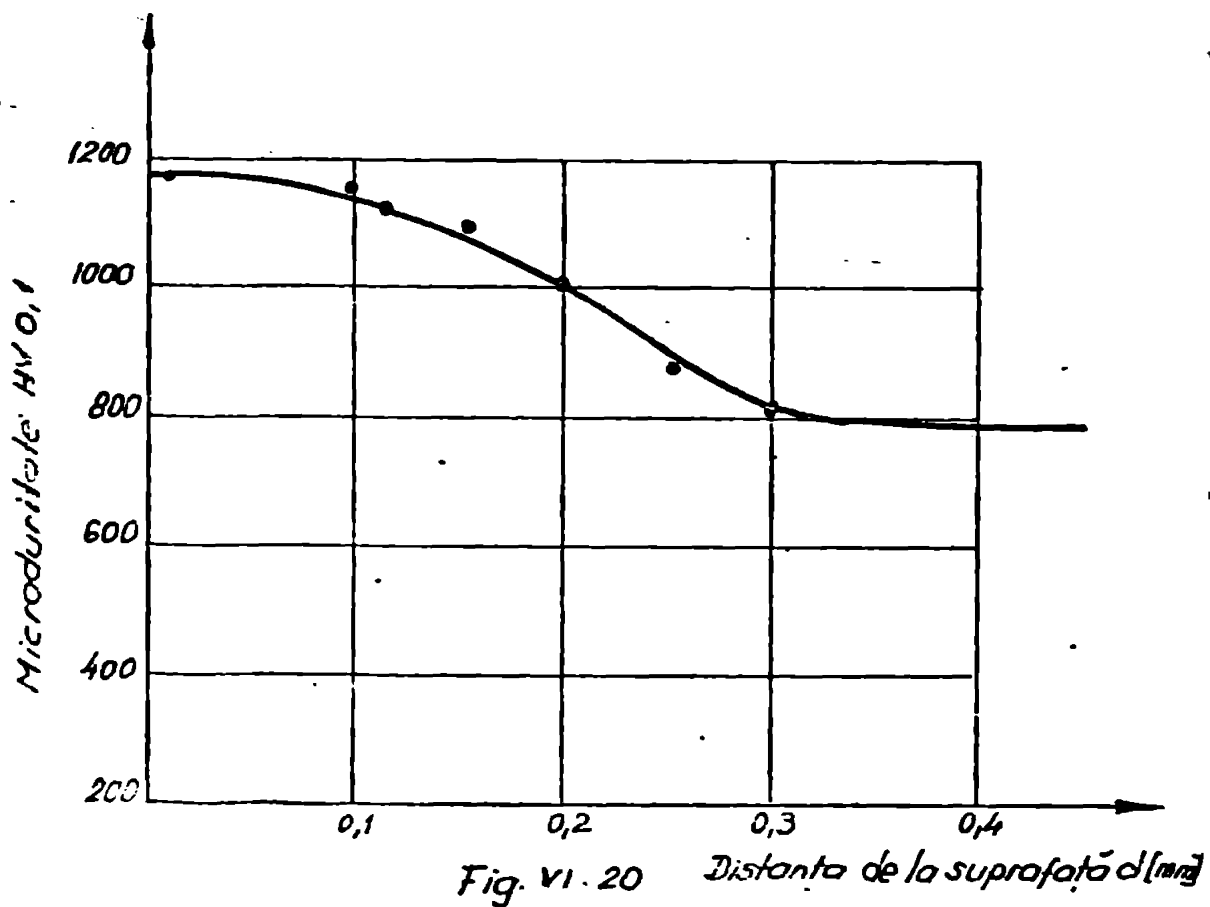


Fig. VI. 20 Distanța de la suprafață d [mm]

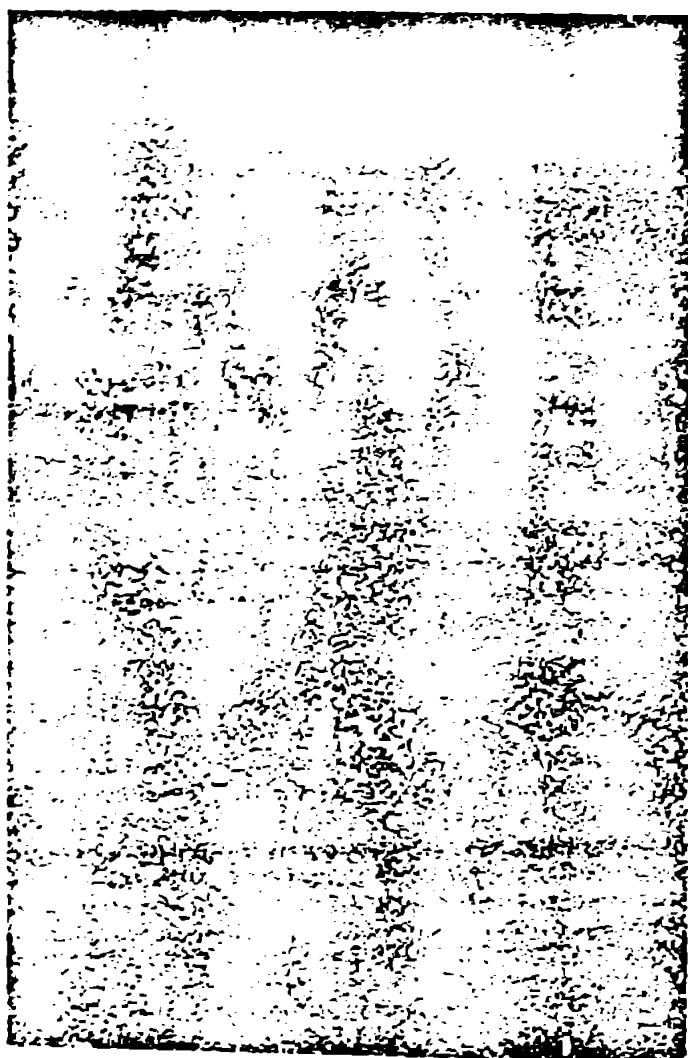


Fig. VI.21.

b) Cuplă superioară din oțel rapid Rp 3 STAS 7382-80.

Compoziția chimică a oțelului Rp 3 (STAS 7382-80) utilizat a fost următoarea: 0,75 % C, 0,34 % Mn, 0,32 % Si, 3,95 % Cr, 0,38 % Mo, 18,6 % W, 1,20 % V. Acesta este un oțel ledeburitic utilizat pentru fabricarea sculelor care sînt puternic solicitate la uzare, datorită carburilor dure disipate în masa materialului de bază.

Nitrurarea s-a efectuat pe o durată de 20 de ore la temperatura de 510° C și la o presiune de 3 torr

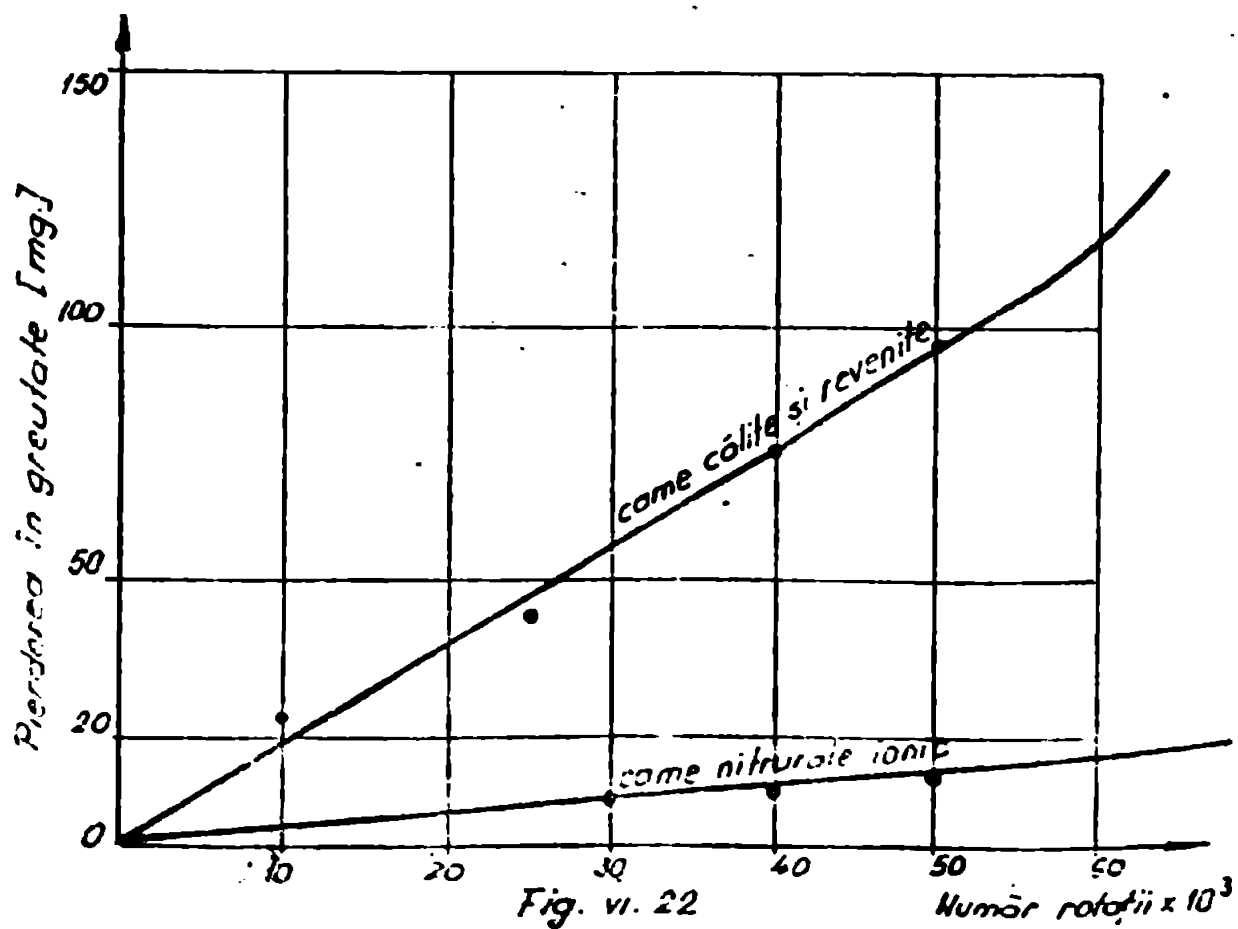


Fig. VI. 22

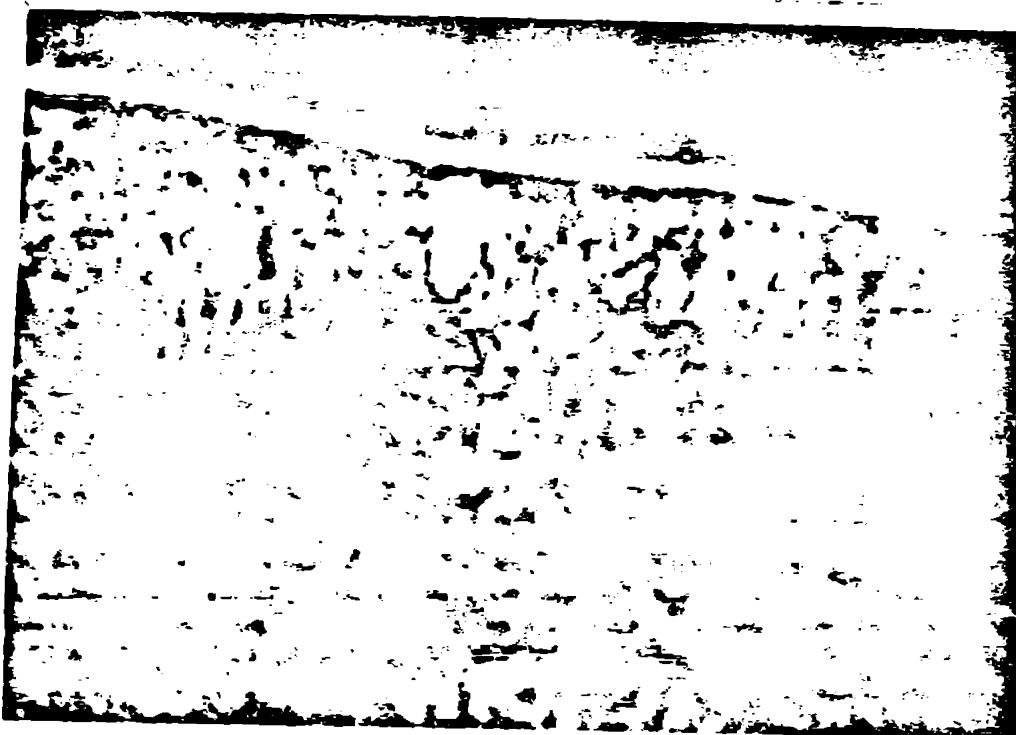


Fig.VI.23.

în amoniac disociat. Înaintea nitrurării toate camele au fost călite și revenite la o duritate de 64-65HRC.

Variația microdurității după nitrurarea ionică este prezentată în figura VI.20.

Analiza microstructurală a relevat existența doar a unui strat de difuzie cu o adâncime de 0, 2-0,3 mm, vizibil în figura VI.21.

Segregațiile de carbon ale semifabricatului folosit au fost la nivelul punctajului 5-6, conform STAS 7382-80.

Incercările la uzare s-au efectuat pe standul din figura VI.3. avînd solicitări în domeniul celor prezentate în cazul fontei cu grafit nodular Fgn 600-2, fără lubrifiere, avînd perechile de materiale în fricțiune identice (tachet, rolă din Rp 3 nitrurate ionic). Variația uzurii este prezentată în diagrama din figura VI.22.

c) Cuplă superioară din oțel înalt aliat 41 MoCr 11 STAS 791-80.

Compoziția chimică a oțelului utilizat în determinări conform STAS 791-80 este următoarea:

0,4 % C, 0,54 % Mn, 0,36 % Si, 1,13 % Cr, 0,23 % Mo. Înaintea nitrurării camele au fost supuse unui trata-



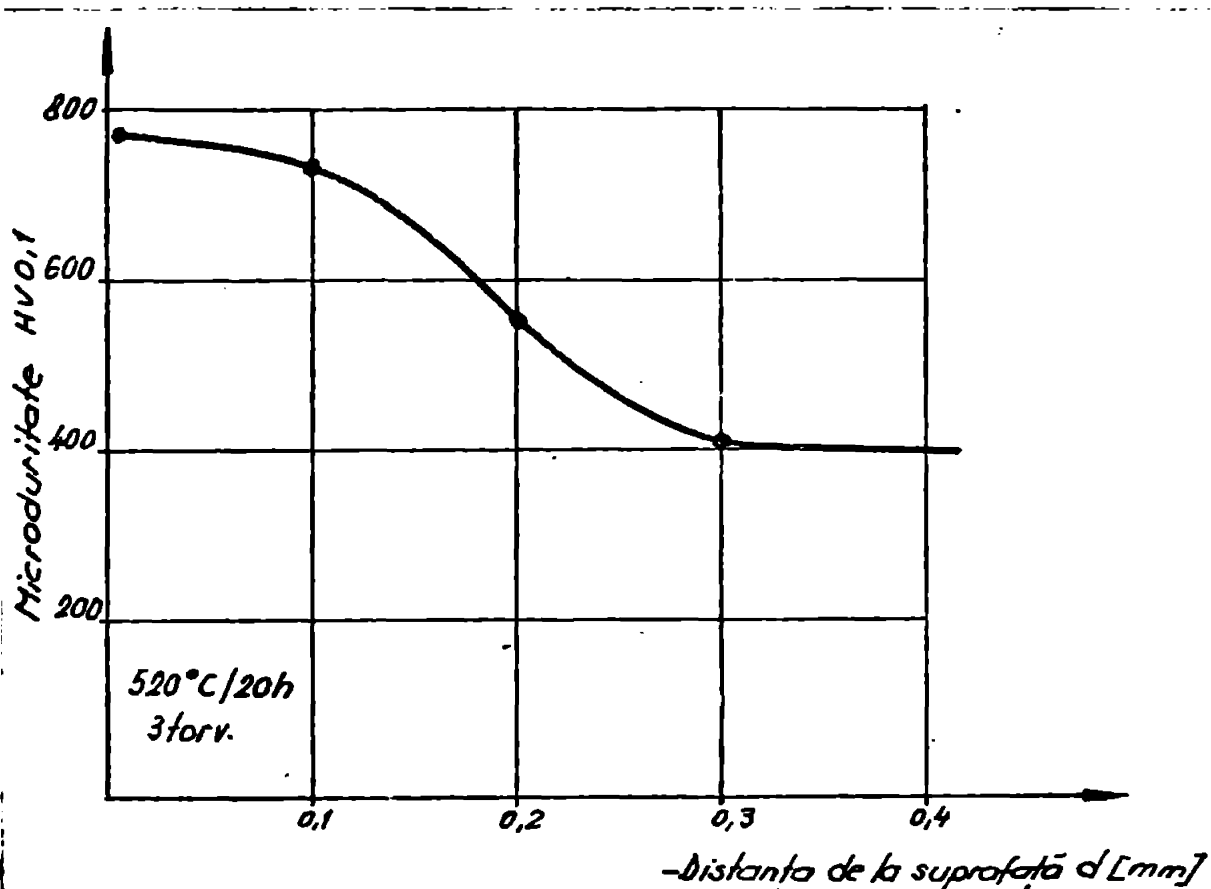


Fig. VI. 24

ment termic de îmbunătățire la 28-30 HRC.

Nitrurarea ionică s-a efectuat în amoniac disocinat, la o temperatură de 520°C, cu durata de menținere de 20 ore. Problemele metalografice au relevat formarea unei zone

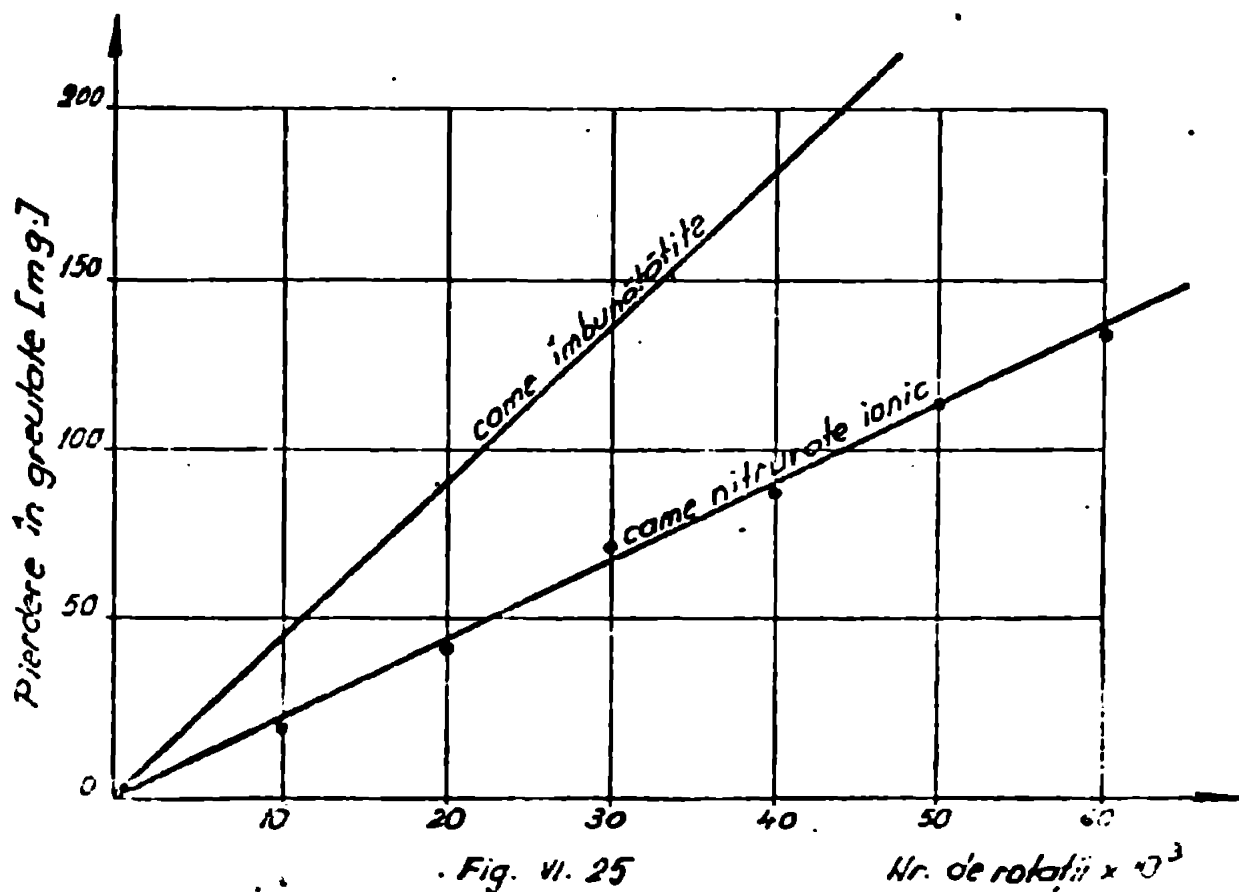


Fig. VI. 25

superficiile de combinații (strat alb) având o grosime de 6-8  $\mu$ m (fig.VI.23.).

Variația microdurității în funcție de distanța de la suprafață este prezentată în figura VI.24.

Inercările la uzare s-au efectuat în aceleași condiții și pe același stand ca în cazul materialelor prezentate anterior, rezultând o curbă de variație prezentată în figura VI.25.

Din cercetările experimentale efectuate rezultă că tratamentul termochimic de nitrurare ionică conferă camelor proprietăți fizico-mecanice superioare prin realizarea unui strat superficial omogen, mărirea durității și a rezistenței la uzare, precum și la solicitarea prin strivire.

## VII.- CONCLUZII SI CONTRIBUTII ORIGINALE

Teza de doctorat și-a propus rezolvarea problemei preciziei de funcționare a mecanismelor cu came plane, atunci când elementele componente ale mecanismului sînt corpuri reale, afectate de erori tehnologice de execuție, precum și analiza comportării în timp a mecanismului sub aspectul uzurii cuplei superioare, ca element ce contribuie la alterarea funcției de răspuns. Din punct de vedere al obiectivelor propuse, tema cuprinde obiective ce fac parte din tehnocinematica mecanismelor.

Față de literatura de specialitate existentă în acest sens, teza de doctorat a căutat să cuprindă într-un mod unitar problema tehnocinematicii mecanismelor cu came plane, atât din punct de vedere teoretic cât și experimental, urmărind aspectul preciziei cinematice strîns legat de uzura materialelor în contact, avînd ca scop final optimizarea funcționării acestora. Pentru aceasta, s-a completat și generalizat unele metode de studiu existente în literatura de specialitate și au fost elaborate metode noi, eficiente, rapide și suficient de precise pentru un studiu al preciziei mecanismelor cu came plane încă din faza de proiectare.

Investigațiile teoretice au folosit metode analitice de sinteză, bazate pe aproximarea funcțiilor în jurul unui punct carecure cu ajutorul formulei lui Taylor în care s-au reținut termenii de ordinul întâi și uneori și de ordinul doi, în primul caz putînd fi aplicată și formula creșterilor finite a lui Lagrange. De asemenea, analizînd cea mai generală mișcare mecanică în plan, mișcarea plan - paralelă, luînd în considerare echivalența sistemului de forțe cu torsorul minimal, care în cazul plan se reduce la o rezultantă unică aplicată pe axa centrală, se poate aproxima mișcarea finită în plan a corpurilor printr-o translație, care se exprimă printr-un vector. Pentru evaluarea uzurii s-au folosit principiile contactului hertzian, aplicate în cazul cuplei superioare analizate. Pentru evaluarea suprafețelor reale, ce delimitează corpurile care formează cupla superioară acestea s-au aproximat prin suprafețe particulare, cât mai apropiate de forma reală studiată, iar apoi acestea s-au poziționat prin metode specifice geometriei analitice.

De parcursul calculelor s-au făcut particularizări pentru unele tipurile de mecanisme cu came plane, iar pentru simplificarea și reducerea volumului de lucru s-a utilizat

calculatorul ca uncaltă precisă și rapidă de lucru.

Scopul urmărit de modelarea teoretică a fost corelarea elementelor de formă ale mecanismelor cu came cu materialele lor, cu uzura acestora, urmărind în final optimizarea funcționării mecanismelor cu came plane.

În vederea verificării rezultatelor teoretice obținute s-au făcut ample cercetări experimentale, ce vizau determinarea elementelor cinematice ale mișcării executorului, precum și studiul experimental al comportării diferitelor materiale la uzare. În acest scop s-au conceput și realizat de către autor trei standuri, precum și montaje care au permis înregistrarea directă a mărimilor cercetate. Un loc important în cercetările experimentale îl ocupă materialele tratate termochimic prin nitrurare ionică, împrumutând cuplei superioare rezistență sporită la uzare.

În vederea concretizării contribuțiilor aduse de autor în problema tehnocinematicii mecanismelor cu came plane, în cele ce urmează se vor prezenta succint numai principalele aspecte originale :

a) în domeniul cercetării teoretice :

- s-a generalizat metoda abaterilor funcționale în cazul mecanismelor cu came plane, prin exprimarea legilor de profilare a camelor în funcție de legea de mișcare impusă executorului, introducerea în expresii a erorilor de execuție ale elementelor cinematice și dezvoltarea după formula lui Taylor a funcției astfel obținute. Prin reținerea termenilor de ordinul întâi sau doi din dezvoltare se pot aproxima cu suficientă precizie pozițiile executorului în decursul unui ciclu cinematic. Astfel, chiar în faza de proiectare a mecanismului camă, respectiv la sinteza mecanismului, se poate exprima precizia de funcționare a acestuia și interveni la nevoie pentru a obține precizia dorită ;
- s-a elaborat un program de calcul automat pentru sinteza mecanismelor cu came plane și calculul erorilor cinematice pe durata completă a unui ciclu cinematic ;
- s-a propus metoda iterațiilor succesive pentru mărirea preciziei de calcul al erorilor cinematice, metodă care asigură o convergență rapidă către valoarea reală a mărimii căutate ;
- s-a propus metoda vectorilor abateri pentru determinarea rapidă și suficient de exactă a erorilor cinematice ale mecanismelor cu came plane. Metoda are la bază principiul echivalenței

sistemului de forțe coplanar cu o rezultantă unică ce are ca efect mecanic translația. Deoarece momentul minim este nul, se poate neglija rotirea corpului sub acțiunea sistemului de forțe coplanar, deplasarea fiind finită și foarte mică, în general. Translațiile se presupun direcționate de reacțiunile din cuplele cinematice, deci s-a impus necesitatea determinării acestora precum și unghiurile lor cu o direcție de referință pentru toate tipurile de mecanisme cu came plane. Reacțiunile s-au determinat neglijând elementele torsionului forțelor de inerție ale corpurilor ;

- s-au determinat erorile ce apar în cupla superioară, ca urmare a abaterilor de poziții și de forme pe care le pot avea corpurile ce realizează cupla superioară. Studiul acestora s-a făcut în patru cazuri cu caracter de generalitate, care prin particularizare pot realiza majoritatea cazurilor reale;
- pentru determinarea poziției relative a elementului real al unui mecanism care realizează cu reperul de bază o cuplă cinematică, s-au exprimat relațiile matriciale în care sînt incluse toate erorile ce modifică poziția față de cea ideală. Prin derivarea acestora e posibilă, în anumite cazuri, determinarea valorilor reale de viteze și accelerații ;
- în vederea evaluării comportării la uzare a mecanismelor cu came plane s-a elaborat o metodă analitică prin care se poate aprecia comportarea în timp a mecanismului. S-a considerat că uzarea este un fenomen care poate fi evaluat cantitativ prin proporționalitate cu lucrul mecanic de frecare. În același timp s-au studiat influențele exercitate de diferiți factori asupra fenomenului de uzare, cât și influența uzurii asupra dinamicii mecanismelor cu came, cu considerarea flexibilității lanțului cinematic ;
- pentru alegerea corectă a materialelor din care se confecționează cuplele superioare s-a făcut o sinteză privind materialele rezistente la uzare, prezentînd în același timp recomandări privind perechile de materiale, precum și condițiile de utilizare specifice, evidențînd tratamentele termice și termochimice care îmbunătățesc comportarea acestora.

b) în domeniul cercetării experimentale :

- s-au realizat trei standuri de cercetare experimentală, cu ajutorul cărora s-au făcut verificări multiple ale rezultatelor teoretice. Standurile au fost concepute în așa

posibilității studiului experimental al tuturor tipurilor de mecanisme cu came, ușor demontabile, cu posibilitatea repetării fenomenului în condiții identice. Standurile permit variații ale condițiilor cinematice de experimentare, a încărcării dinamice ale mecanismelor, precum și adaptarea unei largi game de traductori și aparate de măsură. Cu aceste standuri s-au făcut cercetări experimentale vizând precizia de deplasare, de viteze și accelerații precum și studiul comportării la uzare a diferitelor materiale și diferite tipuri de mecanisme cu came ;

- s-au înregistrat diagrame de deplasare reală a tachtului în condiții de funcționare lentă precum și în condiții dinamice mai intense, folosind montaje cu înregistrare directă prin trasare mecanică sau optică, precum și prin măsurare discretă prin diferite poziții pe aparate cu afișaj numeric ;
- s-au făcut determinări privind comportarea la uzare a mecanismelor cu came prin corelarea cantitativă a pierderii în greutate după un număr de cicluri de funcționare, înregistrate de un contor de ture ;
- s-au făcut cercetări experimentale privind comportarea la uzare a unor materiale metalice tratate termochimic prin nitruare ionică, studiind microduritatea suprafețelor în contact, variația acestora cu adâncimea precum și uzarea mecanismelor în timp, permițând să se recomanda acest tratament termochimic în diferite situații.

Rezultatele cercetărilor din prezenta teză de doctorat deschid un drum larg studiului altor mecanisme și sisteme mecanice prin metodele prezentate în lucrare.

Antorul prezentei teze de doctorat consideră că această lucrare aduce o modestă contribuție la optimizarea utilizării camei plane în economie.

## B I B L I O G R A F I E

1. ADAM, G., ș.a., Influența menținerii la temperatură de ionizare asupra miezului la diferite mărci de oțeluri, Conferința de tratamente termice, Tîrgu-Mureș, 1986.
2. ARTOBOLEVSKI, I., Théorie des mécanismes et des machines, Edition MIR, MOSCOU, 1977.
3. BAGIU, L., Toleranțe și măsurători tehnice, vol. I, II, Institutul Politehnic "Traian Vuia", Timișoara, 1975.
4. BALAN, S., Elemente de mecanică teoretică, Editura Didactică și Pedagogică, București, 1975.
5. BELETKII, V. I., Rasčet kulacikovîn mehanizmov s dvuhrolikovîn koromislom i dvuhprofilnîn vrasoizinscimsia diskovîn kulecikom Maşinostroenie, Nr. 6, 1983.
6. BOGDANOV, S. G., Studiul metalelor și tratamentul termic al oțelului, Editura Tehnică, București, 1952.
7. BRANDNER, G., Dreh- und Schraubenflächen als mögliche Wälz-, Teil- und Flankenflächen räumlicher Verzahnungen, Maschinenbautechnik, Nr. 12, Berlin, 1983.
8. CANNAHAN, B., LUTHER, H. A., WILKES, O. J., Applied numerical methods, John Wiley et Sons. Inc, New York, 1976.
9. CARTIS, I., URESCU, L., Aplicarea nitrurării ionice sculelor de prelucrat la cald executate din oțel VCV 85, Conferința de tratamente termice, Tîrgu-Mureș, 1986.
10. CAPITANU, L., Metode de calcul al uzurii la cuple superioare de frecare, Studii și Cercetări de Mecanică Aplicată, Tomul 42, București, 1983.
11. CHERCA, D., ș.a., Cercetări experimentale privind nitrurarea ionică a unor fonte, Metalurgia, Nr. 4, București, 1986.
12. CRACIU, D., STANESCU, V., Rezultate experimentale obținute în urma nitrurării ionice a unor fonte. Nouăți în domeniul tehnologiei și utilajelor pentru prelucrare la cald, Brașov, 1984.

13. DAMCALESCU, D., TOCARIAN, T., Came pentru strunjirea de precizie pe strunguri automate, Editura Tehnică, București, 1979.
14. DEAC, V., STUDIUL METALELOR, Institutul de Învățământ Superior, Sibiu, 1978.
15. DEAC, V., ș.a Variante tehnologice de execuție a plăcilor de uzură ale lamelor de guidare de la motoforestraiele pentru lemn, Noutăți în domeniul tehnologiilor și utilajelor pentru prelucrare la cald, Brașov, 1984.
16. DEAC, V., ș.a Cercetări privind influența nitrurării ionice asupra durabilității sculelor așchietoare Conferința de tratamente termice, Târgu-Mureș, 1986.
17. DEAC, V., Cercetări experimentale privind nitrurarea ionică a unor oțeluri aliate, Construcția de mașini, Octombrie, 1981.
18. DEAC, V., ș.a Studii și cercetări experimentale privind influența nitrurării în plasmă asupra durabilității unor scule, Contract Nr.14, I.P.A. Sibiu.
19. DEMIAN, P., TUDOR, D., GRECU, E., Mecanisme de mecanică fină, Editura Didactică și Pedagogică, București, 1982.
20. DOBOS, F., Teoria mecanismelor și mașinilor, Institutul de Inginerie, Sibiu, 1985.
21. DODOC, P., Metode și mijloace de măsurare moderne în mecanica fină și construcția de mașini, Editura Tehnică, București, 1978.
22. DOMBA, A., DOMBA, S., Materiale metalice în construcția de mașini și instalații, Editura „DACIA”, Cluj-Napoca, 1981, vol. I-II.
23. DOG, M., Berechnung und Fertigung räumlicher Kurvenkörper für Kurvenschnittgetriebe, Maschinenbautechnik, Nr.12, Berlin, 1980.
24. DRAGU, D., ș.a. Toleranțe și măsurători tehnice, Editura Didactică și Pedagogică, București, 1980.
25. DECA, C., Utilizarea calculatorului numeric în proiectarea mecanismelor cu came, Simpozion, "Proiectarea asistată de calculator", Brașov 1978.



26. DULAMITA, T, FLORIAN, B, *Tratamente termice și termochimice*, Editura Didactică și Pedagogică, București, 1982.
27. DUMITRESCU, C, OLARU, P, *Aspecte morfologice ale straturilor nitrurate ale unor oțeluri de îmbunătățire*, Conferința de tratamente termice, Tîrgu-Mureș, 1986.
28. EDENHOFER, B, *Physikalische und metallkundliche Vorgänge beim Nitrieren im Plasma einer Glühmantladung*, Klöckner Ionon, Mitteilung 6, Köln, 1974.
29. EDENHOFER, B, *Vergleich verschiedener Nitrierverfahren unter besonderer Berücksichtigung des Ichnitrierens*, Klöckner Ionon, Mitteilung 6, Köln, 1974.
30. FUJITA, K, YOSHIDA, A, *Surface Durability of Steel Rollers*, Bulletin of the JSME, vol 23, Nr.178, 1980.
31. FUJITA, K, YOSHIDA, A, *Effect of Specific Sliding on Surface Durability of Case - Hardened Chromium Molybdenum Steel Roller*, Bulletin of the JSME, Vol.23, Nr.178, 1980.
32. FUNABASHI, H, OGAWA, K, *A Dynamic Analysis of the Plane Crack-and - Roter Mechanisms with Clearances*, Bulletin of the JSME, vol.23, No.177, 1980.
33. GERU, N, ș.a. *Materiale metalice, structură, proprietăți, utilizări*, Editura Tehnică, București, 1985.
34. GRILKE, W, *Möglichkeiten und Grenzen der Lebensdauerberechnung von Maschinenelementen*, Maschinenbautechnik, Nr.8, Berlin, 1981.
35. GRUNFELD, S, *Stadiul actual al tehnocinematicii mecanismelor cu came plane*, Referat, Institutul Politehnic "Traian Vuia" Timișoara, 1979.
36. GRUNFELD, S, *Modelul matematic al tehnocinematicii mecanismelor cu came plane*, Referat, Institutul Politehnic "Traian Vuia", Timișoara, 1980.
37. GRUNFELD, S, *Tribologia mecanismelor cu came plane*, Referat, Institutul Politehnic "Traian Vuia", Timișoara, 1980.
38. GRUNFELD, S, BOLOGA, O, *Cu privire la corelarea economică a rugozității și toleranței*. *Buletinul Științific al Institutului de Învățământ Superior, Sibiu*, 1973.

39. GRUNFELD, S., GHEORGHE, I., Asupra preciziei poziționale a unor mecanisme cu came plane, Buletinul științific al Institutului de Învățământ Superior, Sibiu, 1979.
40. HAIN, K., Systematille und Bewertung der fünfgliedrigen, formschlüssigen Gegen kurvengetriebe, Maschinenbautechnik, Nr.9, Berlin, 1979.
41. HAIN, K., Getriebeuntersuchungen hoher Genauigkeit mit Hilfe der Scheitelkrümmungen und der Wendepunkte von Koppelkurven, Maschinenbautechnik, Nr.4, Berlin, 1982.
42. HAIDRA-LUCA, V., STOICA, I., A., Introducere în teoria mecanismelor, Editura "Dacia", Cluj-Napoca, 1982, vol. I-II.
43. HORIE, M., FUNABASHI, H., OGAWA, K., KOBAYASHI, H., A Displacement Analysis of Plane Multilink Mechanisms with Clearances and Tolerances, Bulletin of the JSME, Vol.23, Nr.185, 1980.
44. IFEIM, V., Computer-Simulation des Bewegungsverhaltens von Manipulatoren, Maschinebautechnik, Nr. 10, Berlin, 1981.
45. ISIBASHI, A., TANAKI, S., EZOE, S., Studies on Friction Holding of Carbon an Alloy Steels, Bulletin of the JSME, Vol.24, Nr: 198, 1981.
46. ISRAEL, G., R., Arbeitsblatt für die Konstruktion von Mechanismen, Maschinenbautech, Nr.5, Berlin, 1979.
47. IWATSUBO, T., Influence of Errors on the Vibration of Motor Bearing System, Bulletin of the JSME, vol.24, Nr. 187, 1981.
48. JENSEN, P., Cam design and manufacture, The Industrial Press, New York, 1965.
49. KELLER, K., Ionitrierung von Guseisenwerkstoffen, Klöckner Ionen, Mitteilung 7, Köln, 1970.
50. KELLER, K., Hochfeste Maschinenteile durch Ionitrieren von martensitahärtenden Stahl, Klöckner Ionen, Mitteilung 10, Köln, 1971.
51. KLINIK, E., V., Tehinosti kulakovih mehanizmov Maşinostroenie, Nr.5, 1983.

52. KOLOC, Z, VACLAVIK, M, VOLP, J, VOLMER, J, Synthese von Getrieben für Verarbeitungsmaschinen durch Simulation auf Tischrechnern, Maschinenbautechnik, Nr.7, Berlin, 1979.
53. KOVÁCS, F, PERJU, O, Mecanisme, Partea I și II, Institutul Politehnic "Traian Vuia", Timișoara, 1978.
54. KOVACS, F, PERJU, D, SAVII, G, Metode noi în sinteza mecanismelor, Editura "Facla", Timișoara, 1976.
55. KRAGHELSKI, V, I, Reibung und Verschleiss, VEB, Verlag Technik, Berlin, 1971.
56. KUYUSOJIN, A, NISHIMOTO, K, OTOBE, Y, KONOI, S, OGASAWARA, Y, Study on Mechanism of Friction Welding in Carbon Steels, Bulletin of the JSME, Vol.23, Nr. 182, 1980.
57. LAZARESCU, I, D, STETIU, C, E, Toleranțe, Ajustaje, Calculul cu toleranțe, Călire, Editura Tehnică, București, 1984.
58. LUCK, K, MODLER, K-H, Getriebetechnische Grundaufgaben bei der Auslegung von Baumaschinen, Maschinenbautechnik, Nr. 10, Berlin, 1981.
59. MAMAEV, A, N, Profilirovanie kulacika țentrobejnogo najimnogo ustroistva klinoremennogo variatora, Mașinostroenie, Nr. 10, 1983.
60. MARINESCU, A, Contribuții privind influența preciziei geometrice asupra parametrilor de mișcare ai mecanismelor, Teză de doctorat, Institutul Politehnic, București, 1979.
61. MIȚEIGA, I, Cercetări privind nitrurarea în plasmă a oțelului 45 Si Cr 95 folosit la execuția su-papelor de evacuare, Conferința de tratamente termice, Tîrgu-Mureș, 1986.
62. MIȚEIGA, I, Asupra rezistenței la oboseală a oțelurilor Ni-Cr-Mo nitrurate în plasmă, Conferința de tratamente termice, Tîrgu-Mureș, 1986.
63. MOCHIMARU, Y, TOMITA, Y, A Numerical Method for the Solution of Nonlinear Equations with a Number of Variables, Bulletin of the JSME, Vol.23, Nr. 184, 1980.

64. MURGULESCU, E, FLEXI, S, KREINDLER, O, SACTER, O,  
TIRNOVEANU, M, Geometrie analitică și diferențială,  
Editura Didactică și Pedagogică, București  
1965.
65. MULLER, J, Lehrmodellschrank Kurvengetriebe,  
Maschinenbautechnik, Nr. 10, Berlin,  
1981.
66. MULLER, J, KASSAMANIAN, A, A, Zur Systematik des  
Kurvengetriebes, Maschinenbautechnik, Nr.9,  
Berlin, 1979..
- 67.- NANU, A, Tehnologia materialelor, Editura Didac-  
tică și Pedagogică, București, 1977.
68. NERGE, G, Einfluss des Rollenspiels aus des  
dynamische Verhalten von  
Nutzkurvenmechanismen, Maschinen  
bautechnik, Nr.9, Berlin, 1979.
69. NERGE, G, Zweckmäßige Formgestalt von Kurven-  
Scheibe und Rolle, Maschinenbautechnik,  
Nr.9, Berlin, 1979
70. REUKIRCHNER, J, Tribokorrosion und Wege zu ihrer  
Verhinderung, Maschinbautechnik, Nr.7,  
Berlin, 1980.
71. NICOLESCU, S, Curs de Fortran, Institutul Politehnic  
București, 1972.
72. PAVELESCU, D, Concepții noi, calculul și aplicații în  
frecarea și uzura solidelor deformabile,  
Editura Academiei R.S.R., București, 1971.
73. PAVELESCU, D, MUSAT, M, Tudor, A, Tribologie, Editura  
Didactică și Pedagogică, București,  
1977.
74. PAVLESCU, M, Analiză numerică pentru reactori nu-  
cleari, Editura Academiei, R.S.R.,  
București, 1974.
75. PELECUDI, C, Bazele analizei mecanismelor, Editura  
Academiei RSR, București, 1967.
76. PELECUDI, C, Teoria mecanismelor spațiale, Editura  
Academiei R.S.R., București, 1972
77. PELECUDI, C, Precizia mecanismelor, Editura Acade-  
miei R.S.R., București, 1975.

78. PELECUDI, C, SAVA, I, Asupra analizei și sintezei mecanismelor cu came, Construcția de mașini Nr.8-9, 1967.
79. PELECUDI, C, MAROS, D, MERTICARU, V, PANDREA, M, SIMIONESCU, I, Mecanisme, Editura Didactică și Pedagogică București, 1985.
80. PERVIKII, I, D, Rascet i konstruirovanie tocinih mehanizmov, Mașinostroenie, Leningrad, 1976.
81. PONOMARIOV, S, D, Calculul de rezistență în construcția de mașini, Editura Tehnică, București, 1963.
82. POPESCU, I, Proiectarea mecanismelor plane, Editura "Scrierul Românesc", Craiova, 1977.
83. POPINCEANU, N, ș.a. Probleme fundamentale ale contactului cu rostogolire, Editura Tehnică, București, 1985.
84. PRAVOTOROVA, N, A, SERGHEEV, V, I, K rascetu tocinosti mehanizmov s' nižšini kinematiceckimi parami, Mehanica mašin, Nr. 3-4, Moskva, 1966.
85. RADULESCU, M, DRAGAN, N, HUBERT, H, OPRIS, C, Atlas metalografic, Editura Tehnică, București, 1972.
86. ROSCULET, M, Analiza matematică, Editura Didactică și Pedagogică, București, 197
87. ROTHBARTH, H, Cams, Design, Dynamics and Accuracy, John Wiley et Sons Inc, New York, 1956.
88. SAVA, I, Dinamica mecanismelor cu came, Construcția de mașini, Nr. 8-9, 1967.
89. SAVA, I, Stadiul actual în dinamica mecanismelor cu came, studii și Cercetări de Mecanică Aplicată, Nr. 28, București, 1969.
90. SAVA, I, Cu privire la funcționarea în regim dinamic a supapei mecanismului distribuției motorilor cu ardere internă, Construcția de mașini, Nr. 12, 1971.
91. SAVA, I, GRUMFELD, S, Asupra procesului de uzare în mecanismele cu cuple superioare, "Tribotehnica", Galați, Mai 1973.
92. SAVA, I, GRUMFELD, S, GHEORGHE, I, Asupra preciziei poziționale și cinematice a mecanismelor cu came plane, Bulatinul Științific al Institutului de Învățământ Superior, Sibiu, 1979.

93. SAVA, I, GRÜNFELD, S, GHEORGHE, I, Influența uzurii asupra dinamicii mecanismelor cu came "Tribotehnica" Hunedoara, Mai 1980.
94. SAVA, I, SIRBU, N, GRÜNFELD, S, GHEORGHE, I, Elemente de Mecanică Inginerească, Institutul de învățămînt Superior, Sibiu, 1980.
95. SCIEZSZKA, S, F, A Study of Tribological Phenomena in Friction Couple : Brake Composite Material-Steel, Transaction of the ASLE, vol.25, 1981.
96. SERGHEEV, V, I, USKOV, M, K, Sravnitelni analiz strukturnih i tehnologicheskikh oşibok v peredatocinîh komirnih mehanizmah, Mehanika maşin, Nr.3-4, Moskva, 1966.
97. STAICU, S, Aplicații ale calculului matricial în mecanica solidelor, Editura Academiei RSR, București, 1986.
98. TAMURA, H, TSUDA, Y, SUEOKA, A, Higher Approximation of Steady Oscillations in Nonlinear System With Single Degree of Freedom, Bulletin, of the JSME, Vol.24, Nr.195, 1981.
99. TEODORESCU, P, P, Sisteme mecanice - modele clasice, vol, I, Editura Tehnică, București 1984.
100. TERAUCHI, Y, NADANO, H, Basic Studies on Scoring of Spur Gears, Bulletin of the JSME, Vol.23, Nr. 177, 1980.
101. THOMPSON, B, S, Variation Formulations for the Finite Element Analysis of Noise Radiation from High-Speed Machinery, Transaction of the ASME, Vol.103, Nr.4, 1981.
102. TSUBESUMI, S, OKANO, Y, GOTO, K, Research on the Rolling Process on Rotational - type Components, Bulletin of the JSME, Vol.23, Nr.178, 1980.
103. TUDURANU, D, Teorie mecanismelor, Mecanisme cu came, Editura Tehnică, București, 1959.
104. VERESANI, G, Nitruarea, Institutul Politehnic, Cluj-Napoca, 1977.
105. VOENEA, R, AMANASIU, M, Metode analitice noi în Teoria mecanismelor. Editura Tehnică, București, 1964.

106. VOINEA, V, VOICULESCU, D, CEASU, V, Mecanica, Editura Didactică și Pedagogică, București, 1983.
107. VOLMER, J, BROCK, R, UHLIG, G, Übertragungsfunktionen für Kurvengetriebe mit Doppelhubbenegungen, Maschinentechnik, Nr.9, Berlin, 1979.
108. VOROBIEV, E, I, O rasciotom apredilenie izmenenia nervicinok osibora mehanizmov v sviazi s otenskoi in padagnosti, Analiz i mašezmehaničeski, Nauka, 1970.
109. WATANABE, K, FURUHASHI, H, On the Envelope Curves of the Coupler Lines of Plane Four-Bar Mechanisms, Bulletin of the JSME, vol.24, Nr. 193, 1981.
110. YOKOI, M, NAKAI, M, A Fundamental Study on Frictional Noise, Bulletin, of the JSME, Vol.24, Nr.194, 1981.
111. Young, D, S, S, SHOUP, T, The sensitivity Analysis of Cam Mechanism Dynamics, Transaction of the ASME, April, 1982.

## C U P R I N S

I.-	Introducere . . . . .	3
II.-	Contribuții cu privire la aplicarea metodei abaterilor funcționale pentru analiza și sinteza mecanismelor cu came plane . . . . .	7
II.1.	Generalități . . . . .	7
II.2.	Mecanism cu camă de rotație-tachet oscilant . . . . .	8
II.3.	Mecanism cu camă de rotație - tachet de translație . . . . .	15
II.4.	Mecanism cu camă de rotație - tachet cu talpă plană . . . . .	22
II.5.	Mecanism cu camă de rotație - tachet oscilant cu talpă plană . . . . .	24
II.6.	Mecanism cu camă de translație - tachet oscilant . . . . .	27
II.7.	Mecanism cu camă de translație - tachet de translație . . . . .	30
II.8.	Program de calcul pentru tehnocinematica mecanismelor cu came plane . . . . .	31
III.-	Conceperea unei noi metode a vectorilor abaterilor pentru studiul mecanismelor cu came plane . . . . .	44
III.1.	Generalități . . . . .	44
III.2.	Determinarea direcțiilor elementelor fictive . . . . .	47
III.3.	Vectorul abaterii al unui element plan . . . . .	59
III.4.	Mecanism cu camă de rotație - tachet oscilant . . . . .	62
III.5.	Mecanism cu camă de rotație - tachet de translație . . . . .	65
III.6.	Mecanism cu camă de rotație - tachet de translație cu talpă plană . . . . .	67
III.7.	Mecanism cu camă de rotație - tachet oscilant cu talpă plană . . . . .	69
III.8.	Mecanism cu camă de translație - tachet oscilant . . . . .	71



III.9. Mecanism cu camă de translație - tachet de translație . . . . .	73
III.10. Abaterile de viteze și accelerații . . . . .	74
IV. Determinarea abaterilor de poziții datorită erorilor tehnologice din zonele de contact ale cuplelor cinematice . . . . .	77
IV.1. Generalități . . . . .	77
IV.2. Stabilirea abaterilor elementelor în spațiu și în plan . . . . .	79
IV.3. Determinarea abaterilor elementelor pe structura redusă a mecanismelor . . . . .	84
IV.4. Determinarea abaterilor de poziții în cuplele cinematice . . . . .	88
IV.5. Determinarea abaterilor în cupla superioară camă - rulă . . . . .	93
V.- Contribuții privind tehnologia mecanismelor cu came plane . . . . .	106
V.1. Studiul materialelor pentru mecanismele cu came plane . . . . .	106
V.2. Tratamente termice și termochimice ale materialelor metalice . . . . .	116
V.3. Studiul uzurii mecanismelor cu came plane . . . . .	120
V.4. Analiza unor factori care pot influența uzura cuplei superioare . . . . .	130
V.5. Influența uzurii asupra dinamicii mecanismelor cu came plane . . . . .	137
VI.- Cercetări experimentale privind tehnocinetica mecanismelor cu came plane . . . . .	141
VI.1. Standuri utilizate în cercetarea experimentală . . . . .	141
VI.2. Cercetări experimentale privind precizia deplasării tachetului . . . . .	146
VI.3. Cercetări experimentale privind uzura mecanismelor cu came niturate în plasmă . . . . .	151
VII. Concluzii . . . . .	163
Bibliografie . . . . .	167